

UNIVERSIDADE FEDERAL DE SANTA CATARINA
PROGRAMA DE PÓS-GRADUAÇÃO EM ENGENHARIA ELÉTRICA

AVALIAÇÃO DE ESTIMADORES DE ESTADO E ESTRATÉGIAS
DE MEDAÇÃO EM SISTEMAS DE POTÊNCIA

TESE SUBMETIDA À UNIVERSIDADE FEDERAL DE SANTA CATARINA
PARA OBTENÇÃO DO GRAU DE MESTRE EM ENGENHARIA

ROBERTO NARIMATSU

FLORIANÓPOLIS , ABRIL - 1982



AVALIAÇÃO DE ESTIMADORES DE ESTADO E ESTRATEGIAS
DE MEDIÇÃO EM SISTEMAS DE POTÊNCIA

Roberto Narimatsu

ESTA TESE FOI JULGADA ADEQUADA PARA OBTENÇÃO DO
TÍTULO DE

"MESTRE EM ENGENHARIA"

ESPECIALIDADE ENGENHARIA ELÉTRICA E APROVADA EM SUA
FORMA FINAL PELO PROGRAMA DE PÓS-GRADUAÇÃO

Prof. Hamilton Medeiros Silveira, D.Et.
Orientador

Prof. Augusto Humberto Bruciapaglia, D.Ing.
Coordenador do Curso

BANCA EXAMINADORA:

Prof. Hamilton Medeiros Silveira, D.Et.

Prof. Alcir Monticelli, D. Sc.

Prof. Hans Helmut Zurn, Ph.D.

Prof. Antonio José Alves Simões Costa, Ph.D.

Em memória do meu amigo

MAKOTO NAGUMO

AGRADECIMENTOS

Gostaria de externar meus agradecimentos às entidades e pessoas sem as quais seria impossível a realização deste trabalho.

Ao Prof. Hamilton Medeiros Silveira, pela amizade e dedicação dispendida na orientação.

Ao Prof. Rajamani Doraiswami, pela orientação durante a fase inicial do trabalho.

Aos Departamentos de Telecomunicação (DTL) e de Recursos Humanos (DRH) da ELETROSUL, pelo apoio dado.

Aos colegas de trabalho, pelo interesse, ajuda e sugestões.

À Sra. Maria Helena de Oliveira May, pela datilografia dos originais.

À minha esposa Cecília, pelo apoio e compreensão durante todas as fases do trabalho.

RESUMO

Este trabalho consiste basicamente de estudos sobre Estimadores de Estado baseados no método dos Mínimos Quadrados Ponderados aplicados em Sistemas de Potência bem como de estudos sobre Sistemas de Medição.

Os estimadores testados foram o clássico ou completo e o desacoplado no modelo. Para a avaliação do desempenho dos estimadores foram usados critérios baseados em teoria estatística.

Foram também desenvolvidos dois métodos de seleção de medidores que se destinam a reduzir um sistema de medição, para estimação de estado, que tenha redundância elevada. Com o uso destes métodos o resultado das estimativas não se degrada em relação às estimativas com o sistema de medição completo, e por outro lado obtem-se alguns benefícios tais como menor tempo de processamento e menor ocupação de memória nos computadores. Foi desenvolvido também um índice que indica o grau de detetabilidade de erro grosso de um Sistema de Medição.

O programa principal e todas as subrotinas necessárias aos testes foram desenvolvidos em linguagem FORTRAN.

Com o intuito de fornecer subsídios à implantação do Estimador de Estado no Centro de Operação e Controle da ELETROSUL, os estudos foram aplicados na rede elétrica da Região Sul do Brasil prevista para o ano de 1986 bem como no sistema de medição projetado para o Despacho de Energia em Tempo Real da ELETROSUL, cuja instalação está prevista para o ano de 1985.

ABSTRACT

This work comprises studies on State Estimators based on the Weighted Least Square Method applied to power Systems and also studies on Metering Systems.

The estimators that have been tested were the classic or complete and the model-decoupled Estimator.

Also developed were two methods for meter selection with the purpose of decreasing the metering system used for state estimation which has a high degree of redundancy. Using one of these methods the results are not degraded compared with the results obtained using the complete metering system. Moreover some benefits are added such as less processing time and smaller memory area. An index that indicates the ability of bad data detection in the metering system was also developed.

The main program and all the other necessary subroutines were developed using FORTRAN language.

With intention to help the implementation of state estimation function in the ELETROSUL System Operation Center, all the studies were applied to the electrical network of Brazil's Southern Region as foreseen for 1986 as well as in the metering system designed for the Energy Management System of ELETROSUL which, most likely, will be in operation in 1985.

SUMÁRIO

INTRODUÇÃO:.....	1
CAPÍTULO 1: Estimação de Estado pelo Método dos Mínimos Quadradados Ponderados.....	6
1.1 - A definição do problema.....	6
1.2 - Algoritmo Clássico de Estimação de Estado (MQP) ..	12
1.3 - Algoritmos Desacoplados.....	16
1.3.1 - Desacoplamento no Algoritmos.....	18
1.3.2 - Desacoplamento no Modelo.....	19
1.4 - Deteção de Erro Grosseiro.....	22
1.4.1 - Distribuição de $J(\hat{x})$ sem e com erro grosseiro.....	22
1.4.2 - Teste de Hipótese.....	26
1.5 - Identificação de Erro Grosseiro.....	30
1.5.1 - Método do Resíduo Normalizado.....	31
1.6 - Determinação do Desvio Padrão dos Medidores.....	34
1.7 - Conclusão.....	36
CAPÍTULO 2: Métodos de Seleção de Sistemas de Medição.....	39
2.1 - Necessidade de Seleção de Medidores.....	39
2.2 - Conceitos de Redundância Local.....	40
2.2.1 - Redundância Local de Barra.....	41
2.2.2 - Redundância Local de Estado.....	42
2.3 - Seleção de Medidores baseada em Redundância Local de Barra.....	44
2.4 - Seleção de Medidores baseada em Redundância Local de Estado.....	50
2.5 - Conclusão.....	52

CAPÍTULO 3: Critérios para Avaliação de Estimadores de Estado e de Sistemas de Medição.....	56
3.1 - Simulador de Medidas.....	59
3.2 - Critério para Avaliação do Desvio Padrão.....	61
3.3 - Critério para Avaliação da Distância da Média..	63
3.4 - Critério para Avaliação da Detetabilidade de Erro Grosseiro.....	65
3.4.1 - Curva de Probabilidade de Detecção.....	65
3.4.2 - Índice de Detetabilidade.....	71
3.5 - Conclusão.....	76
 CAPÍTULO 4: Comparação de Estimadores e de Estratégias de Medição no Sistema Sul-Brasileiro.....	79
4.1 - Descrição do Sistema de Potência estudado.....	79
4.2 - Descrição do Sistema de Medição disponível....	82
4.3 - Resultado das Simulações.....	83
4.4 - Conclusão.....	96
 CONCLUSÃO E PERSPECTIVAS	98
 APÊNDICE A: MODELO DE LINHAS E TRANSFORMADORES E EQUAÇÕES DE $h(x)$ e $H(x)$	100
 APÊNDICE B: SISTEMA DE MEDAÇÃO DISPONÍVEL.....	105
 APÊNDICE C: LISTAGENS DOS PROGRAMAS.....	130
 APÊNDICE D: RESULTADO DE UMA ESTIMATIVA.....	224
 REFERÊNCIAS BIBLIOGRÁFICAS.....	275

INTRODUÇÃO

A operação dos sistemas de potência das Empresas de Energia Elétrica é realizada através dos seus Centros de Operação do Sistema, conhecidos como COS. Os COS's têm como responsabilidade geral o controle das usinas geradoras, das linhas de transmissão, das subestações, bem como do intercâmbio de energia entre outras empresas.

Para a execução de suas tarefas os COS's modernos contam com um sistema computacional que permite a implantação de diversas funções sendo a mais comum dentre elas o Controle Supervisório e Aquisição de Dados (Supervisory Control and Data Acquisition) ou simplesmente SCADA.

O SCADA tem como objetivo supervisionar o sistema de potência e permitir alguns tele-controles aos despachantes, tais como abertura e fechamento de disjuntores, mudança de tap de transformador, etc.

O SCADA é constituído de uma estação mestra que é implementada através de um sistema computacional e que fica localizada no COS, bem como de estações remotas que são responsáveis pela coleta de dados e controles que ficam localizados nas usinas e subestações. A aquisição de dados e o controle são comandados pela estação mestra que é ligada às estações remotas através de um sistema de telecomunicações. Este Sistema tem que ser confiável e normalmente é do tipo microondas. A estação mestra interroga as estações remotas num esquema mestre-escravo (master-slave).

Várias empresas de energia elétrica em todo o mundo, que dispõem de recursos computacionais, estão implementando gradativamente, além do SCADA, novas funções nos seus COS's; destas destacam-se o Estimador de Estado, o Despacho Econômico, o Controle Automático de Reativos, o Fluxo de Pot.T.Real e a Análise de Segurança em Tempo Real. Estas funções são também chamadas funções de Aplicação Avançada. No Brasil várias empresas estão modernizando seus COS's e a ELETROSUL está em fase de aquisição de um sistema para Despacho de Energia em Tempo Real chamado DETRE que tem como objetivos principais dotar o COS de uma ferramenta moderna para enfrentar o crescimento da complexidade na operação devido à expansão do sistema elétrico e de compor o Sistema Nacional de Supervisão e Coordenação, também chamado de SINSC.

O SINSC é um sistema hierárquico de coordenação do sistema elétrico interligado brasileiro e tem em primeiro nível o Centro de Supervisão e Coordenação (CSC) da ELETROBRÁS que se localizará em Brasília, e em segundo nível os COS's das 10 empresas mais importantes do país.

O Sistema DETRE se localizará em Curitiba e da sua composição farão parte um SCADA, um Controle Automático de Geração e funções avançadas tais como Estimação de Estado, Análise da Segurança em Tempo Real etc.

O que motivou este trabalho foi a necessidade de se realizar estudos de viabilidade da implementação do Estimador de Estado no COS da ELETROSUL.

Este trabalho pretende fornecer subsídios que poderão ser úteis na futura implementação do Estimador de Estado da ELETROSUL e consiste essencialmente da avaliação de três métodos de estimação de estado, bem como da avaliação do Sistema de Medição que estará disponível para o Estimador de Estado.

Para se comparar algoritmos de estimação de estado foram desenvolvidos testes que permitem avaliar a qualidade de estimação. Estes testes foram aplicados nos três métodos de estimação tendo como caso de teste o Sistema Elétrico da ELETROSUL previsto para o ano de 1986.

Os três estimadores testados durante o trabalho usam o método clássico ou completo [5] , Desacoplado no Algorítimo e o Desacoplado no Modelo (Desacoplado Rápido) [4] .

Durante o trabalho verificou-se que o Sistema de Medição projetado para o COS da ELETROSUL tem medidas em excesso do ponto de vista de um Estimador de Estado, ou seja, que algumas medidas devem ser retiradas do conjunto que alimentará o Estimador porque se mantidas não melhorarão a precisão dos resultados e por outro lado prejudicarão porque aumentarão o tempo de processamento. Em outras palavras , existe uma redundância ótima que deve ser mantida e que é inferior a do sistema de medição projetado.

Para a solução deste problema foram desenvolvidos dois algoritmos para a seleção dos medidores. Estes algoritmos de seleção têm como objetivo a escolha de um sistema de medição de modo que os medidores fiquem distribuídos uniformemente.

Os dois algoritmos de seleção desenvolvidos usam critérios de redundância local. No primeiro usou-se o critério da redun-

dância local de barra [1] , e no segundo o critério de redundância local de estado.

Após a implementação destes algoritmos, no computador verificou-se que o tempo de processamento do segundo é menor do que o do primeiro.

Para se comparar sistemas de medição foi desenvolvido um teste que permite avaliar a qualidade dos mesmos do ponto de vista de capacidade de deteção de erros grosseiros.

O presente trabalho contém a Introdução, quatro capítulos bem como a Conclusão e Perspectivas. Os quatro capítulos e a Conclusão e Perspectivas são descritos a seguir.

No capítulo 1 apresentamos a descrição teórica do Estimador de Estado baseado no método dos Mínimos Quadrados Ponderados. São feitas considerações sobre o algoritmo clássico ou completo e sobre os algorítimos desacoplados. Este capítulo inclui também a parte teórica relativa a deteção e identificação de erros grosseiros e uma descrição do método usado para a determinação do desvio padrão das medições.

O capítulo 2 apresenta a descrição dos métodos de Seleção do Sistema de Medição. A Seleção do Sistema de Medições visa a determinação do subconjunto do conjunto de medidas disponíveis ao Estimador de Estado que melhor atenda ao mesmo sob o ponto de vista de precisão dos resultados e tempo de processamento. Na seleção dos medidores são tomados cuidados para que a observabilidade se mantenha.

No capítulo 3 é apresentada a descrição dos critérios usados na avaliação dos estimadores e dos Sistemas de Medições. Foi usado um simulador de medidas para que tivéssemos uma aproximação do ca-

so real. Este simulador gera erros aleatórios com distribuição normal e desvio padrão especificados. Neste capítulo é apresentado também um índice para a avaliação do Sistema de Medição sob o ponto de vista da detetabilidade de erro grosseiro.

No capítulo 4 temos os resultados das comparações dos métodos de estimação e dos sistemas de medição. Temos também uma descrição do sistema de potência estudado, bem como o Sistema de Medição disponível.

Na última parte temos as conclusões do trabalho e algumas sugestões para trabalhos futuros.

CAPÍTULO 1

Estimação de Estado pelo Método dos Mínimos Quadrados Ponderados

"... na abundância de conselheiros há segurança."
Provérbios 11:14

1.1 A Definição do Problema

A finalidade do Estimador de Estado num Sistema de Potência é o processamento de informações da rede elétrica, geralmente obtidos por um Sistema de Aquisição de Dados de modo a formar uma Base de Dados confiável e coerente. Esta Base de Dados será utilizada para várias funções tais como monitoração, análise da segurança, fluxo de carga On-Line, determinação de medições com erros sistemáticos, etc. [1,2]. O Estimador de Estado pode ser definido como um procedimento matemático para calcular a melhor estimativa do vetor das tensões das barras, ou o vetor de estado de uma rede, a partir de um conjunto de medições e de pseudo-medições.

As pseudo-medições são valores atribuídos às grandezas que na realidade não são medidas, tais como por exemplo injeções nulas nas barras de passagem, valores provindos de um programa de Previsão de Cargas ou mesmo valores introduzidos pelo operador. As injeções nulas constituem uma boa informação para o estimador porque estes valores são determinísticos e exatos.

Quando uma barra não é observável porque não existem informações suficientes para tanto, seja porque não existe estação remota no local ou porque ela está fora de operação; ou quando se deseja aumentar a redundância local de alguma barra, lança-se mão de pseudo-medidas para suprir a falta de medidas.

A Base de Dados utilizada pelas funções implementadas no COS poderia ser formada diretamente com as medidas obtidas do campo, mas estas medidas contém erros que as tornam incoerentes e não confiáveis. É recomendável [15] que a Base de Dados seja formada com os resultados do Estimador de Estado uma vez que este pode ser pensado como um filtro que elimina erros grosseiros e estima coerentemente o vetor de estado que servirá para a construção de uma Base de Dados confiável.

Para um bom funcionamento do Estimador de Estado é necessário que exista um certo grau de redundância no conjunto das medições. Esta redundância deve estar distribuída uniformemente de modo a permitir a deteção, identificação e correção de erros grosseiros nas medidas, bem como fornecer valores estimados para pontos não telemedidos.

O relacionamento entre as grandezas medidas e o vetor de estado é não-linear, e o método dos Mínimos Quadrados Ponderados (MQP) tem provado ser um bom meio para a construção de Estimador de Estado.

Na figura 1.1-1 vemos ilustração do objetivo do Estimador de Estado. O Estimador recebe dados da configuração da rede, da configuração de medidores, do Sistema SCADA bem como pseudo medidas.

Estes dados são tratados pelo Estimador gerando como resultado uma estimativa confiável do vetor de estado do sistema elétrico.

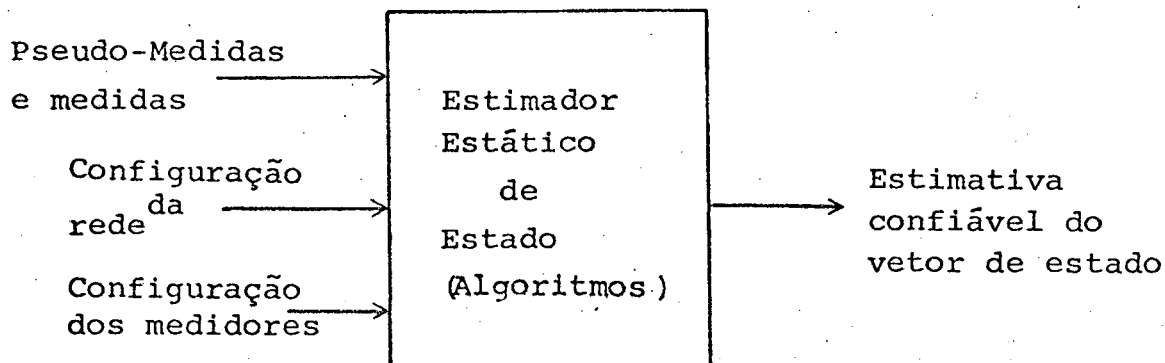


FIG. 1.1-1

As medidas, as pseudo-medidas, o estado verdadeiro e os erros de medição estão relacionados no Sistema Elétrico através da expressão [1, 3, 4, 5, 6, 7]

$$\underline{z} = \underline{h}(\underline{x}_v) + \underline{v} \quad (1.1-1)$$

onde

\underline{z} - representa o vetor de medidas e pseudo medidas de dimensão ($m \times 1$)

$\underline{h}(.)$ - Vetor de funções não lineares de dimensão ($m \times 1$) onde intervêm os parâmetros da rede

\underline{x}_v - Vetor de estado verdadeiro de dimensão ($n \times 1$) representando módulos e ângulos de tensões de barra.

O vetor \underline{v} é modelado como sendo aleatório com distribuição normal, tendo média zero, ou seja

$$E[\underline{v}] = 0 \quad (1.1-2)$$

A matriz de covariância de \underline{v} é suposta ser uma matriz diagonal de dimensão $m \times m$ e tendo a seguinte forma

$$\underline{R} = E[\underline{v} \underline{v}^T] = \begin{bmatrix} \sigma_1^2 & & & \\ & \sigma_2^2 & & \\ & & \ddots & \\ & & & \sigma_m^2 \end{bmatrix} \quad (1.1-3)$$

onde σ_i^2 é a variância da medida i

A matriz inversa de R, R^{-1} , é chamada matriz de ponderação.

A construção do Estimador de Estado baseada no Método dos Mínimos Quadrados Ponderados (MQP) consiste em encontrar um algoritmo iterativo para o vetor de estado \underline{x} que minimize a função não linear

$$J(\underline{x}) = [\underline{z} - \underline{h}(\underline{x})]^T R^{-1} [\underline{z} - \underline{h}(\underline{x})] \quad (1.1-4)$$

O valor de \underline{x} denominado $\hat{\underline{x}}$ que minimiza (1.1-4) é o vetor de estado estimado de \underline{x}_v

O vetor de estado \underline{x} é definido como

$$\underline{x} = \begin{bmatrix} \underline{\theta} \\ \vdots \\ \underline{V} \end{bmatrix}$$

onde os vetores \underline{V} e $\underline{\theta}$ representam respectivamente os módulos e os ângulos das tensões das barras. O vetor de estado tem dimensão $(nx1)$, onde $n=2NBUS-1$ e $NBUS$ = número de barras. Supõe-se que o ângulo de uma das barras, o da barra de referência, seja conhecido.

O vetor de medidas \underline{z} , é formado pelas medidas de tensão de barra, fluxos ativos e reativos nas linhas e transformadores, fluxos reativos de reatores, injeções ativas e reativas nas barras e pseudo medidas.

A relação entre a quantidade de informação disponível e o número de incógnitas é que define o grau de redundância.

O grau de redundância é dado pela expressão [1, 3, 4]:

$$\eta = \frac{m}{n} \quad (1.1-5)$$

ou seja é a relação entre número de medições e o número de estados

O valor ótimo de η deve estar entre 1.8 e 2.5 [1,8].

Da teoria de otimização [19], o valor de \underline{x} , denotado por $\hat{\underline{x}}$ que minimiza (1.1-4) deve satisfazer a equação

$$\left. \frac{\delta J}{\delta \underline{x}} \right|_{\underline{x}=\hat{\underline{x}}} = 0 \quad (1.1-6)$$

onde

$$\left. \frac{\delta J}{\delta \underline{x}} \right|_{\underline{x}=\hat{\underline{x}}} = -2 \underline{H}^T(\hat{\underline{x}}) \underline{R}^{-1} [\underline{z} - \underline{h}(\hat{\underline{x}})] \quad (1.1-7)$$

sendo

$$\underline{H}(\hat{\underline{x}}) = \left. \frac{\delta \underline{h}(\underline{x})}{\delta \underline{x}} \right|_{\underline{x}=\hat{\underline{x}}} \quad (1.1-8)$$

a matriz jacobiana de $\underline{h}(\hat{\underline{x}})$

De (1.1-7) e (1.1-6) obtém-se finalmente que o vetor ótimo $\hat{\underline{x}}$ deve satisfazer o seguinte sistema de equações não lineares:

$$\underline{H}^T(\hat{\underline{x}}) \underline{R}^{-1} [\underline{z} - \underline{h}(\hat{\underline{x}})] = 0 \quad (1.1-9)$$

Uma das maneiras de se resolver (1.1-9) é usar o método iterativo do tipo Quase-Newton [1, 3, 4, 5, 6]

$$G_k [\underline{x}_{k+1} - \underline{x}_k] = H^T(\underline{x}_k) R^{-1} [z - h(\underline{x}_k)] \text{ para } k=1, 2, \dots \quad (1.1-10)$$

onde \underline{x}_k é o valor de \underline{x} na k -ésima iteração, \underline{x}_0 é o valor inicial e G_k é uma matriz de ganho.

A convergência de \underline{x}_k implica na obtenção do vetor ótimo $\hat{\underline{x}}$ uma vez que a parte direita de (1.1-10) representa neste caso a condição de optimalidade (1.1-9).

Ao algorítimo (1.1-10) estão associados dois problemas:

1) a escolha da matriz G_k que particulariza tipos de algorítimos;

2) a escolha do método para resolver a equação linear

$$G_k \Delta \underline{x}_k = \underline{B}_k \quad (1.1-11)$$

onde

$$\Delta \underline{x}_k = \underline{x}_{k+1} - \underline{x}_k \quad \text{e} \quad \underline{B}_k = H^T(\underline{x}_k) R^{-1} [z - h(\underline{x}_k)]$$

A fim de se poder implementar o algoritmo (1.1-10) é necessário que a matriz G_k tenha rank máximo.

O processo iterativo (1.1-10) deve ser repetido até que a condição de convergência

$$\|\underline{x}_{k+1} - \underline{x}_k\| < \epsilon$$

seja satisfeita, onde ϵ é a tolerância especificada.

A seleção de algoritmos particulares para (1.1-10) implica na escolha de \underline{G} e consequentemente nas características de convergência.

Vamos tratar em seguida de três algoritmos para o Estimador de Estado: o clássico, o desacoplado no algoritmo e o desacoplado no modelo [4].

1.2 - Algoritmo Clássico de Estimação de Estado (MQP)

O algoritmo clássico MQP - Mínimos Quadrados Ponderados foi historicamente desenvolvido primeiro e se caracteriza por apresentar resultados bastante precisos apesar de não ser o mais rápido.

A obtenção de \underline{G}_k no caso do algoritmo MQP é baseada em expansão de $\underline{h}(\cdot)$ em série de Taylor.

Expandindo-se $\underline{h}(\underline{x}_{k+1})$ em torno de \underline{x}_k e desprezando-se os termos de ordem superior a fim de linearizar temos que:

$$\underline{h}(\underline{x}_{k+1}) \approx \underline{h}(\underline{x}_k) + \underline{H}(\underline{x}_k)[\underline{x}_{k+1} - \underline{x}_k] \quad (1.2-1)$$

Supondo que $\underline{h}(\underline{x}_{k+1}) \approx \underline{h}(\hat{\underline{x}})$, que $\underline{H}(\hat{\underline{x}}) \approx \underline{H}(\underline{x}_k)$ e substituindo (1.2-1) em (1.1-9) obtém-se :

$$\underline{H}^T(\underline{x}_k) \underline{R}^{-1} [\underline{z} - \underline{h}(\underline{x}_k) + \underline{H}(\underline{x}_k)[\underline{x}_{k+1} - \underline{x}_k]] = 0 \quad (1.2-2)$$

ou

$$\underline{H}^T(\underline{x}_k) \underline{R}^{-1} \underline{H}(\underline{x}_k) [\underline{x}_{k+1} - \underline{x}_k] = \underline{H}^T(\underline{x}_k) \underline{R}^{-1} [\underline{z} - \underline{h}(\underline{x}_k)] \quad (1.2-3)$$

Comparando esta equação com (1.1-10) concluimos que:

$$\underline{G}_k = \underline{H}^T(\underline{x}_k) \underline{R}^{-1} \underline{H}(\underline{x}_k) \quad (1.2-4)$$

A matriz \underline{G}_k é chamada matriz de informação.

Para inicializar o algoritmo (1.1-10) considera-se o ponto inicial \underline{x}_0 , na ausência de outro melhor, o "flat-start", ou seja, todos os módulos iguais a 1 e todos os ângulos iguais a zero.

Dois tipos de observabilidade da rede elétrica estão associadas ao algoritmo (1.1-10):

1. Observabilidade matemática;
2. Observabilidade numérica.

Se os medidores forem insuficientes ou mal distribuídos de tal forma que $\underline{H}(\underline{x}_v)$ não tenha posto máximo, então de (1.2-4) conclui-se que \underline{G}_k também não terá posto máximo, sendo portanto singular e assim impossibilitando a implementação do algoritmo (1.1-10). Quando $\underline{H}(\underline{x}_v)$ não tem posto máximo se diz que a rede é matematicamente não observável.

Mesmo que a rede tenha observabilidade matemática é possível que o algoritmo (1.1-10) divirja (valores de módulos de

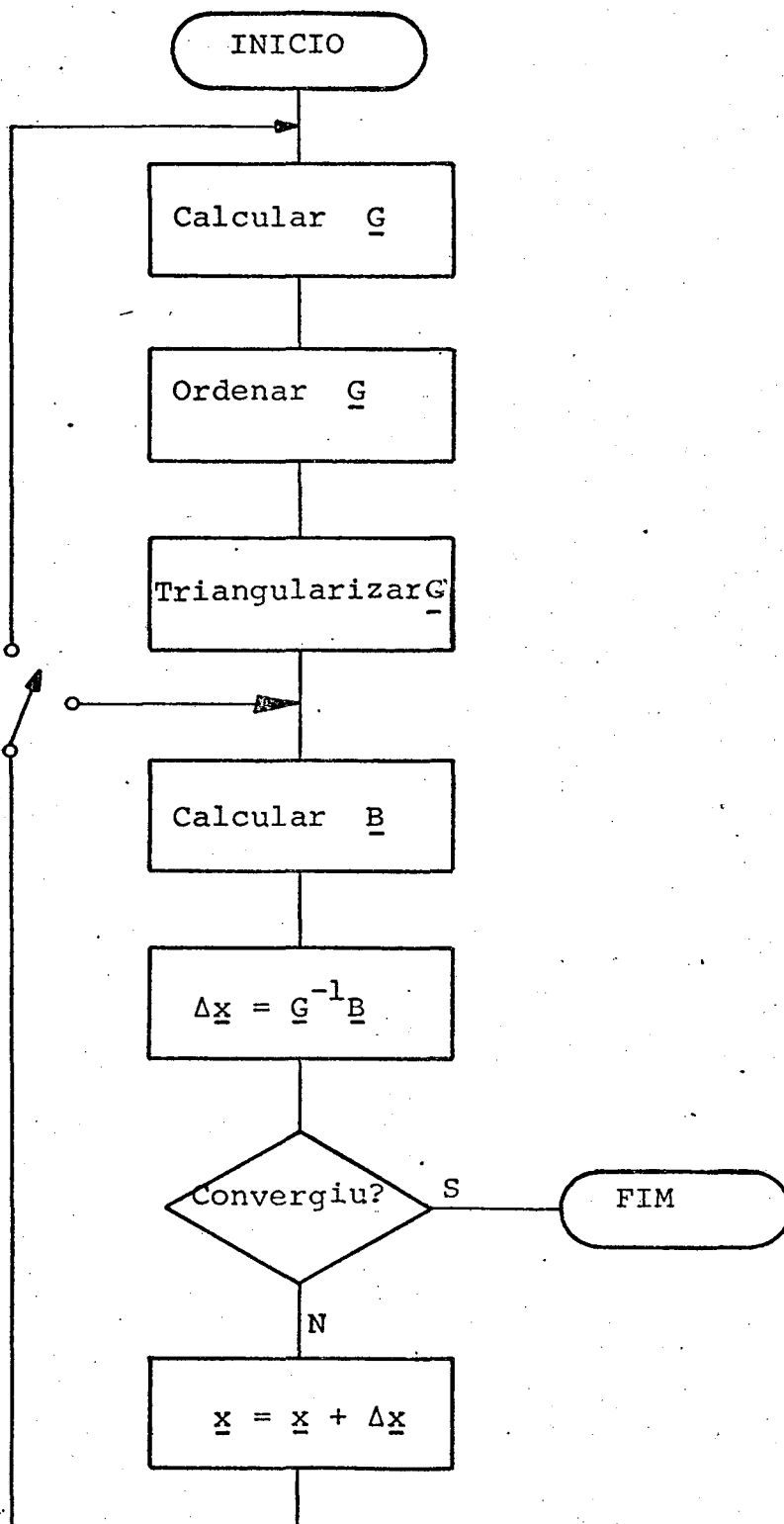
tensão são superiores a 1,5 p.u. ou inferiores a 0,5 p.u.) ou não converja (a tolerância especificada não é atingida em um número de iterações menor ou igual a um valor pré-estabelecido). Esses problemas são oriundos da não observabilidade numérica da rede. Quando valores de desvio padrão dos medidores são inadequados ou quando existem erros grosseiros no sistema de medição, a matriz G_k pode ficar mal condicionada (a relação entre o autovalor máximo e ou autovalor mínimo é elevada) acarretando os problemas de divergência e não convergência já citados. No caso de mau condicionamento de G_k diz-se que a rede é numericamente não observável. Algoritmo baseados nos métodos de Golub e Givens [16, 17] evitam os problemas da observabilidade numérica.

A matriz de informação G_k é esparsa, ou seja, apenas uma pequena parte dos seus elementos é não nula e como sua dimensão normalmente é grande torna-se necessário o uso de técnicas de esparsidade. Esta matriz na maioria dos sistemas elétricos varia pouco durante o processo de estimação e pode ser mantida constante durante algumas iterações. Outro fato importante relacionado à matriz G_k é a sua simetria, que reduz o tempo de cálculo e a memória ocupada nos computadores.

A figura (1.2-3) representa o diagrama em blocos da sub-rotina WLS que descreve a lógica de implementação do algoritmo MQP aqui discutido.

A sub-rotina calcula G e para resolver a equação (1.1-11) utiliza as técnicas clássicas de ordenação e triangularização. Em seguida é calculado o incremento Δx e realizado o teste de convergência.

Subrotina W.L.S



onde $G = \underline{H}^T \underline{R}^{-1} \underline{H}$
 $\underline{B} = \underline{H}^T \underline{R}^{-1} [\underline{z} - h(\underline{x})]$

Diagrama de blocos do método clássico (MQP)

FIG 1.2-3

A constante para verificação da convergência é igual a 0.001 e este mesmo valor foi usado também nos outros métodos estudados.

Se houver convergência a sub-rotina encerra. Se não houver convergência o valor de \underline{x} é recalculado e o processo se repete.

Os modelos adotados para os elementos da rede elétrica (linhas, transformadores, etc) bem como as expressões de $\underline{h}(\underline{x})$ e $\underline{H}(\underline{x})$ são apresentados no Apêndice A.

1.3 - Algoritmos Desacoplados

Com a finalidade de se desenvolverem Estimadores rápidos foram criados os chamados algoritmos desacoplados. Estes algoritmos se baseiam no desacoplamento P0, QV [4, 20, 21] que implica numa simplificação da matriz de ganho G_k ou, dependendo do caso, também da matriz jacobiana $H(\underline{x})$.

Com as citadas simplificações a quantidade de cálculo diminui consideravelmente, e consequentemente o tempo necessário para a estimação fica reduzido.

Duas filosofias de desacoplamento são consideradas na literatura [4, 14] :

- Desacoplamento no algoritmo
- Desacoplamento no modelo

O desacoplamento no algoritmo é feito através de aproximações no lado esquerdo de (1.1-10), ou seja, na matriz G_k .

Estas aproximações não afetam a eficácia do algoritmo, uma vez que a condição de otimalidade (lado direito de (1.1-10)) se mantém inalterada; apenas as características de convergência são afetadas.

Nos algoritmos desacoplados no modelo, o lado direito de (1.1-10) sofre aproximações de desacoplamento. Estas aproximações implicam numa alteração da condição de otimalidade e consequentemente na alteração da solução. Mas a alteração da solução é desprezível se o nível de tensão da rede elétrica é elevado, isto é, igual ou superior a 138 kV [14].

Para mostrar os desacoplamentos, é necessário considerar as definições e expressões dadas a seguir.

A matriz \underline{H} pode ser dividida em submatrizes como ilustrado abaixo:

$$\underline{H} = \begin{bmatrix} \frac{\delta P}{\delta \theta} & \frac{\delta P}{\delta V} \\ \hline \frac{\delta Q}{\delta \theta} & \frac{\delta Q}{\delta V} \end{bmatrix} = \begin{bmatrix} \underline{H}_{11} & \underline{H}_{12} \\ \hline \underline{H}_{21} & \underline{H}_{22} \end{bmatrix} \quad (1.3-2)$$

onde P corresponde às medidas "ativas" Q às "reativas"

A matriz \underline{R}^{-1} de ponderação também pode ser decomposta em quatro partes, tendo \underline{R}_1^{-1} elementos relacionados a medidores de potência ativa e \underline{R}_2^{-1} elementos relacionados a medidores de potência reativa e tensão.

$$\underline{R}^{-1} = \begin{bmatrix} \underline{R}_1^{-1} & 0 \\ \hline 0 & \underline{R}_2^{-1} \end{bmatrix} \quad (1.3-3)$$

A matriz de informação \underline{G} consequentemente terá a seguinte forma:

$$\underline{G} = \begin{bmatrix} \underline{G}_{P\theta} & | & \underline{G}_{PV} \\ \hline & | & | \\ \underline{G}_{Q\theta} & | & \underline{G}_{QV} \end{bmatrix} \quad (1.3-4)$$

onde

$$\underline{G}_{P\theta} = \underline{H}_{11}^T \underline{R}_1^{-1} \underline{H}_{11} + \underline{H}_{21}^T \underline{R}_2^{-1} \underline{H}_{21}$$

$$\underline{G}_{PV} = \underline{H}_{11}^T \underline{R}_1^{-1} \underline{H}_{12} + \underline{H}_{21}^T \underline{R}_2^{-1} \underline{H}_{22}$$

$$\underline{G}_{Q\theta} = \underline{H}_{12}^T \underline{R}_1^{-1} \underline{H}_{11} + \underline{H}_{22}^T \underline{R}_2^{-1} \underline{H}_{21}$$

$$\underline{G}_{QV} = \underline{H}_{12}^T \underline{R}_1^{-1} \underline{H}_{12} + \underline{H}_{22}^T \underline{R}_2^{-1} \underline{H}_{22}$$

1.3.1 - Desacoplamento no Algoritmo

O desacoplamento no algoritmo [4, 10, 11] ocorre fazendo-se $\underline{G}_{PV} = 0$ e $\underline{G}_{Q\theta} = 0$ em (1.3-4). Além disso, no cálculo de $\underline{G}_{P\theta}$ e \underline{G}_{QV} pode-se fazer $\underline{H}_{12} = 0$ e $\underline{H}_{21} = 0$.

Outra simplificação consiste em calcular \underline{H} para $V = 1$ e $\theta = 0$ de modo que \underline{G} é calculada uma única vez no início e mantida constante ao longo do processo. Neste último caso o algoritmo é chamado desacoplado rápido.

O algoritmo implementado neste trabalho é idêntico ao algoritmo usado para o método clássico (MQP), com as seguintes opções:

- a. $\underline{G}_{PV} = \underline{G}_{Q\theta} = 0$, recalculando \underline{G} a cada iteração.
- b. $\underline{G}_{PV} = \underline{G}_{Q\theta} = 0$, calculando \underline{G} apenas no início do processo iterativo.
- c. $\underline{H}_{12} = \underline{H}_{21} = 0$, recalculando \underline{G} a cada iteração.
- d. $\underline{H}_{12} = \underline{H}_{21} = 0$, calculando \underline{G} apenas no início do processo iterativo.

Com as aproximações de desacoplamento, os estados correspondentes aos ângulos e os estados correspondentes aos módulos podem ser calculados desacopladamente:

$$\left. \begin{array}{l} P\theta \\ QV \end{array} \right\} \begin{array}{l} \left. \begin{array}{l} \underline{G}_{P\theta} \Delta \underline{\theta}_k = [\underline{H}_{11}^T \quad \underline{H}_{21}^T] \underline{R}^{-1} [z - h(\underline{\theta}_k, \underline{v}_k)] \\ \underline{\theta}_{k+1} = \underline{\theta}_k + \Delta \underline{\theta}_k \end{array} \right. \\ \left. \begin{array}{l} \underline{G}_{QV} \underline{v}_k = [\underline{H}_{12}^T \quad \underline{H}_{22}^T] \underline{R}^{-1} [z - h(\underline{\theta}_k, \underline{v}_k)] \\ \underline{v}_{k+1} = \underline{v}_k + \Delta \underline{v}_k \end{array} \right. \end{array}$$

1.3.2 - Desacoplamento no modelo

O desacoplamento no modelo [4] ocorre quando se despreza \underline{H}_{12} e \underline{H}_{21} .

Se a matriz \underline{H} é calculada uma única vez considerando-se $v = 1$ e $\theta = 0$, obtém-se um estimador desacoplado rápido. A fim de reduzir a não linearidade do problema, pode ser aplicada

uma transformação nas medidas de potência como segue:

$$Tik = \frac{Pik}{Vi} , \quad Uik = \frac{Qik}{Vi}$$

$$Ii = \frac{Pi}{Vi} , \quad Ki = \frac{Qi}{Vi} , \quad Si = \frac{Ri}{Vi}$$

onde Pik , Qik , Pi , Qi , Ri são respectivamente as medidas de fluxo ativo, fluxo reativo, injeção ativa, injeção reativa e potência reativa de reatores e Tik , Uik , Ii , Ki , Si , são as medidas transformadas.

Quando se faz desacoplamento no modelo, na realidade está-se alterando o problema porque a condição de otimalidade não será mais verificada, o que implica num resultado aproximado em relação ao do método clássico (MQP).

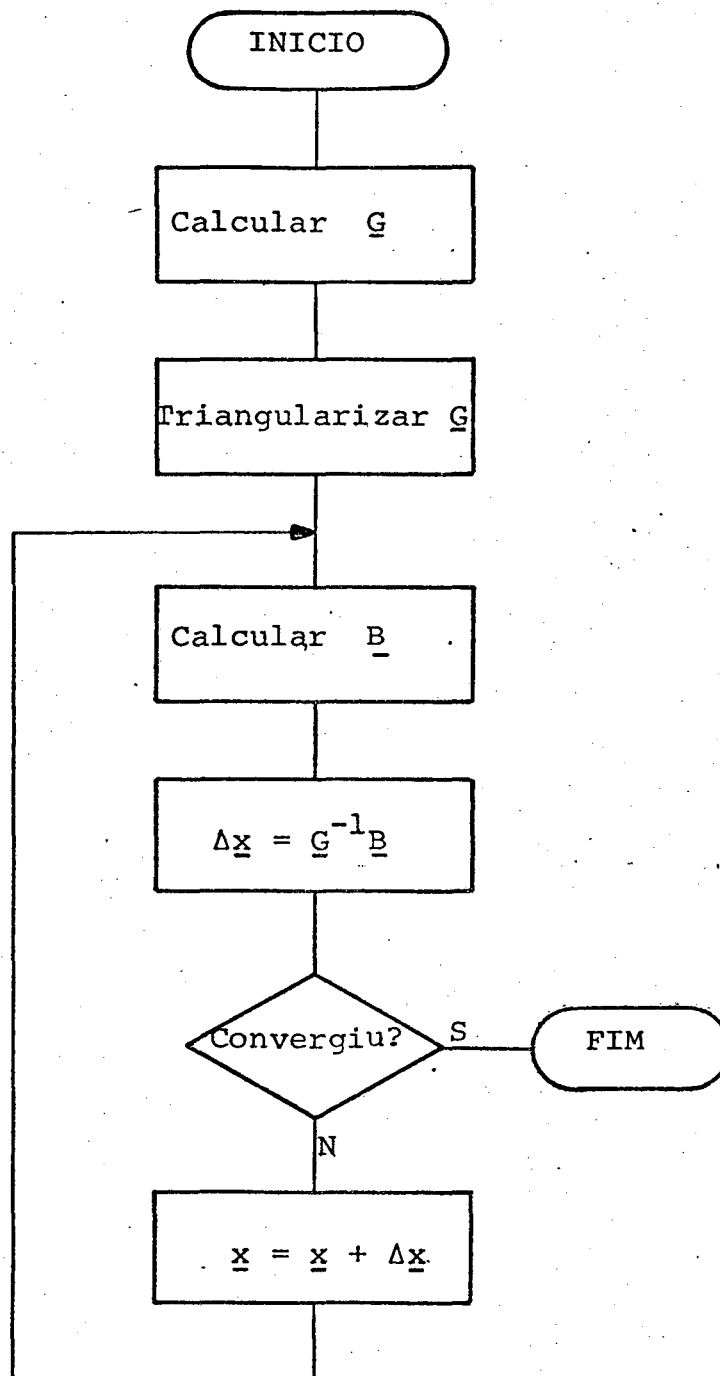
Na fig. (1.3.2-1) temos o algoritmo implementado com desacoplamento no modelo. Notar que o algoritmo implementado é do tipo rápido.

Com as aproximações de desacoplamento o algoritmo pode ser reescrito em duas partes como segue:

$$\left. \begin{array}{l} P\theta \\ \left\{ \begin{array}{l} G_{P\theta} \Delta \theta_k = H_{11}^T R_1^{-1} [z_1 - h_1(\theta_k, V_k)] \\ \theta_{k+1} = \theta_k + \Delta \theta_k \end{array} \right. \end{array} \right.$$

$$\left. \begin{array}{l} QV \\ \left\{ \begin{array}{l} G_{QV} \Delta V_k = H_{22}^T R_2^{-1} [z_2 - h_2(\theta_k, V_k)] \\ V_{k+1} = V_k + \Delta V_k \end{array} \right. \end{array} \right.$$

Subrotina D R A P



$$\text{onde } \underline{G} = \underline{H}^T \underline{R}^{-1} \underline{H}$$

$$\underline{B} = \underline{H}^T \underline{R}^{-1} [\underline{z} - \underline{h}(\underline{x})]$$

são calculados conforme o texto

Diagrama de blocos do método desacoplado no modelo

FIG. 1.3.2-1

$$\underline{z}_1 = \begin{bmatrix} T \\ - \\ I \end{bmatrix}, \quad h_1(\underline{\theta}_k, \underline{v}_k) = \begin{bmatrix} T(\underline{\theta}_k, \underline{v}_k) \\ - \\ I(\underline{\theta}_k, \underline{v}_k) \end{bmatrix}$$

onde

$$\underline{z}_2 = \begin{bmatrix} U \\ K \\ V \\ S \end{bmatrix} \quad \text{e} \quad h_2(\underline{\theta}_k, \underline{v}_k) = \begin{bmatrix} U(\underline{\theta}_k, \underline{v}_k) \\ K(\underline{\theta}_k, \underline{v}_k) \\ V(\underline{\theta}_k, \underline{v}_k) \\ S(\underline{\theta}_k, \underline{v}_k) \end{bmatrix}$$

1.4 - Detecção de Erro Grosseiro

Num sistema de aquisição de dados, algumas medidas poderão apresentar erros grosseiros sistemáticos devidos à descalibração de transdutores ou a transitórios ocorrendo em apenas algumas varreduras. Estas medidas errôneas, se não forem suprimidas ou corrigidas, afetarão o resultado do estimador, principalmente em barras próximas a elas. Uma vez detetada a existência de erros grosseiros, torna-se necessário um meio para identificar os medidores responsáveis.

Um dos métodos mais usados para a detecção consiste em realizar um teste de hipóteses sobre a variável aleatória $J(\underline{x})$ [1, 3, 4, 5]. Para se entender o mecanismo deste teste vamos a seguir estudar a distribuição de $J(\underline{x})$.

1.4.1 - Distribuição de $J(\underline{x})$ sem e com erro grossoiro

Como vimos em (1.1-4), $J(\underline{x})$ tem a seguinte forma:

$$J(\underline{x}) = [\underline{z} - h(\underline{x})]^T R^{-1} [\underline{z} - h(\underline{x})] \quad (1.4.1-1)$$

Considerando $J(\hat{x})$ o valor da função no ponto $\underline{x} = \hat{x}$, espera-se que intuitivamente este valor cresça consideravelmente em presença de erros grosseiros.

Substituindo (1.1-1) em (1.1-9) temos que:

$$\underline{H}^T (\hat{x}) \underline{R}^{-1} [\underline{h}(\underline{x}_v) + \underline{v} - \underline{h}(\hat{x})] = 0 \quad (1.4.1-2)$$

Vamos definir o erro de estimação por

$$\underline{\delta}_x = \underline{x}_v - \hat{x} \quad (1.4.1-3)$$

e linearizar $\underline{h}(\underline{x}_v)$ em torno de \hat{x} por

$$\underline{h}(\underline{x}_v) = \underline{h}(\hat{x}) + \underline{H}(\hat{x}) \underline{\delta}_x \quad (1.4.1-4)$$

Substituindo (1.4.1-4) em (1.4.1-2) temos que

$$\underline{H}^T \underline{R}^{-1} [\underline{H} \underline{\delta}_x + \underline{v}] = 0$$

$$\underline{H}^T \underline{R}^{-1} \underline{H} \underline{\delta}_x = -\underline{H}^T \underline{R}^{-1} \underline{v}$$

$$\underline{\delta}_x = -\Sigma_x \underline{H}^T \underline{R}^{-1} \underline{v} \quad (1.4.1-5a)$$

$$\text{onde } \Sigma_x = [\underline{H}^T \underline{R}^{-1} \underline{H}]^{-1} \quad (1.4.1-5b)$$

Vamos definir o vetor dos erros \underline{v} como tendo duas partes \underline{v}_z e \underline{b} , onde \underline{v}_z , é uma variável aleatória normal com média zero e matriz de covariância \underline{R} , e \underline{b} um erro grosseiro

$$\underline{v} = \underline{v}_z + \underline{b} \quad (1.4.1-6)$$

Quando não existe erro grosseiro, isto é, $\underline{v} = \underline{v}_z$, a matriz de covariância do erro de estimação $\underline{\delta}_x$ é dada por:

$$E[\underline{\delta}_x \underline{\delta}_x^T] \quad (1.4.1-7)$$

Usando (1.4.1-5a) temos que:

$$\underline{\delta}_x \underline{\delta}_x^T = \Sigma_x \underline{H}^T \underline{R}^{-1} \underline{v} \underline{v}^T \underline{R}^{-T} \underline{H} \Sigma_x^T$$

$$E[\underline{\delta}_x \underline{\delta}_x^T] = \Sigma_x \underline{H}^T \underline{R}^{-1} E[\underline{v} \underline{v}^T] \underline{R}^{-T} \underline{H} \Sigma_x^T$$

Como $E[\underline{v}\underline{v}^T] = \underline{R}$, e sendo \underline{R} simétrica

$$E[\delta_{\underline{x}}\delta_{\underline{x}}^T] = \underline{\Sigma}_{\underline{x}}^H \underline{R}^{-1} \underline{\Sigma}_{\underline{x}}^T$$

Mas $\underline{\Sigma}_{\underline{x}}$ é simétrica e usando (1.4.1-5b) vem:

$$E[\delta_{\underline{x}}\delta_{\underline{x}}^T] = \underline{\Sigma}_{\underline{x}} \quad (1.4.1-8)$$

Vamos definir o vetor de resíduos por:

$$\hat{\underline{r}} = \underline{z} - \underline{h}(\hat{\underline{x}}) \quad (1.4.1-9)$$

Substituindo (1.1-1) em (1.4.1-9):

$$\hat{\underline{r}} = \underline{h}(\underline{x}) + \underline{v} - \underline{h}(\hat{\underline{x}})$$

Usando (1.4.1-4) e (1.4.1-5a):

$$\hat{\underline{r}} = \underline{v} - \underline{H}\underline{\Sigma}_{\underline{x}}^H \underline{R}^{-1} \underline{v}$$

O vetor de resíduos pode equivalentemente ser reescrito por:

$$\hat{\underline{r}} = \underline{W}\underline{v} \quad (1.4.1-10)$$

onde a matriz de sensitividade \underline{W} é dada por:

$$\underline{W} = \underline{I} - \underline{H}\underline{\Sigma}_{\underline{x}}^H \underline{R}^{-1} \quad (1.4.1-11)$$

Substituindo-se (1.4.1-10) em (1.4.1-1), com $\underline{x} = \hat{\underline{x}}$ e $\underline{v} = \underline{v}_Z$ temos que:

$$J(\hat{\underline{x}}) = \underline{v}^T \underline{W}^T \underline{R}^{-1} \underline{W} \underline{v}_Z$$

Como $\underline{W}^T \underline{R}^{-1} \underline{W} = \underline{R}^{-1} \underline{W}$,

$$J(\hat{\underline{x}}) = \underline{v}^T \underline{R}^{-1} \underline{W} \underline{v}_Z \quad (1.4.1-12)$$

Por hipótese, v_z tem distribuição normal, e assim $J(\hat{x})$ tem uma distribuição χ^2 com $K = m-n$ graus de liberdade [1, 3, 4, 14]. Este fato implica que $J(\hat{x})$ tem média K e desvio padrão $\sqrt{2K}$. Quando $K \geq 30$, $J(\hat{x})$ se aproxima de uma distribuição normal e a variável aleatória gaussiana [12, 3].

$$\xi = \frac{J(\hat{x}) - K}{\sqrt{2K}} \quad (1.4.1-13)$$

tem média zero e variância 1, isto é, $N(0, 1)$.

Supondo agora que haja erro grosseiro na i -ésima medida, o erro nesta medida será dado por:

$$v = v_z + b = v_z + e_i \alpha \quad (1.4.1-14)$$

onde e_i é um vetor com todos os coeficientes nulos exceto o elemento i , que é igual a 1, e α corresponde à magnitude do erro grosseiro. O vetor e_i é expresso por $e_i^T = [0 \dots 010 \dots 0]$

De (1.4.1-14) e (1.4.1-10) temos para o resíduo \hat{r}

$$\hat{r} = Wv_z + We_i \alpha \quad (1.4.1-15)$$

Considerando-se (1.4.1-15), (1.4.1-9) e (1.4.1-1) temos:

$$J(\hat{x}) = [v_z + e_i \alpha]^T R^{-1} W [v_z + e_i \alpha]$$

$$J(\hat{x}) = v_z^T R^{-1} W v_z + 2\alpha e_i^T R^{-1} W v_z + \alpha^2 e_i^T R^{-1} W e_i \quad (1.4.1-16)$$

Como v_z tem, por hipótese distribuição normal, o primeiro termo de (1.4.1-16) tem distribuição χ^2 , o segundo tem distribuição normal e o terceiro é constante [1,3].

Se $K \geq 30$, $J(\hat{x})$, neste caso, tem média μ e variância σ^2 dados por [1, 3]:

$$\mu_J = K + \frac{\alpha^2}{\sigma_i^2} W_{ii} \quad \text{e} \quad \sigma_J^2 = 2K + \frac{4\alpha^2}{\sigma_i^2} W_{ii} \quad (1.4.1-17)$$

onde W_{ii} é o elemento (i, i) da matriz de sensitividade \underline{W} .

Quando $K \geq 30$, a variável aleatória ξ definida por (1.4.1-13) tem distribuição normal com média μ e desvio padrão σ dados por:

$$\mu = \frac{\mu_J - K}{\sqrt{2K}} \quad \text{e} \quad \sigma = \frac{\sigma_J}{\sqrt{2K}} \quad (1.4.1-18)$$

Observe que com a presença de erros grosseiros, a média de ξ é diferente de zero e a variância é diferente de 1.

1.4.2 - Teste de Hipótese

Para se decidir se uma estimativa foi boa ou não, torna-se necessário um critério, ou seja, é necessário decidir se consideramos que entre as medidas existem ou não erros grosseiros. Para tanto, faz-se um teste estatístico chamado teste de hipóteses [12, 13].

Foi mostrado que se não existe erro grossoiro

$$\mu_J = K \quad (1.4.2-1)$$

Fazendo um teste com o valor obtido de $J(\hat{x})$ pretendemos aceitar ou rejeitar a hipótese chamada H_0 que consiste em aceitar que a média μ_J seja K .

O teste sobre $J(\hat{x})$ pode levar também à não aceitação de H_0 ou seja a aceitação de uma hipótese alternativa H_1 que consiste em aceitar que H_0 é falsa.

O teste sobre $J(\hat{x})$ consiste em comparar $J(\hat{x})$ com um valor γ determinado convenientemente:

$$\text{Se } \begin{cases} J(\hat{x}) < \gamma & \text{aceita-se } H_0 \\ J(\hat{x}) \geq \gamma & \text{rejeita-se } H_0 \end{cases} \quad (1.4.2-2)$$

Existem dois tipos de erros que podemos cometer. Podemos rejeitar H_0 quando H_0 é verdadeira, ou seja adotamos que não existe erro grossoiro quando na realidade existe, ou o caso contrário, adotamos que existe erro grossoiro quando não existe. Estes erros são definidos em estatística [12, 13] como erros tipo 1 e 2:

Erro tipo 1: Rejeitar H_0 quando H_0 for verdadeira;

Erro tipo 2: Aceitar H_0 quando H_0 for falsa.

Deve-se esclarecer que não podemos evitar completamente estes erros e tentaremos manter relativamente pequena a probabilidade de cometê-los.

Para enfrentar este problema vamos ver a função característica de operação L , que é função da média e é definida como

$$L(\mu_J) = P(\text{aceitar } H_0 \mid \mu_J)$$

$L(\mu_J)$ é a probabilidade de aceitar H_0 , quando μ_J é dada.

A função $L(\mu_J)$ tem a forma geral mostrada na Fig.

(1.4.2-1)

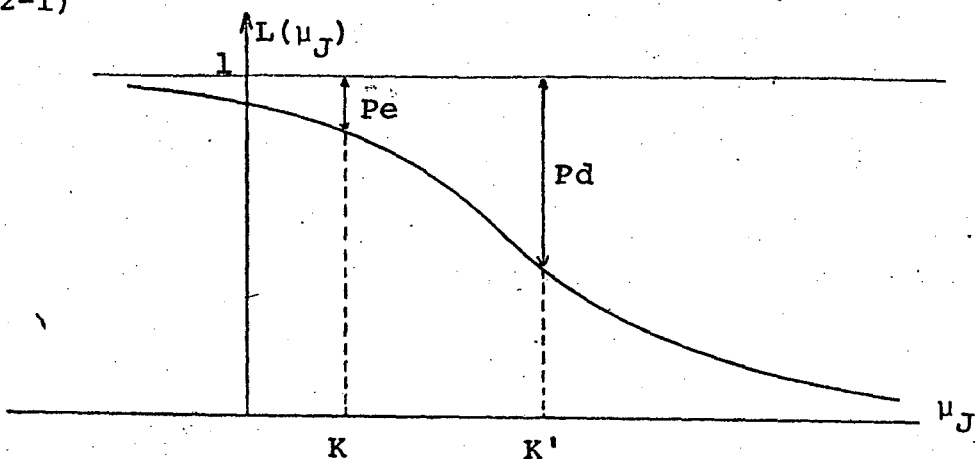


Fig. 1.4.2-1

A demonstração das propriedades de $L(\mu_J)$ não faz parte deste trabalho mas verifica-se que [12]:

- a. $L(-\infty) = 1$
- b. $L(+\infty) = 0$
- c. $\frac{dL}{d\mu_J} < 0$ para todo μ_J (Portanto L é uma função estritamente descrecente de μ_J)

Para interpretar a função característica de operação, vamos considerar os pontos onde $\mu_J = K$ e $\mu_J = K'$ na figura (1.4.2-1) onde $K = m - n$ e $K' = K + \Delta$.

Para $\mu_J = K$ temos que

$L(K)$ é a probabilidade de aceitar H_0 quando H_0 é verdadeira, ou seja, quando não há erro grosseiro.

$1 - L(K)$ é a probabilidade de ocorrência do erro tipo I.

Esta probabilidade é chamada P_e (probabilidade de falso alarme).

Para $\mu_J = K'$ onde $K' > K$ temos que:

$L(K')$ é a probabilidade de aceitar H_0 quando H_0 é falsa, ou seja, existe erro grosseiro. Esta é a probabilidade de ocorrência do erro tipo 2 e que depende de K' .

$1-L(K')$ é a probabilidade de rejeitar H_0 quando H_0 é falsa, ou seja, a probabilidade de detetar erro grosseiro. Esta probabilidade é chamada de probabilidade de deteção P_d . Esta probabilidade depende de K' e se aproxima de 1 quando K' tende para infinito. Para cada medidor existe uma curva ($P_d \times \alpha / \sigma_i$) que relaciona a probabilidade de deteção P_d com a magnitude do erro contido na medição, conforme será visto na secção 3.4.1.

A interpretação das curvas de probabilidade de deteção dos medidores tem um significado fundamental para este trabalho, pois a partir delas definiu-se um índice que permite avaliar a eficácia do sistema de medição sob o ponto de vista de capacidade de deteção de erro grosseiro.

Para se fazer o teste (1.4.2-2) necessita-se da constante γ . Esta constante é calculada [12, 13] de tal forma que a probabilidade de ocorrência de erro tipo 1, denominada P_e , seja pequena e especificada pelo usuário.

Vamos mostrar a seguir como se determina a constante γ

Na secção (1.4.1) vimos que a variável aleatória $\xi = (J(\hat{x}) - K) / \sqrt{2K}$ tem distribuição $N(0,1)$ quando não existe erro grosseiro e $K \geq 30$

Dado P_e pode-se determinar Z de tal forma que

$$P\left(\frac{J(\hat{x}) - K}{\sqrt{2K}} < Z\right) = P_e \quad (1.4.2-3)$$

Se $P_e = 0,05$, da tabela de distribuição normal [12, 13] determina-se que $Z = 1,65$

Assim para $P_e = 0,05$

$$P\left(\frac{J(\hat{x}) - K}{\sqrt{2K}} < 1,65\right) = P(J(\hat{x}) < K + 1,65\sqrt{2K}) = 0,05 \quad (1.4.2-4)$$

Da equação (1.4.2-4) determina-se o teste (1.4.2-2).

Para $P_e = 0,05$ o valor de γ será dado por:

$$\gamma = K + 1,65\sqrt{2K} \quad (1.4.2-5)$$

1.5 - Identificação de Erro Grosseiro

Após a conclusão de que existe erro grosseiro é preciso identificar qual a medida que é portadora do erro. Para isto foi concebida a idéia de identificação de erros grosseiros [3, 4, 5]. Uma vez que a medida é identificada, ela pode ser excluída e uma nova estimativa é feita, ou pode ser corrigida [4, 22]. Quando se adota a segunda alternativa, evita-se a mudança do sistema de medição, acarretando economia de cálculo e tempo de computação.

O método de identificação adotado foi o do resíduo normalizado.

1.5.1 - Método do Resíduo Normalizado

Este método consiste em se calcular os resíduos normalizados determinando-se o maior módulo. Este resíduo tem grande probabilidade de ser o resíduo da medida portadora do erro grosso como, será mostrado em seguida.

Na secção (1.4.1) vimos que a matriz de covariância do erro de estimação δ_x era

$$E[\delta_x \delta_x^T] = \Sigma_x \quad (1.5.1-1)$$

onde

$$\Sigma_x = [H^T R^{-1} H]^{-1}$$

Definindo-se o vetor de resíduo \hat{r} como

$$\hat{r} = \underline{z} - \hat{\underline{z}} = \underline{h}(x) + \underline{v} - \underline{h}(\hat{x})$$

concluímos que

$$\hat{r} = Wv \quad (1.5.1-2) \quad (1.5.1-2)$$

onde

$$W = I - H\Sigma_x H^T R^{-1}$$

Pode-se mostrar também que:

$$E[\hat{r} \hat{r}^T] = \Sigma_r = R - H\Sigma_x H^T = WR \quad (1.5.1-3)$$

Chamaremos de D a diagonal da matriz Σ_r

$$D = \text{diag } \Sigma_r \quad (1.5.1-4)$$

Quando não existe erro grossoiro, o resíduo normalizado \hat{r}_N é definido por:

$$\hat{r}_N = D^{-1} \hat{r} \quad (1.5.1-5)$$

Se existir erro grossoiro na i -ésima medida, vimos em (1.4.1-14) que o vetor dos erros assumia a seguinte forma:

$$\underline{v} = \underline{v}_z + \underline{e}_i \alpha \quad (1.5.1-6)$$

onde \underline{v}_z é o vetor dos erros aleatórios com média zero, α é a magnitude do erro grossoiro e o vetor \underline{e}_i tem a forma

$$\underline{e}_i = \begin{bmatrix} 0 \\ \vdots \\ 1 \\ \vdots \\ 0 \end{bmatrix} \quad (1.5.1-7)$$

com 1 na posição i e zero nas demais.

Substituindo-se (1.5.1-6) em (1.5.1-2):

$$\hat{r} = W\underline{v}_z + W\underline{e}_i \alpha$$

O valor médio de \underline{r} , \bar{r} , será

$$\bar{r} = W\underline{e}_i \alpha \quad (1.5.1-8)$$

porque $\bar{\underline{v}}_z = 0$. Considerando a definição de \underline{e}_i tem-se que:

$$\bar{r} = \begin{bmatrix} w_{1i} \\ w_{2i} \\ \vdots \\ \vdots \\ w_{mi} \end{bmatrix} \alpha$$

Os valores médios dos resíduos normalizados \bar{r}_{Nj} serão dados por

$$\bar{r}_{Nj} = \frac{w_{ji}}{\sqrt{D_{jj}}} \alpha \quad i = 1, \dots, m \quad (1.5.1-9)$$

j = medida com erro grossoiro

onde w_{ji} é o elemento (j, i) da matriz \underline{W} e D_{jj} é o elemento (j, j) de D .

Podemos verificar de (1.5.1-4) e (1.5.1-3) que:

$$D_{jj} = w_{jj} \sigma_j^2 \quad (1.5.1-10)$$

De (1.5.1-10) e (1.5.1-9) temos que

$$\bar{r}_{Nj} = \frac{w_{ji}}{\sqrt{w_{jj}}} \frac{\alpha}{\sigma_j} \quad (1.5.1-11)$$

Todos os resíduos normalizados r_{Nj} tem médias conforme (1.5.1-8).

Quando existe redundância suficiente, os termos da diagonal de \underline{W} são dominantes [4].

$$|w_{jj}| > |w_{ji}| \quad \text{para } j \neq i$$

Assim sendo, o erro grossoiro localizado em i causará uma média \bar{r}_{Ni} [4] maior em módulo que as outras, possibilitando a identificação do erro grossoiro.

A média \bar{r}_{Ni} é dada por

$$\bar{r}_{Ni} = \sqrt{w_{ii}} \frac{\alpha}{\sigma_i} \quad (1.5.1-12)$$

Portanto para se identificar um erro grosseiro calcula-se o resíduo normalizado de todas as medidas e identifica-se o maior em módulo, que terá grande probabilidade de ser o resíduo da medida portadora do erro grosseiro.

1.6 - Determinação do Desvio Padrão dos Medidores

As medições num Sistema de Potência são realizadas através de transformadores de potencial, TP_s , transformadores de corrente, TC_s , transdutores, Tds, e conversores Analógico/Digital, A/D, como mostram as figuras (1.6-1) e (1.6-2).

Para medições de tensão tem-se:

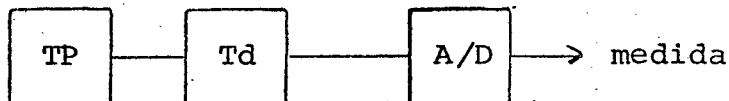


Fig. 1.6-1

E para medições de potência tem-se:

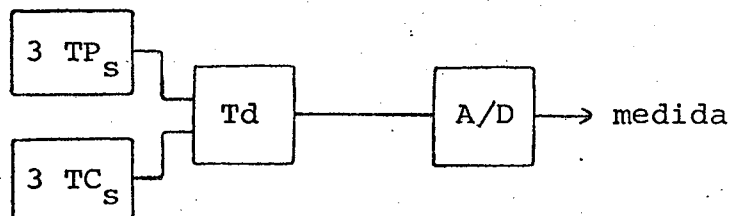


Fig. 1.6-2

No caso do sistema de aquisição de dados da ELETROSUL, os elementos que farão parte das medições têm os seguintes va-

lores de precisão especificados:

TP_s e TC_s - 0,3% na relação de transformação

Transdutores - 0,5% do fundo de escala

Conversores A/D - 0,1% do fundo de escala

Estes valores são usuais [7, 9, 11], havendo pouca variação para sistemas de medição de outras empresas.

Para se determinar o desvio padrão das medições foram usados os erros máximos esperados. Como a distribuição do erro é suposta normal, cerca de 99,7% das medidas ficarão entre $\pm 3\sigma$ onde σ é o desvio padrão. Foi adotado portanto que:

$$3\sigma = \text{erro máximo} \quad (1.6-1)$$

No cálculo do erro máximo das medições de tensão temos que:

$$3\sigma = 0,003V_{med} + (0,005 + 0,001)F.E. \quad (1.6-2)$$

onde V_{med} = Valor medido

F.E. = Fundo de Escala

como $V_{med} \approx F.E.$ temos que

$$3\sigma = (0,009)F.E.$$

$$\text{ou } \sigma = 0,003 F.E. \quad (1.6-3)$$

No cálculo do desvio padrão das medições de potência [7] existem duas hipóteses para a participação dos TP_s e TC_s . Se os erros se somarem, teremos para precisão de relação de transformação:

$$3 \times 0,003 + 3 \times 0,003 = 0,018 \quad (1.6-4)$$

Porém, se os erros não se somarem, a precisão de relação de transformação será:

$$0,003 + 0,003 = 0,006 \quad (1.6-5)$$

Foi adotado o valor 0,009 como sendo a participação dos TP_s e TC_s no cálculo do desvio padrão uma vez que 0,009 é um valor intermediário.

Assim:

$$3\sigma = 0,009 V_{med} + (0,005 + 0,001)F.E.$$

ou

$$\sigma = 0,003 V_{med} + 0,002 F.E. \quad (1.6-6)$$

Nos estudos realizados foram usados Fundos de Escala distribuídos em função do nível de tensão, conforme a tabela seguinte:

Nível de Tensão (kV)	Fundo de Escala (MW/MVAR)
138	125
230	280
440 e acima	1000

Tabela 1.6-1

1.7 - Conclusão

A Base de Dados usada pelos programas de aplicação avançada num Sistema de Potência, precisa ser coerente e confiável. Devido aos erros inerentes às medições efetuadas na rede elétrica, são usados estimadores de estado para a formação desta Base de Dados.

Os principais métodos de estimação já desenvolvidos e testados até o momento são : o método clássico, o desacoplado no algoritmo e o desacoplado no modelo. O método clássico ou completo, se caracteriza por não apresentar nenhuma simplificação; o método desacoplado no algoritmo apresenta uma simplificação na matriz de ganho e o método desacoplado no modelo apresenta simplificações tanto na matriz de ganho como no modelo da rede elétrica.

Os resultados do estimador de estado, além da formação da Base de Dados para as funções avançadas (análise da segurança, Fluxo de Potência em Tempo Real, etc.), são usados para o cálculo do estado em pontos não telemedidos.

Uma vez estimado o estado, é necessário saber se entre as medidas que alimentaram o estimador, existe alguma que contém erro grosseiro, porque um erro grosseiro contamina o resultado da estimativa, principalmente na vizinhança do erro. Para a solução deste problema, lança-se mão do chamado teste de $J(\hat{x})$, que consiste na comparação do valor de $J(\hat{x})$ com uma constante, que é função da probabilidade de ocorrência do erro tipo I do teste de hipóteses [12,13].

Caso o teste da presença de erro grosseiro seja positivo, é necessário então que este erro seja identificado, a fim de que possa ser eliminado ou corrigido. O método de identificação usado neste trabalho, é o método dos resíduos normalizados. Este método consiste em normalizar o resíduo, e depois determinar o maior em módulo. O resíduo corresponde à diferença entre o valor lido e o valor estimado de uma medição.

Para o cálculo da ponderação ou peso atribuído a ca-

da medição, deve-se levar em conta todos os elementos envolvidos na mesma. Estes elementos correspondem aos transformadores de potencial (TP), transformadores de corrente (TC), transdutores (TD) e conversores analógico/digitais (A/D).

Capítulo 2

Métodos de Seleção de Sistemas de Medição

Um dos problemas importantes para implantação e utilização nacional dos Estimadores de Estado é a escolha da quantidade e da localização dos medidores. Sabe-se que a partir de um certo nível de redundância, chamada de redundância ótima, o acréscimo de medidas não melhora a estimação, aumentando apenas o tempo de processamento e a quantidade de memória.

Entretanto não basta que a redundância global (1.1-5) seja ótima, é preciso também que as medidas sejam uniformemente distribuídas de maneira que a redundância local seja suficiente para que o estado possa ser estimado com boa precisão e para que se possa detetar também erro grosso em todas as medidas.

2.1 - Necessidade de Seleção de Medidores

No caso específico do Sistema principal da ELETROSUL (61 barras), o sistema de aquisição de dados vai colher cerca de 418 medidas relacionadas com a rede a ser estimada, e a este valor somam-se 37 pseudo-medidas correspondentes às injeções nulas resultando numa redundância global igual a:

$$\eta = \frac{418 + 37}{2 \times 61 - 1} = 3,76 \quad (2.1-1)$$

A redundância de 3.76 é relativamente grande pois o valor recomendável situa-se em torno da faixa entre 1.8 e 2.8 1,8 .

Das 418 medidas, algumas podem ser suprimidas sem prejuízo do resultado e inclusive, como veremos adiante, a partir das simulações feitas, a convergência melhora quando esta supressão é feita convenientemente. Logicamente outras vantagens da não utilização de todas as medidas colhidas são o tempo menor de processamento e menor ocupação de memória.

A seleção dos medidores torna-se mais importante para os estimadores de Tempo Real necessários aos centros de operação digital do que para os estimadores "off-line", porque nos de Tempo Real o tempo de processamento e a memória ocupada são críticos.

Na seleção dos medidores deve-se cuidar para que a observabilidade bem como a detetabilidade de erros grosseiros sejam mantidos.

2.2 - Conceitos de Redundância Local

Da mesma forma que se define redundância global (1.1-5) pode-se definir uma redundância local, seja com relação a barras, ou com relação a variáveis de estado, como veremos mais adiante.

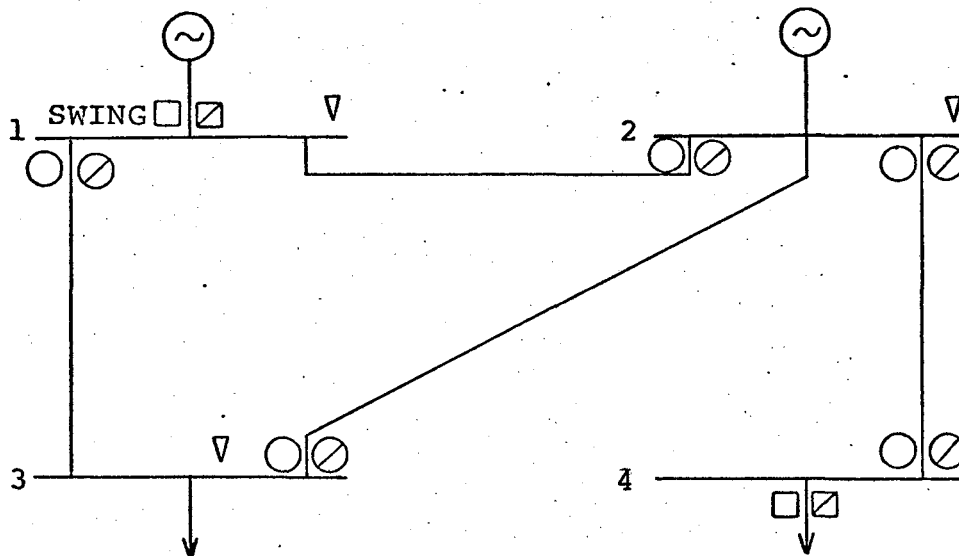
A finalidade da redundância local é proporcionar um critério para se medir a redundância num ponto determinado, servindo consequentemente para se distribuir uniformemente as medições numa rede elétrica. Em outras palavras, as redundâncias locais serão iguais se as medições estiverem uniformemente distribuídas.

2.2.1 - Redundância Local de Barra

A redundância local de barra n_i é definida [1] como sendo a relação entre a soma do número de medições associadas à barra i mais o número de medições associadas às barras vizinhas a i e a soma dos estados da barra i e das barras vizinhas a i ,

$$n_i = \frac{\sum \text{medidas de } \phi_i}{\sum \text{estados de } \phi_i} ; i=1,2,\dots,NBUS \quad (2.2.1-1)$$

onde ϕ_i é o conjunto da barra i e suas vizinhas



<input type="circle"/> Fluxo ativo	<input type="checkbox"/> Injeção ativa	<input type="v"/> Tensão
<input checked="" type="circle"/> Fluxo reativo	<input checked="" type="checkbox"/> Injeção reativa	

Rede Elétrica e Sistema de Medição - Exemplos

Fig. 2.2-1

Para ilustrar a definição dada acima, a barra 4 da Fig.

(2.2.1-1) tem redundância local calculada por

$$n_4 = \frac{9}{4} = 2,25$$

onde a soma das medições associadas às barras 4 e 2 é 9 e a soma dos estados destas barras é 4, ou seja os módulos e ângulos destas duas barras.

De modo semelhante calculamos a redundância local das outras barras.

Barra nº	1	2	3	4
η_i	2.6	2.43	2.6	2.25

Pode-se observar que neste método, no cálculo da redundância local aparecem medidas que não têm relação direta com as barras em estudo. Exemplo disto é o caso do fluxo da barra 2 para a barra 1 que não tem relação direta com a barra 4 mas no entanto aparece no cálculo da redundância local desta barra. Na definição de redundância local que propomos neste trabalho, e que será descrita a seguir, este problema fica eliminado.

2.2.2 - Redundância Local de Estado

De uma maneira semelhante, à redundância local de barra, pode-se definir a redundância local de estado.

A redundância local de estado η_i do estado i é a soma das medidas relacionadas com o estado i

$$\eta_i = \sum \text{medidas relacionadas ao estado } i ; i = 1, \dots, n \quad (2.2.2-1)$$

Como cada medida está associada a uma equação matemática podemos equivalentemente dizer que a redundância local de estado é o nº de equações que relacionam este estado.

Para a contagem das equações relacionadas ao estado i considera-se o desacoplamento $P\theta$ e QV . Assim, para efeito da aplicação da equação uma medição de fluxo ativo entre as barras i e j , por exemplo, é considerada informação para θ_i e θ_j apenas enquanto que uma medição de fluxo reativo é considerada apenas informação para V_i e V_j .

Na tabela (2.2.2-1) temos a contribuição de cada tipo de medida para o cálculo da redundância local de estado.

Tipo de Medida	Estados relacionados
Tensão na barra i	V_i
Injeção ativa na barra i	$\theta_k ; k \in \phi_i$
Injeção reativa na barra i	$V_k ; k \in \phi_i$
Potência reativa no reator da barra i	V_i
Fluxo ativo entre as barras i e j	θ_i, θ_j
Fluxo reativo entre as barras i e j	V_i, V_j

ϕ_i é o conjunto da barra i e suas vizinhas

Contribuição das medidas para o cálculo da redundância local de estado

TABELA 2.2.2-1

Como ilustração, a rede elétrica e a configuração de medidores da Fig. (2.2.2-1) teria as redundâncias locais de estado :

Estado	v_1	v_2	v_3	v_4	θ_2	θ_3	θ_4
n_i	4	7	4	3	5	3	3

Para o cálculo de v_1 , por exemplo, temos que somar a medição de tensão na barra 1, a injeção reativa da barra 1 e as medições de fluxo entre 1-3 e 2-1.

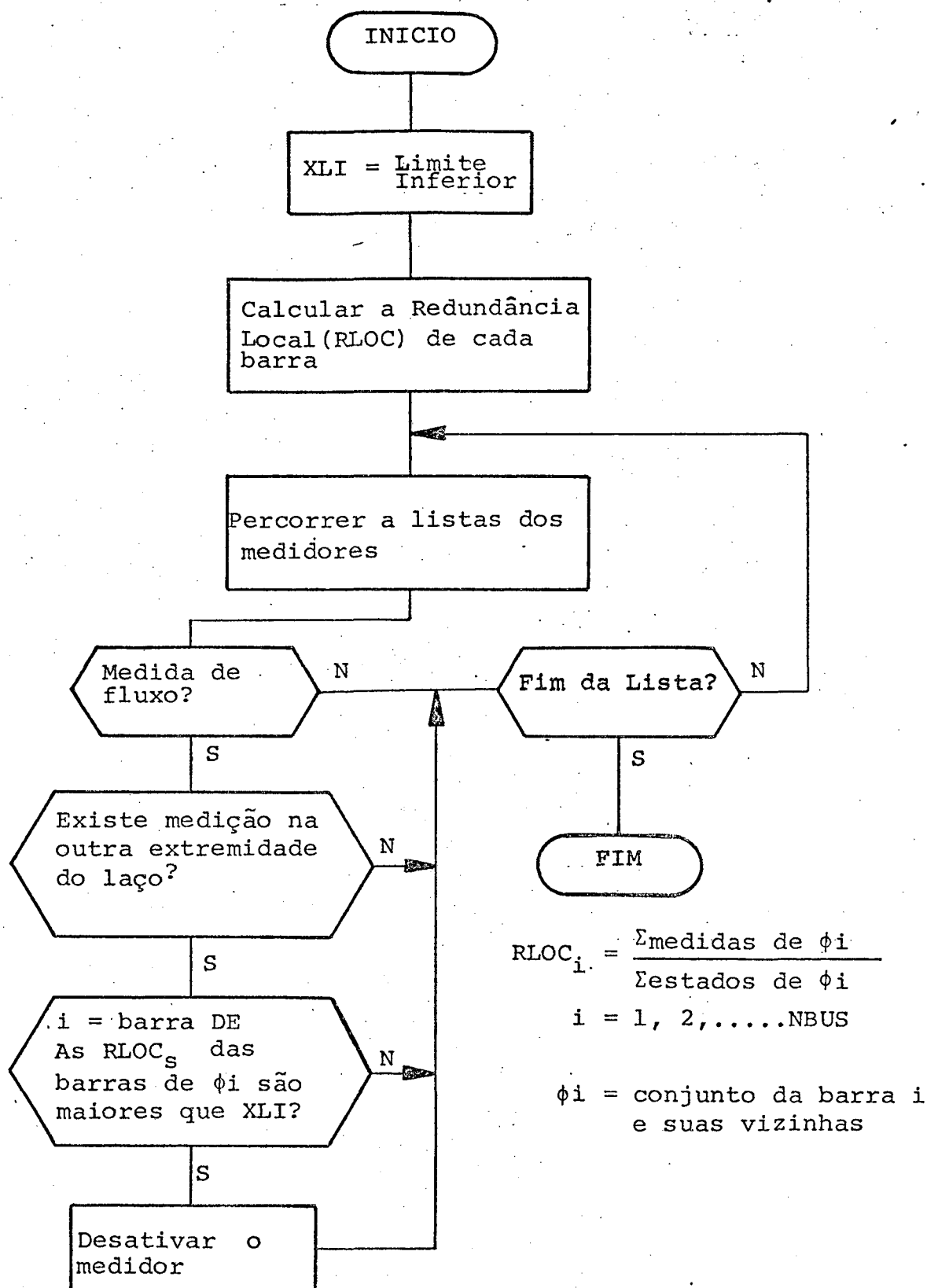
2.3 - Seleção de Medidores baseada em Redundância Local de Barra [1]

Foi desenvolvido um algoritmo para a seleção de medidores baseada em redundância local de barra conforme o diagrama de blocos da Fig.(2.3-1).

É um algoritmo bastante simples que pode ser explicado da seguinte forma:

- Calcular a redundância local de cada barra conforme (2.2.1-1)
- Percorrer a lista dos medidores de fluxo
- Verificar a existência do medidor correspondente, ativo ou reativo, na outra extremidade do laço, isto é, linha ou transformador. Caso negativo voltar para b.

SUBROTINA REDUN(XLI)



Seleção de Medidores Baseada na Redundância Local de Barra

FIG 2.3-1

d. Definir como i a barra conectada à extremidade da linha onde se situa o medidor de fluxo. Verificar se as redundâncias locais da barra i e de suas vizinhas são maiores que o limite XLI pré-fixado. Caso negativo voltar para b. Caso positivo desativar o medidor e voltar para b.

No algoritmo exposto, apenas medidas do tipo fluxo são desativadas em virtude dos seguintes argumentos:

- a. A grande maioria do total dos medidores corresponde a medidores de fluxo. No caso da ELETROSUL, dentre 455 medições, 395, ou seja, 87% serão medidas de fluxo.
- b. As pseudo-medidas não devem ser desativadas porque se são injeções nulas são medidas precisas e se são valores previstos, são os melhores valores disponíveis e estão presentes porque são indispensáveis para efeito de observabilidade como explicado na secção 1.1.
- c. Muitas das injeções medidas são de boa qualidade porque correspondem às medidas usadas no controle de carga e freqüência ou pontos de faturamento e portanto devem ser mantidas.
- d. Quanto às medições de tensão, são em geral de melhor qualidade que as medidas de fluxos porque são medições relativamente mais simples de se realizar praticamente e portanto devem ser mantidas.

Durante o processo de seleção de medidores pode ocorrer o caso de um ilhamento isto é, partes da rede são observáveis e não a rede como um todo. Para solucionar este problema, antes da desativação de uma medição é feita uma pesquisa para saber se existe a medição correspondente na outra extremidade da linha ou transformador. Por exemplo, a medição de fluxo ativo da barra i para a barra j só pode ser desativada se existir a medição de fluxo ativo da barra j para a barra i. Desta forma evita-se o problema de ilhamento produzido por desativação de medidas.

Na tabela (2.3-1) temos o relatório da subrotina REDUN(.) apresentada na figura (2.3-1) que é a implementação do algoritmo de seleção de medidores baseado na redundância local de barra para XLI fixado em 0,8 .

A coluna BARRA contém a identificação das barras, número e nome, as colunas Q.MED e R.LOC contêm respectivamente a quantidade de medidores e a redundância local associadas a cada barra. As colunas ANTES e APÓS representam a situação do sistema de medição antes e após a seleção dos medidores.

No final do relatório temos as indicações da maior e da menor redundância local após a seleção.

A subrotina REDUN(.) permite a definição de medidores preferenciais, que são aqueles que por qualquer motivo, não queremos que sejam desativados e portanto ficam fora do processo de seleção. Estes medidores são especificados junto com os dados de entrada do estimador. No caso do exemplo, não existe nenhum medidor preferencial.

RELATORIO DO REDUN(0.8)

I	BARRA	ANTES		APOS	
		Q.MED	R.LOC	Q.MED	R.LOC
1	18 APUCARANA 230	8	3.40	6	1.73
2	153 FOZAREIA 500	6	6.00	6	5.55
3	164 FIGUEIRA 230	0	2.00	0	1.83
4	223 LONDR-COP 230	8	5.00	4	3.67
5	248 MARINGA 230	6	4.25	6	2.75
6	281 PATOBRAN 230	4	4.33	2	3.39
7	300 P.GROSSA 230	4	2.33	4	1.67
8	341 S.MATEUS 230	6	3.75	6	2.53
9	498 IMBITUBA 138	4	4.00	4	3.47
10	530 LITORAL 138	7	4.67	5	3.17
11	589 ROCADO 138	11	5.33	3	3.67
12	629 TIJUCAS 138	9	4.83	9	2.29
13	731 CAMPUBCM 230	4	5.67	4	4.95
14	970 SECI 230	12	5.25	5	3.77
15	1076 V.AIRES 230	6	3.63	2	2.09
16	1088 GRAVATAZ 230	18	4.29	18	0.65
17	1131 IVAIPORA 500	8	4.22	5	3.23
18	1132 LONDrina 500	4	4.00	4	3.06
19	1136 F.AREIA 500	18	4.11	9	1.40
20	1137 CURITIBA 500	7	4.90	4	3.60
21	1138 CURINORT 500	5	4.00	5	3.34
22	1142 BLUMENAU 500	9	5.50	6	4.14
23	1146 C.NOVUS 500	5	4.67	4	3.80
24	1150 GRAVATAI 500	5	3.60	3	3.04
25	1152 GRAVATAI TA	3	4.33	3	4.17
26	1156 V.AIRES 500	5	2.63	4	1.72
27	1158 ITA 500	5	3.60	4	3.21
28	1165 SSANTIAGO 500	8	3.86	8	3.16
29	1166 SEGREDO 500	6	6.40	4	5.38
30	1174 LONDrina 230	12	3.80	4	1.63
31	1178 C.MOURAO 230	8	4.25	0	2.75
32	1182 S.OSORIO 230	12	4.40	12	1.71
33	1187 XANXERE 230	10	4.00	2	2.86
34	1189 XANXERE 138	6	4.00	6	2.67
35	1194 P.FUNDO 230	8	5.00	8	3.40
36	1202 FARROJP 230	12	4.58	2	2.20
37	1209 SEPA 6 230	6	6.00	0	4.00
38	1216 CHARQUEA 230	6	4.50	4	2.55
39	1224 F.AREIA 230	10	5.00	2	3.22
40	1228 CANUINHAS 230	4	2.50	2	1.83
41	1230 CURITIBA 230	10	4.13	8	2.92
42	1233 CURINURT 230	2	1.75	2	1.75
43	1240 JOINVILLE 230	10	5.25	2	3.83
44	1243 JUINVILLE 138	12	5.67	12	2.89
45	1244 BLUMENAU 230	10	5.50	6	3.43
46	1247 BLUMENAU 138	12	5.67	12	3.87
47	1248 ILHOTA 138	12	5.20	0	2.95
48	1253 RQUEIMADO 230	14	4.40	10	2.78
49	1257 PALHOCA 230	6	5.33	2	3.63
50	1260 PALHOCA 138	12	4.10	8	1.10
51	1264 JLACERDA 230A	6	3.50	4	2.72
52	1265 JLACERDA 230B	10	4.63	10	3.42
53	1268 JLACERDA 138	8	3.75	6	2.68
54	1273 IMBITUBA 230	4	4.00	2	3.05

Tabela 2.3-1

(Continua)

RELATORIO DO REDUN(0.3)

I	BARRA	ANTES		APOS	
		Q.MED	R.LOC	Q.MED	R.LOC
55	1277 SIDEROPC	230	7	4.83	1
56	1306 LNGARCES	230	8	3.13	2
57	1307 IVAIPORA	765	0	2.00	0
58	1363 XAVANTES	230	4	2.00	4
59	1370 ASSIS	230	10	3.25	10
60	1371 ASSIS	440	0	2.50	0
61	1452 LNGARCES	138	3	2.75	3
TOT.MED. E RED.GLOBAL		455	3.76	293	2.42

XLI=0.80
MAIOR=5.55
MENOR=0.65

MEDIDORES PREFERENCIAIS

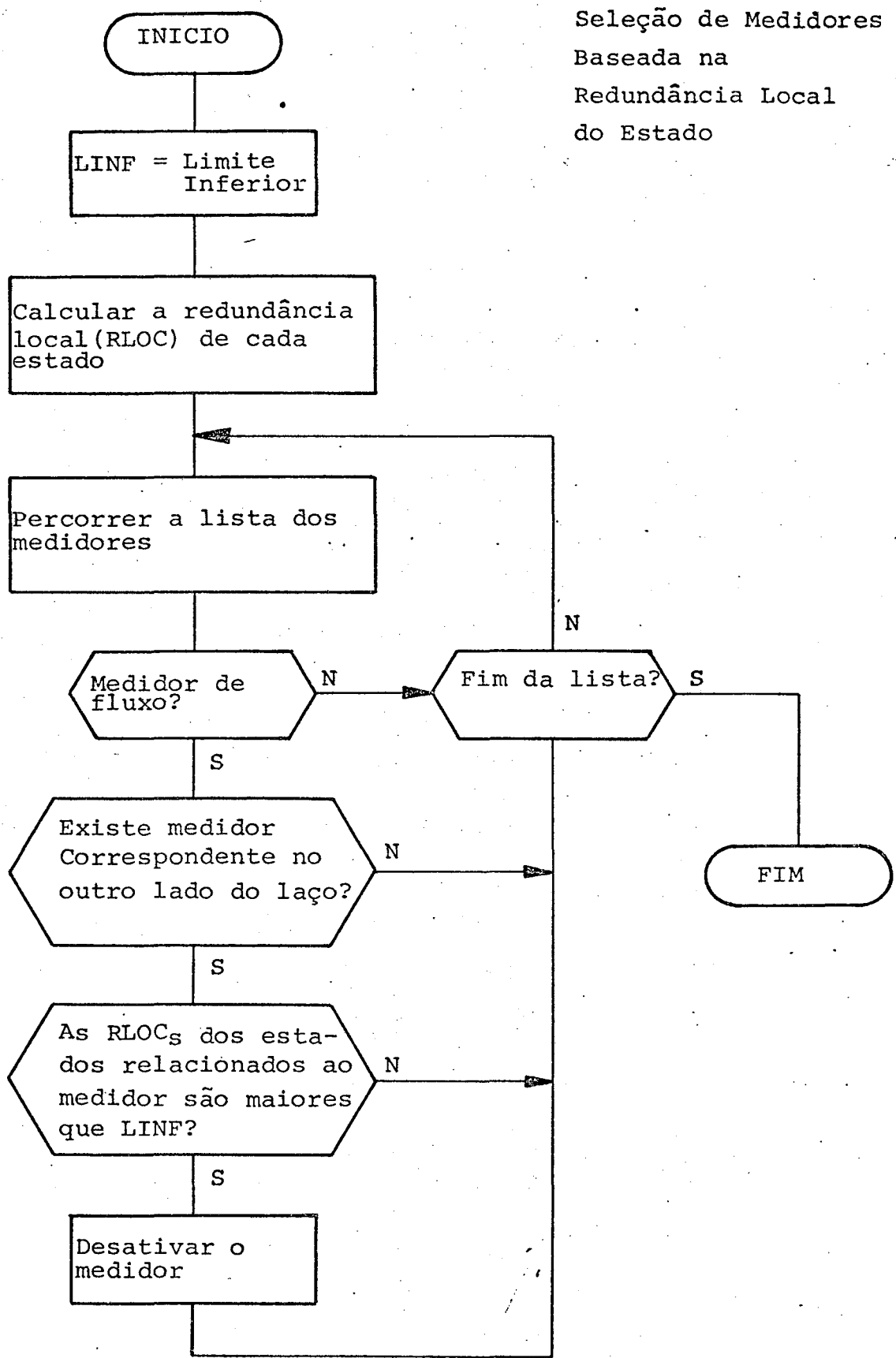
2.4 - Seleção de Medidores baseada em Redundância Local de Estado

O algoritmo de seleção de medidores baseada na definição da redundância local de estado, introduzida neste trabalho é bastante semelhante ao da seleção baseada em redundância local de barra. A figura (2.4-1) apresenta o fluxograma da subrotina REDUN2(.) que permite a seleção de medidores pelo método da redundância local de estado. A figura (2.4-1) mostra também que a seleção baseada em redundância local de estado difere da de barra justamente no cálculo da redundância local e no teste para se saber se um medidor pode ser desativado ou não.

O algoritmo pode ser descrito como segue:

- a. Calcular a redundância local de cada estado conforme (2.2.2-1).
- b. Percorrer a lista dos medidores de fluxo.
- c. Verificar a existência do medidor correspondente, ativo ou reativo, na outra extremidade do laço, isto é, linha ou transformador. Caso negativo voltar para b.
- d. Verificar se as redundâncias locais dos estados relacionados com o medidor são maiores que o limite LINF. Caso negativo voltar para b. Caso positivo desativar o medidor e voltar para b.

SUBROTINA REDUN2(LINF)



$RLOC_i = \sum_{i=1,2,\dots,n}$ medidas relacionadas ao estado i

Apenas os medidores de fluxo são desativados, pelo mesmo motivo explicado na secção (2.3).

A Tab. (2.4-I) mostra um resultado da subrotina REDUND2(.) para LINF igual a 2.

A coluna BARRA representa a identificação das barras expressas pelo número e pelo nome, a coluna RED. LOCAL representa a redundância local de cada estado antes e após a seleção dos medidores. VM e AN representam os estados correspondentes à magnitude e ao ângulo das tensões das barras.

A subrotina REDUN2(.) admite também a definição de medidores preferenciais. No caso do exemplo não foi definido nenhum medidor preferencial.

2.5 - Conclusão

A Seleção de Sistemas de medição traz vantagens tais como menor tempo de processamento e menor memória ocupada sem afetar o resultado do estimador. Comparando-se os tempos de processamento das estimações dos casos estudados que serão apresentados no capítulo 4 observamos que existe em média uma queda de cerca de 28% do tempo entre a estimação usando todos os medidores e a estimação usando medidores selecionados através da subrotina REDUND2(.) tanto para o método MQP como para o método desacoplado rápido.

Comparando-se o tempo de processamento das subrotinas de seleção REDUN(.) e REDUN2(.) nota-se que a REDUN2(.) é um pouco mais rápida e isto ocorre porque o cálculo da redundância local de estado é mais simples que o da redundância local de barra.

RELATORIO DO REDUN2(2)

55.

BAKRA

RED. LOCAL

ANTES APOS

			VM	8	5
1	18	APUCARANA	230	AN	8
				AN	5
2	158	FOZAREIA	500	VM	6
				AN	4
3	164	FIGUEIRA	230	VM	3
				AN	3
4	223	LONDR-COP	230	VM	10
				AN	6
5	248	MARINGA	230	VM	7
				AN	4
6	281	PATOBRAN	230	VM	5
				AN	3
7	300	P.GROSSA	230	VM	3
				AN	2
8	341	S.MATEUS	230	VM	7
				AN	4
9	498	IMBITUBA	138	VM	4
				AN	2
10	530	LITORAL	138	VM	6
				AN	4
11	589	ROCADO	138	VM	10
				AN	6
12	629	TIJUCAS	138	VM	12
				AN	8
13	731	CAMPOBOM	230	VM	4
				AN	2
14	970	SECI	230	VM	12
				AN	6
15	1076	V.AIRES	230	VM	6
				AN	4
16	1088	GRAVATAZ	230	VM	20
				AN	11
17	1131	IVAIPORA	500	VM	9
				AN	8
18	1132	LONDRINA	500	VM	11
				AN	5
19	1136	F.AREIA	500	VM	21
				AN	18
20	1137	CURITIBA	500	VM	11
				AN	9
21	1138	CURINORT	500	VM	7
				AN	6
22	1142	BLUMENAU	500	VM	8
				AN	6
23	1146	C.NOVOS	500	VM	9
				AN	8
24	1150	GRAVATAI	500	VM	5
				AN	5
25	1152	GRAVATAI	TA	VM	7
				AN	3
26	1156	V.AIRES	500	VM	2
				AN	6
27	1158	ITA	500	VM	8
				AN	6
				VM	5
				AN	5

Tabela 2.4-1

(continua)

RELATORIO DO REDUN2(2)

BARRA	RED. LOCAL	ANTES APOS	
28 1165 SSANTIAGO500	VM 8	7	
	SWING		
29 1166 SEGREDO 500	VM 7	5	
	AN 7	5	
30 1174 LONDRINA 230	VM 11	7	
	AN 11	7	
31 1178 C.MOURAO 230	VM 8	4	
	AN 8	4	
32 1182 S.OSORIO 230	VM 13	7	
	AN 13	7	
33 1187 XANXERE 230	VM 12	8	
	AN 12	8	
34 1189 XANXERE 138	VM 6	6	
	AN 6	6	
35 1194 P.FUNDO 230	VM 10	6	
	AN 10	6	
36 1202 FARROUP 230	VM 12	6	
	AN 12	6	
37 1209 SEPA 6 230	VM 6	3	
	AN 6	3	
38 1216 CHARQUEA 230	VM 6	3	
	AN 6	3	
39 1224 F.AREIA 230	VM 10	6	
	AN 10	6	
40 1228 CANOINHAS230	VM 3	2	
	AN 3	2	
41 1230 CURITIBA 230	VM 11	8	
	AN 11	8	
42 1233 CURINORT 230	VM 2	2	
	AN 2	2	
43 1240 JOINVILLE230	VM 14	10	
	AN 14	10	
44 1243 JOINVILLE138	VM 12	10	
	AN 12	10	
45 1244 BLUMENAU 230	VM 20	16	
	AN 20	16	
46 1247 BLUMENAU 138	VM 12	10	
	AN 12	10	
47 1248 ILHOTA 138	VM 13	7	
	AN 13	7	
48 1253 RQUEIMADO230	VM 17	11	
	AN 17	11	
49 1257 PALHOCA 230	VM 9	7	
	AN 9	7	
50 1260 PALHOCA 138	VM 14	10	
	AN 14	10	
51 1264 JLACERDA230A	VM 8	6	
	AN 8	6	
52 1265 JLACERDA230B	VM 11	7	
	AN 11	7	
53 1268 JLACERDA 138	VM 8	6	
	AN 8	6	
54 1273 IMBITUBA 230	VM 6	4	
	AN 6	4	

Tabela 2.4-1

(continuação)

RELATORIO DO REDUN2(2)

	BARRA		RED. LOCAL	
			ANTES	APOS
55	1277 SIDEROPOLIS	230	VN	9 6
			AN	8 5
56	1306 LNGARCES	230	VM	8 5
			AN	8 5
57	1307 IVAIPORA	765	VM	2 2
			AN	2 2
58	1368 XAVANTES	230	VM	4 3
			AN	4 3
59	1370 ASSIS	230	VM	9 6
			AN	9 6
60	1371 ASSIS	440	VM	2 2
			AN	2 2
61	1452 LNGARCES	138	VM	4 3
			AN	3 2

QUANT. MEDIDORES 455 290

REDUNDANCIA GLOBAL 3.76 2.40

MEDIDORES PREFERENCIAIS

Capítulo 3

Critérios para Avaliação de Estimadores de Estado e de Sistemas de Medição

Qualquer empresa que queira implementar a função Estimador de Estado em seu Sistema de Supervisão e Controle deve efetuar antes de sua instalação alguns testes usando diferentes algoritmos de estimação e diferentes configurações de medição a fim de determinar os mais adequados.

Para avaliar o desempenho dos algoritmos e dos sistemas de medição, foram usados critérios baseados em análise estatística que serão objeto de estudo deste Capítulo.

O desempenho dos algoritmo de estimação de estado pode ser avaliado qualitativamente através de dois critérios largamente usados na teoria estatística de estimação de parâmetros: critério da média e critério da variância. O resultado de uma estimação \hat{x} é na verdade uma variável aleatória. Quando se propõe que \hat{x} é uma boa estimativa de x_v não se espera que \hat{x} venha a ser igual a x_v mas que $E[\hat{x}] = x_v$ e neste caso o estimador \hat{x} de x_v é dito não tendencioso. Ocorre que existem vários estimadores não tendenciosos de x_v ; e dentre os estimadores não tendenciosos como escolher o que dá melhor resultado? A resposta a esta pergunta é respondida se usarmos para avaliação de estimadores um outro critério que envolva a variância. A variância mede o "grau de dispersão" em torno da média das estimativas. É intuitivo que dentre os

estimadores que tem média \underline{x}_v ; o que apresentar a menor variância é que tem menor dispersão. Assim o estimador que apresenta a menor variância é o que tem chance de apresentar valores estimados menos dispersos em relação a \underline{x}_v e consequentemente mais "próximos" de \underline{x}_v .

Para melhor compreensão destes critérios vamos traçar a função distribuição de probabilidade do resultado de quatro estimadores hipotéticos:

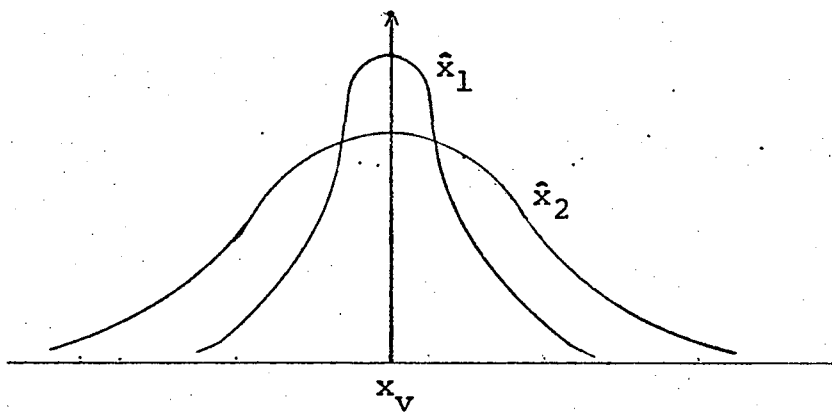


FIG. 3-1

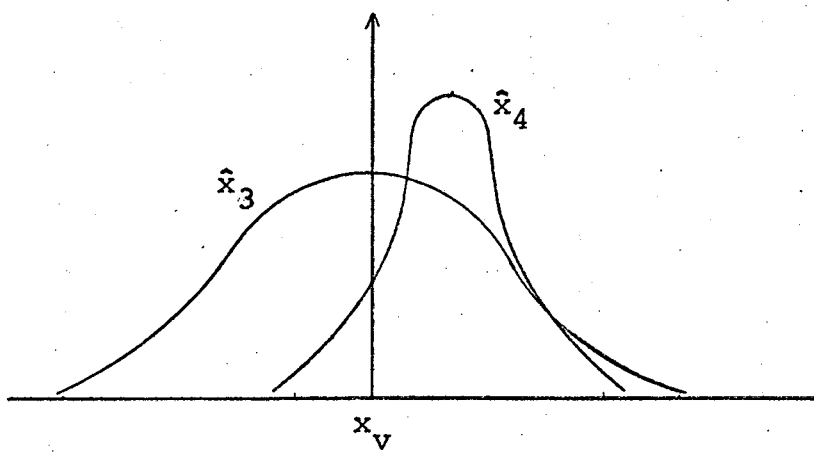


FIG. 3-2

Das figuras (3-1) e (3-2) podemos concluir que:

- a. Os estimadores de \hat{x}_1 , \hat{x}_2 e \hat{x}_3 são não tendenciosos;
- b. A estimativa \hat{x}_1 é melhor que a estimativa \hat{x}_2 porque tem variância menor;
- c. O estimador de \hat{x}_4 é tendencioso porque tem média diferente de x_v ;
- d. Não se pode afirmar simplesmente olhando-se para a fig. (3-2), qual das duas estimativas é melhor, porque \hat{x}_4 é tendenciosa mas \hat{x}_3 tem variância maior.

Para a análise da variância foram criados os índices GV, GTETA, GVV e GTETAV explanados na secção (3.2), e para a análise da tendenciosidade foram criados os índices DVM e DMTETA explanados na secção (3.3).

Estes índices refletem a aproximação dos estimadores em estudo do estimador ideal que seria aquele que produz uma estimativa não-tendenciosa e de variância mínima.

Além da análise qualitativa dos estimadores é necessária também uma análise qualitativa do Sistema de Medição em termos da capacidade de deteção de erro grosso. Esta análise está descrita na secção (3.4) e é baseada na interpretação da curva de probabilidade de deteção.

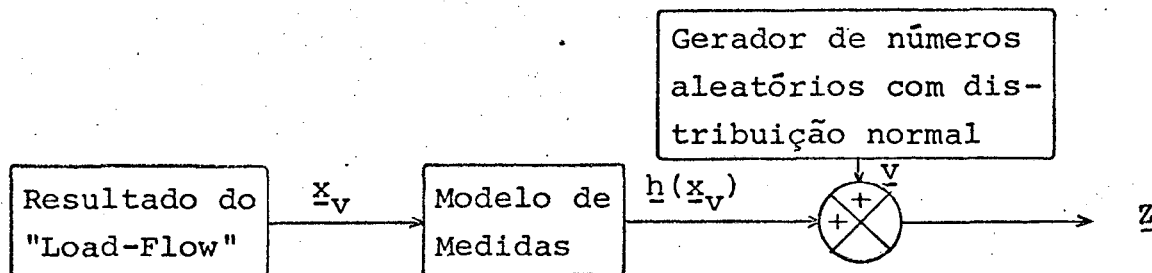
O cálculo dos índices que permitem avaliar a média e a variância da estimativa de um estimador em estudo é baseado em N_s experimentos, ou seja, em N_s simulações do estimador. Para a realização destes experimentos torna-se necessária a construção de um simulador de medidas que será descrito a seguir.

3.1 - Simulador de Medidas

O simulador produz internamente o erro aleatório contido nas medições e usa a equação (1.1-1) para gerar a medida \underline{z}

$$\underline{z} = h(\underline{x}_v) + \underline{v}$$

O seguinte esquema é usado para a simulação de medidas:



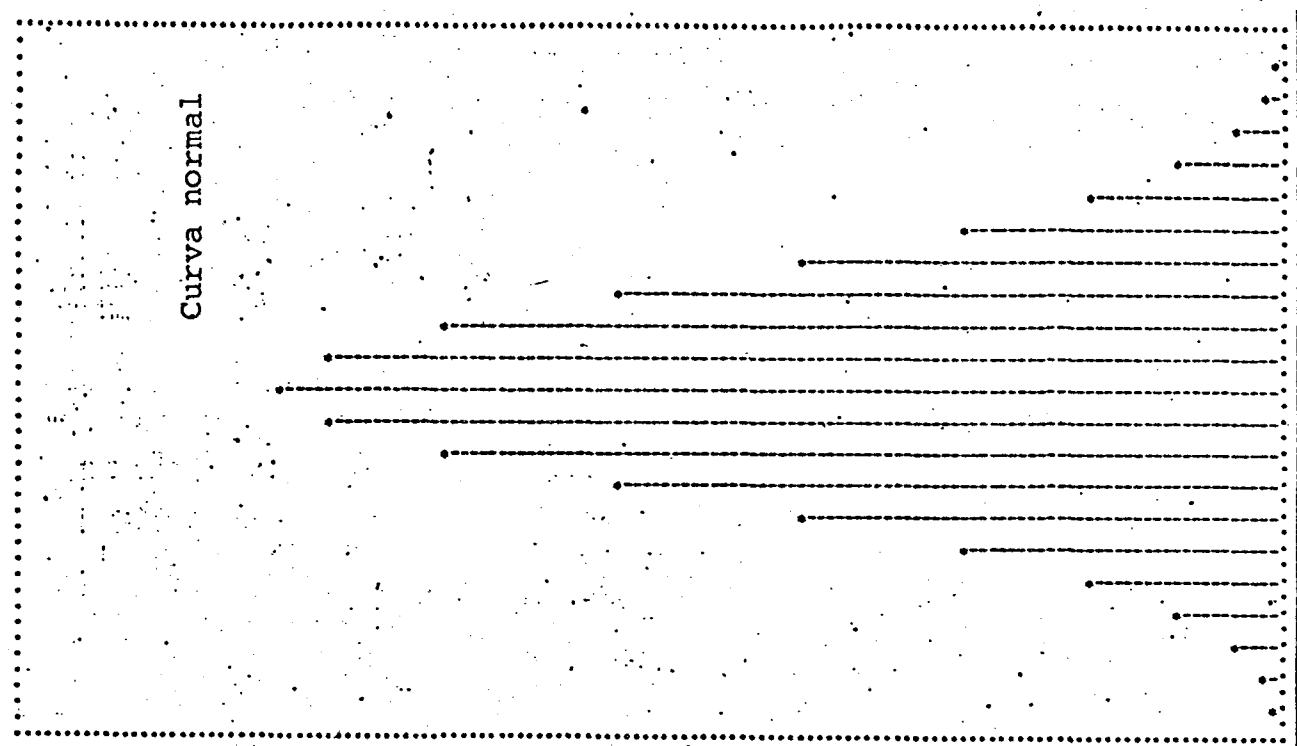
O resultado do load-flow \underline{x}_v é considerado o valor verdadeiro e as equações do modelo de medidas geram $h(\underline{x}_v)$

O gerador de números aleatórios gera o vetor \underline{v} que tem distribuição normal, média zero e covariância R .

Apenas os valores gerados dentro da faixa $\pm 3\sigma$ são aproveitados, os valores fora desta faixa são considerados erros grosseiros e portanto evitados.

GRÁFICOS DE FUNÇÕES DENSIDADE DE PROBABILIDADE

Curva normal



Curva gerada
pela função
GAUSS

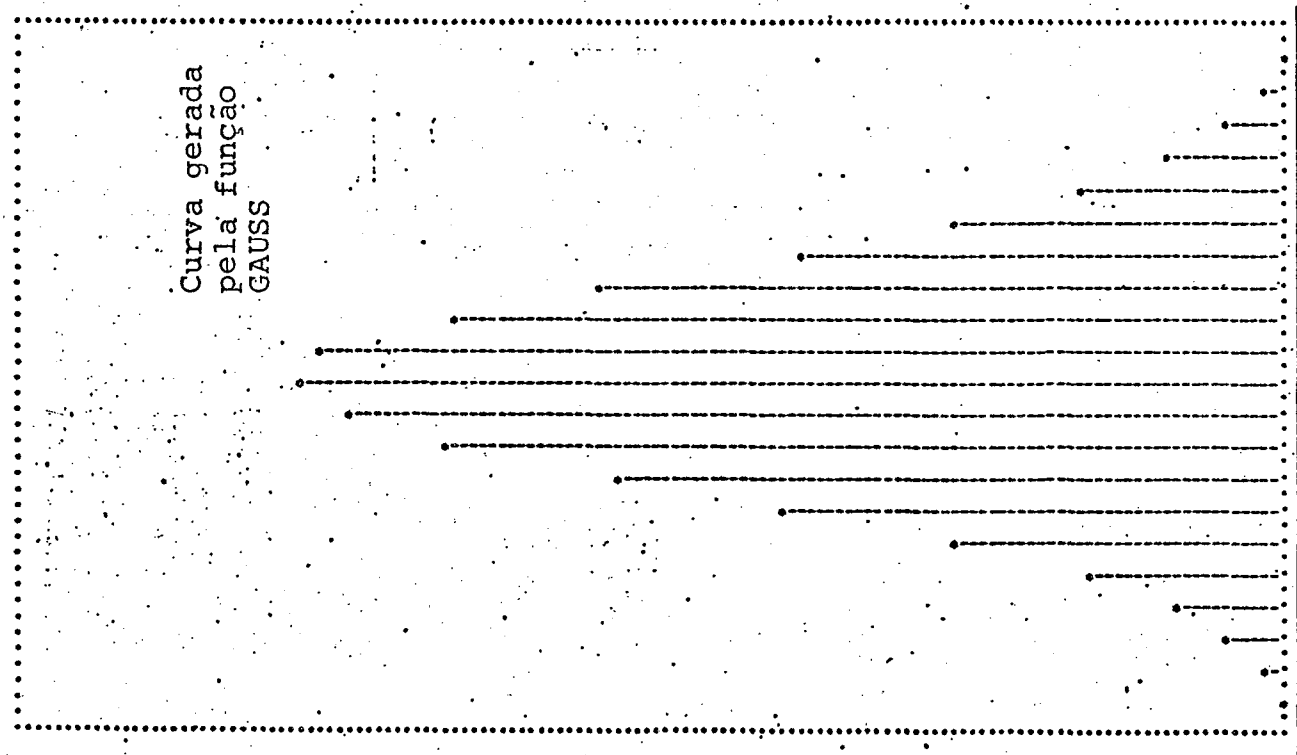


Fig. 3.1-1

Fig. 3.1-2

Para gerar os números aleatórios, foi utilizada uma subrotina da biblioteca da IBM chamada GAUSS. Esta subrotina gera números aleatórios com distribuição normal onde a média e o desvio padrão são especificados.

Para teste da distribuição desta subrotina foram gerados 50000 números aleatórios e foi levantada a curva da figura (3.1-1).

A fig.(3.1-2) representa a distribuição teórica normal. Podemos concluir por inspeção visual que a curva gerada através da subrotina GAUSS é bastante semelhante à curva obtida teoricamente.

Desta forma podemos considerar a subrotina GAUSS como uma boa ferramenta para a simulação do erro das medições.

3.2 - Critério para Avaliação do Desvio Padrão

A análise do desempenho dos estimadores é feita com base em dados estatísticos. Executa-se o estimador uma série de vezes variando-se aleatoriamente a parcela \bar{v} das medidas a fim de se obter diversos experimentos e analisa-se o estado estimado \hat{x} .

Para análise de \hat{x} foram criados seis índices: GV, GTETA, GVV, GTETA, GVV, GTETAV, DMV e DMTETA. Os índices GV e GTETA estão relacionados respectivamente aos estados correspondentes à magnitude e ao ângulo e são definidos como:

$$GV = \frac{1}{N} \sum_{j=1}^N DP(\hat{v}_j) \quad (3.2-1)$$

$$GTETA = \frac{1}{N-1} \sum_{j=1}^{N-1} DP(\hat{\theta}_j) \quad (3.2-2)$$

onde N é número de barras, \hat{v} é o módulo estimado da tensão, $\hat{\theta}$ é o ângulo estimado da tensão e DP o desvio padrão da do por

$$DP(\hat{x}) = \left(\frac{1}{NS} \sum_{i=1}^{NS} (\hat{x}_i - \bar{x})^2 \right)^{1/2} \quad (3.2-2a)$$

onde

$$\bar{x} = \frac{1}{NS} \sum_{i=1}^{NS} \hat{x}_i \quad (3.2-2b)$$

NS = Número de Simulações

e \hat{x}_i representa o resultado dos experimentos.

Estes índices dão o grau de dispersão da estimativa \hat{x} em relação a média.

Com a finalidade de se avaliar o grau de dispersão do estado estimado \hat{x} em relação ao valor verdadeiro x_v foram criados os índices GVV e GTETAV. Estes índices indicam respectivamente o grau de dispersão dos estados correspondentes ao módulo e ao ângulo.

Os índices GVV e GTETAV são calculados de maneira semelhante a GV e GTETA:

$$GVV = \frac{1}{N} \sum_{i=1}^N PDP(\hat{v}_j) \quad (3.2-3)$$

$$GTETAV = \frac{1}{N-1} \sum_{j=1}^{N-1} PDP(\hat{\theta}_j) \quad (3.2-4)$$

onde

N = Número de barras

\tilde{v} = Módulo estimado das tensões

$\tilde{\theta}$ = Ângulo estimado das tensões

$$PDP(\hat{x}) = \left(\frac{1}{NS} \sum_{i=1}^{NS} (\hat{x}_i - x_v)^2 \right)^{1/2} \quad (3.2-5)$$

NS = Número de Simulações

x_v = Valor verdadeiro do estado

PDP é um pseudo desvio padrão. Em estimadores não tendenciosos onde $E[\hat{x}] = x_v$, PDP é igual a DP, como pode ser concluído comparando-se (3.2-2a) com (3.2-5)

3.3 - Critério para Avaliação da Distância da Média

Para se medir o grau de distanciamento da média do estado estimado \hat{x} com respeito ao estado verdadeiro x_v foram criados dois índices, DMV e DMTETA. Estes índices são chamados distância da média e são definidos como:

$$DMV = \left(\frac{1}{N} \sum_{i=1}^N (\tilde{v}_i - v_{vi})^2 \right)^{1/2} \quad (3.3-1)$$

$$DMTETA = \left(\frac{1}{N-1} \sum_{i=1}^{N-1} (\tilde{\theta}_i - \theta_{vi})^2 \right)^{1/2} \quad (3.3-2)$$

onde N = Número de barras

$$\bar{v} = \frac{1}{NS} \sum_{j=1}^{NS} \hat{v}_j$$

$$\bar{\theta} = \frac{1}{NS} \sum_{j=1}^{NS} \hat{\theta}_j$$

v_{vi} = Módulo verdadeiro da tensão da barra i

θ_{vi} = Ângulo verdadeiro da tensão da barra i

NS = Número de Símulacões

$\hat{v}_j, \hat{\theta}_j$ = Resultado dos experimentos

A análise através destes índices juntamente com os índices apresentados na secção (3.2) dão uma boa idéia do desempenho dos estimadores de estado.

Os critérios para avaliação da média permitem detetar se o estimador em estudo é ou não tendencioso. Estudando-se vários estimadores, estes critérios permitem determinar aqueles que são menos tendenciosos.

Os critérios para avaliação do desvio padrão permitem avaliar o desempenho de estimadores em estudo em relação a variância. Estes critérios permitem selecionar aqueles que tem a menor variância.

Assim, usando conjuntamente os critérios de avaliação da média e do desvio padrão, podemos escolher dentre diversos estimadores em estudo o que tem melhor desempenho em relação a tendência e a precisão de estimativa.

Na prática, interessa ainda conhecer a capacidade de deteção de erro de um estimador. Este assunto é abordado na secção seguinte.

3.4 - Critério para Avaliação da Detetabilidade de Erro Grosseiro

Todos os índices mostrados até aqui, servem para uma análise qualitativa do estimador de estado.

Outro fator importante é a avaliação do sistema de medição em relação à capacidade de deteção de erro grosseiro.

Para tal avaliação foi desenvolvido um índice que será mostrado a seguir.

3.4.1 - Curva de Probabilidade de Deteção

Na secção (1.4.1) vimos que a função $J(\hat{x})$ sem erro grosseiro tem distribuição normal com média e variância dadas por

$$\mu_J = K$$

$$\sigma_J^2 = 2K$$

onde

$$K = m-n \geq 30$$

Com a presença de erro grosseiro na medida i , $J(\hat{x})$ continua a ser normal tendo média e variância dadas por:

$$\mu_J = K + (\alpha^2 / \sigma_i^2) W_{ii}$$

$$\sigma_J^2 = 2K + (4\alpha^2 / \sigma_i^2) W_{ii}^2$$

onde

i indica a medição com erro grosseiro e W_{ii} é o elemento (i, i) da matriz de sensitividade (1.4.1-11).

Uma vez fixada a probabilidade P_e de erro tipo 1 conforme estabelecido na secção (1.4.2) é possível calcular-se a curva de probabilidade de deteção P_d para cada medidor em função da magnitude do erro α/σ_i , cuja forma geral é apresentada na Figura 3.4.1-1.

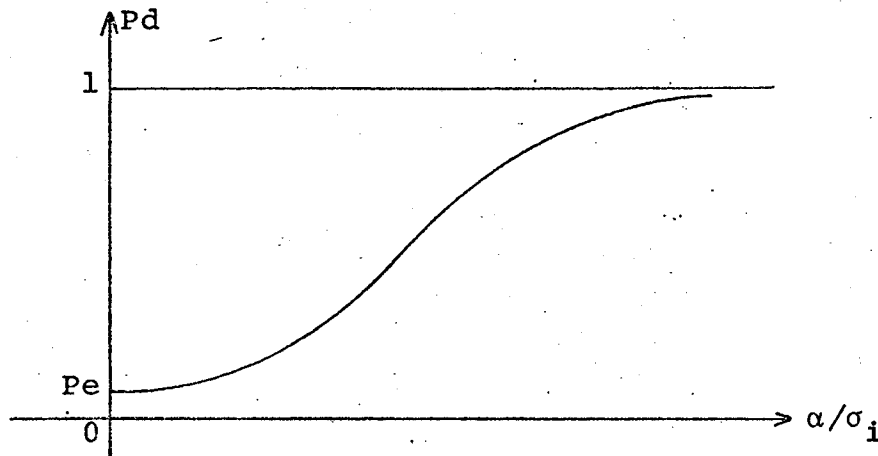


Fig. 3.4.1-1

Será mostrado a seguir um método de levantamento da curva P_d .

Como P_e é fixado, com $\alpha = 0$ temos que

$$P_d(0) = P\left(\frac{J(\hat{x}) - K}{\sqrt{2K}} < z_1\right) = P_e$$

o que permite determinar z_1 usando a tabela de distribuição normal.

Mas,

$$P_d(0) = P(J(\hat{x}) < K + z_1\sqrt{2K}) \quad (3.4.1-1)$$

o que permite calcular o coeficiente γ dado por

$$\gamma = K + z_1\sqrt{2K} \quad (3.4.1-2)$$

do teste de hipóteses apresentado na secção (1.4.2)

Para $\alpha \neq 0$ e γ fixados pode-se calcular qualquer ponto da curva P_d . Podemos escrever que

$$P_d\left(\frac{\alpha}{\sigma_i}\right) = P\left(\frac{J(\bar{x}) - (K + \frac{\alpha^2}{\sigma_i^2} W_{ii})}{\sqrt{2K + \frac{4\alpha^2}{\sigma_i^2} W_{ii}}} < z_2\right)$$

$$P_d\left(\frac{\alpha}{\sigma_i}\right) = P(J(\bar{x}) < K + \frac{\alpha^2}{\sigma_i^2} W_{ii} + z_2 \sqrt{2K + \frac{4\alpha^2}{\sigma_i^2} W_{ii}})$$

(3.4.1-3)

o que implica que z_2 deve satisfazer a seguinte equação

$$\gamma = K + \frac{\alpha^2}{\sigma_i^2} W_{ii} + z_2 \sqrt{2K + \frac{4\alpha^2}{\sigma_i^2} W_{ii}} \quad (3.4.1-4)$$

Usando (3.4.1-4) e (3.4.1-2) temos que

$$K + z_1 \sqrt{2K} = K + \frac{\alpha^2}{\sigma_i^2} W_{ii} + z_2 \sqrt{2K + \frac{4\alpha^2}{\sigma_i^2} W_{ii}} \quad (3.4.1-5)$$

Para se traçar a curva P_d em função de $\frac{\alpha}{\sigma_i}$ varia-se o valor de $\frac{\alpha}{\sigma_i}$ e calculam-se os valores correspondentes de z_2 . A partir dos valores de z_2 entra-se na tabela de distribuição normal [12, 13] e acham-se os valores de P_d correspondentes.

O valor de Z_2 é calculado pela equação abaixo, obtida da equação (3.4.1-5):

$$Z_2 = \frac{Z_1 \sqrt{2K} - \frac{\alpha^2}{\sigma_i^2} Wii}{\sqrt{2K + \frac{4\alpha^2}{\sigma_i^2}} Wii} \quad (3.4.1-6)$$

A fim de ilustrar o procedimento exposto acima foram levantadas as curvas de três medidores.

As tabelas (3.4.1-1) e (3.4.1-2) apresentam os valores de P_d para $\frac{\alpha}{\sigma_i}$ = 3,6 e 9. Os três medidores considerados são:

Nº	Medição
184	Fluxo Ativo F.Areia - Blumenau
537	Injeção Ativa - S. Santiago
538	Injeção Reativa - S. Santiago

Os valores de Wii dos medidores Nº 184 e Nº 538 são valores extremos, isto é, os valores de Wii de todos os medidores restantes estão entre estes dois limites. Isto significa que todas as curvas de probabilidade de deteção ($P_d \times \frac{\alpha}{\sigma_i}$) estarão entre as curvas dos medidores 184 e 538.

Nas figuras (3.4.1-2) e (3.4.1-3) temos as representações gráficas das tabelas (3.4.1-1) e (3.4.1-2) respectivamente.

Na figura (3.4.1-2) os valores de $\frac{\alpha}{\sigma_i}$ para as curvas 184, 537 e 538, onde $P_d=0,95$, são respectivamente 8,92, 10,05 e 12,29. Isto significa que para uma probabilidade de deteção igual a 95% é necessário que o erro grosso seja maior que 12.3 g.

Medidor	Wii	Pd		
184	0.90648-	0,121	0.528	0.955
537	0.69157	0.099	0.382	0.841
538	0.44429	0.078	0.221	0.595
α/σ_i		3	6	9

$$K = 299 - 121 = 178$$

$$\gamma_1 = 1.65 \text{ (Pe} = 5\%)$$

Sistema de Medição selecionado por REDUN2(3)

TABELA 3.4.1-1

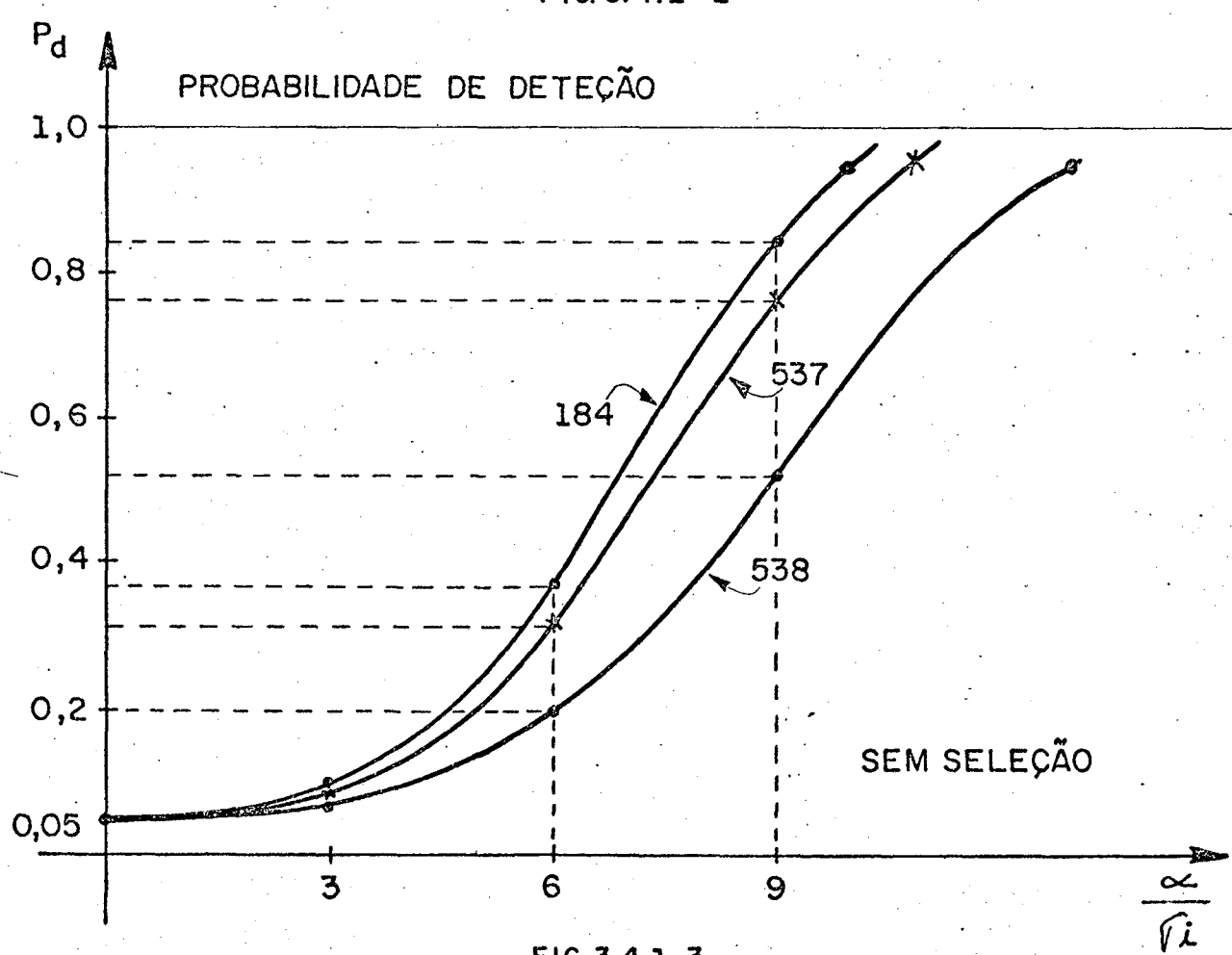
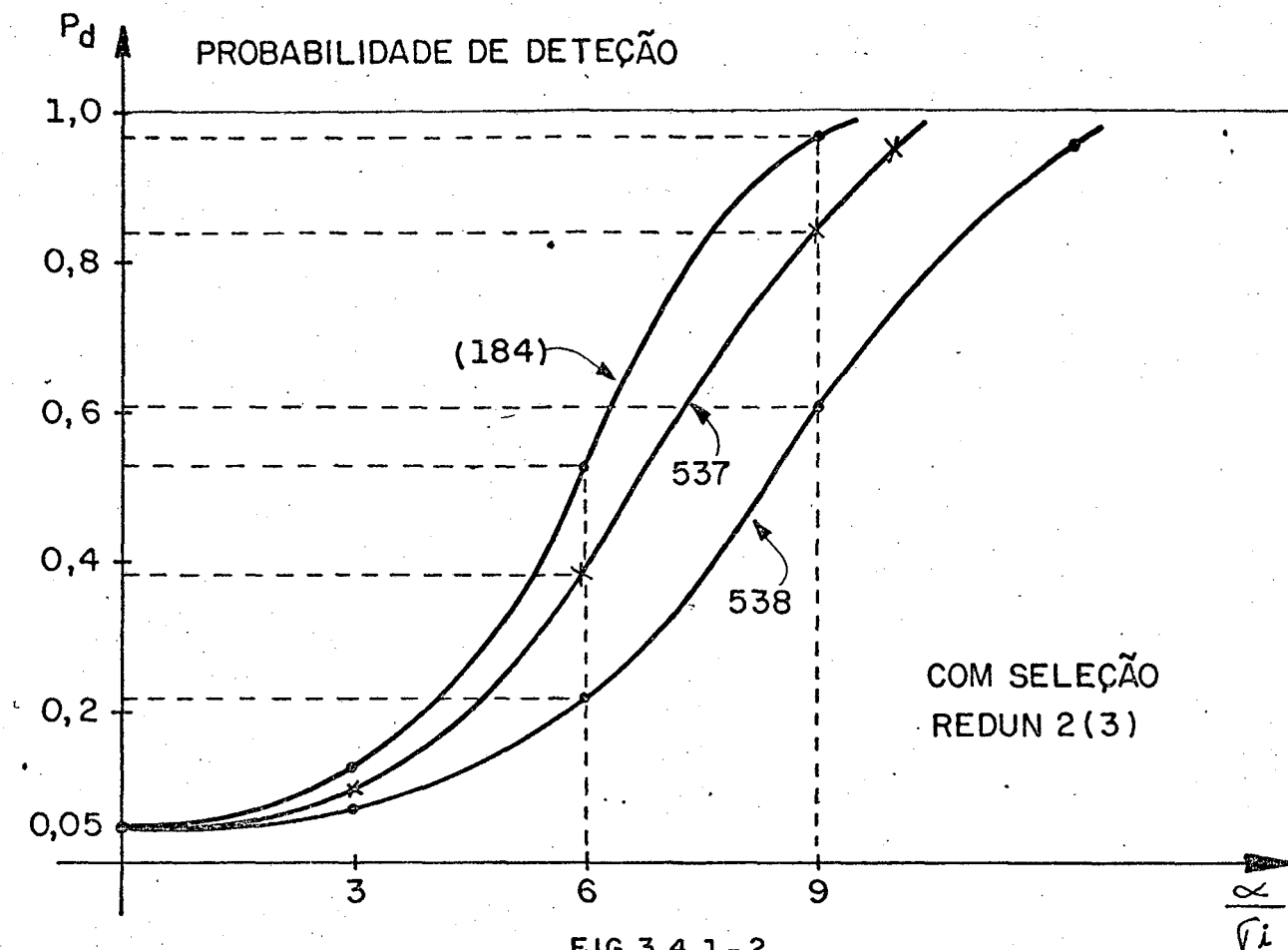
Medidor	Wii	Pd		
184	0.93417	0.099	0.375	0.858
537	0.79228	0.089	0.305	0.767
538	0.53772	0.074	0.192	0.512
α/σ_i		3	6	9

$$K = 455 - 121 = 334$$

$$\gamma_1 = 1.65 \text{ (Pe} = 5\%)$$

Sem seleção de medidores

TABELA 3.4.1-2

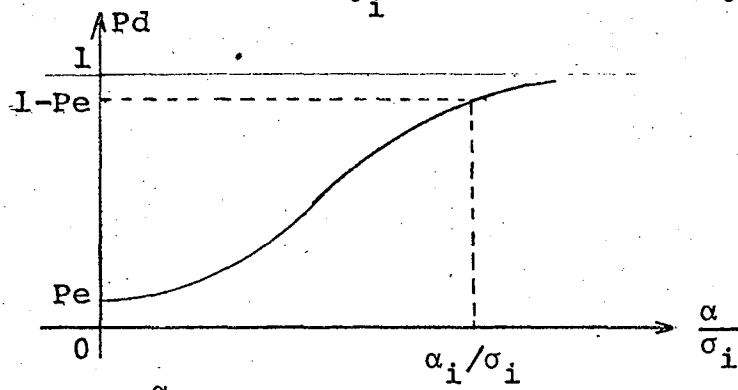


A figura 3.4.1-2 representa as curvas P_d com seleção de medidores enquanto que a figura 3.4.1-3 representa estas mesmas curvas para o sistema de medição completo.

Comparando as duas figuras podemos notar que detetabilidade é melhor com o sistema de medição reduzido. Quando se considera o sistema de medição completo, os valores de $\frac{\alpha_i}{\sigma_i}$ onde $P_d = 0,95$ para os três medidores são respectivamente 10,11, 10,89 e 13,02 conforme figura (3.4.1-3).

3.4.2 - Indice de Detetabilidade

Vamos definir por $\frac{\alpha_i}{\sigma_i}$ o ponto onde $P_d(\frac{\alpha_i}{\sigma_i}) = 1 - P_e$



O valor $\frac{\alpha_i}{\sigma_i}$ do medidor i indica a magnitude do erro grosso em relação a σ_i onde a probabilidade de deteção P_d é igual a $(1-P_e)$. Se o valor de P_e for igual a 5% o valor α_i/σ_i indicará a magnitude do erro grosso em relação a σ_i onde a probabilidade de deteção deste erro é de 95%.

Um valor grande para $\frac{\alpha_i}{\sigma_i}$ significa que é necessário que o erro grosso contido no medidor i deva ser grande para que possa ser detetado, ou seja, neste caso o medidor i tem baixa detetabilidade.

O desejável é que todos os valores $\frac{\alpha_i}{\sigma_i}$ sejam os menores possíveis porque quanto menores forem, melhor será a detetabilidade global.

A determinação do ponto onde $P_d = 1 - P_e$ é feita usando a equação (3.4.1-5) para $Z_2 = -Z_1$ isto é:

$$Z_1 \sqrt{2K} = \frac{\alpha_i^2}{\sigma_i^2} Wii - Z_1 \sqrt{2K + 4 \frac{\alpha_i^2}{\sigma_i^2} Wii}$$

$$\frac{\alpha_i^2}{\sigma_i^2} Wii - Z_1 \sqrt{2K} = Z_1 \sqrt{2K + 4 \frac{\alpha_i^2}{\sigma_i^2} Wii}$$

$$\frac{\alpha_i^4}{\sigma_i^4} Wii^2 - 2 \frac{\alpha_i^2}{\sigma_i^2} Wii Z_1 \sqrt{2K} + Z_1^2 (2K) = Z_1^2 (2K) + Z_1^2 (4 \frac{\alpha_i^2}{\sigma_i^2} Wii)$$

$$\frac{\alpha_i^2}{\sigma_i^2} Wii - 2Z_1 \sqrt{2K} = 4Z_1^2 Wii$$

$$\frac{\alpha_i}{\sigma_i} = \frac{(2Z_1 \sqrt{2K} + 4Z_1^2)^{1/2}}{Wii} ; i=1, 2, \dots, m \quad (3.4.2-1)$$

Uma vez que $\frac{\alpha_i}{\sigma_i}$ indica a detetabilidade do medidor i , a partir dos valores $\frac{\alpha_i}{\sigma_i}$ calculados através de (3.4.2-1) podemos definir um índice de detetabilidade global IDT.

$$IDT = \frac{1}{K} \sum_{i=1}^K \frac{\alpha_i}{\sigma_i} \quad (3.4.2-2)$$

onde K é o número de medições consideradas.

Este índice será usado para a avaliação dos sistemas de medição com relação à detetabilidade de erro grosseiro. Quanto menor o índice IDT, melhor será a detetabilidade do sistema de medição como um todo. Para este trabalho adotou-se como probabilidade de ocorrência do erro tipo I $P_e = 5\%$, consequentemente o índice IDT foi calculado para $P_d = 1 - P_e = 95\%$.

A fim de ilustrar a eficácia do índice IDT foram considerados dois sistemas de medição: o primeiro reduzido pelo método da redundância local de estado e o segundo usando todos os medidores disponíveis. O sistema reduzido de medição apresentou o índice $IDT = 11.16$ e o sistema completo apresentou para $IDT = 11.24$.

Como consequência o sistema reduzido de medições deve ser melhor em relação a detetabilidade de erros grosseiros que o sistema completo, uma vez que o sistema reduzido apresentou menor valor para IDT.

A fim de verificar a eficácia do índice IDT foram feitas duas séries de simulações tanto para o sistema reduzido quanto para o completo.

Em cada série foram realizadas 50 simulações. Em cada simulação introduziu-se aleatoriamente um erro grosseiro em apenas um medidor. Nas 50 simulações estes erros incidiram aleatoriamente nos seis tipos de medidores relacionados a seguir:

CÓDIGO	TIPO
1	Magnitude de tensão
2	Injeção Ativa
3	Injeção Reativa
4	Potência de reatores
5	Fluxo ativo
6	Fluxo reativo

Na primeira série de simulações a magnitude do erro grossoiro foi de 6σ enquanto que na segunda foi de 12σ .

Para o sistema de medições reduzido usando o teste de detetabilidade (3.4.2-2) para $P_e = 5\%$ verificou-se que em 41 casos o erro grossoiro não foi detetado e em 9 casos o erro grossoiro foi detetado e identificado conforme mostra a tabela (3.4.2-1).

Na segunda série de simulações, o erro grossoiro de 12σ foi introduzido nos mesmos medidores. Usando o mesmo teste de detetabilidade tivemos que em 49 casos o erro grossoiro foi detetado e identificado e em apenas 1 caso não foi detetado conforme mostra a tabela (3.4.2-1).

O resultado para o sistema de medição completo é apresentado na tabela (3.4.2-2). Verifica-se nesta tabela que para erro grossóiro de 6σ não houve deteção nos 50 casos simulados enquanto que para erro grossoiro de 12σ houve a deteção em 49 casos.

Comparando-se as duas tabelas podemos notar que quando o erro é igual a 12σ não há diferença entre os dois sistemas de medição mas quando o erro grossoiro é igual a 6σ o sistema de medição reduzido tem detetabilidade melhor, o que mostra a validade do índice IDT.

O algoritmo usado para a estimação nestas experiências foi o método clássico (MQP).

Para o cálculo do índice de detetabilidade IDT (3.4.2-2) e para o traçado das curvas das figuras (3.4.1-2) e (3.4.1-3) o

$$\gamma = 1.65 \quad (P_e = 5\%)$$

a) COM SELEÇÃO REDUN2(2)

IDT = 11.16

	Código	1	2	3	4	5	6	Total
Quantidade	6	27	27	-	115	115	290	
Simulados	2	2	1	-	21	24	50	
Erro 6σ	Não dete- tou	2	2	1	-	16	20	41
	Não iden- tificou	-	-	-	-	-	-	-
	Identifi- cou	-	-	-	-	5	4	9
Erro 12σ	Não dete- tou	-	-	-	-	-	1	1
	Não iden- tificou	-	-	-	-	-	-	-
	Identifi- cou	2	2	1	-	21	23	49

TABELA 3.4.2-1

b) SEM SELEÇÃO

IDT = 11.24

	Código	1	2	3	4	5	6	Total
Quantidade	6	27	27	-	202	193	455	
Simulados	2	2	1	-	21	24	50	
Erro 6σ	Não dete- tou	2	2	1	-	21	24	50
	Não iden- tificou	-	-	-	-	-	-	-
	Identifi- cou	-	-	-	-	-	-	-
Erro 12σ	Não dete- tou	-	-	-	-	-	1	1
	Não iden- tificou	-	-	-	-	-	-	-
	Identifi- cou	2	2	1	-	21	23	49

TABELA 3.4.2-2

valor de Wii foi considerado constante quando na realidade é uma função do vetor de estado estimado \hat{x} . Entretanto como o valor de \hat{x} varia pouco mesmo com a presença de erro grosseiro, Wii foi considerado constante.

Como verificação deste fato a tabela (3.4.2-3) apresenta os valores de Wii para 5 medidores considerando-se o sistema de medição com todas as medidas. Na coluna "s/erro grosso" os valores de Wii correspondem ao caso onde não há erro grosso e na coluna "erro grosso", ao caso onde foram introduzidos erros grosseiros iguais a 10% nas 5 medidas consideradas. Comparando estas duas colunas podemos notar que a variação de Wii é pequena.

Na tabela (3.4.2-4) temos os valores de Wii para os mesmos medidores considerando-se o sistema de medição reduzido. A variação de Wii neste caso também é pequena e portanto Wii pode ser considerado constante. Na medição da tensão da barra Siderópolis 230 para o sistema reduzido houve uma variação maior, de cerca de 10%. Mesmo esta variação não acarreta um erro grande no cálculo da detetabilidade porque se $\text{Wii} = 0,89526$ o valor de $P_d(10)$ é de 98,7% E se $\text{Wii} = 0,81334$ o valor de $P_d(10)$ é de 97,8%, o que mostra que mesmo neste caso Wii pode ser considerado constante.

3.5 - Conclusão

Este capítulo apresentou os índices GV, GTETA, GVV e GTETAV para avaliação da variância do valor estimado e os indi-

Wii - COM TODAS AS MEDIÇÕES

Medida		Nº	S/erro grossoiro	erro grossoiro = 10 σ
Fluxo F. Areia 500-	Ativo	184	0.93417	0.93383
	Reativo	185	0.89871	0.89775
Injeção S.Santiago 500	Ativa	537	0.79228	0.79198
	Reativa	538	0.53772	0.53692
Tensão-Siderópolis 230		55	0.90846	0.89628

TABELA 3.4.2-3

Wii - COM SELEÇÃO - REDUN2(3)

Medida		Nº	S/erro grossoiro	erro grossoiro = 10 σ
Fluxo F. Areia 500-	Ativo	184	0.90648	0.90646
	Reativo	185	0.87762	0.87071
Injeção S.Santiago 500	Ativa	537	0.69157	0.69181
	Reativa	538	0.44429	0.44032
Tensão-Siderópolis 230		55	0.89526	0.81334

TABELA 3.4.2-4

ces DMV e DMTETA para a avaliação da tendenciosidade do resultado do estimador. Estes índices quando aplicados a um estimador dão uma imagem de seu desempenho. Quando aplicados em diversos estimadores permitem determinar o menos tendencioso e o de menor variância garantindo assim escolher o que mais se aproxima do estimador ideal que é aquele que não é tendencioso e tem variância mínima. O índice IDT permite por sua vez avaliar o desempenho do sistema de medição no que diz respeito à sua capacidade de detecção de erros grosseiros.

Capítulo 4

Comparação de Estimadores e de Estratégias de Medição no Sistema Sul-Brasileiro

Um dos objetivos básicos deste trabalho é a determinação do algoritmo de estimação de estado que melhor se adapte ao sistema elétrico que será supervisionado pelo Centro de Operação do Sistema da ELETROSUL. Esta supervisão será realizada através do Sistema de Supervisão e Controle digital que será implantado em 1985.

Outro objetivo básico deste trabalho é a determinação do Sistema de Medição que servirá de entrada para o Estimador de Estado, uma vez que o sistema de aquisição de dados vai colher medidas em excesso do ponto de vista do Estimador de Estado. Torna-se então necessária uma seleção do sub-conjunto de medidores que melhor atenda aos requisitos do mesmo e esta seleção define o sistema de medição.

4.1 - Descrição do Sistema de Potência estudado

O sistema elétrico estudado está mostrado na figura (4.1-1). É composto de 61 barras que estão classificadas em diversos níveis de tensão como mostra a tabela seguinte:

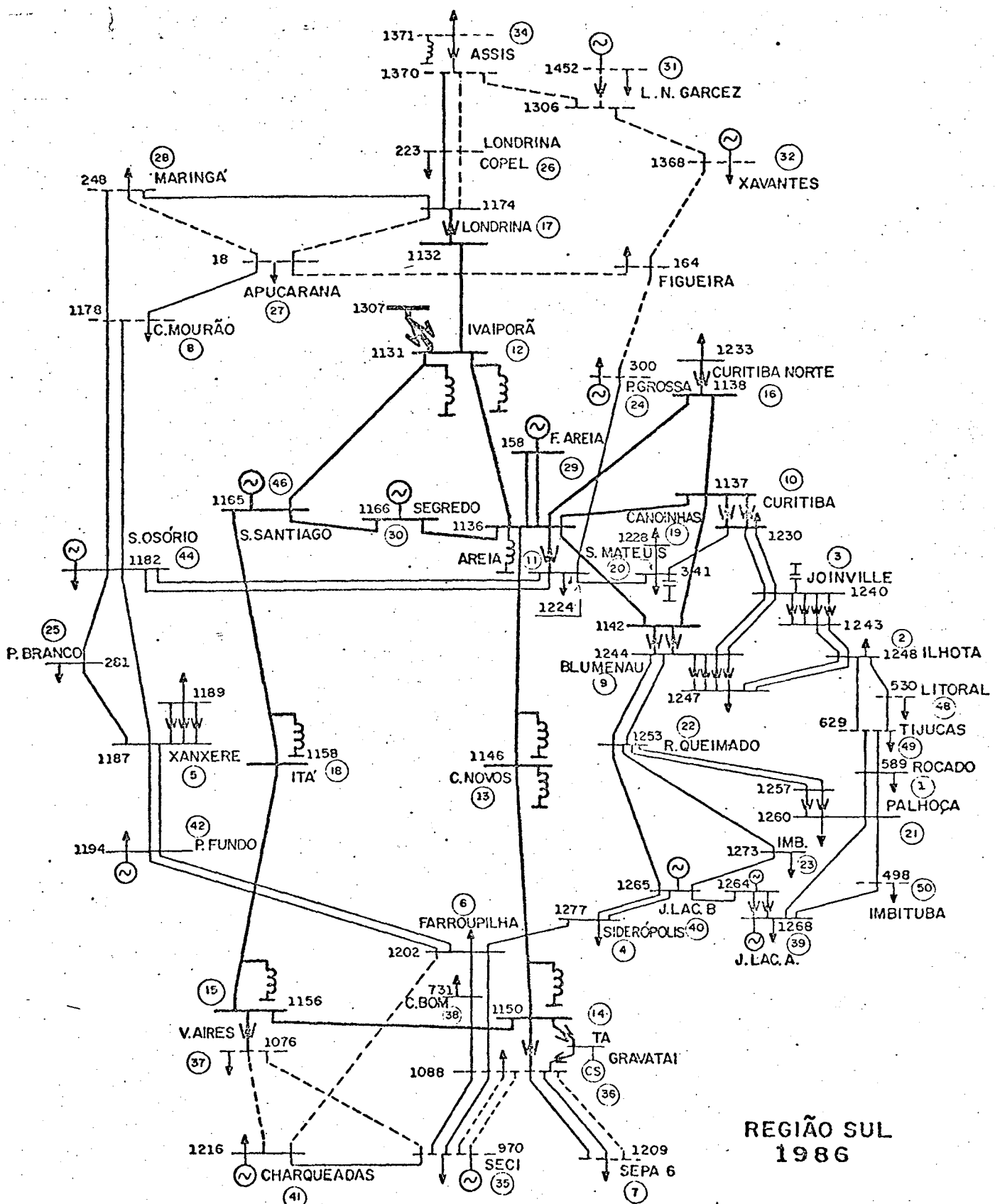
REGIÃO SUL
1986

FIG. 4.1-1

Classificação das Barras em Níveis de Tensão

kV	QUANTIDADE
Terciário	1
138	11
230	34
440	1
500	13
765	1

Total = 61 barras

É composto ainda de 89 linhas de transmissão e de 27 transformadores, sendo esta, a configuração prevista para 1986. Este sistema elétrico foi baseado nos dados que o Departamento de Planejamento do Sistema da ELETROSUL dispunha em 1980. A situação considerada para os estudos apresentados neste trabalho é a carga pesada e nesta situação a geração total é de 4.450 MW aproximadamente. Das 61 barras, 42 pertencem à ELETROSUL e as 19 restantes à empresas vizinhas ou seja CEEE, COPEL, CESP e FURNAS.

Podemos notar pela figura (4.1-1) que este sistema se caracteriza por ser relativamente bem "malhado", ou seja com poucas linhas radiais. Este fato é importante pois facilita a estimação de estado, uma vez que a redundância local em "sistemas malhados" é maior que em "radiais".

4.2 - Descrição do Sistema de Medição Disponível

Nas usinas e subestações onde serão instaladas as estações remotas do sistema de aquisição de dados e controle supervisório, de modo geral, serão medidos os fluxos nas saídas de todas as linhas mostradas na fig. (4.1-1).

Nos transformadores apenas o fluxo de um dos lados é medido, salvo em alguns casos especiais onde o fluxo é medido tanto no primário como no secundário. As tensões de todas as barras mostradas serão medidas.

As injeções serão medidas nas barras de usinas e nas barras onde a injeção corresponde a apenas uma linha ou transformador, ou seja, se a injeção corresponder à soma de uma série de linhas ou transformadores esta injeção não será considerada.

No apêndice B são apresentados diagramas unifilares do sistema elétrico associado a cada estação remota. Eles mostram todas as informações analógicas que poderão fazer parte dos dados de entrada do estimador.

Para se ter uma idéia da quantidade e do tipo de medidores disponíveis foi realizada a seguinte tabela:

TIPO	CÓDIGO	QUANTIDADE
Magnitude de Tensão	1	60
Injeção Ativa	2	27
Injeção Reativa	3	27
Pot. Reatores	4	-
Fluxo Ativo	5	202
Fluxo Reativo	6	193

Das 54 medições de injeção, 37 correspondem a injeções nulas, ou seja, a pseudo-injeções.

A fim de reduzir o sistema disponível de medição e acelerar a convergência dos estimadores consideraram-se apenas 6 medidas de tensão ao invés das 60 realmente disponíveis. Estas 6 medidas estão distribuídas nos diversos níveis de tensão.

4.3 - Resultado das Simulações

O principal resultado das simulações está apresentado na tabela (4.3-1). Nesta tabela foram considerados apenas o método de estimação clássico (MQP) e o método desacoplado no modelo (DRAP). O método desacoplado no algoritmo mostrou resultados pobres e por isto não está sendo considerado nesta secção.

Para melhor compreensão da tabela (4.3-1) será mostrado o significado das seguintes siglas:

REDUN(.) - subrotina que faz a seleção de medidores baseada na redundância local de barra e apresentada na secção (2.3)

REDUN2(.) - subrotina que faz a seleção de medidores baseada na redundância local de estado e apresentada na secção (2.4)

MQP - subrotina que estima o estado usando o algoritmo dos mínimos quadrados ponderados sem aproximações e apresentada na secção (1.2)

		REDUN(.)				REDUN2(.)			
SEM	SELEÇÃO	0.8	1.6	2.0	2.4	2	3	4	5
NMED	455	293	299	.313	327	290	299	313	329
RED. GLOBAL	3.76	2.42	2.47	2.59	2.70	2.40	2.47	2.59	2.72
TEMPO SEL.		2.48	2.38	2.32	2.27	2.03	1.86	1.77	1.47
					M Q P				
GV	.000230	.00232	.00231	.00230	.00232	.00230	.00232	.00237	.00233
GTETA	.00064	.00077	.00079	.00073	.00075	.00071	.00066	.00075	.00083
GVV	.00232	.00234	.00232	.00230	.00233	.00230	.00233	.00239	.00234
GTETAV	.00066	.00079	.00082	.00075	.00077	.00073	.00069	.00076	.00084
DMV	.00008	.00007	.00011	.00007	.00007	.00011	.00010	.00006	.00011
DNTETA	.00009	.00012	.00014	.00013	.00009	.00011	.00016	.00008	.00008
NAXIT	8	11	8	8	9	8	10	9	8
MINIT	4	4	4	4	4	4	4	4	4
MEDIT	5.9	5.6	5.4	5.5	5.7	5.7	5.6	5.6	5.8
TEMPO EST.	32.5	23.3	23.1	24.1	27.0	23.3	23.2	23.3	25.6
					D F A P				
GV	.00235	.00245	.00241	.00230	.00242	.00242	.00233	.00246	.00239
GTETA	.00067	.00084	.00090	.00080	.00083	.00081	.00077	.00083	.00092
GVV	.00239	.00249	.00248	.00245	.00255	.00248	.00241	.00254	.00252
GTETAV	.00130	.00137	.00141	.00127	.00133	.00133	.00135	.00142	.00142
DMV	.00039	.00042	.00051	.00080	.00077	.00052	.00058	.00062	.00075
DNTETA	.00130	.00119	.00129	.00107	.00116	.00117	.00132	.00132	.00120
NAXIT	9	8	8	8	9	8	8	8	9
MINIT	9	8	8	8	9	8	8	8	9
MEDIT	9.0	8.0	8.0	8.0	9.0	8.0	8.0	8.0	9.0
TEMPO EST.	5.0	3.75	3.75	3.77	4.24	3.70	3.75	3.77	4.20
					DETETABILIDADE				
K	417	255	261	275	289	252	261	275	291
IDT ANTES	11.24	11.50	11.45	11.44	11.43	11.49	11.51	11.51	11.49
Pd = 95% APÓS		11.05	10.98	10.93	10.89	11.16	10.96	10.90	10.87

- DRAP - subrotina que estima o estado usando o algoritmo desacoplado rápido e apresentada na secção (1.3.2)
- NMED - número de medições
- RED. GLOBAL - redundância global cuja definição é dada pela equação (1.1-5)
- TEMPO SEL. - tempo gasto em segundos no processo de seleção dos medidores
- GV, GTETA, - índices apresentados nas secções (3.2) e GVV, GTETAV, (3.3) para avaliação do desempenho dos DMV, DMETETA estimadores. Para o levantamento destes índices foram feitas 50 simulações para cada sistema de medição.
- MAXIT - número máximo de iterações do algoritmo de estimação
- MINIT - número mínimo de iterações do algoritmo de estimação
- MEDIT - número médio de iterações nas 50 simulações
- TEMPO EST. - tempo médio em segundos usado no processo de estimação

- K - número de medidores considerados no cálculo do índice IDT. Este número K será explicado com mais detalhes mais adiante.
- IDT - índice de detetabilidade de erro grosso definido pela equação (3.4.2-2). Para o cálculo deste índice foi considerado $P_d = 95\%$.

A seguir será explicada a tabela (4.3-1).

O método de seleção de medidores baseado na redundância local de barra REDUN(.) foi usado com os parâmetros (limites inferiores) iguais a 0.8, 1.6, 2.0 e 2.4 (ver 1^a linha). Para estes parâmetros a redundância global variou de 2.42 a 2.70 (ver 3^a linha). A 2^a linha da tabela corresponde ao número de medidores considerados nas estimações pelos métodos MQP e DRAP.

Para o método de seleção baseado na redundância local de estado (REDUND2(.)) foram usados os parâmetros iguais a 2, 3, 4 e 5 que dão como resultado redundâncias globais variando de 2.40 a 2.72 e que são semelhantes aos do caso anterior (ver 1^a e 3^a linhas).

O tempo de processamento da REDUN2(.) é menor que o da REDUN(.) (ver 4^a linha) e o mesmo acontece com a memória ocupada. Isto constitui uma vantagem da REDUN2(.) e se deve ao fato do cálculo da redundância local de estado ser mais simples que o cálculo da redundância local de barra.

Comparando-se os resultados dos vários sistemas de medição quando se usa o método clássico de estimação (MQP) podemos verificar que os índices GV, GTETA, GVV, GTETAV, DMV, DMTETA que apa-

recente na 1^a coluna são praticamente os mesmos para todos os casos, ou seja, com ou sem seleção de medidores. Isto significa que a qualidade da estimação é a mesma em qualquer caso. Com respeito ao número de iterações notamos que o número médio de iterações (MEDIT) dos sistemas selecionados é inferior ao do sistema completo. Considerando-se este fato mais o fato de que cada iteração dos estimadores com os medidores selecionados é mais rápida que o caso completo porque o número de cálculos fica reduzido, temos uma queda considerável no tempo de estimação conforme atesta a linha TEMPO EST. Esta queda é de 28% entre o caso sem seleção e o caso com seleção usando REDUN2(2).

Deve-se esclarecer que o computador usado nos cálculos foi o IBM 4341 modelo 1 sendo que o processamento foi feito em "batch" e não em tempo-real. Portanto os tempos indicados na linha TEMPO EST. devem ser utilizados para comparação relativa e não absoluta. É importante salientar também que a programação das subrotinas desenvolvidas pode ser otimizada tanto em termos de ocupação de memória como em termos de tempo de processamento uma vez que otimização da programação não era objetivo deste trabalho.

Comparando-se os resultados dos sistemas de medição em relação com os sistemas selecionados quando se usa o método desacoplado rápido (DRAP) notam-se os mesmos fatos observados no método MQP: a qualidade dos resultados (GV, GTETA e etc) se mantém constante, o número de iterações (MEDIT) diminui um pouco e o tempo de processamento (TEMPO EST.) cai cerca de 26% para REDUN2(2).

Para se ter uma idéia do tempo gasto em cada iteração nos métodos MQP e DRAP, vamos mostrar a seguir uma tabela contendo dados obtidos num caso onde os medidores foram selecionados através da subrotina REDUN2(2).

	MQP	DRAP
1ª iteração	4.09	1.81
Demais it.	4.09	0.27

Duração(s) de Cada iteração dos Estimadores

A diferença entre os tempos do método clássico (MQP) e do método desacoplado rápido (DRAP) se deve ao fato de que no desacoplado rápido o número de operações é consideravelmente reduzido por causa das simplificações. A diferença de tempo entre a primeira iteração e as demais do método desacoplado rápido se deve ao fato de que a matriz G é calculada uma única vez no início da estimação. Neste método, como o tempo das demais iterações é pequeno, o número de iterações não influí muito no tempo total de estimação.

Comparando-se os resultados dos dois métodos de estimadores MQP e DRAP podemos notar duas diferenças importantes. A primeira é que o tempo de processamento da subrotina DRAP é cerca de 6 vezes menor que o tempo da subrotina MQP (ver as duas linhas TEMP. EST. tabela (4.3-1)). A segunda é que o método MQP é mais preciso que o método DRAP, isto pode ser verificado comparando-se os valores de DMV e DMTETA dos dois métodos. Os valores de GV, GVV e GTETA são aproximadamente iguais. Comparando-se os valores de GTETAV podemos notar que quando se usa o método desacoplado rápido estes índices são aproximadamente o dobro dos índices do método clássico,

isto confirma o fato de que o método clássico apresenta resultados mais precisos que o outro método.

Estes resultados indicam que os resultados do método clássico e do método desacoplado rápido são igualmente dispersos mas que os resultados do método clássico são menos tendenciosos do que os resultados do método desacoplado rápido.

Quando se comparam os índices DMV e DMTETA podemos ter a impressão que os resultados do método DRAP são muito piores que os do método MQP, mas isto não ocorre porque no método DRAP a diferença entre os valores estimados e os valores verdadeiros dos estados é inferior a 0,5%.

Em poucas palavras podemos dizer que a vantagem do método clássico MPQ é a melhor precisão do resultado e que a vantagem do método desacoplado rápido é o menor tempo de processamento.

Será mostrado agora como foi determinado o índice de detetabilidade. Considerou-se no cálculo de IDT o conjunto dos medidores selecionados por qualquer dos dois métodos menos as medições correspondentes a injeções nulas e as medições correspondentes à barra ligada ao terciário do transformador da subestação de Gravataí. As injeções nulas não foram consideradas porque estas medições não contêm erros e portanto não faz sentido calcular-se a sua detetabilidade. As medidas efetuadas nas barras ligadas a terciários dos transformadores sempre têm baixa redundância gerando valores elevados de α_i/σ_i que distorcem o índice IDT e por isso também não são consideradas.

O conjunto assim definido é formado por K elementos indicados na tabela (4.3-1).

Define-se como índice IDT-ANTES o índice calculado por

$$\text{IDT ANTES} = \frac{1}{K} \sum_{i=1}^K \frac{\alpha_i}{\sigma_i} \quad (4.3-1)$$

onde $\frac{\alpha_i}{\sigma_i}$ são os valores determinados com o sistema sem redução.

O índice IDT-APÓS é calculado pela mesma fórmula, a única diferença entre este índice e o IDT-ANTES está no fato de que os valores $\frac{\alpha_i}{\sigma_i}$ são aqueles obtidos com o sistema de medição reduzido.

Os índices IDT são calculados com e sem seleção de medidores considerando-se o mesmo conjunto de medidores para que se possa verificar se a detetabilidade destes medidores se altera com a variação dos sistemas de medição ou com a variação do método de estimação.

Comparando-se as duas últimas linhas da tabela (4.3-1) observa-se que a detetabilidade melhora para os sistemas de medição reduzido uma vez que IDT-APÓS é sempre menor que IDT-ANTES. Este fato confirma o que se havia anunciado na secção (3.4-1).

Um fato interessante que pode ser verificado através de estudos preliminares à implantação de um estimador é o desempenho do estimador mesmo com a saída de operação de uma estação remota. Para isto foram testados quatro casos em que as estações remotas

de Blumenau, Campos Novos, Venâncio Aires e Londrina foram consideradas inoperantes (uma de cada vez). Seguiu-se a sequência:

- a) eliminar todas as medidas colhidas pela estação remota
- b) selecionar os medidores restantes através da subrotina REDUN2(2)
- c) estimar o estado através da subrotina da DRAP

Os resultados destes testes estão mostrados na tabela (4.3-2). Notamos que a não tendenciosidade e dispersão se mantém com a saída das estações remotas, o mesmo acontecendo em relação ao número de iterações necessárias à convergência e ao índice de detetabilidade IDT.

Estas estações remotas são típicas e podemos concluir que uma contingência simples que afete uma única estação remota não diminui a eficácia do estimador de estado.

Durante os estudos preliminares à implantação de um estimador pode-se também verificar quais os melhores valores de desvio padrão σ que devem ser associados às medições correspondentes às injeções nulas. Estes valores intuitivamente deveriam ser próximos de zero porque estas pseudo-medidas são determinísticas. Entretanto se estes desvios padrões forem muito pequenos relativamente aos demais o processo de estimação não converge em virtude de problemas de mal condicionamento da matriz de ganho.

Para o cálculo de σ das injeções nulas foi usada a seguinte fórmula inspirada da equação (1.6-6):

$$\sigma = 0,002 \text{ F.E./D} \quad (4.3-2)$$

REDUN2(2)						
c/todas as remotas	s/remota de Blumenau	s/remota de C. Novos	s/remota de V. Aires	s/remota de Londrina		
NMED	290	278	289	288	288	
RED. GLOBAL	2.40	2.30	2.39	2.38	2.38	
TEMP RED.	2.03	2.11	2.03	2.03	2.07	
			D R A P			
GV	.00295	.00288	.00288	.00294	.00293	
GTETA	.00097	.00115	.00100	.00103	.00103	
GVV	.00302	.00296	.00295	.00298	.00298	
GTETAV	.00160	.00162	.00158	.00171	.00162	
DMV	.00052	.00055	.00050	.00037	.00036	
DMTETA	.00117	.00104	.00113	.00126	.00118	
MAXIT	8	8	8	7	8	
MINIT	8	7	8	7	8	
MEDIT	8.0	7.2	8.0	7.0	8.0	
TEMPO	3.70	3.63	3.69	3.42	3.69	
			DETETABILIDADE			
K	252	240	251	250	250	
IDT $P_d = 95\%$	ANTES	11.49	11.54	11.50	11.41	11.48
	APÓS	11.16	11.11	11.15	11.09	11.15

Simulação da perda de algumas remotas

TABELA 4.3-2

onde F.E é o fundo de escala conforme a tabela (1.6-1) e D é uma constante que deve ser tão grande quanto possível.

Realizaram-se 50 simulações para diversos valores de D e chegou-se às seguintes conclusões:

- a) Para D iguais a 1, 2, 3 e 4 o número de iterações aumenta com D e o resultado das estimativas permanece o mesmo;
- b) Para D = 5 acontece o mesmo fato dos casos anteriores e em 1 das 50 simulações o estimador não convergiu.

Concluímos que, pelo menos para os casos estudados, um bom valor para D é igual a 1 porque para valores superiores nenhuma vantagem é obtida.

Para uma melhor visualização do resultado de uma estimativa temos na tabela (4.3-3) uma comparação entre valores verdadeiros de estado e valores estimados (média de 50 simulações). Para seleção de medidores foi usada a subrotina REDUN2(2) e para a estimação foi usado o método desacoplado rápido. Para melhor compreensão da tabela, as seguintes siglas significam:

VV - valor verdadeiro da magnitude da tensão

VE - valor estimado médio da magnitude da tensão calculado pela equação (3.2-2b)

DP - desvio padrão calculado pela equação (3.2-2a)

WW	VE	DP	PDP	AV	AE	DP	PDP
1	0.9909	0.9914	0.00271	0.CC265	-18.306	-18.380	0.00077 0.00153
2	1.0260	1.0264	0.00234	0.CC234	-3.139	-3.189	0.00026 0.00026
3	0.9392	0.9897	0.00241	0.00259	-24.871	-24.943	0.00171 0.00214
4	1.0046	1.0051	0.00207	0.CC221	-17.729	-17.775	0.00082 0.00115
5	0.9913	0.9918	0.00253	0.CC259	-17.344	-17.919	0.00088 0.00159
6	1.0165	1.0167	0.00247	0.CC253	-6.092	-6.093	0.00085 0.00035
7	1.0000	1.0003	0.00253	0.CC271	-17.402	-17.409	0.00124 0.00124
8	0.9946	0.9949	0.00247	0.CC247	-16.935	-16.953	0.00084 0.00091
9	1.0118	1.0122	0.00207	0.CC207	-19.610	-19.553	0.00090 0.00136
10	1.0019	1.0021	0.00259	0.CC259	-19.249	-19.190	0.00081 0.00153
11	1.0158	1.0159	0.00191	0.CC191	-20.112	-20.064	0.00101 0.00134
12	1.0065	1.0066	0.00234	0.00234	-19.865	-19.814	0.00100 0.00136
13	0.9954	0.9996	0.00247	0.CC241	-20.315	-20.248	0.00092 0.00151
14	1.0000	1.0002	0.CC241	0.CC247	-19.573	-19.507	0.00091 0.00149
15	1.0132	1.0135	0.CC241	0.CC247	-15.330	-15.262	0.00052 0.00129
16	1.0015	1.0017	0.CC221	0.CC228	-19.357	-19.291	0.00088 0.00149
17	1.0004	1.0003	0.CC276	0.CC276	-6.269	-6.297	0.00040 0.00062
18	1.0044	1.0049	0.00247	0.CC253	-9.769	-9.809	0.00041 0.00032
19	1.0265	1.0268	0.00234	0.CC241	-3.565	-3.566	0.00025 0.00025
20	1.0092	1.0092	0.00241	0.00234	-10.781	-10.800	0.00046 0.00055
21	1.0067	1.0067	0.00265	0.CC265	-10.466	-10.486	0.00044 0.00057
22	1.0174	1.0177	0.00253	0.CC253	-11.320	-11.308	0.00041 0.00046
23	1.0258	1.0262	0.00175	0.CC175	-8.559	-8.540	0.00046 0.00055
24	1.0076	1.0078	0.00221	0.CC214	-16.516	-16.456	0.00065 0.00124
25	0.9780	0.9782	0.00241	0.CC247	-20.187	-20.118	0.00107 0.00162
26	1.0218	1.0221	0.00241	0.CC247	-14.133	-14.070	0.00039 0.00117
27	1.0136	1.0140	0.CC228	0.CC234	-5.578	-5.553	0.00031 0.00054
28	1.0180	1.0185	0.00234	0.00241	0.0	0.0	0.0 0.0
29	1.0200	1.0204	0.CC228	0.00234	-0.566	-0.567	0.00012 0.00012
30	1.0032	1.0037	0.00221	0.CC228	-14.257	-14.305	0.00059 0.00102
31	1.0073	1.0076	0.00282	0.CC282	-12.064	-12.200	0.00092 0.00254
32	1.0370	1.0371	0.00247	0.CC247	0.688	0.783	0.00071 0.00130
33	1.0124	1.0127	0.00241	0.00241	-11.262	-11.218	0.00076 0.00107
34	1.0031	1.0034	0.00214	0.CC221	-15.841	-15.760	0.00095 0.00170
35	1.0240	1.0242	0.00259	0.CC253	-12.772	-12.750	0.00079 0.00090
36	0.9989	0.9991	0.00253	0.CC247	-20.260	-20.195	0.00103 0.00157
37	0.9890	0.9893	0.00259	0.CC265	-20.671	-20.604	0.00117 0.00167
38	1.0010	1.0012	0.00221	0.CC228	-18.977	-18.903	0.00081 0.00154
39	1.0303	1.0306	0.00183	0.CC183	-6.413	-6.415	0.00052 0.00053
40	0.9909	0.9912	0.00253	0.CC265	-17.773	-17.789	0.00085 0.00090
41	1.0329	1.0328	0.00282	0.CC282	-12.656	-12.701	0.00052 0.00095
42	1.0330	1.0326	0.CC253	0.CC259	-12.823	-12.886	0.00043 0.00119
43	1.0083	1.0083	0.00241	0.CC241	-15.313	-15.313	0.00052 0.00052
44	1.0169	1.0167	0.00228	0.CC228	-19.233	-19.230	0.00087 0.00037
45	1.0292	1.0294	0.00241	0.CC234	-13.110	-13.082	0.00037 0.00062
46	1.0034	1.0037	0.00234	0.00241	-16.406	-16.324	0.00059 0.00154
47	1.0033	1.0035	0.00265	0.00265	-18.673	-18.612	0.00073 0.00132
48	1.0013	1.0020	0.00253	0.CC259	-16.279	-16.196	0.00060 0.00157
49	0.9892	0.9893	0.00287	0.00292	-17.031	-16.948	0.00066 0.00158
50	1.0232	1.0233	0.00276	0.CC282	-19.811	-19.764	0.00090 0.00125
51	1.0060	1.0063	0.00214	0.CC228	-15.411	-15.312	0.00066 0.00185
52	1.0060	1.0068	0.00221	0.CC234	-15.403	-15.304	0.00066 0.00165
53	1.0230	1.0236	0.00265	0.CC271	-17.488	-17.422	0.00083 0.00141
54	0.9874	0.9884	0.00221	0.00253	-17.765	-17.641	0.00068 0.00228
55	0.9915	0.9923	0.00282	0.CC282	-17.649	-17.548	0.00070 0.00190

REDUN2(2)/DRAP

TABELA 4.3-3

(continua)

56	1.0180	1.0188	0.00247	C.CC259	-25.460	-25.585	0.00177	0.00284
57	0.9743	0.9753	0.00259	0.00271	-6.908	-6.941	0.00042	0.00072
58	1.0140	1.0148	0.00234	C.CC247	-27.014	-27.145	0.00183	0.00332
59	1.0298	1.0306	0.00221	0.CC228	-22.844	-22.948	0.00161	0.00240
60	1.0028	1.0041	0.00247	C.CC282	-25.269	-25.400	0.00189	0.00297
61	0.9970	0.9990	0.00287	0.00349	-29.871	-29.931	0.00237	0.00268

TESTE RODANDO 50 CASOS USANDO DRAP, C/RECUN2(2)

GV=0.00242

GTETA=0.00081

GVV=0.00248

GTETAV=0.00133

DMV=0.00052

DMTETA=0.00117

MAXIT= 8

MINIT= 8

MEDIT= 8.0

N.MED.LIG.=290

N.VAR.EST.=121

RED.GLOBAL=2.40

TABELA 4.3-3

(continuação)

PDP - pseudo desvio padrão calculado pela equação
 (3.2-5)

AV - valor verdadeiro do ângulo da tensão

AE - valor estimado médio do ângulo da tensão calculado pela equação (3.2-2b)

Podemos notar que os valores estimados médios estão bastante próximos dos valores verdadeiros e que tanto o desvio padrão quanto o pseudo desvio padrão são da mesma ordem de grandeza para as 61 barras.

Voltando à tabela (4.3-1) e comparando os resultados de DMV e DMTETA para os métodos MQP e DRAP com medidores selecionados por REDUND2(2), verifica-se que DMV passou de 11×10^{-5} para 52×10^{-5} e que DMTETA passou de 11×10^{-5} para 117×10^{-5} , dando a impressão que o método DRAP é fortemente tendencioso. Como já havia sido anunciado os resultados fornecidos por DRAP continuam a ser aceitáveis (erro menor que 0,5%) conforme pode ser verificado na tabela (4.3-3).

Para se ter uma idéia detalhada do resultado de uma estimação fornecida pelos programas desenvolvidos, o apêndice D apresenta um exemplo.

4.4 - Conclusão

A primeira conclusão importante que podemos tirar a partir dos testes efetuados tendo como base o sistema de 61 barras que vai ser supervisionado pela ELETROSUL é que a utilização de um

estimador de estado é totalmente viável uma vez que o sistema de medição previsto corresponde às pressuposições adotadas neste trabalho.

Podemos concluir também que das 455 medições que poderiam ser utilizadas no estimador apenas 290 são suficientes para um bom desempenho do mesmo, ou seja, é conveniente assim que se faça uma seleção no conjunto de medidores disponíveis, o que corresponde a uma redundância global de 2.4.

O método desacoplado rápido que poderia apresentar resultados duvidosos devido a aproximações sofridas no seu desenvolvimento apresentou resultados aceitáveis sendo recomendável a sua utilização em tempo real. Para aplicações "off-line", onde o tempo de processamento não é crítico, o melhor método é o clássico que é um estimador não tendencioso.

A perda de uma única estação remota não afeta o desempenho do estimador.

Concluímos também que a diminuição do desvio padrão associado às injeções não contribui para o melhoramento do resultado e prejudica a convergência, não trazendo portanto benefício aparente.

Salientamos que estas conclusões não são de caráter geral mas se aplicam à rede elétrica e ao sistema de medição estudados.

CONCLUSÃO E PERSPECTIVAS

O caminho encontrado pelos pesquisadores e pelas empresas de energia elétrica para a formação de uma base de dados em tempo real que sirva de base a funções de aplicação avançada num centro de operação tem sido a estimação de estado principalmente pelo método dos mínimos quadrados ponderados.

O estimador de estado age como um filtro que tem na entrada medidas redundantes e fornece como resultado um vetor de estado estimado.

Devido à presença de erros grosseiros nas medidas é necessário que em conjunto com o estimador existam meios para a detecção e identificação dos mesmos.

No sistema estudado, uma redundância aceitável para medidores foi de 2.4.

Levando-se em consideração que o sistema de medição projetado para o Centro de Operação da ELETROSUL disporá de um índice de redundância elevado para o estimador de estado, foi desenvolvendo um método de seleção de medidores que não degrada os resultados obtidos. Simulações mostraram que a seleção de medidores além de não degradar melhora outras características tais como tempo de processamento e detetabilidade de erro grosso. Esta seleção de medidores é bastante simples e rápida.

Os métodos de seleção de sistemas de medição podem ser usados "on-line", isto é, toda vez que a topologia do sistema elétrico mudar, pode-se fazer a seleção dos medidores que melhor atendam a nova situação.

Os critérios para avaliação do desempenho dos estimadores (tendenciosidade e variância) são gerais e podem ser aplicados em qualquer método de estimação.

Foi desenvolvido um índice de detetabilidade que é útil para a avaliação do sistema de medição.

Concluindo este trabalho, como sugestão para trabalhos futuros podemos citar:

- Pesquisa de métodos rápidos de estimação com resultados compatíveis com os resultados do método clássico em termos de precisão.
- Pesquisa do comportamento dos estimadores supondo a presença de erro grosseiro em vários medidores simultaneamente, analisando também a detecção e identificação de erro grosseiro.
- Pesquisa da influência da diferença entre os resultados dos Estimadores clássicos e dos Estimadores desacoplados rápidos nas funções de análise da rede em tempo-real.

APÊNDICE A

Modelo de Linhas e Transformadores.

Equações de $h(x)$ e $H(x)$.

Para as linhas e transformadores adotou-se o modelo π ilustrado nas Figuras (A-1) e (A-2)

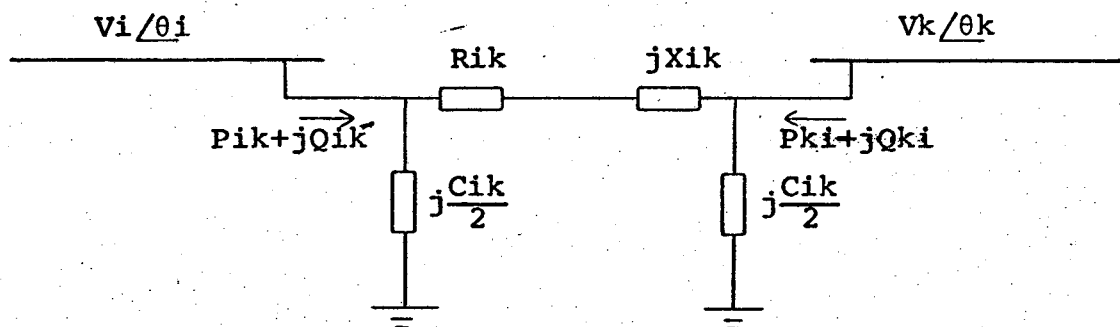


FIGURA (A-1) - Linhas

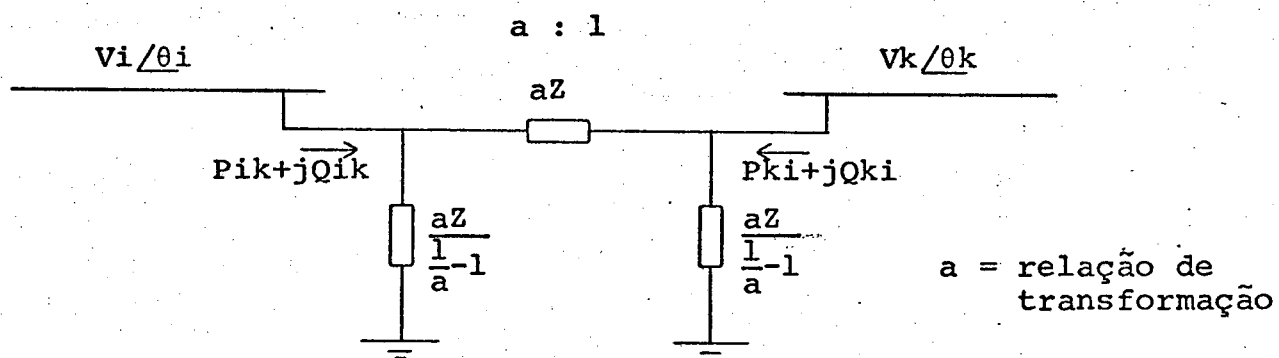


FIGURA (A-2) - Transformadores

Nos cálculos dos estimadores de estado são usados a condutância G_{ik} , a susceptância B_{ik} e a admitância shunt B_{Sik} das linhas de transmissão e transformadores.

Para efeito de simplificação chamaremos

$$\theta_{ik} = \theta_i - \theta_k \quad (A-1)$$

Em seguida vemos as expressões de $h(x)$ e $H(x)$ usadas, estas expressões estão separadas por tipo de medida.

Para as medidas de Tensão:

$$h(x) : V_i = V_i \quad (A-2)$$

$$H(x) : \frac{\delta V_i}{\delta V_j} = \begin{cases} 1 & ; \text{para } j = i \\ 0 & ; \text{para } j \neq i \end{cases} \quad (A-3)$$

$$\frac{\delta V_i}{\delta \theta_j} = 0 ; \text{ para qualquer } j \quad (A-4)$$

Para as medidas nos reatores:

$$h(x) : Q_r = V_i^2 X_r \quad (A-5)$$

$$H(x) : \frac{\delta Q_r}{\delta V_j} = \begin{cases} 2V_i X_r & ; \text{para } j = i \\ 0 & ; \text{para } j \neq i \end{cases} \quad (A-6)$$

onde X_r é o valor do reator em MVar

Para as medidas de Fluxo:

$$h(x) : P_{ik} = V_i^2 G_{ik} - V_i V_k (G_{ik} \cos \theta_{ik} + B_{ik} \sin \theta_{ik}) \quad (A-7)$$

$$h(x) : Q_{ik} = -V_i^2 (B_{ik} + B_{Sik}) - V_i V_k (G_{ik} \sin \theta_{ik} - B_{ik} \cos \theta_{ik}) \quad (A-8)$$

$$H(x) : \frac{\delta P_{ik}}{\delta \theta_j} = \begin{cases} -V_j V_k (-G_{ik} \sin \theta_{jk} + B_{jk} \cos \theta_{jk}) & ; \text{para } j=i \\ V_i V_j (-G_{ij} \sin \theta_{ij} + B_{ij} \cos \theta_{ij}) & ; \text{para } j=k \\ 0 & ; \text{para } j \neq i \text{ e } j \neq k \end{cases} \quad (A-9)$$

$$\frac{\delta P_{ik}}{\delta V_j} = \begin{cases} 2V_j G_{jk} - V_k (G_{jk} \cos \theta_{jk} + B_{jk} \sin \theta_{jk}) & ; \text{para } j=i \\ -V_i (G_{ij} \cos \theta_{ij} + B_{ij} \sin \theta_{ij}) & ; \text{para } j=k \\ 0 & ; \text{para } j \neq i \text{ e } j \neq k \end{cases} \quad (A-10)$$

$$\frac{\delta Q_{ik}}{\delta \theta_j} = \begin{cases} -V_j V_k (G_{jk} \cos \theta_{jk} + B_{jk} \sin \theta_{jk}) & ; \text{para } j=i \\ V_i V_j (G_{ij} \cos \theta_{ij} + B_{ij} \sin \theta_{ij}) & ; \text{para } j=k \\ 0 & ; \text{para } j \neq i \text{ e } j \neq k \end{cases} \quad (A-11)$$

$$\frac{\delta Q_{ik}}{\delta V_i} = \begin{cases} -2V_j (B_{jk} + B_{sjk}) - V_k (G_{jk} \sin \theta_{jk} - B_{jk} \cos \theta_{jk}) & ; \text{para } j=i \\ -V_i (G_{ij} \sin \theta_{ij} - B_{ij} \cos \theta_{ij}) & ; \text{para } j=k \\ 0 & ; \text{para } j \neq i \text{ e } j \neq k \end{cases} \quad (A-12)$$

Para as medidas de Injeção:

$$h(x) : P_i = V_i \sum_{k \in L} V_k (G_{ik} \cos \theta_{ik} + B_{ik} \sin \theta_{ik}) \quad (A-13)$$

$$Q_i = V_i \sum_{k \in L} V_k (G_{ik} \sin \theta_{ik} - B_{ik} \cos \theta_{ik}) \quad (A-14)$$

onde L representa o conjunto das barras ligadas à barra i mais a barra i

$$H(x) : \frac{\delta P_i}{\delta \theta_j} = \begin{cases} V_j \sum_{k \in M} V_k (-G_{jk} \sin \theta_{jk} + B_{jk} \cos \theta_{jk}) & ; \text{para } j=i \\ V_i V_j (G_{ij} \sin \theta_{ij} - B_{ij} \cos \theta_{ij}) & ; \text{para } j \in M \\ 0 & ; \text{para } j \notin L \end{cases} \quad (A-15)$$

$$\frac{\delta P_i}{\delta V_j} = \begin{cases} 2V_j G_{jj} + \sum_{k \in M} V_k (G_{jk} \cos \theta_{jk} + B_{jk} \sin \theta_{jk}) & ; \text{para } j=i \\ V_i (G_{ij} \cos \theta_{ij} + B_{ij} \sin \theta_{ij}) & ; \text{para } j \in M \\ 0 & ; \text{para } j \notin L \end{cases} \quad (A-16)$$

$$\frac{\delta Q_i}{\delta \theta_j} = \begin{cases} V_j \sum_{k \in M} V_k (G_{jk} \cos \theta_{jk} + B_{jk} \sin \theta_{jk}) & ; \text{para } j=i \\ -V_i V_j (G_{ij} \cos \theta_{ij} + B_{ij} \sin \theta_{ij}) & ; \text{para } j \in M \\ 0 & ; \text{para } j \notin L \end{cases} \quad (A-17)$$

$$\frac{\delta Q_i}{\delta V_j} = \begin{cases} -2V_j B_{jj} + \sum_{k \in M} V_k (G_{jk} \sin \theta_{jk} - B_{jk} \cos \theta_{jk}) ; \text{ para } j = i \\ V_i (G_{ij} \sin \theta_{ij} - B_{ij} \cos \theta_{ij}) ; \text{ para } j \in M \\ 0 ; \text{ para } j \notin L \end{cases} \quad (A-18)$$

onde M é o conjunto das barras ligadas à barra i

APÊNDICE B**Sistema de Medição disponível**

Neste apêndice temos um detalhamento das informações analógicas que serão colhidas pelo sistema de aquisição de dados da ELETROSUL e que estarão disponíveis para o Estimador de Estado.

Cada desenho corresponde a uma estação remota e os medidores estão identificados conforme a convenção abaixo.

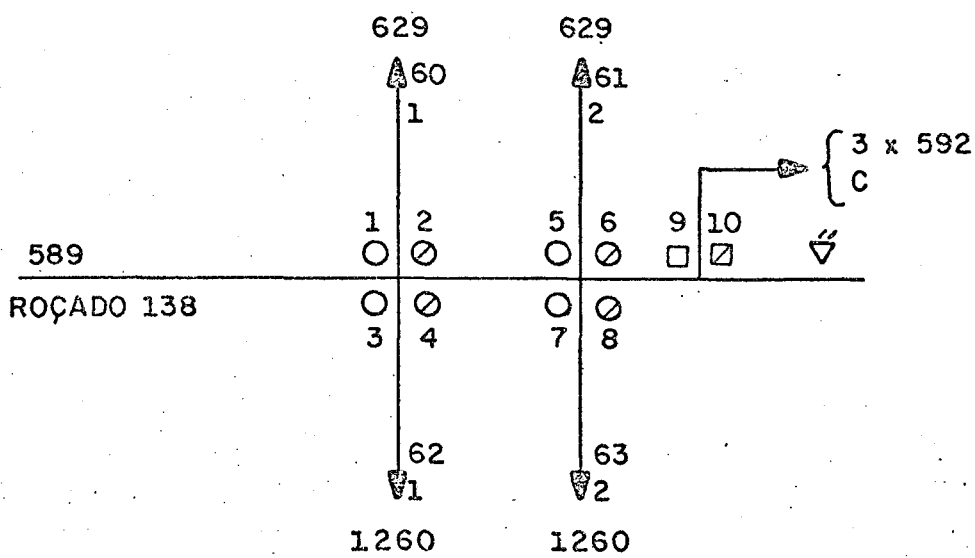
CONVENÇÃO

TIPO DE MEDIÇÃO	CÓDIGO	SÍMBOLO
TENSÃO	1	▽
INJEÇÃO ATIVA	2	□
INJEÇÃO REATIVA	3	□/
POTÊNCIA REATOR	4	(R)
FLUXO ATIVO	5	○
FLUXO REATIVO	6	○/

OBS.: QUANDO O NÚMERO QUE IDENTIFICA UM MEDIDOR ESTIVER ENTRE PARENTES, O MEDIDOR NA REALIDADE NÃO EXISTE.

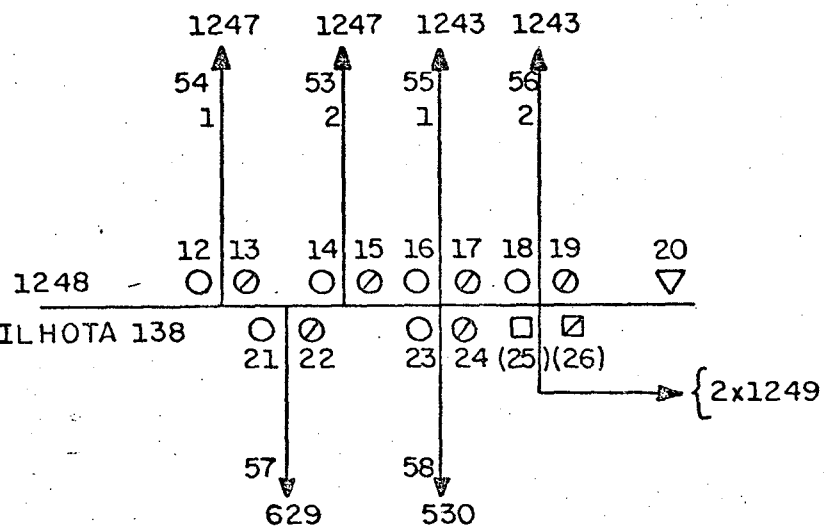
Estes desenhos correspondem a 46 Estações Remotas que colherão as medidas que poderão ser utilizadas pelo Estimador de Estado. Cabe esclarecer que algumas Estações Remotas não aparecem porque colhem informações relativas a barras que não fazem parte do Sistema Elétrico a ser estimado.

**REMOTA N° 1
FLORIANÓPOLIS**



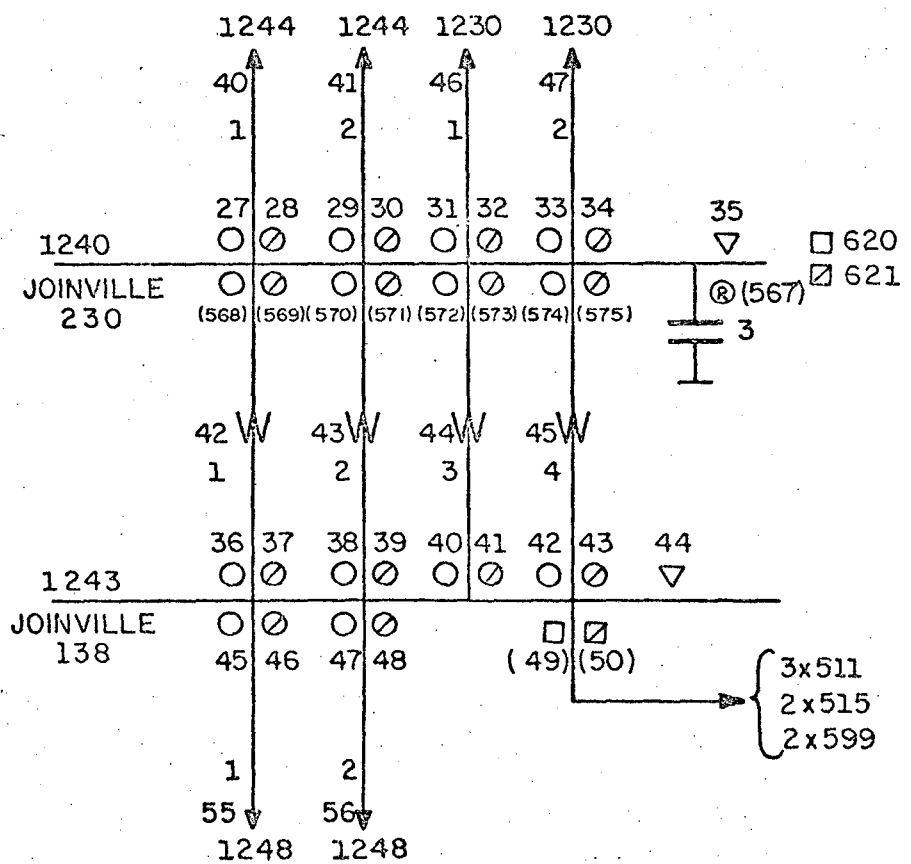
REMOTA N° 2

ILHOTA

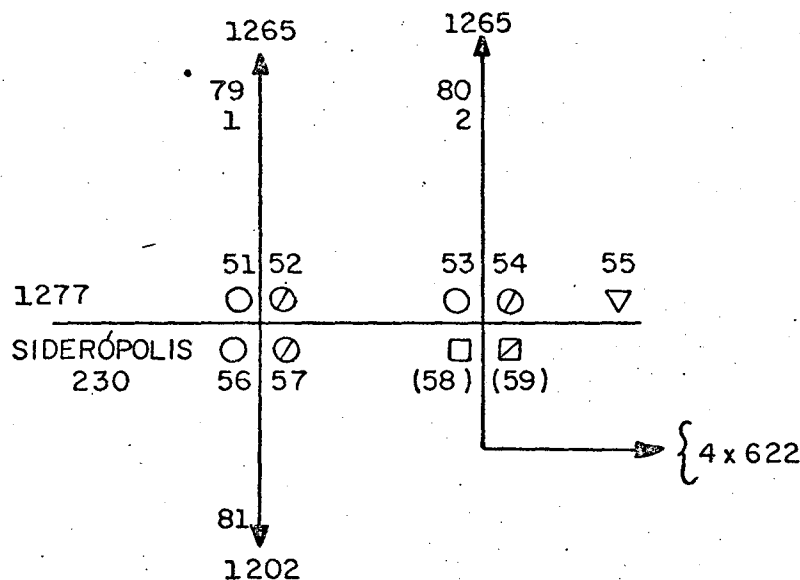


REMOTA N° 3

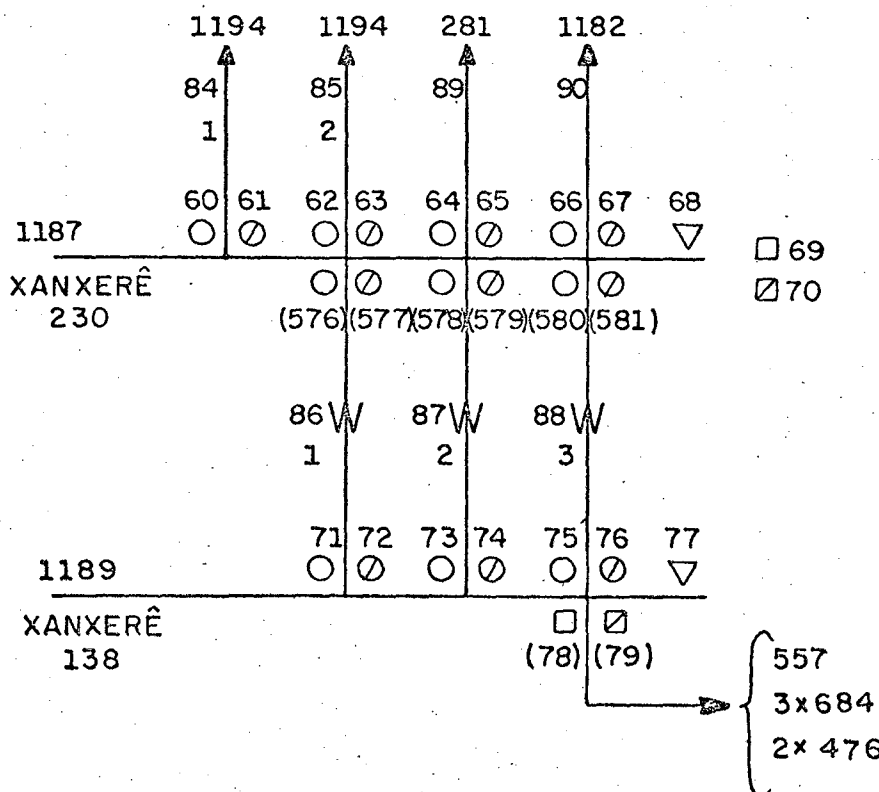
JOINVILLE



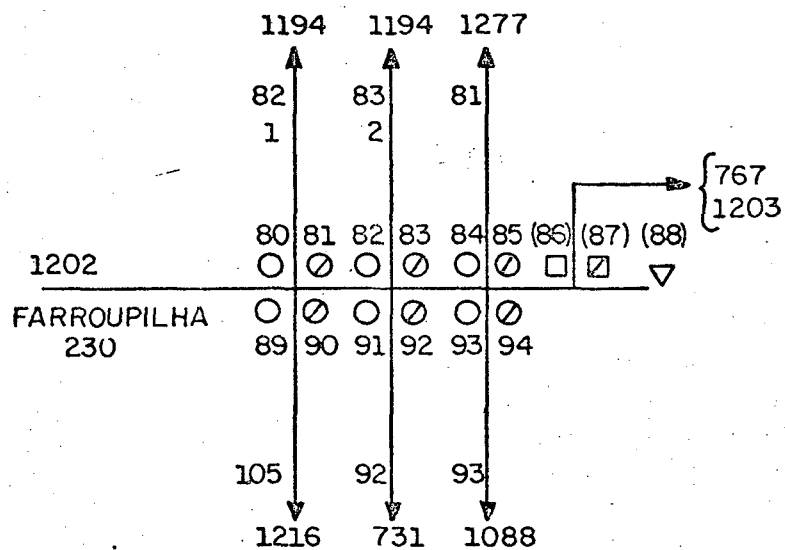
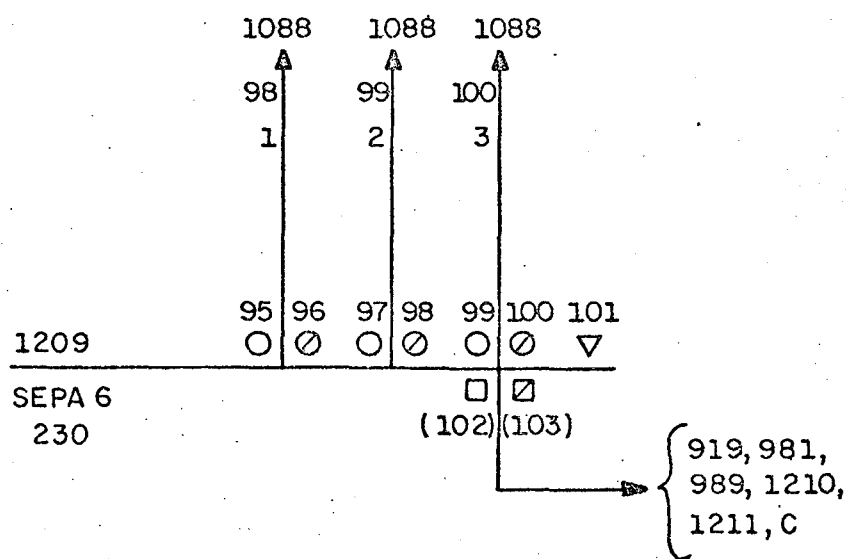
REMOTA N° 4
SIDERÓPOLIS



REMOTA N° 5
XANXERÊ

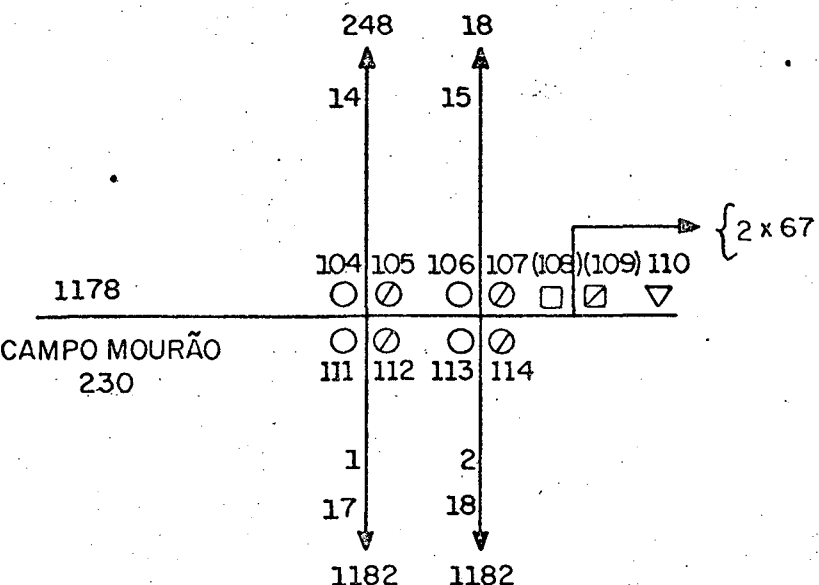


REMOTA N° 6
FARROUPILHA

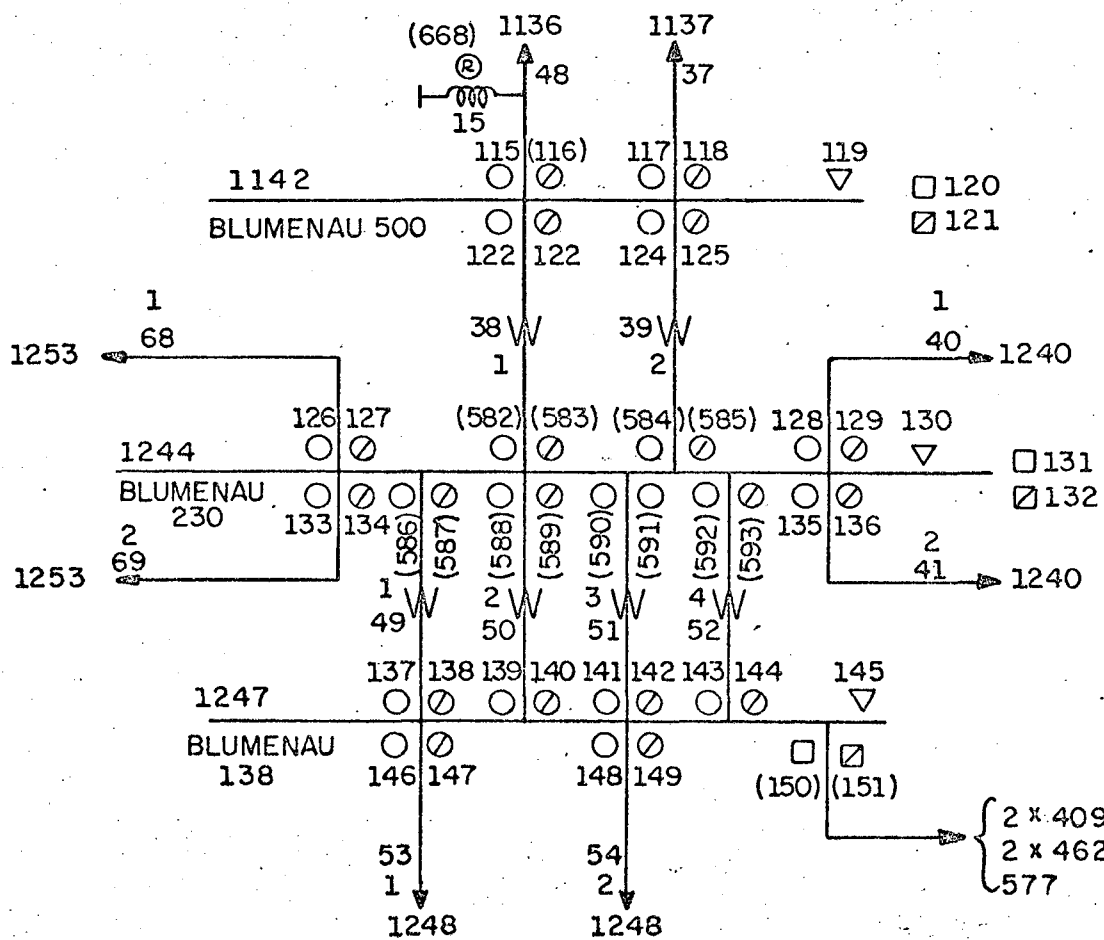
**REMOTA N° 7****SEPA 6**

110

REMOTA N° 8
CAMPO MOURÃO

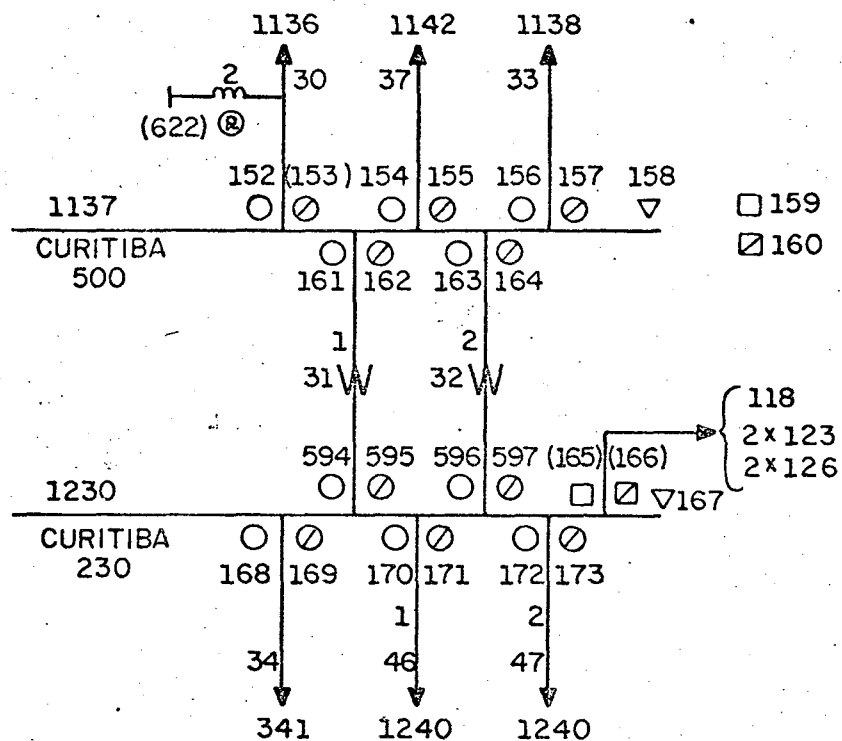


REMOTA N° 9
BLUMENAU



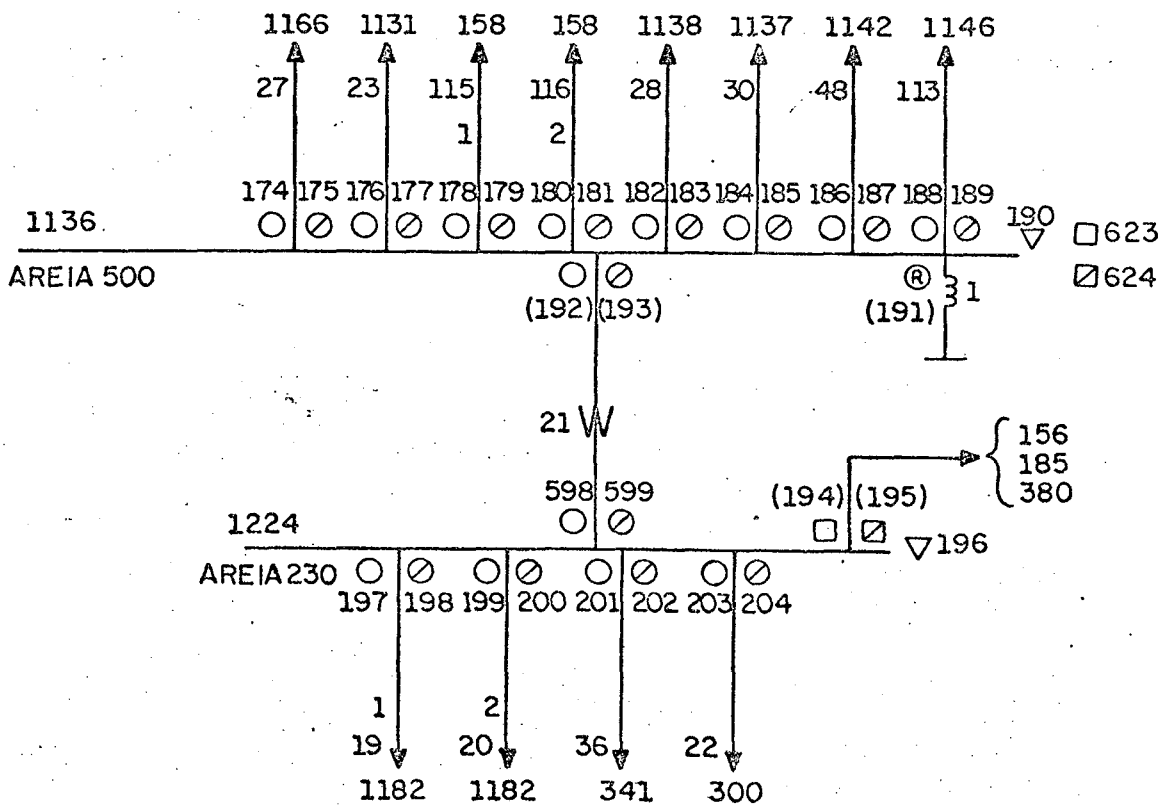
REMOTA N° 10

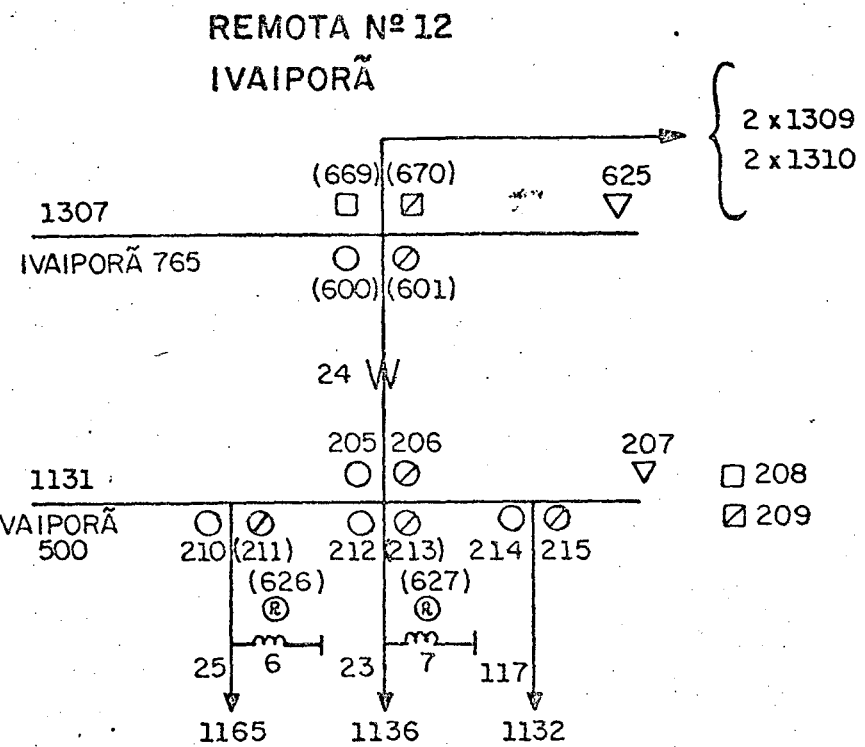
CURITIBA



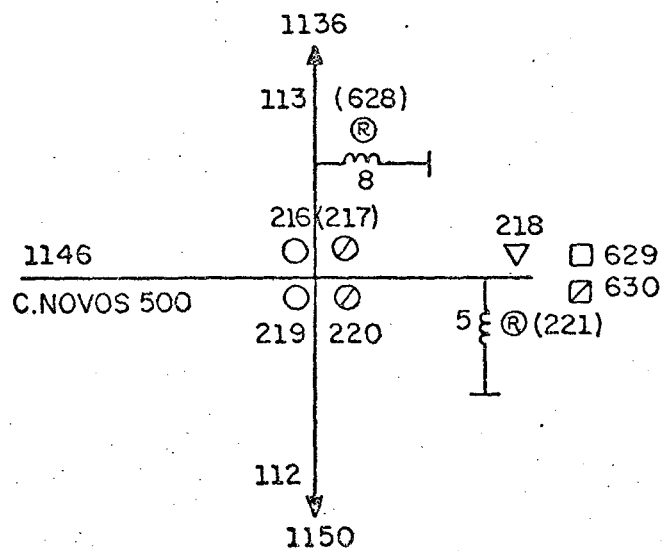
REMOTA N° 11

AREIA

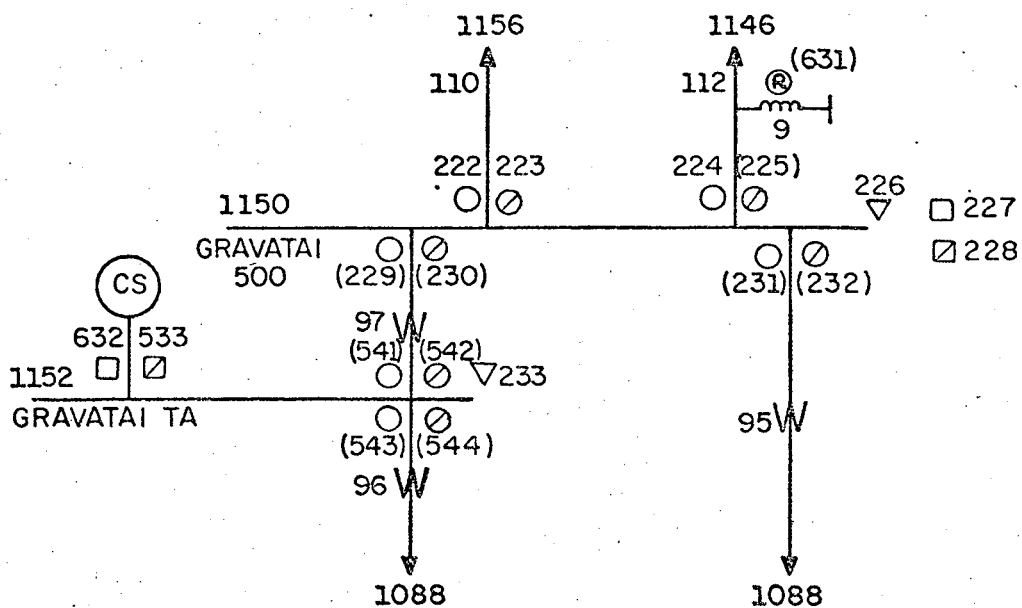




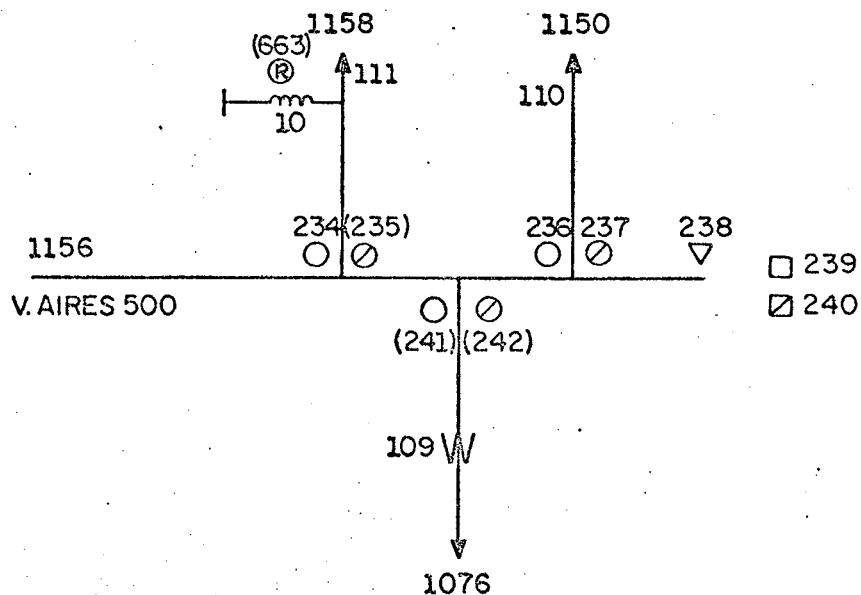
REMOTA N° 13
CAMPOS NOVOS



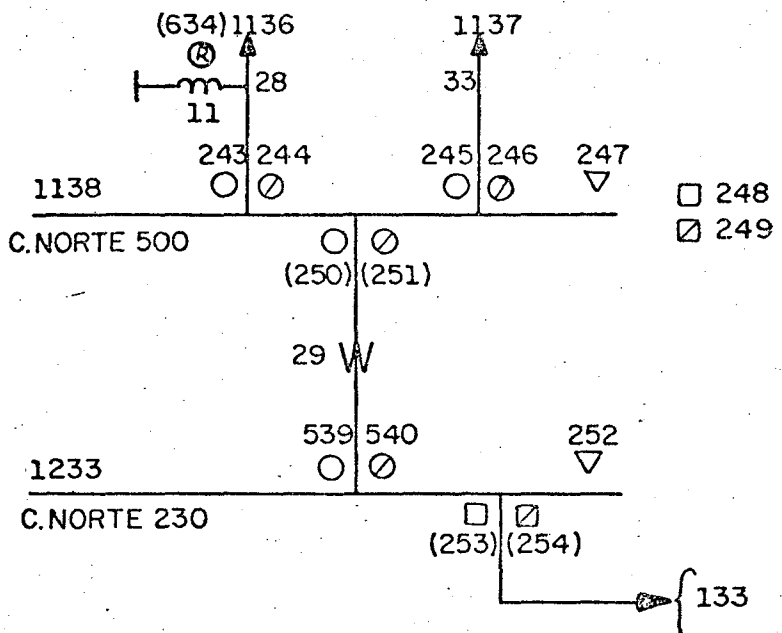
REMOTA N° 14
GRAVATAI



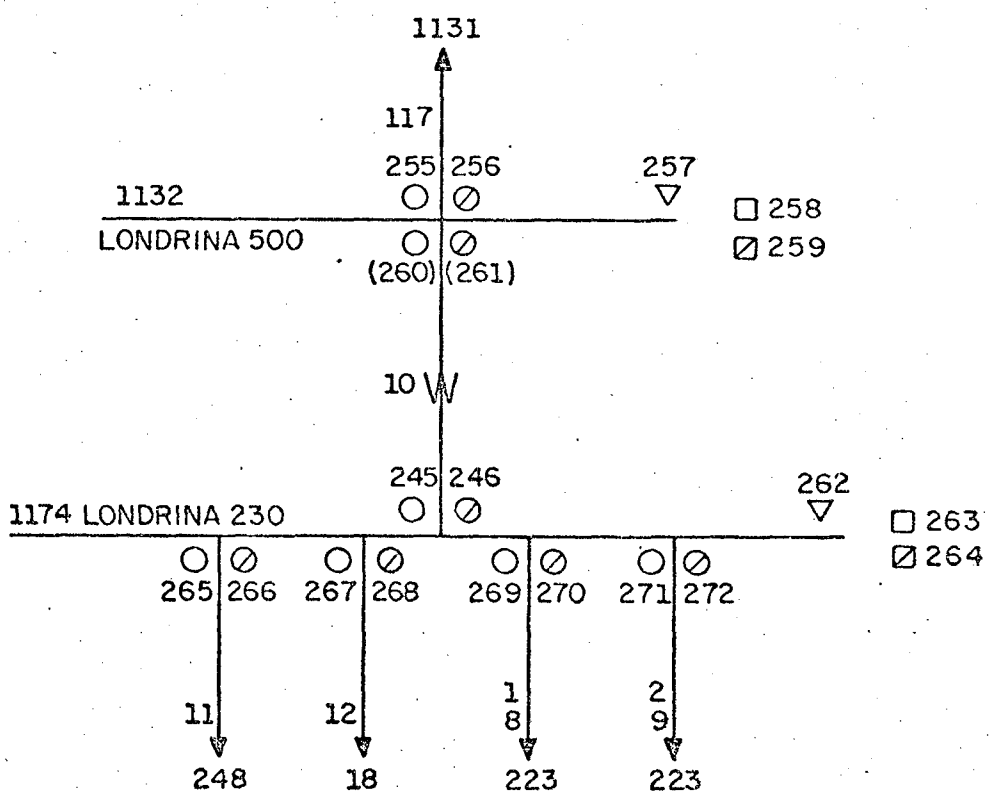
REMOTA N° 15
VENÂNCIO AIRES(ESUL)



REMOTA N° 16
CURITIBA NORTE

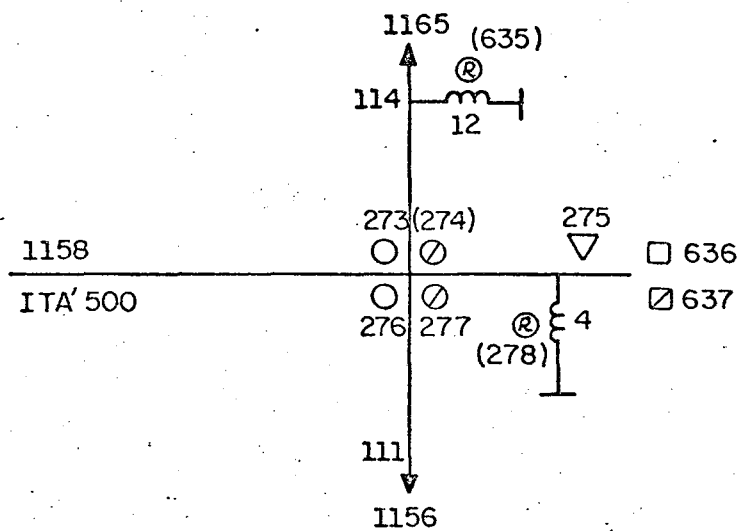


REMOTA N° 17
LONDRINA (ESUL)



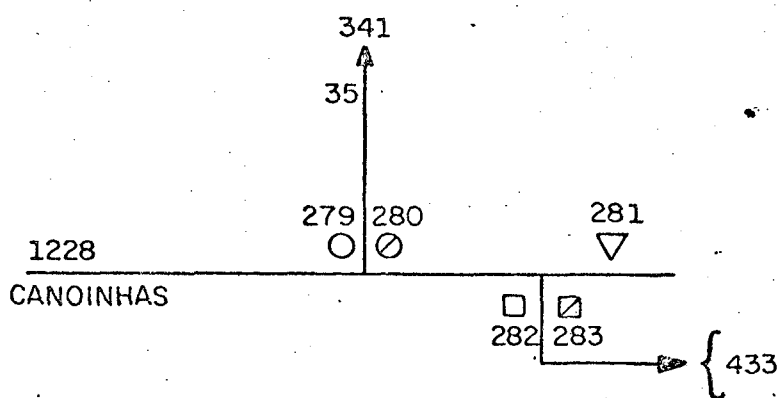
REMOTA N° 18

ITA'

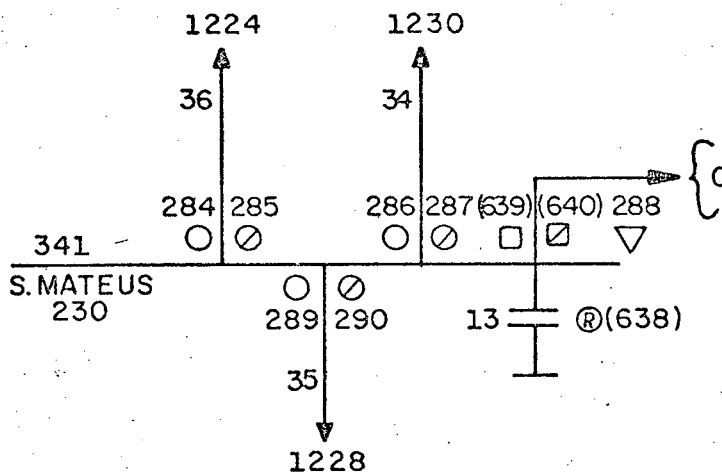


REMOTA N° 19

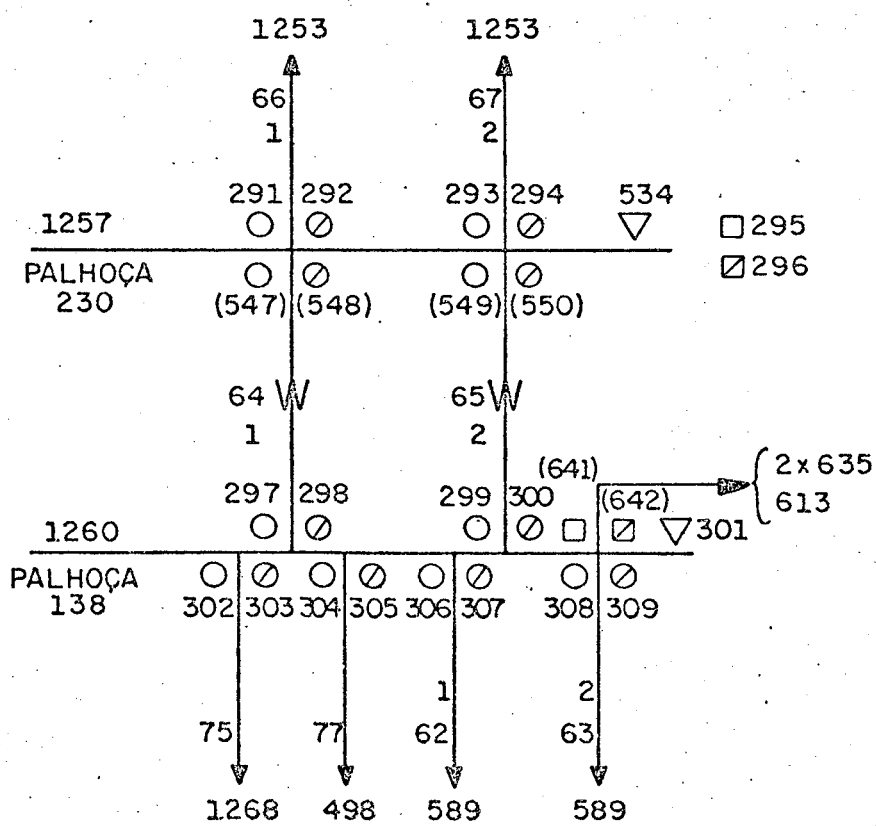
CANOINHAS



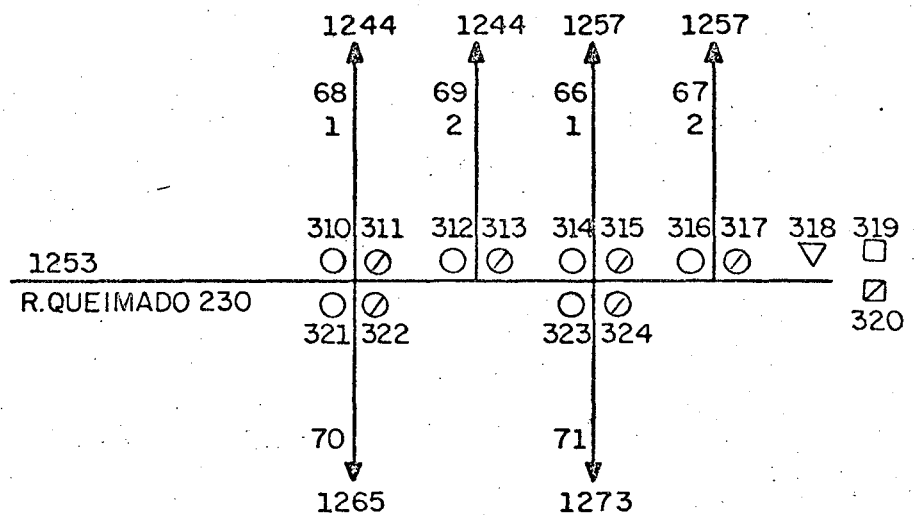
REMOTA N° 20
SÃO MATEUS



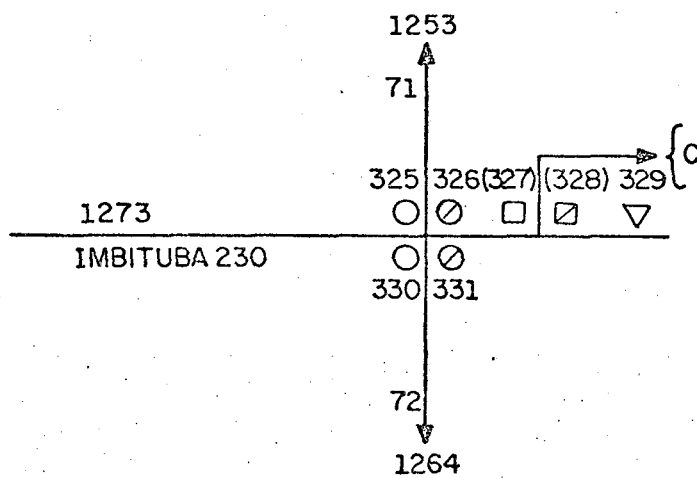
REMOTA N° 21
PALHOÇA



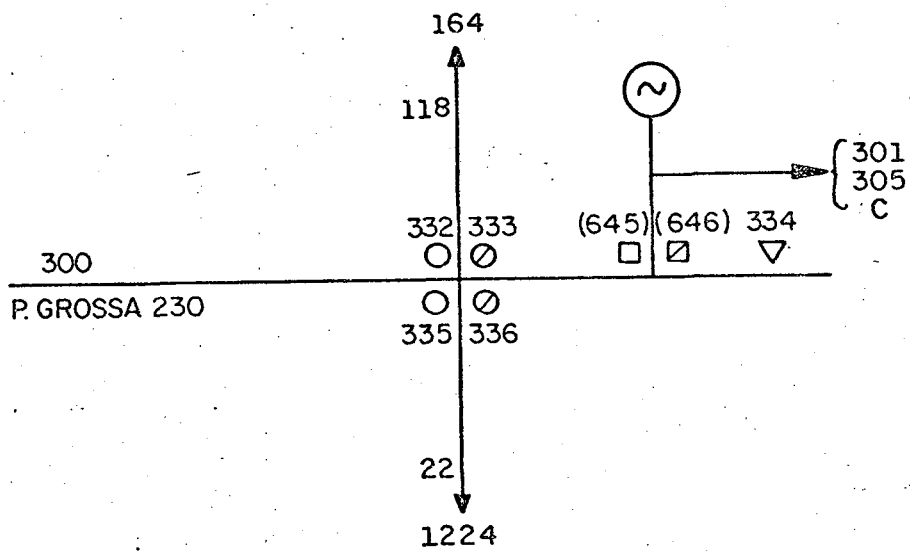
REMOTA N° 22
RANCHO QUEIMADO



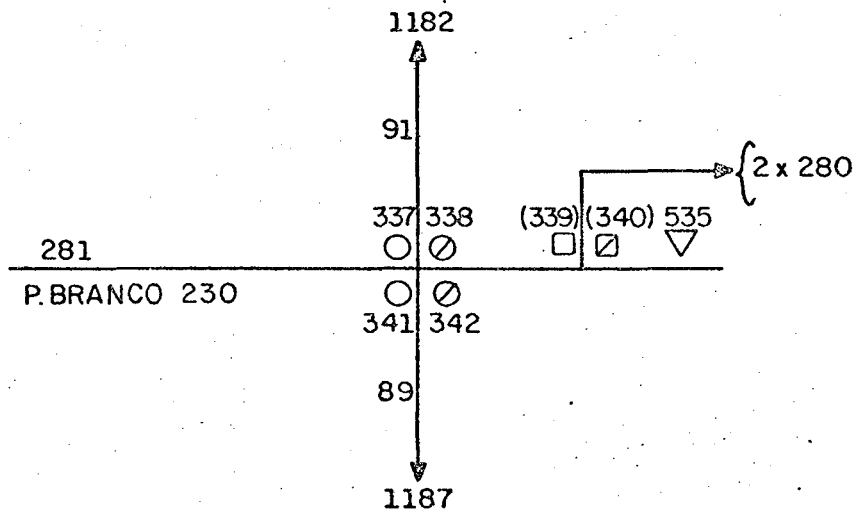
REMOTA N° 23
IMBITUBA



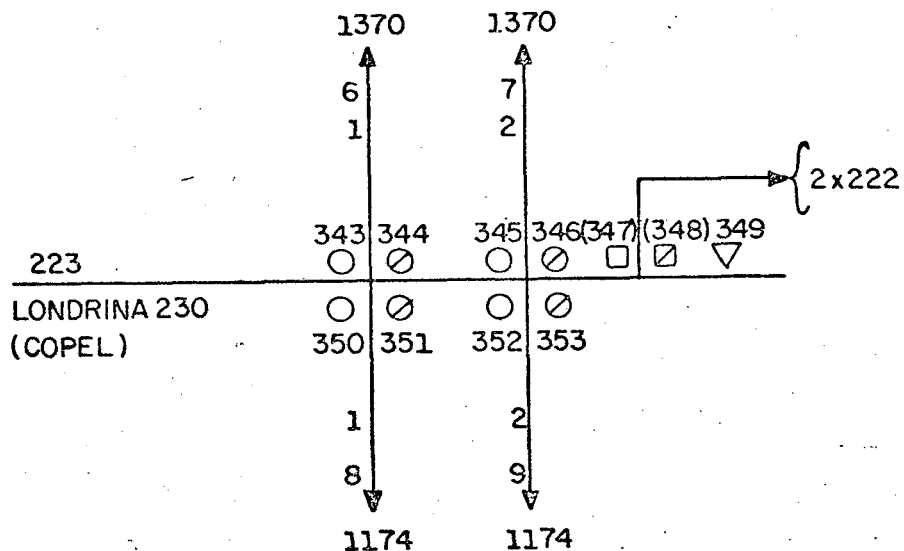
REMOTA N° 24
PONTA GROSSA



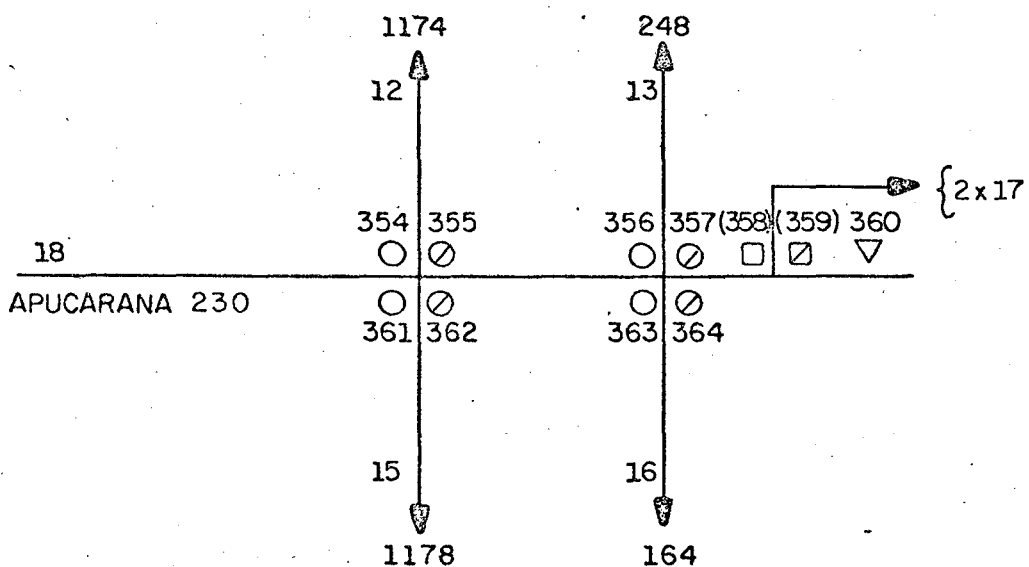
REMOTA N° 25
PATO BRANCO



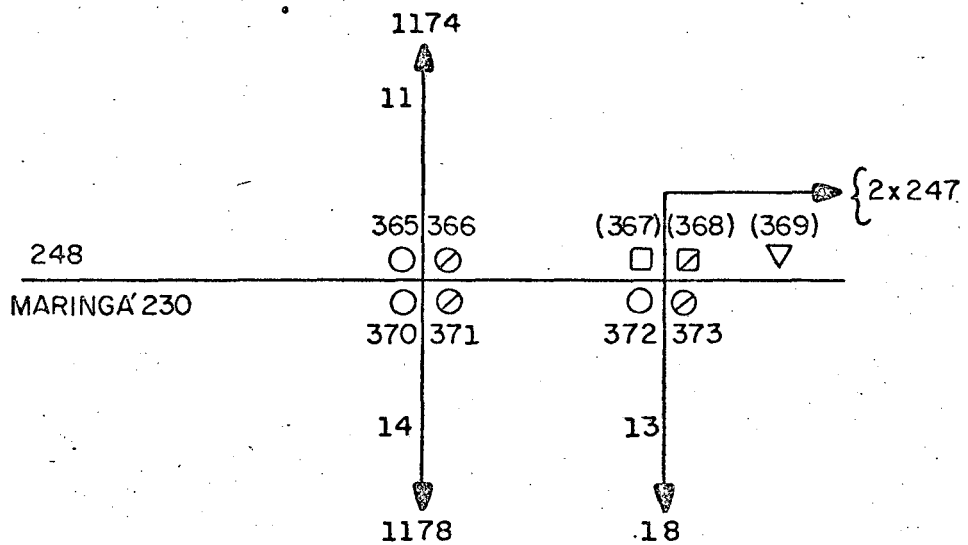
REMOTA N° 26
LONDRINA (COPEL)



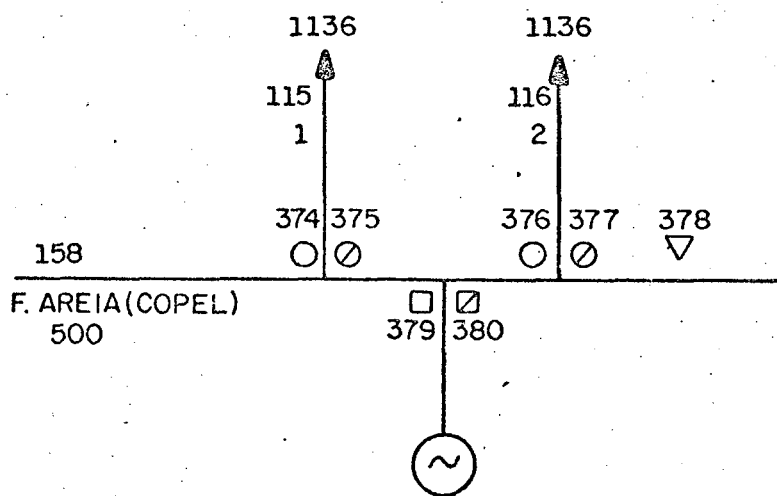
REMOTA N° 27
APUCARANA



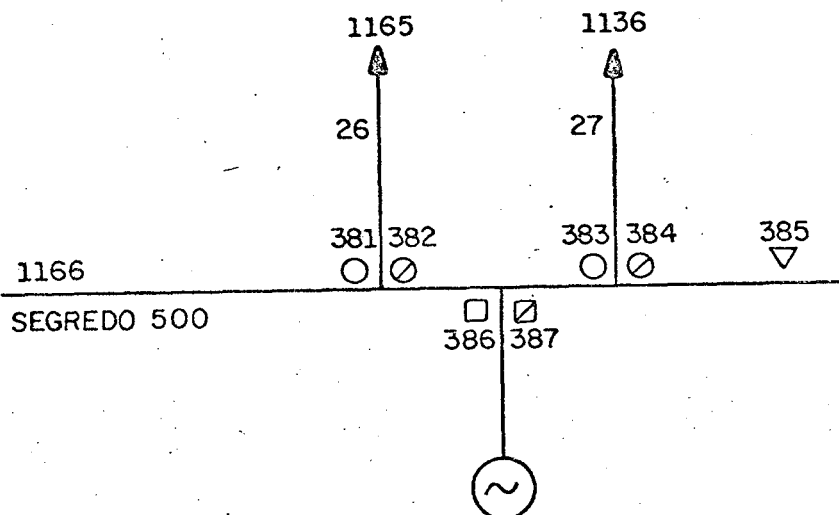
REMOTA N° 28
MARINGA'



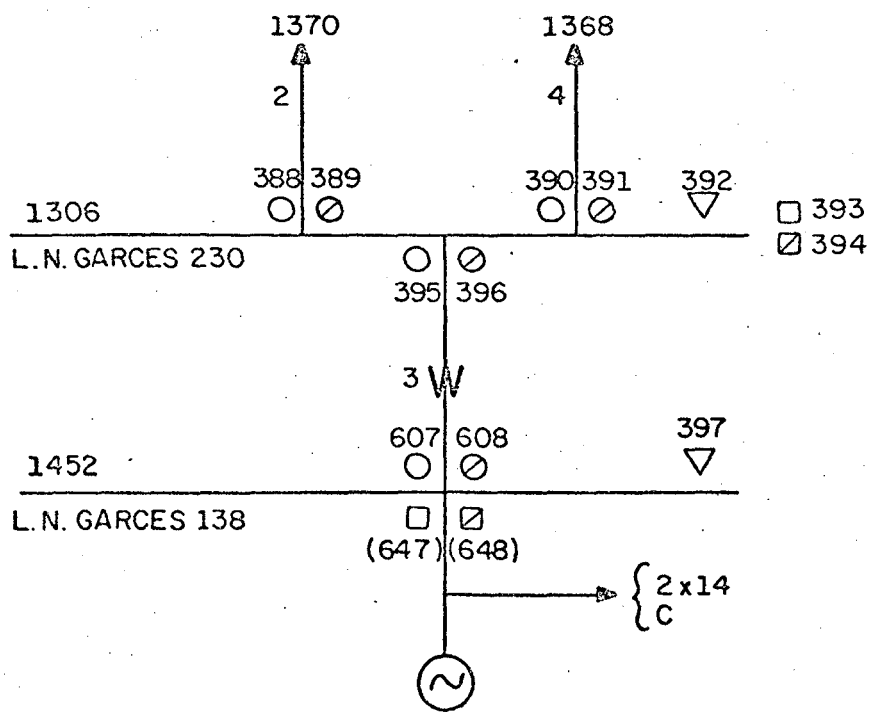
REMOTA N° 29
FOZ DO AREIA (COPEL)



REMOTA N° 30
SEGREDO

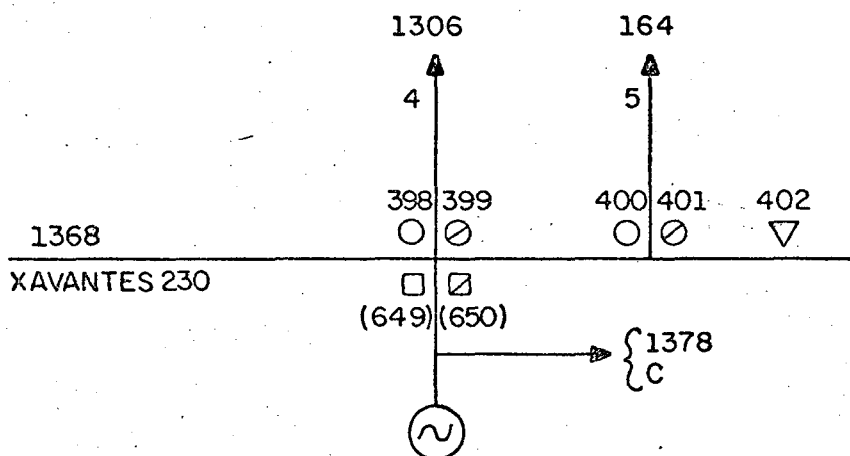


REMOTA N° 31
LUCAS N. GARCES



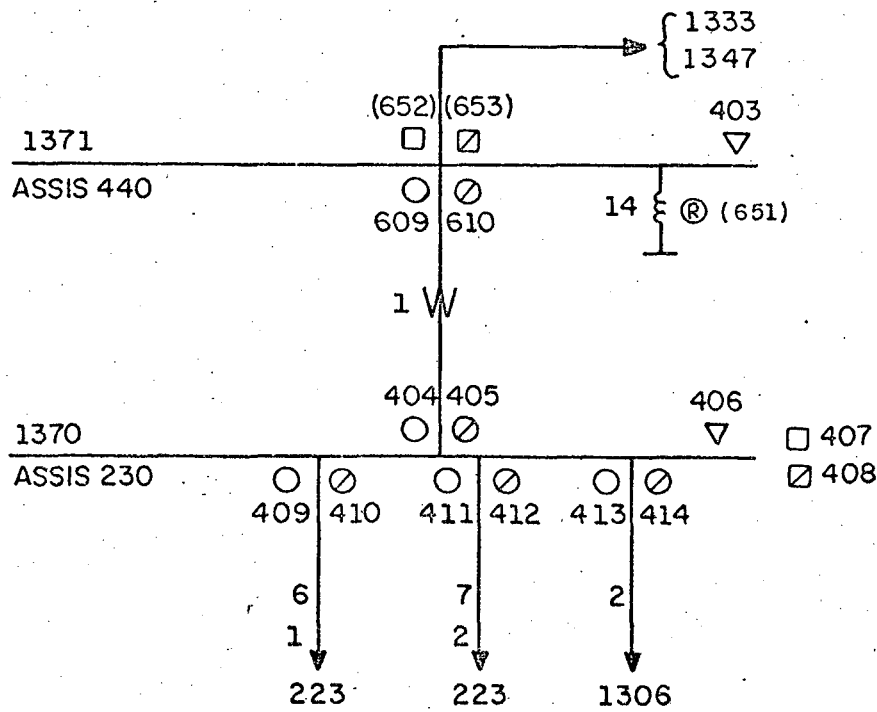
REMOTA N° 32

XAVANTES

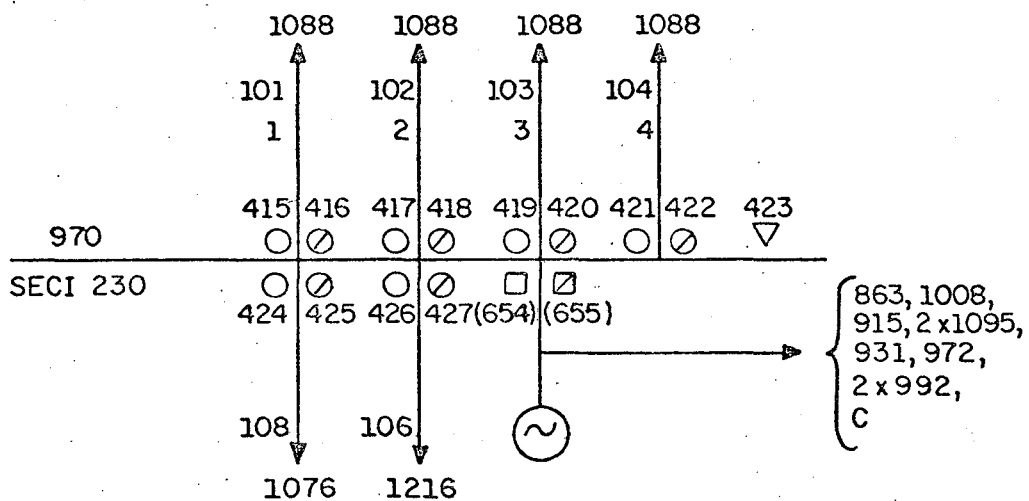


REMOTA N° 34

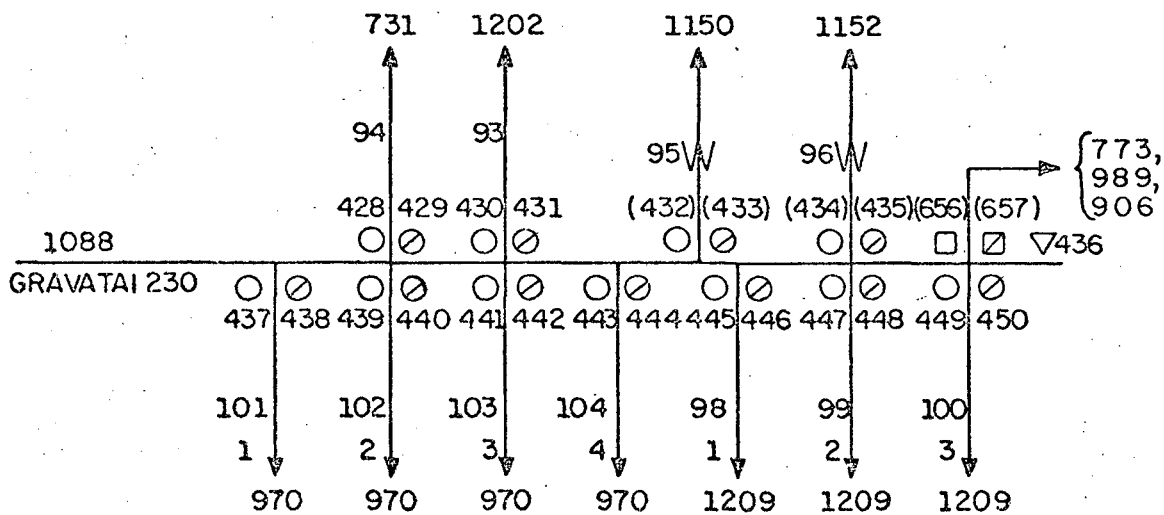
ASSIS



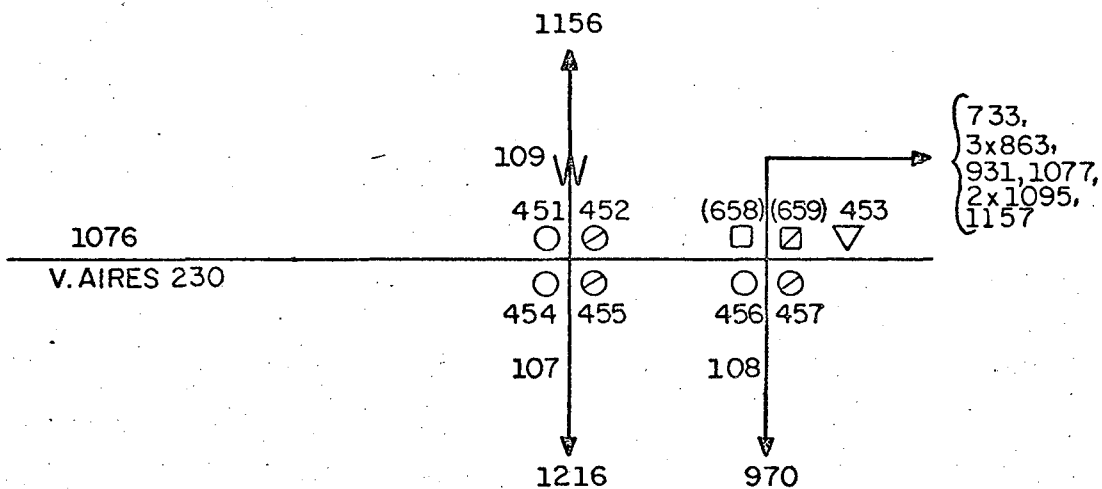
REMOTA N° 35
CIDADE INDUSTRIAL



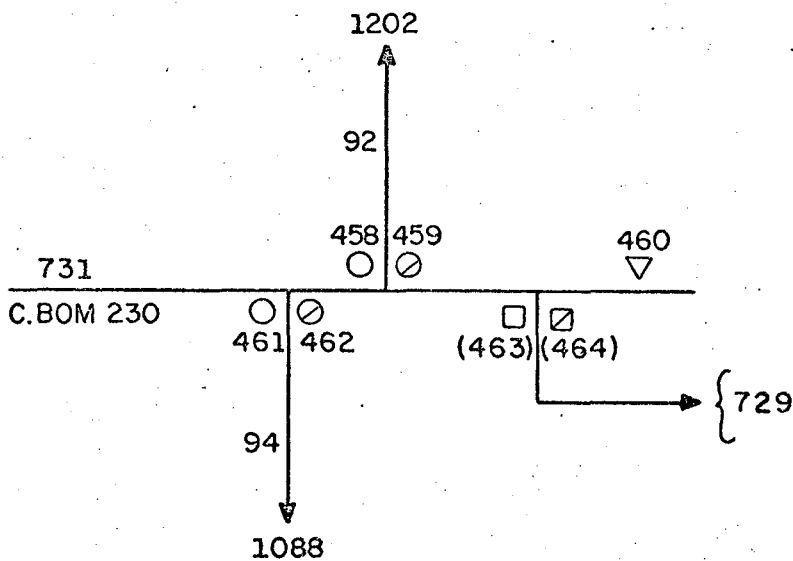
REMOTA N° 36
CACHOEIRINHA



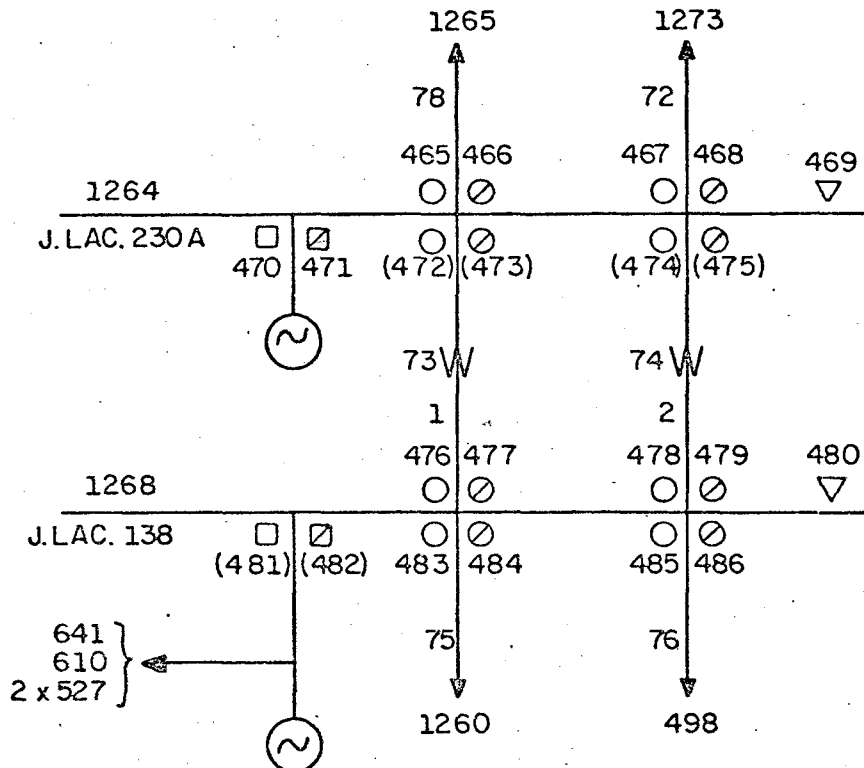
REMOTA N° 37
VENÂNCIO AIRES (CEEE)



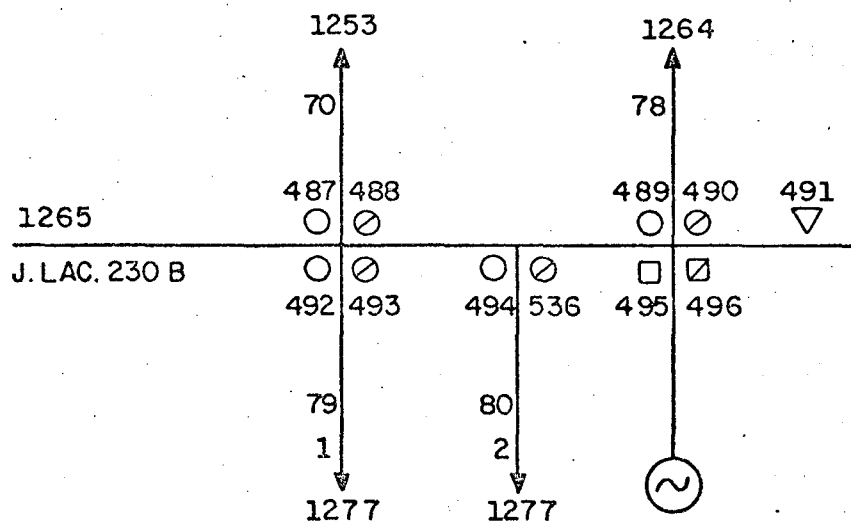
REMOTA N° 38
CAMPO BOM



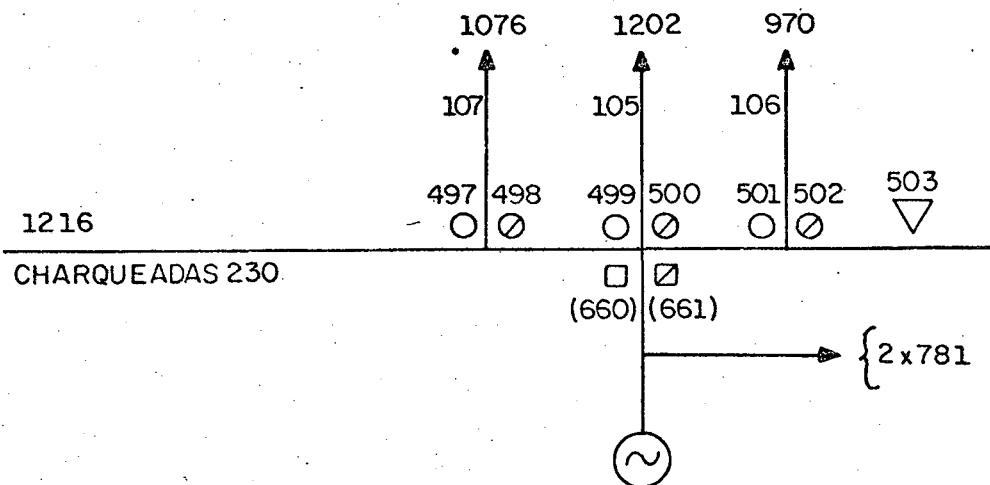
REMOTA N° 39
J. LACERDA A



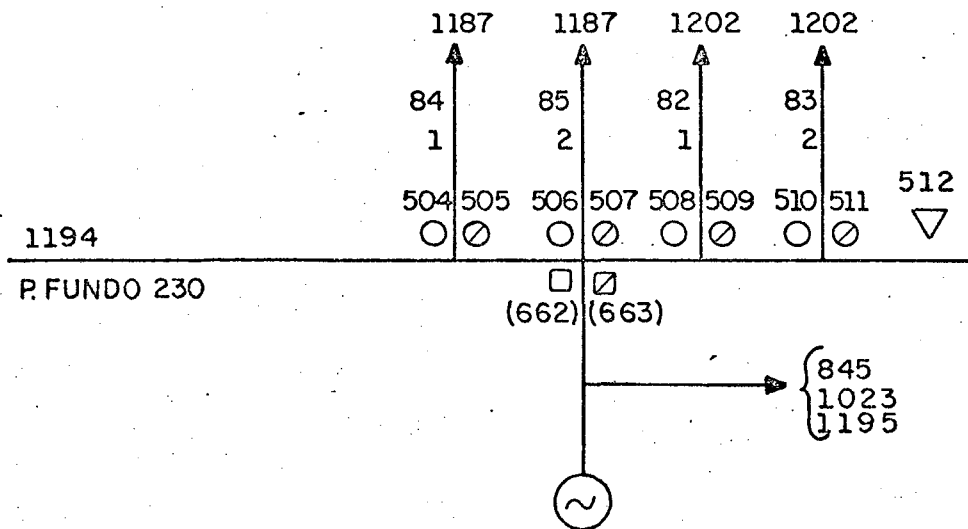
REMOTA N° 40
J. LACERDA B



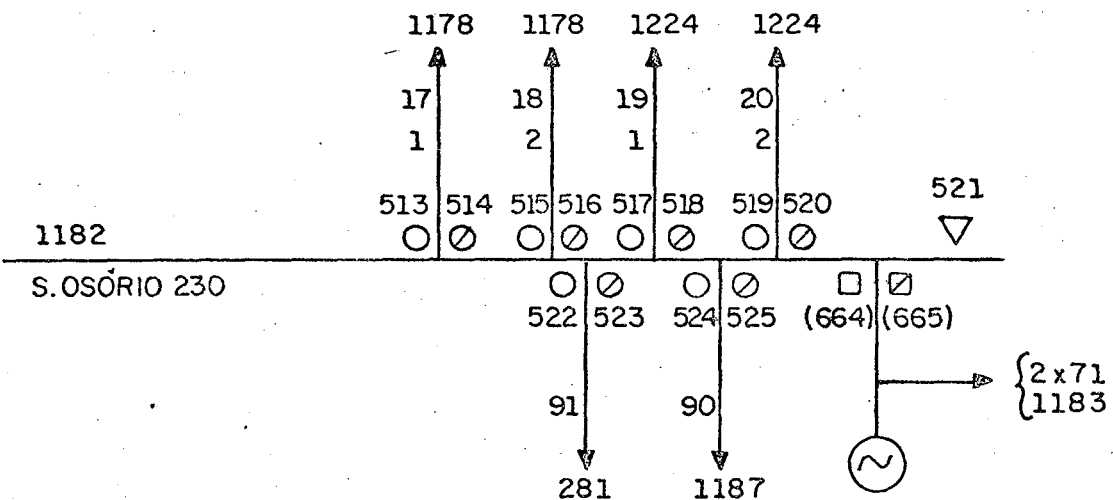
REMOTA N° 41
CHARQUEADAS



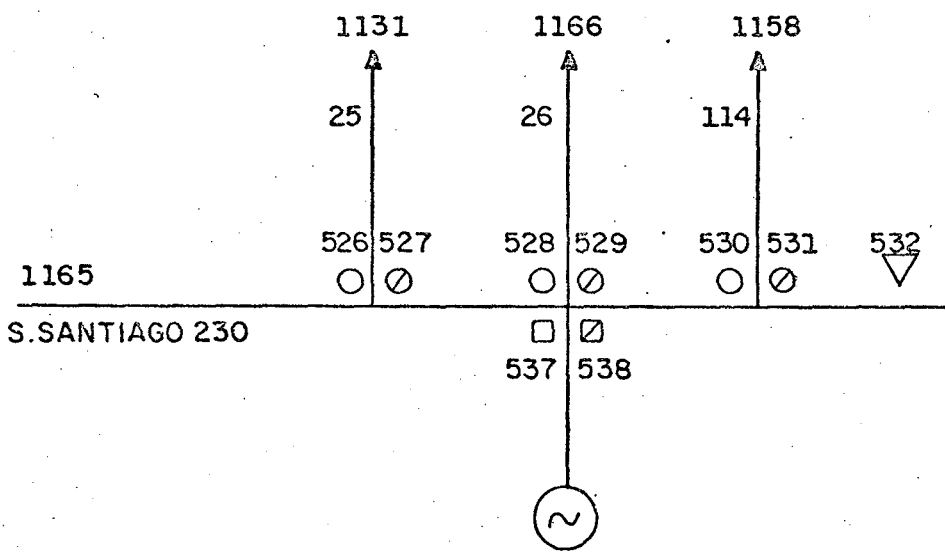
REMOTA N° 42
PASSO FUNDO (SE)



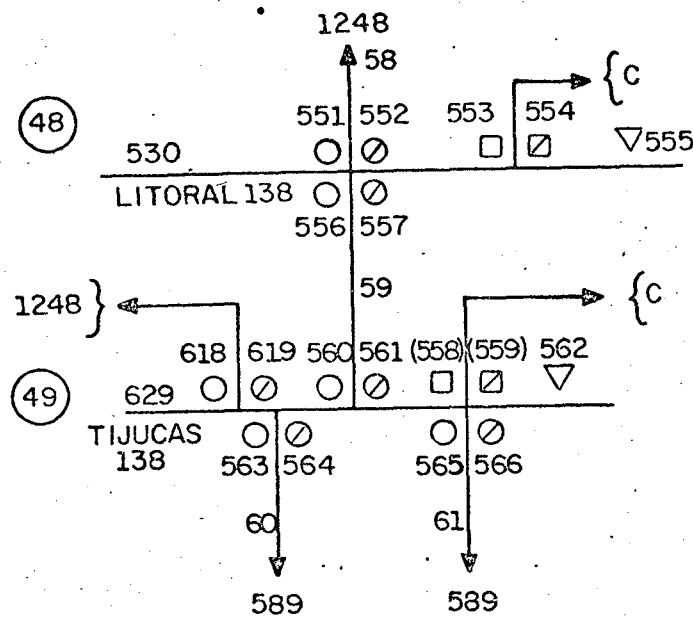
REMOTA N° 44
S. OSÓRIO (SE)



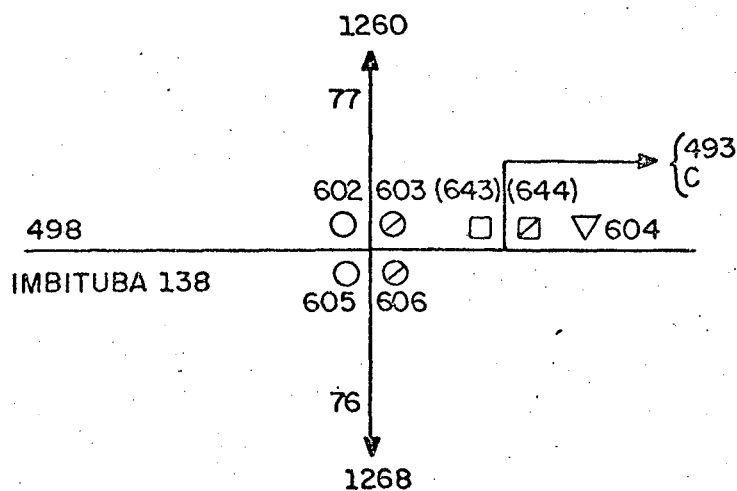
REMOTA N° 46
S. SANTIAGO (SE)



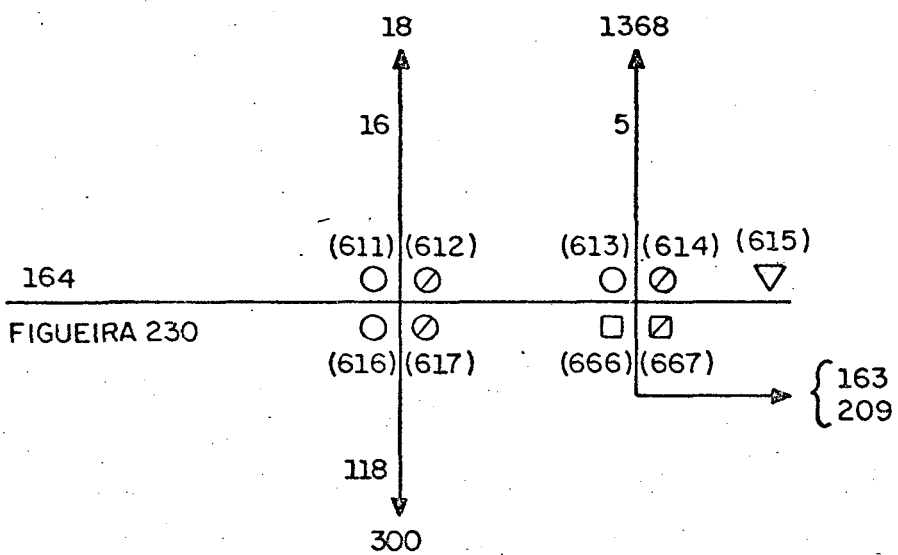
REMOTAS N° 48 E 49
TIJUCAS, LITORAL



REMOTA N° 50
IMBITUBA



FIGUEIRA



APÊNDICE C

Para este trabalho foram desenvolvidas 21 subrotinas e um programa principal estruturados conforme a fig(C-1). Tanto as subrotinas como o programa principal foram escritos em FORTRAN.

A transferência dos dados entre o programa principal e as subrotinas é praticamente toda feita através da área de COMMON.

Procurou-se estruturar o conjunto de subrotinas de maneira que cada uma delas correspondesse a uma função específica. Esta estrutura é melhor do que uma estrutura que abranja várias funções num único bloco porque facilita a deteção de erros de sintaxe ou erros de lógica durante o desenvolvimento das subrotinas.

A estrutura adotada facilita a escolha entre as subrotinas que executam a mesma função usando algoritmos diferentes, em outras palavras isto significa que é possível escolher qualquer conjunto de subrotinas alterando-se apenas a seqüência de chamada no programa principal.

PROGRAMA PRINCIPAL - É o programa responsável pelas chamadas às subrotinas e pelo cálculo da variância e distância da média do vetor de estado estimado \hat{x} .

CRED - É a subrotina que de destina à leitura da configuração da rede, a estrutura dos dados da rede é semelhante aos dados dos programas "Load-Flow". Os dados da rede se resumem aos dados de barra e dados de linha ou transformadores.

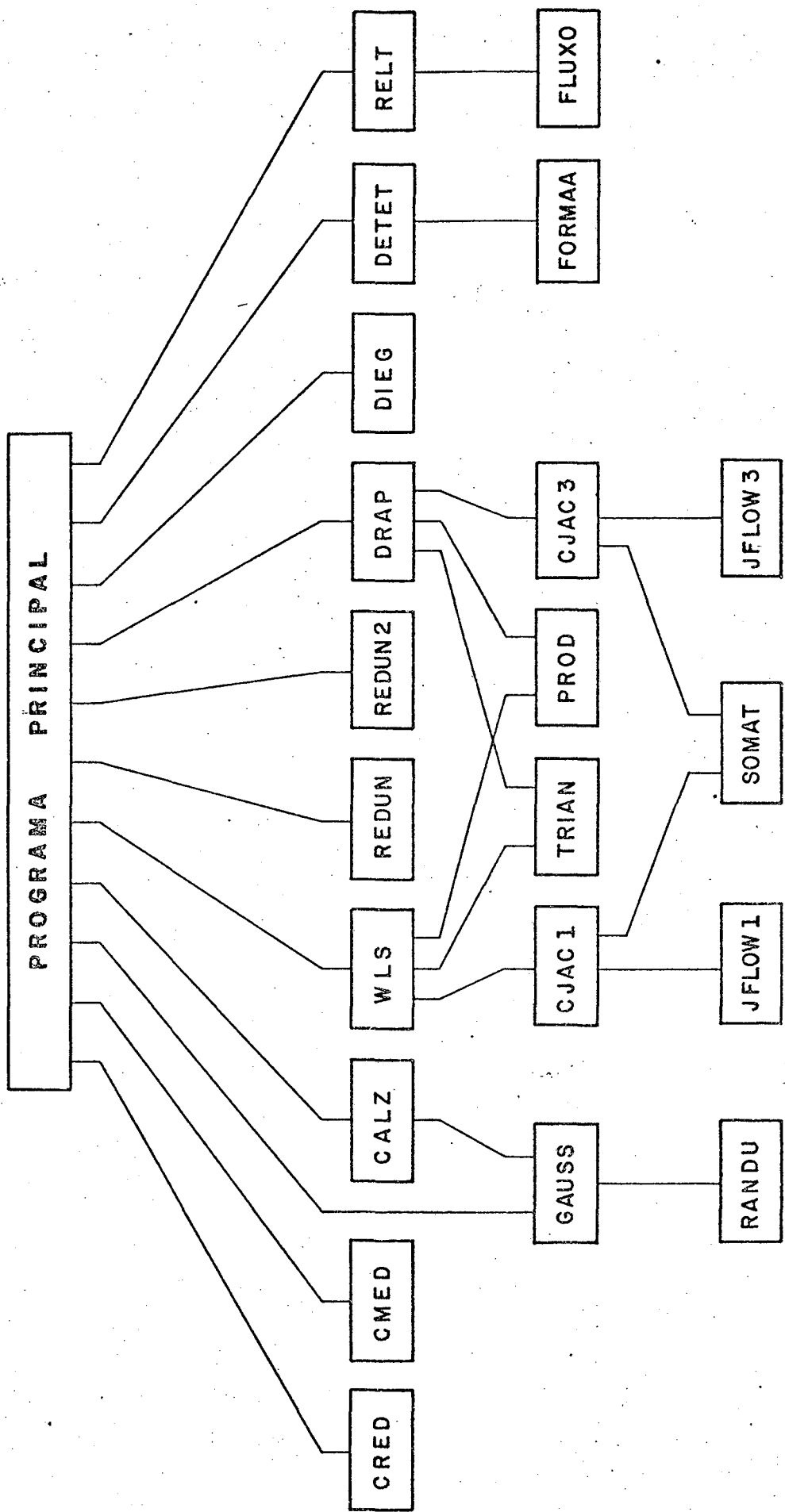


FIG. C - 1

CMED - É a subrotina que destina à leitura da configuração do sistema de medição. Os dados que formam a configuração do sistema de medição são relativos ao tipo, à localização e ao desvio padrão de cada medidor.

CALZ - É a subrotina que calcula o vetor de medidas ZT a partir do modelo da rede h(.) e do vetor do estado verdadeiro Xv. A subrotina calcula ainda, através da função GAUSS o vetor do erro das medidas V para formar o vetor Z = ZT + V.

GAUSS - É a função que simula o erro das medidas V através da geração de números aleatórios com distribuição normal e desvio padrão especificado.

RANDU - É a função que gera números aleatórios entre 0 e 1 com distribuição uniforme.

WLS - É a subrotina que estima o estado usando o método clássico MQP, também chamado método completo.

CJAC1 - É a subrotina que calcula o vetor DELZ = Z-h(x) e a matriz jacobiana H.

JFLOW1 - É a subrotina que calcula a parte do vetor DELZ e a parte da matriz jacobiana H correspondentes aos fluxos.

TRIAN - É a subrotina que triangulariza, ou fatoriza uma matriz simétrica.

PROD - É a subrotina que efetua o produto $[A]^{-1}B=\Delta X$, onde A é a matriz triangularizada pela subrotina TRIAN e B é um vetor.

SOMAT - É a subrotina que calcula a somatória das parcelas que compõe os elementos da matriz jacobiana H correspondentes aos medidores de injeção.

REDUN - É a subrotina que faz a seleção do Sistema de Medição baseada na redundância local de barra.

REDUN2 - É a subrotina que faz a seleção do Sistema de Medição baseada na redundância local de estado.

DRAP - É a subrotina que estima o estado usando o método desacoplado rápido.

CJAC3 - É a subrotina que calcula o vetor $\underline{\Delta Z} = \underline{Z} - \underline{h}(\underline{x})$ e a matriz jacobiana \underline{H} para o método desacoplado rápido.

JFLOW3 - É a subrotina que calcula a parte do vetor $\underline{\Delta Z}$ e a parte da matriz jacobiana \underline{H} correspondentes aos fluxos, para o método desacoplado rápido.

DIEG - É a subrotina que faz a deteção de erro grossoiro através do teste de $J(\hat{\underline{x}})$ e a identificação do medidor portador do erro grossoiro através do resíduo normalizado.

DETET - É a subrotina que calcula o índice de detetabilidade IDT do sistema de medição.

FORMAA - É a subrotina que forma e triangulariza a matriz de ganho \underline{G} .

RELT - É a subrotina destinada a imprimir o relatório das estimativas. Cada página do relatório corresponde a uma estação remota.

FLUXO - É a subrotina que calcula o fluxo ativo ou reativo numa linha ou transformador.

Em seguida temos a listagem completa do programa principal e de todas as subrotinas desenvolvidas para este trabalho.

L 2.3.0 (JUNE 78)

OS/360 FORTAN H EXTENDED

DATE

STED OPTIONS: NODECK,NGLIST,CPT=0

NS IN EFFECT: NAME(MAIN) NOOPTIMIZE LINECOUNT(60) SIZE(MAX) AUTODBL(NONE)
SOURCE EBCDIC NGLIST NODECK OBJECT MAP NUFORMAT GOSTMT XREF NOALC NO

```

C PARA NAC IMPR. CCPILACAO://FORT.SYSPRINT DD CUMMY (APOS //SIMED)
CCC CCC
C PROGRAMA PRINCIPAL C
CCC CCC
CCC AREA DE COMMON
C

N 0002      COMMON  MEDFLG,          REDFLG,          NBUS,          NMED,
G           NUMBLS(128),        NBOMT(750,2),    Z(750),         VAR(750),
P           JCC(750,3),       BIAS(750),        REATCR(64),    IFIRST(123),
I           ITC(192,2),       INEXT(192),       ICGM(192),      TAPNO(192),
C           GE(192),          B2S(192),        TAP(128),       SHUNT(128)
N 0003      COMMON  JACB(2500),     LOC2(2500),     LOC1(2500),    X(256),
G           NMCN,            IX,               NSW,           JST,
P           JEN,              INJFLG,          DELZ(750),     JCBFLG,
I           FUT(10),          IFUT(10),        VARON(750),    ISSW(10)

C
N 0004      INTEGER TAFNC
N 0005      LOGICAL MEDFLG,REDFLG,JCBFLG,INJFLG
N 0006      COMPLEX GB,TAP,SHUNT
N 0007      REAL   JACB

C
N 0008      COMMON  AA(2500),      LCCA2(2500),    LOCA3(256),    LJCA4(256),
G           BB(256),          LCCB(256),        LOC3(256),    ICAE(33),
P           GENBLS(128),      VOLT(128),        PLOAD(128),   QLOAD(128),
I           PGEN(64),          QGEN(64),        ZT(750),      LOC5(2500),
C           BLSNAM(3,128),     REMNAM(3,90),    IPREF(100),   NTENS(128)

C
N 0009      COMPLEX VLCI
N 0010      INTEGER GENELS,BUSNAM,REMNAME
C
CCCC      FIM DA AREA DE COMMON
N 0011      DIMENSION ZALX(750),XINIC(256),SCMAX(121),XMED(121),CPAD(121),
*             XT(121),DPADV(121),ALSIGV(750),ALSIGN(750),JCDV(750),
*             JAFCI(750),JDET(6),JNDET(6),JTDT(6),JNDE(6),JREL(101)
N 0012      DIMENSION IERR(5)
N 0013      EQUIVALENCE (IFUT(1),ITER),(IFUT(10),REPET),(IFUT(5),CONV)
N 0014      DATA IP/6/,C1/57.2958/
N 0015      DATA IERR/1E4,185,537,538,55/
N 0016      LOGICAL REPET,CCNV,DETRR,DETETB
C
N 0017      ISSH(1)=-1
N 0018      ISSH(1)=0
N 0019      ISSH(2)=0
N 0020      ISSH(3)=1
N 0021      ISSH(4)=1
N 0022      ISSH(5)=1
N 0023      ISSH(6)=0
N 0024      ISSH(7)=0
N 0025      ISSH(8)=0
C
N 0025      DETRR=.TRUE.
N 0025      DETRR=.FALSE.
C
N 0026      DETETB=.TRUE.
N 0026      DETETB=.FALSE.
C
N 0027      CALL CREO

```

L 2.3.0 (JUNE'78) MAIN OS/360 FCRTRAN H EXTENDED DAT

```

N 0028                  N=2*N8LS-1
N 0029                  DO 40 I=1,N
N 0030                  XINIC(I)=X(I)
N 0031                  40 CONTINUE
N 0032                  DO 90 I=1,N8LS
N 0033                  XT(I)=CABS(VOLT(I))
N 0034                  A=AIMAG(VOLT(I))
N 0035                  B=REAL(VOLT(I))
N 0036                  II=N8LS+I
N 0037                  IF (I.GT.NSW) II=II-1
N 0038                  XT(II)=ATAN2(A,B)
N 0039                  90 CONTINUE
N 0040                  CALL CMED
N 0041                  DO S1 I=1,NMED
N 0042                  JCDV(I)=JCD(I,1)
N 0043                  91 CONTINUE
N 0044                  C++
N 0045                  CALL CALZ
C++
CCC
N 0046                  DU 290 KK=1,2
C                  DO 400 J1=E,24,4
C                  DO 400 J1=E,8
C                  ARG=J1/10.
C                  DU 400 J1=2,5
N 0047                  DU 400 J1=2,2
CCC
N 0048                  DU S2 I=1,NMED
N 0049                  JCD(I,1)=JCDV(I)
C                  IF (JCD(I,1).LT.0) GO TO 92
C                  IF (ZT(I).EQ..0) GO TO 92
C                  IF (NBCMT(I,2).EQ.15.OR.NBCMT(I,2).EQ.37) JCD(I,1)=-JCD(I+1)
N 0050                  92 CONTINUE
C                  CALL REDUN(ARG)
CALL REDUN2(J1)
C                  IF (KK.EQ.1) CALL REDUN2(J1)
N 0052                  CALL CALZ
N 0053                  IR=10000
C
C                  ESCRVER CCMENTARIO
C
N 0054                  WRITE(IP,1037)
N 0055                  1037 FORMAT(1X,' FUNDOS ESC.=125,280 E 1000
*                  ,/1X,'MAIOR ERRO = 3 SIGMA    REDUN2(2),DRAP
N 0056                  NLIG=0
N 0057                  DO 70 I=1,NMED
N 0058                  IF (JCD(I,1).GT.0) NLIG=NLIG+1
N 0059                  70 CONTINUE
N 0060                  XNLIG=NLIG
N 0061                  RGLB=XNLIG/N
N 0062                  WRITE(IP,1027) NMED,NLIG,RGLB
N 0063                  1027 FORMAT(/10X,'N. MED.=',I4,/10X,'N. MED. LIG.=',I4,
*                  ,/10X,'RED. GLOBAL=',F5.2)
N 0064                  DO 30 I=1,NMED
N 0065                  IF (JCD(I,1).LT.0) GO TO 31
N 0066                  IF (JCD(I,1).NE.1) GO TO 32
N 0067                  VAR(I)=.000009
N 0068                  GO TO 30

```

2.3.0 (JUNE 78) MAIN OS/360 FORTRAN H EXTENDED DATE

```

1 0072            32 J=NBCMT(I,1)
1 0073            J=NTENS(J)
1 0074            IF (J.LT.3) FESC=125.
1 0076            IF (J.EQ.3) FESC=280.
1 0078            IF (J.GT.3) FESC=1000.
1 0080            SIGMA=.003*ABS(ZT(I))+.002*FESC
1 0081            VAR(I)=SIGMA*SIGMA
1 0082            GO TO 30
1 0083            31 VAR(I)=.0
1 0084            30 CONTINUE
1 0085            DO 60 I=1,121
1 0086            SOMAX(I)=.0
1 0087            DPAC(I)=.0
1 0088            60 CONTINUE
1 0089            NCAS=50
C                NCAS=1
1 0090            XNCAS=NCAS
1 0091            SCMIT=.0
1 0092            MAXIT=C
1 0093            MINIT=100
1 0094            DO 10 I=1,NCAS
C                C SIMULAR C ERRO CC MEDIDCR
C                C
1 0095            DO 80 J=1,NPED
1 0096            IF (JCD(J,1).LT.0) GO TO 80
1 0098            IF (ZT(J).EQ..0) GO TO 80
1 0100            SIGMA=SQRT(VAR(J))
C                TRSIG=3.*SIGMA
1 0101            TRSIG=3.*SIGMA
1 0102            81 XG=GALSS(IR,SIGMA,.0)
1 0103            IF (ABS(XG).GT.TRSIG) GO TO 81
1 0105            Z(J)=ZT(J)+XG
1 0106            ZAUX(J)=Z(J)
1 0107            80 CONTINUE
C+++
1 0108            IF (DETERR) GO TO 200
1 0110            IF (DETETB) GO TO 300
C+++
1 0112            DO 50 L=1,N
1 0113            X(L)=XINIC(L)
1 0114            50 CONTINUE
1 0115            ITER=1
1 0116            JCBFLG=.TRUE.
C                CALL HLS
C                CALL CALG
C                CALL CRAP
1 0117            CALL RELT(1,60)
C                CALL RELT(1,5)
C                CALL CETET(ALSIGV)
1 0118            DO 20 J=1,121
1 0119            SOMAX(J)=SCMAX(J)+X(J)
1 0120            DPAC(J)=DPAC(J)+X(J)*X(J)
1 0121            20 CONTINUE
1 0122            IF (ITER.GT.MAXIT) MAXIT=ITER
1 0124            IF (ITER.LT.MINIT) MINIT=ITER
1 0126            SCMIT=SCMIT+ITER
C+++

```

L 2.3.0 (JUNE. 78)

MAIN

OS/360 FCRTRAN H EXTENDED

DAT

```

N 0127      10 CONTINUE
C+++  

C  

C   CALCULO DO DESVIC PADRAC DA TENSAC ESTIMACA
C  

N 0128      DO 100 I=1,121
N 0129      XMED(I)=SCMAX(I)/XNCAS
N 0130      DPAC(I)=CPAC(I)
N 0131      VARIAN=(DPADI-2.*XMED(I)*SUMAX(I) +
*           XNCAS*XMED(I)*XMED(I))/XNCAS
N 0132      IF (VARIAN.LT..0) VARIAN=.0
N 0134      DPAC(I)=SQRT(VARIAN)
N 0135      VARIAN=(DPADI-2.*XT(I)*SCMAX(I)+XNCAS*XT(I)*XT(I))/XNCAS
N 0136      IF (VARIAN.LT..0) VARIAN=.0
N 0138      DPADV(I)=SQRT(VARIAN)
N 0139      100 CONTINUE
C  

C   IMPRESSAO DE RESULTADOS PARA AVALIACAC DO DESEMPENHO
C  

V 0140      WRITE(IP,107)
V 0141      107 FORMAT('1',11X,'VV',6X,'VE',5X,'DP      PDP ',8X,'AV',6X,'AE',
*           4X,'DP      PDP ',/)
V 0142      GV=.0
V 0143      GTETA=.0
V 0144      GVV=.0
V 0145      GTETAV=.0
V 0146      DMV=.0
V 0147      DMTETA=.0
V 0148      DO 104 I=1,NBLS
V 0149      GV=GV+CPAC(I)
V 0150      GVV=GVV+DPADV(I)
V 0151      DMV=DMV+(XMED(I)-XT(I))**2
V 0152      J=I+NBLS
V 0153      IF (I.GT.NSK) J=J-1
V 0155      ANG2=XMED(J)*C1
V 0156      ANG1=XT(J)*C1
V 0157      DPD=DPAC(J)
V 0158      DPDV=CPADV(J)
V 0159      IF (I.NE.NSK) GO TO 101
V 0161      ANG1=.0
V 0162      ANG2=.0
V 0163      DPD=.0
V 0164      DPDV=.0
V 0165      101 WRITE(IP,117)I,XT(I),XMED(I),DPAD(I),DPADV(I),ANG1,ANG2,EPD,DPDV
V 0166      117 FORMAT(7X,I2,F7.4,F8.4,2(F8.5),3X,2(F8.3),2(F8.5))
V 0167      IF (I.EQ.55) WRITE(IP,157)
V 0169      157 FORMAT('1')
V 0170      104 CONTINUE
V 0171      GV=GV/NBLS
V 0172      GVV=GVV/NBLS
V 0173      DMV=DMV/NBLS
V 0174      DMV=SQRT(DMV)
V 0175      NMML=NBLS+1
V 0176      DO 105 I=NMMU,N
V 0177      GTETA=GTETA+CPAD(I)
V 0178      GTETAV=GTETAV+CPADV(I)
V 0179      DMTETA=DMTETA+(XMED(I)-XT(I))**2
V 0180      105 CONTINUE

```

2.3.0 (JUNE 78) MAIN OS/360 FCRTRAN H EXTENDED DATE

```

1 0181        GTETA=GTETA/(N-NBUS)
1 0182        GTETAV=GTETAV/(N-NBUS)
1 0183        DMTETA=DMTETA/(N-NBUS)
1 0184        DMTETA=SQRT(DMTETA)
1 0185        WRITE(IP,127)J1,GV,GTETA,GVV,DMV,GTETAV,DMTETA
1 0186        127 FORMAT(/////,16X,'TESTE RODANDO 50 CASOS USANDO DRAP,C/REDUN2()',
*              11,''),'
*              //,15X,'GV=',F7.5,/16X,'GTETA=',F7.5,//18X,'GVV=',F7.5,
*              9X,'DMV=',F7.5,/15X,'GTETAV=',F7.5,6X,'DMTETA=',F7.5)
1 0187        XMEDIT=SCM1/XNCAS
1 0188        WRITE(IP,137)MAXIT,MINIT,XMEDIT
1 0189        137 FORMAT(16X,'MAXIT=',I2,/16X,'MINIT=',I2,/16X,'MEDIT=',F4.1)
1 0190        WRITE(IP,147)NLIG,N,RGLB
1 0191        147 FORMAT(11X,'N.MED.LIG.=',I3,/11X,'N.VAR.EST.=',I3,
*              /11X,'RED.GLCBAL=',F4.2)

CCC
1 0192        400 CONTINUE
CCC
1 0193        STOP
1 0194        200 IR=15000
1 0195        I1=0
1 0196        DO 240 I=1,750
1 0197        JAFC1(I)=0
1 0198        240 CONTINUE
1 0199        DO 280 I=1,6
1 0200        JNDE(I)=0
1 0201        JDET(I)=0
1 0202        JNDT(I)=0
1 0203        JTGT(I)=0
1 0204        280 CONTINUE
1 0205        DO 210 II I=1,10000
1 0206        IF (KK.EQ.2) GO TO 292
1 0208        250 Y=RANU(ER,IY)
1 0209        IR=IY
1 0210        I=667*Y+1
1 0211        IF (JAFO1(I).EQ.1) GO TO 250
1 0213        JAFC1(I)=1
1 0214        IF (JCD(I,1).LT.0) GO TO 210
1 0216        IF (ZT(I).EQ..0) GO TO 210
1 0218        292 IF (KK.EQ.2) I=JREL(I1+1)
1 0220        DO 220 J=1,N
1 0221        X(J)=XINIC(J)
1 0222        220 CONTINUE
1 0223        SIGMA=SCRT(VAR(I))
C        Z(I)=ZT(I)+6.*SIGMA
C        Z(I)=ZT(I)+12.*SIGMA
1 0224        I1=I1+1
1 0225        IF (I1.GE.51) GO TO 260
1 0226        IF (KK.EQ.1) JREL(I1)=I
1 0228        WRITE(IP,207)I,I1,ZT(I),SIGMA,Z(I),JCD(I,1),N3CMT(I,2)
1 0230        207 FORMAT(//5X,'ERRO INTRODUZIDO NO MECIDCR ',I3,3X,'SIMULACAO N:',
*              I3,/6X,'ZT=',F8.3,/5X,'SIGMA=',F8.3,/9X,'Z=',F8.3,5X,
*              'TIPC=',I2,5X,'REMOTA N:',I2)
1 0232        ITER=1
1 0233        JCBFLG=.TRUE.
1 0234        CALL KLS
1 0235        CALL DRAP
C        IF (.ACT.CCNVI) GO TO 230

```

L 2.3.0 (JUNE 78)

MAIN

OS/360 FCRTRAN H EXTENDED

DAT

```

C      CALL DIEG(1.04,JMID)
N 0237  CALL DIEG(1.65,JMID)
N 0238  JC=JCC(1,1)
N 0239  IF (JMID.EQ.01) JNDE(JC)=JNDE(JC)+1
N 0241  IF (JMID.EQ.1) JDET(JC)=JDET(JC)+1
N 0243  IF (JMID.NE.1 .AND. JMID.NE.01) JNDET(JC)=JNDET(JC)+1
N 0245  230 Z(I)=ZAUX(I)
N 0246  210 CONTINUE
N 0247  STOP
N 0248  260 DO 270 I=1,NMED
N 0249  JC=JCC(I+1)
N 0250  IF (JC.LT.0) GO TO 270
N 0252  JTCT(JC)=JTCT(JC)+1
N 0253  270 CONTINUE
N 0254  WRITE(IP,217) (JTOT(I),I=1,6)
N 0255  217 FORMAT(10X,'(IPO',4X,'1',4X,'2',4X,'3',4X,'4',4X,'5',4X,'6',/10X,
*           'JTCT',615)
N 0256  WRITE(IP,227) (JDET(I),I=1,6),(JNDET(J),J=1,6),(JNDE(K),K=1,6)
N 0257  227 FORMAT(10X,'JDET',615,/9X,'JNDET',615,/10X,'JNDE',615)
N 0258  290 CONTINUE
N 0259  STCP

C
C
N 0260  300 CALL DETET(ALSIGV)
N 0261  DO 350 I=1,NMED
N 0262  JCDV(I)=JCC(I,1)
N 0263  IF (JCC(I,1).LT.0) GO TO 350
N 0265  IF (ZT(I).EQ..0) GO TO 350
N 0267  NBC=NBCMT(I,2)
C     IF (NBO.EQ.15 .OR. NBO.EQ.371) JCDV(I)=-JCDV(I)
N 0268  350 CONTINUE
N 0269  DO 310 I=8,40,4
N 0270  ARG=I/10.
N 0271  DO 360 II=1,NMED
N 0272  JCD(II,1)=JCDV(II)
N 0273  360 CONTINUE
N 0274  CALL REDUN(ARG)
N 0275  CALL DETET(ALSIGN)
N 0276  K=0
N 0277  SOMV=.0
N 0278  SOMN=.0
N 0279  DO 320 J=1,NMED
N 0280  IF (JCD(J,1).LT.0) GO TO 320
N 0282  IF (ZT(J).EQ..0) GO TO 320
N 0284  IF (J.EQ.533 .OR. J.EQ.632) GO TO 320
N 0286  K=K+1
N 0287  SUMV=SCMV+ALSIGV(J)
N 0288  SOMN=SCMN+ALSIGN(J)
N 0289  320 CONTINUE
N 0290  WRITE(IP,307) ARG,K,SCMV,SCMN
N 0291  307 FORMAT(10X,'REDUN(',F3.1,'1',5X,'K=',I3,5X,'SCMV=',F9.2,5X,
*           'SCMN=',F9.2,' REDUN S/TESTAR QTR. EXTR. ')
N 0292  310 CONTINUE
N 0293  DO 330 I=2,7
N 0294  DO 370 II=1,NMED
N 0295  JCD(II,1)=JCDV(II)
N 0296  370 CONTINUE
N 0297  CALL REDUN2(I)

```

L 2.3.0 (JUNE 78)

MAIN

OS/360 FORTRAN H EXTENDED

DAT

```
N 0298      CALL DETET(ALSIGN)
N 0299      K=0
N 0300      SOMV=.0
N 0301      SOMN=.0
N 0302      DO 340 J=1,NMED
N 0303      IF (JCD(J,1).LT.0) GO TO 340
N 0305      IF (ZT(J).EQ..0) GO TO 340
N 0307      IF (J.EQ.533.OR. J.EQ.632) GO TO 340
N 0309      K=K+1
N 0310      SOMV=SOMV+ALSIGV(J)
N 0311      SOMN=SOMN+ALSIGN(J)
N 0312      340 CONTINUE
N 0313      WRITE(IP,317)I,K,SOMV,SOMN
N 0314      317 FORMAT(10X,'REDUN2(''II,'',5X,'K='',I3,5X,'SOMV='',F9.2,5X,'SOMN='',
*           F9.2,' REDUN2 S/TEST.CUTR.EXTR. ')
N 0315      330 CONTINUE
N 0316      STOP
N 0317      END
```

L 2.3.0 (JUNE 78)

OS/360 FORTRAN H EXTENDED

DAT

STD OPTIONS: NUDECK,NCLIST,EPT=0

NS IN EFFECT: NAME(MAIN) NOOPTIMIZE LINECOUNT(60) SIZE(MAX) AUTODBL(NONE)
SOURCE EBCCIC NOLIST NUDECK OBJECT MAP NUFORMAT GUSTAT XREF NOALG NO

N 0002 SUBROUTINE CRED

```

CCC CCC
C SUBROTINA PARA LEITURA DA CONFIGURACAO DA REDE C
CCC. CCC
CCC. AREA DE COMMON
C

N 0003      COMMON MEDFLG,      REDFLG,      NBUS,      NMED,
G          NUMBUS(123),   NBGMT(750,2),  Z(750),   VAR(750),
P          JCD(750,3),   BIAS(750),    REATOR(64), IFIRST(123),
I          IT0(192,2),   INEXT(192),   ICOM(192), TAPNO(192),
C          GE(192),      B2S(192),    TAP(128),  SHUNT(123)
N 0004      COMMON JACB(2500), LOC2(2500), LOC1(2500), X(256),
G          NMCA,        IX,          NSW,        JST,
P          JEN,         INJFLG,     DELZ(750), JCBFLG,
I          FUT(10),     IFUT(10),    VARON(750), ISSW(10)

C
N 0005      INTEGER TAPNC
N 0006      LOGICAL MEDFLG,REDFLG,JCBFLG,INJFLG
N 0007      COMPLEX GB,TAP,SHUNT
N 0008      REAL JACB

C
N 0009      COMMON AA(2500),   LOCA2(2500),  LOCA3(256), LOCA4(256),
G          BB(256),       LOCB(256),    LOC3(256), ICAB(33),
P          GENELS(123),  VOLT(128),   FLOAD(123), QLOAD(123),
I          PGEN(64),     QGEN(64),   ZT(750),  LOC5(2500),
C          BLSNAM(3,128), REMNAM(3,90), IPREF(100), NTENS(123)

C
N 0010     COMPLEX VOLT
N 0011     INTEGER GENBUS,BUSNAM,REMNAME

C
CLCC      FIM DA AREA DE COMMON
N 0012     DIMENSION ICAB1(13),ICAB2(15)
N 0013     COMPLEX RX
N 0014     EQUIVALENCE (IFUT(2),ALIN),(IFUT(3),NTRAN)
N 0015     EQUIVALENCE (ICAB1(1),ICAB(1)),(ICAB2(1),ICAB(19))
N 0016     DATA LC/5/,IP/6/
N 0017     DATA C1/57.2553/
N 0018     IF (ISSW(8).EQ.1) CALL CLOCK(IT1,'CPU')
N 0020     NLIN=1
N 0021     NTRAN=0
N 0022     MAXTRN=128
N 0023     MAXELS=128
N 0024     MAXLIN=192
N 0025     DO 150 I=1,MAXBUS
N 0026     PLOAD(I)=.0
N 0027     QLOAD(I)=.0
N 0028     GENELS(I)=0
N 0029     150 IFIRST(I)=0
N 0030     DO 170 I=1,MAXLIN
N 0031     IT0(I,1)=0
N 0032     ITC(I,2)=0
N 0033     INEXT(I)=0
N 0034     TAPNO(I)=0

```

L 2.3.0 (JUN 78)

CRED

OS/360 FORTRAN H EXTENDED

DAT

```

N 0035      G8(1)=(-.0,.0)
N 0036      B2S(1)=.0
N 0037      170 ICCC(1)=1
N 0038      DO 180 I=1,NAXTRN
N 0039      180 TAP(I)=(-.0,.0)

C
C LEITURA DO CABECALHO
C
N 0040      READ(LC,7)ICAB1
N 0041      7 FFORMAT(18A4)
N 0042      READ(LC,37)ICAB2
N 0043      37 FFORMAT(15A4)

C
C LEITURA CCS CACCS DE BARRA
C
N 0044      K1=0
N 0045      NGEN=0
N 0046      200 K1=K1+1
N 0047      READ(LC,17)K,VM,VA,GL,BL,PL,QL,PG,GG,(BUSNAM(L,K1),L=1,3),NTEN
N 0048      17 FFORMAT(15,F10.3,F10.6,6F5.1,3A4,I2)
N 0049      IF (ISSW(7).NE.0) WRITE(IP,1027) K,VM,VA,GL,BL,PL,QL,PG,GG,
*          (BUSNAM(L,K1),L=1,3),NTEN
N 0051      1027 FORMAT(3X,15,2X,F10.8,2X,F10.6,6(2X,F8.2),2X,3A4,2X,I2)
N 0052      IF(K.EQ.0) GO TO 131
N 0054      NUMBUS(K1)=K
N 0055      IF(K1.GE.MAXBUS) STOP 0126
N 0057      SHUNT(K1)=CMPLX(GL,BL)
N 0058      VOLT(K1)=CMPLX(VM*COS(VA/C1),VM*SIN(VA/C1))
N 0059      PLJAD(K1)=PL
N 0060      QLOAD(K1)=QL
N 0061      GENBUS(K1)=PG
N 0062      NTENS(K1)=NTEN
N 0063      IF(PG.EQ.0 .AND. QG.EQ..0)GO TO 200
N 0065      NGEN=NGEN+1
N 0066      GENBUS(K1)=NGEN
N 0067      PGEN(NGEN)=PG
N 0068      QGEN(NGEN)=QG
N 0069      GO TO 200

C
C LEITURA DO N: DA BARRA SWING
C
N 0070      181 NBLS=K1-1
N 0071      READ(LC,187)NB
N 0072      187 FFORMAT(15)
N 0073      DO 182 I=1,NBLS
N 0074      IF (INLBUS(I).EQ.NB) GO TO 183
N 0076      182 CONTINUE
N 0077      STCP 118
N 0078      183 NSw=I
N 0079      IF (ISSW(7).NE.0) WRITE(IP,197)NB
N 0081      197 FFORMAT(/'     BARRA SWING =',I5)

C
C LEITURA DE X INICIAL
C
N 0082      202 READ(LC,47) KB,VM,VA
N 0083      47 FFORMAT(15,F5.3,F5.1)
N 0084      IF (ISSW(3).NE.0) VM=1.
N 0086      IF (ISSW(3).NE.0) VA=.0

```

L 2.3.0 (JUNE 78)	CRED	OS/360 FORTRAN H EXTENDED	DAT
N 0088	IF (ISSK(7).NE.0) WRITE(IP,57) NB,VM,VA		
N 0090	57 FORMAT(2X,15,1X,F5.3,1X,F5.1)		
N 0091	IF (NB.EQ.0) GO TO 301		
N 0093	DO 203 I=1,NBUS		
N 0094	IF (NUMBUS(I).EQ.NB) GO TO 204		
N 0096	203 CONTINUE		
N 0097	STOP 119		
N 0098	204 X(I)=VM		
N 0099	I=I+NBUS		
N 0100	IF (I.GT.NSW) I=I-1		
N 0102	X(I)=VA		
N 0103	GO TO 202		
C			
C LEITURA CCS CACCS DE LINHA			
C			
N 0104	301 ITRV=1		
N 0105	READ(LC,27)I,J,NCIR,RX,B,TP,AN		
N 0106	27 FORMAT(14,4X,14,1X,I1,3X,2F6.2,F6.3,F5.3,10X,F5.2)		
N 0107	IF (NCIR.EQ.0) NCIR=1		
N 0109	IF (ISSK(7).NE.0) WRITE(IP,1037) I,J,NCIR,RX,B,TP,AN		
N 0111	1037 FORMAT(3X,3(I5,3X),5(F3.3,3X))		
N 0112	IF(I.EQ.0) GC TO 400		
C			
C CONVERSAC DA NUMERACAO EXTERNA PARA INTERNA			
C			
N 0114	DO 308 II=1,NBUS		
N 0115	IF(I.EQ.NUMBUS(III)) GO TO 309		
N 0117	308 CONTINUE		
N 0118	311 WRITE(IP,307)I,J		
N 0119	307 FORMAT(' ** LIGACAO NAO ACEITA DE',I5,' A',I5)		
N 0120	STOP 0127		
N 0121	309 DO 313 JJ=1,NBUS		
N 0122	IF(J.EQ.NUMBUS(JJ)) GO TO 312		
N 0124	313 CONTINUE		
N 0125	GO TO 311		
C			
C TAP REVERSO ?			
C			
N 0126	312 IF(JJ.GT.III) GO TO 314		
N 0128	ITRV=JJ		
N 0129	JJ=II		
N 0130	II=ITRV		
N 0131	ITRV=2		
N 0132	314 NC=1		
N 0133	K=IFIRST(II)		
N 0134	IF(K.EQ.0) GO TO 319		
N 0136	315 MTC=ITC(K,1)		
N 0137	IF(MTC.EQ.JJ) NC=NC+1		
N 0139	IF(INEXT(K).EQ.0) GO TO 316		
N 0141	K=INEXT(K)		
N 0142	GO TO 315		
N 0143	319 IFIRST(II)=NLIN		
N 0144	GO TO 318		
N 0145	316 INEXT(K)=NLIN		
N 0146	318 K=NLIN		
N 0147	IF(NLIN.GT.MAXLIN) GC TO 1003		
N 0149	NLIN=NLIN+1		
N 0150	ITC(K,2)=NC		

L 2.3.0 (JUNE 78)	CRED	OS/360 FORTRAN H EXTENDED	DAT
-------------------	------	---------------------------	-----

```

N 0151      ITG(K,1)=JJ
N 0152      320 G0(K)=-10000.*NCIR/RX
N 0153      ICOM(K)=1
N 0154      B2S(K)=.5*NCIR*B
N 0155      IF(TP.EQ..0) GO TO 325
N 0156      IF(NTRAN.GE.MAXTRN) GO TO 1002
N 0157      NTRAN=NTRAN+1
N 0158      TAPNO(K)=NTRAN
N 0159      IF(ITRV.EQ.2)TAPNO(K)=-TAPNO(K)
N 0160      K=ABS(TAFAC(K))
N 0161      TAP(K)=CMPLX(TP*COS(AN/C1),TP*SIN(AN/C1))
N 0162      GO TO 301
N 0163      325 TAPNO(K)=0
N 0164      GO TO 301
C
C
N 0165      400 NLIN=NLIN-1
N 0166      39 REDFLG=.TRUE.
N 0167      IF (ISSW(8).EQ.0) GO TO 40
N 0168      CALL CLKCK(IT2,'CPU')
N 0169      TM=(IT2-IT1)*.01
N 0170      WRITE(IP,567) TM
N 0171      567 FORMAT(10X,'TEMPO CPU CRED =',F6.2)
N 0172      40 IF (ISSW(7).EQ.0) RETURN
N 0173      WRITE(IP,517)
N 0174      517 FORMAT(5X,'IFIRST',3X,'NUMBUS',4X,'GENBUS',3X,'SHUNT(R)',2X,
N 0175      *'SHUNT(I)',2X,'VOLT(R)',3X,'VOLT(I)',3X,'PLOAD',5X,'QLOAD')
N 0176      DO 500 I=1,NBUS
N 0177      500 WRITE(IP,507)I,IFIRST(I),NUMBUS(I),GENBUS(I),SHUNT(I),VOLT(I),
N 0178      6,PLOAD(I),QLOAD(I)
N 0179      507 FORMAT(1X,I3,I7,2I10,6F10.4)
N 0180      WRITE(IP,527)
N 0181      527 FORMAT(5X,'INEXT',3X,'ITC(I,1)',2X,'ITC(I,2)',4X,'ICCM',5X,
N 0182      *'TAPNC',5X,'GE(R)',5X,'GB(I)',6X,'B2S')
N 0183      DO 501 I=1,NLIN
N 0184      501 WRITE(IP,537)I,INEXT(I),ITC(I,1),ITC(I,2),ICOM(I),TAPNO(I),
N 0185      *GB(I),B2S(I)
N 0186      537 FORMAT(1X,I3,I7,4I10,3F10.2)
N 0187      WRITE(IP,547)
N 0188      547 FORMAT(5X,'TAP(R)',4X,'TAP(I)',4X,'PGEN',6X,'QGEN')
N 0189      LS=AGEN
N 0190      IF(NTRAN.GT.NGEN) LS=NTRAN
N 0191      DO 502 I=1,LS
N 0192      502 WRITE(IP,557)I,TAP(I),PGEN(I),QGEN(I)
N 0193      557 FORMAT(1X,I3,F7.4,3F10.4)
N 0194      -RETURN
C
N 0195      1003 WRITE(IP,1C07)I,J
N 0196      1007 FORMAT(' ** ATINGIU O LIMITE DE LINHAS ',I5,' A ',I5)
N 0197      GO TO 39
N 0198      1002 WRITE(IP,1C17)I,J
N 0199      1017 FORMAT(' ** ATINGIU O LIMITE DE TAPS ',I5,' A ',I5)
N 0200      GO TO 39
N 0201      END
N 0202
N 0203

```

L 2.5.0 (JUNE 78)

OS/360 FORTRAN H EXTENDED

DAT

STD OPTIONS: NODECK,NCLIST,CPT=0

NS IN EFFECT: NAME(MAIN) NCCOPTIMIZE LINECOUNT(60) SIZE(MAX) AUTODBL(NONE)
SOURCE EBCDIC NCLIST NODECK OBJECT MAP NOFORMAT GOSTMT XREF NOALC NO

```

N 0002      SUBROUTINE CMED
CCC
C SUBROTINA PARA LEITURA DA CONFIGURACAO DA MEDICAO C
CCC
C AREA DE COMMON
CCC
N 0003      COMMON MECFLG,      REDFLG,      NBUS,      NMED,
             G    NUMBUS(123),   NBCMT(750,2),  Z(750),
             P    JCD(750,3),   BIAS(750),    REATCR(64),
             I    ITO(192,2),   INEXT(192),   ICOM(192),
             C    GB(192),     B2S(192),    TAP(128),
N 0004      COMMON JACB(2500), LOCZ(2500), LOC1(2500), X(256),
             G    NMCN,        IX,          NSW,
             P    JEN,         INJFLG,    DELZ(750),
             I    FLT(10),     IFUT(10),   VARON(750),
             C
             INTEGER TAFNO
             LOGICAL MEDFLG,REDFLG,JCBFLG,INJFLG
             COMPLEX GE,TAP,SHUNT
             REAL   JACB
             C
N 0005      COMMON AA(2500),    LOCA2(2500),  LOCA3(256),  LOCA4(256),
             G    BB(256),      LOCB(256),   LOC3(256),
             P    GENBLS(123),  VOLT(128),   PLOAD(123),
             I    PGEM(64),    QGEN(64),    ZT(750),
             C    BUSNAM(3,128), REMNAM(3,90), IPREF(100),
             C
N 0010      COMPLEX VOLT
N 0011      INTEGER GENBLS,BUSNAM,REMNAME
             C
             CCCCC FIM DA AREA DE COMMON
N 0012      DIMENSION NCM(3)
N 0013      EQUIVALENCE (IFUT(4),NPREF)
N 0014      DATA IP/6/,LC/5/
N 0015      IF (ISSW(8).EQ.1) CALL CLOCK(IT1,"CPU")
N 0017      IF (REDFLG) GO TO 1
N 0019      WRITE(IP,37)
N 0020      37 FORMAT('! ** FALTA A CONFIGURACAO DA REDE')
N 0021      STOP
             C
N 0022      NREAT=64
N 0023      IW=0
N 0024      NMAX=750
N 0025      NMED=0
N 0026      J=0
             C
             C LEITURA DO NCME DAS REMCTAS
             C
N 0027      4 READ(LC,57)NUM,(NOM(K),K=1,3)
N 0028      57 FORMAT(15,3A4)
N 0029      IF (NUM.EQ.01) GO TO 90
N 0031      DO 3 I=1,3
N 0032      3 REMNAM(I,NUM)=NCM(I)

```

L 2.3.0 (JUNE 78) CMED OS/360 FORTRAN H EXTENDED DAT.

```

N 0033      J=J+1
N 0034      IF (ISSH(7).NE.0) WRITE(IP,67)J,NUM,(REMMNA(K,NUM),K=1,3)
N 0036      67 FORMAT(5X,12,2X,12,1A,3A4)
N 0037      GU TO 4

C
C  LEITURA DOS DADOS DOS MEDICORES
C

N 0038      90 REAC(LC,97)NB,JC,IST,NEST,DP,XBIAS,V1,V2,V3
N 0039      97 FORMAT(4I5,2F5.3,3F5.0)
N 0040      IMED=NMED+1
N 0041      IF (ISSH(7).NE.0) WRITE(IP,1007)IMED,NB,JC,IST,NEST,DP,XBIAS,V1,
*                  V2,V3
N 0043      1007 FORMAT(1X,13,1X,4(15,3X),2F10.4,2F10.0,F10.3)
N 0044      IF(NB.EC.0) GU TO 199
N 0046      NMED=NMED+1
N 0047      IF(NMED.LE.NMAX) GO TO 99
N 0049      WRITE(IP,27)
N 0050      27 FORMAT(' ** ATINGIU O LIMITE DO N. DE MEDICORES')
N 0051      99 DU 100 K=1,NBLS
N 0052      IF(NB.EC.NUMBUS(K)) GC TO 110
N 0054      100 CONTINUE
N 0055      WRITE(IP,7)NB
N 0056      7 FORMAT(' ** NAO FOI DEFINIDA A BARRA',15)
N 0057      STOP
N 0058      110 NBCMT(NMED,2)=NEST
N 0059      NBCMT(NMED,1)=K
N 0060      Z(NMED)=V3
N 0061      ZT(NMED)=V3
N 0062      JCD(NMED,1)=JC
N 0063      IF(JC.LT.4) GO TO 160
N 0065      IF(JC.EQ.4) GO TO 170
N 0067      NBD=V1
N 0068      IF(NBD.GT.0) GO TO 130
N 0070      120 WRITE(IP,17)NB
N 0071      17 FORMAT(' ** NAO IDENTIFICADA A BARRA DESTINO , MED.NA BARRA',15)
N 0072      STOP
N 0073      130 DU 140 K=1,NBLS
N 0074      IF(NBD.EQ.NUMBUS(K)) GC TO 150
N 0076      140 CONTINUE
N 0077      WRITE(IP,7)NBC
N 0078      STOP 0128
N 0079      170 K=V2
N 0080      IF(K.LT.0) STOP 0129
N 0082      IF(K.GE.NREAT) STOP 0130
N 0084      REATOR(K)=V1
N 0085      GO TO 155
N 0086      150 I=V2
N 0087      IF(I.LE.0) STOP 0131
N 0089      JCD(NMED,3)=I
N 0090      155 JCD(NMED,2)=K
N 0091      160 VAR(NMED)=DP*DP
N 0092      BIAS(NMED)=XBIAS
N 0093      IF(IST.EQ.0)JCD(NMED,1)=-JCD(NMED,1)
N 0095      GO TO 90

C
C
N 0096      199 MEDFLG=.TRUE.
C          WRITE(IP,207)

```

L 2.3.0 (JUNE 78)

CMED

OS/360 FORTRAN H EXTENDED

DAT

```

C 207 FORMAT(5X,'JCD(I,1) JCD(I,2) JCD(I,3)NBOMT(I,1)NBOMT(I,2)',5X,
C   *      'VAR',6X,'BIAS')
C   DO 200 I=1,NMED
C 200 WRITE(IP,217)I,JCD(I,1),JCD(I,2),JCD(I,3),NBOMT(I,1),NBOMT(I,2),
C   *      VAR(I),BIAS(I)
C 217 FORMAT(1X,I3,17,4I10,2F10.4)
N 0097    IF (ISSN(7).EQ.0) GO TO 401
N 0099    WRITE(IP,227)
N 0100    227 FORMAT(7X,'SHUNT')
N 0101    DO 201 I=1,NREAT
N 0102    IF (REATR(I).EQ..0) GO TO 201
N 0104    WRITE(IP,237)I,REATR(I)
N 0105    237 FORMAT(1X,I3,1X,F7.2)
N 0106    201 CONTINUE
C
C  LEITURA DOS MEDIDORES PREFERENCIAIS
C
N 0107    401 IF (ISSN(7).NE.0) WRITE(IP,427)
N 0109    427 FORMAT(3X,'MED. PREFERENCIAIS')
N 0110    J=1
N 0111    400 READ(LC,407)I
N 0112    407 FORMAT(15)
N 0113    IF (ISSN(7).NE.0) WRITE(IP,417)I
N 0115    417 FORMAT(1X,I5)
N 0116    IF (I.EQ.0) GO TO 410
N 0118    IPREF(J)=I
N 0119    J=J+1
N 0120    GO TO 400
N 0121    410 NPREF=J-1
C
N 0122    IF (ISSN(8).EQ.0) RETURN
N 0124    CALL CLCCK(IT2,'CPU')
N 0125    TM =(IT2-IT1)*.01
N 0126    WRITE(IP,107)TM
N 0127    107 FORMAT(10X,'TEMPO CPU CMED =',F6.2)
N 0128    RETURN
N 0129    END

```

2.3.0 (JUNE 73)

OS/360 FORTRAN H EXTENDED

DAT

TED OPTIONS: NODECK,NOLIST,CPT=0

S. IN EFFECT: NAME(MAIN) NOOPTIMIZE LINECOUNT(60) SIZE(MAX) AUTOUBL(NONE)
SOURCE EBCDIC NOLIST NODECK OBJECT MAP NOFORMAT GOSTMT XREF NOALC NO-

```

CCC
C  FUNCAO QUE GERA NUMEROS ALEATORIOS COM DISTRIBUICAO NORMAL   C
C  IX = NUMERO DE PARTICA (QUALQUER INTEIRO POSITIVO)           C
C  S = DESVIO PADRAO                                         C
C  AM = MEDIA                                         C
CCC
0002      FUNCTION GAUSS(IX,S,AM)
C
0003      A = .0
0004      DO 50 I = 1,12
0005      Y = RANDU (IX,IY)
0006      IX = IY
0007      50 A = A + Y
0008      GAUSS = (A-6.) * S + AM
0009      RETURN
0010      END

```

L 2.5.0 (JUNE 1981)

OS/360 FORTRAN H EXTENDED

DAT

STD OPTIONS: NODECK,NCLIST,CPT=0

NS IN EFFECT: NAME(MAIN) NCEOPTIMIZE LINECOUNT(60) SIZE(MAX) AUTODBL(NONE)
SOURCE EBCDIC NOLIST NODECK OBJECT MAP NUFORMAT GOSTMT XREF NOALC NO

```

CCC          CCC
C  FUNCAO QUE GERA NUMEROS ALEATORIOS ENTRE 0 E 1 CCC C
C  DISTRIBUICAO UNIFORME C
C  IR = PONTO DE PARTIDA, DEVE SER DEFINIDO ANTES DA C
C  CHAMADA (QUALQUER INTEIRO POSITIVO) C
C  APUS A CHAMADA FAZER IR=IRCUT C
CCC          CCC

```

N 0002 FUNCTION RANDU(IR,IRCUT)

```

C
C  IROLT = IR * .66539
C  IF (IROLT) 5,6,6
C  5 IRCUT = IRCUT + 2147483647 + 1
C  6 ROUT = IRCUT
C  RANDU = ROUT / 2147483647.
C  RETURN
C  END

```

L 2.5.0 (JUNE 78)

OS/360 FORTRAN H EXTENDED

DATE

STD OPTIONS: NODECK,NCLIST,CPT=0

NS IN EFFECT: NAME(MAIN) NCCPTIMIZE LINECOUNT(60) SIZE(MAX) AUTODBL(NONE)
SOURCE EECDEC NOLIST NODECK OBJECT MAP NOFORMAT GUSTMT XREF NOALC NO

N 0002 SUBROUTINE CALZ

```

CCC          CCC
C  SUBROTINA PARA CALCULAR O VETOR DE MEDIDAS Z  C
CCC          CCC
CCC          AREA DE COMMON
C

```

```

N 0003      COMMON MECFLG,      REDFLG,      NBUS,      NMED,
G           NUMBUS(128),   NBOMT(750,2),  Z(750),   VAR(750),
P           JCD(750,3),   BIAS(750),    REATCR(64),
I           TTO(192,2),   INEXT(192),   ICCM(192),
C           GE(192),      B2S(192),    TAP(128),
N 0004      COMMON JACE(2500),  LOC2(2500),  LOC1(2500),
G           NMCR,        IX,          NSW,
P           JEN,         INJFLG,     DELZ(750),
I           EUT(10),     IFUT(10),    VARON(750),
C

```

```

N 0005      INTEGER TAFNC
N 0006      LOGICAL MECFLG,REDFLG,JCBFLG,INJFLG
N 0007      COMPLEX GB,TAP,SHUNT
N 0008      REAL JACB
C
N 0009      COMMON AA(2500),      LOCA2(2500),  LOCA3(256),
G           BB(256),        LOCB(256),    LOC3(256),
P           GENBUS(128),   VOLT(128),   PLOAD(128),
I           PGEM(64),     QGEN(64),   ZT(750),
C           BLSNAM(3,128),  REMNAM(3,90), IPREF(100),

```

```

N 0010      COMPLEX VCLT
N 0011      INTEGER GENBUS,BUSNAM,REMNAM
C

```

```

CCCC      FIM DA AREA DE COMMON
N 0012      COMPLEX AMP,YJJ,YJK,XLNT
N 0013      DATA IP/6/
N 0014      IF (ISSK(81).EQ.1) CALL CLOCK(IT1,'CPU')
N 0016      IF (REDFLG) GO TO 10
N 0018      WRITE(IP,717)
N 0019      717 FORMAT(' ** FALTA A CONFIGURACAO DA REDE')
N 0020      STOP 132
N 0021      10 IF(MEDFLG) GO TO 20
N 0023      WRITE(IP,727)
N 0024      727 FORMAT(' ** FALTA A CONFIGURACAO DOS MEDEDORES')
N 0025      STOP 133
C

```

```

N 0026      20 DO 500 I=1,NMED
N 0027      ICCDE=IABS(JCD(1,I))
N 0028      IF (ICCODE.EQ.1) GO TO 100
N 0030      IF (ICCODE.EQ.2 .OR. ICCDE.EQ.3) GO TO 200
N 0032      IF (ICCODE.EQ.4) GO TO 300
N 0034      IF (ICCODE.EQ.5 .OR. ICCDE.EQ.6) GO TO 400
N 0036      WRITE(IP,507) ICCDE
N 0037      507 FORMAT(' ** CODIGO',I5,' ILEGAL')
N 0038      STOP
C

```

L 2.3.0 (JUNE 78)

CALZ

US/360 FORTRAN H EXTENDED

DAT

```

C  ICODE=1 (TENSAO)
C
N 0039
N 0040
N 0041
  100 K=N80MT(I,1)
      ZT(I)=CABS(VCLT(K))
      GO TO 500

C  ICODE=2 OU 3 (INJECAO)
C
N 0042
N 0043
N 0044
N 0046
N 0047
N 0049
N 0050
N 0051
N 0053
  200 K=N80MT(I,1)
      L=GEN2LS(K)
      IF(ICODE.EQ.3) GO TO 210
      ZT(I)=PLCAD(K)
      IF(L.NE.0) ZT(I)=ZT(I)+PGEN(L)
      GO TO 500
  210 ZT(I)=QLOAD(K)
      IF(L.NE.0) ZT(I)=ZT(I)+QGEN(L)
      GO TO 500

C  ICODE=4 (SHUNT)
C
N 0054
N 0055
N 0056
N 0058
N 0059
N 0061
N 0062
N 0063
N 0064
N 0065
N 0066
  300 K=N80MT(I,1)
      XUN=CABS(SHUNT(K))
      IF(XUN.EQ..0) STOP 132
      KSHT=JCD(I,2)
      IF(REATLR(KSHT).NE..0) GO TO 310
      WRITE(IP,307)KSHT
  307 FORMAT(' ** NAO EXISTE O REATOR ',I5)
      STOP
  310 XUNT=CMPLX(.0,REATOR(KSHT))
      ZT(I)=AIMAG(VOLT(K)*CONJG(XUNT*VOLT(K)))
      GO TO 500

C  ICODE=5 OU 6 (FLUXO)
C
N 0067
N 0068
N 0069
N 0070
N 0071
N 0072
N 0074
N 0075
N 0076
N 0077
N 0078
N 0080
N 0081
N 0083
N 0084
N 0085
N 0086
N 0087
  400 NPARA=JCD(I,2)
      NC=JCC(I,3)
      NDE=N8CMT(I,1)
      K=NPARA
      J=NDE
      IF(J.LT.K) GO TO 410
      KTM=J
      J=K
      K=KTM
  410 KW=IFIRST(J)
  420 IF(KW.EQ.0) GO TO 430
      KK=ITC(KW,1)
      IF(KK.EQ.K) GO TO 440
  425 KW=INEXT(KW)
      GO TO 420
  430 WRITE(IP,407)NUMBUS(J),NUMBUS(K),NC
  407 FORMAT(' ** NAO IDENTIFICADA LINHA DE ',I5,' PARA ',I5,' CIRC.',I5)
      STOP

C
N 0088
N 0089
N 0091
N 0093
N 0094
  440 NCX=ITC(KW,2)
      IF(NCX.NE.NC) GO TO 425
      IF(ICCM(KW).EQ.1) GO TO 450
      WRITE(IP,417)KW
  417 FORMAT(' ** MEDICAO EM LINHA ABERTA ',I5,'')

```

L 2.3.0. (JUNE 73)

CALZ

OS/360 FORTRAN H EXTENDED

DAT

```

N 0095      IF(JCC(1,1).GT.0) JCD(1,1)=JCD(1,1)
C
N 0097      450 YJJ=-GE(KW)
N 0098      YJK=GE(KW)
N 0099      KIP=TAFND(KW)
N 0100      IF(KTP.EQ.0) GO TO 460
N 0102      IF(KTP.LT.0 .AND. NDE.LT.NPARA) GO TO 470
N 0104      IF(KTP.GT.0 .AND. NDE.GT.NPARA) GO TO 470
C
N 0106      IF(KTP.LT.0) KTP=-KTP
N 0108      YJJ=YJJ/(TAP(KTP)*CONJG(TAP(KTP)))
N 0109      YJK=YJK/CONJG(TAP(KTP))
N 0110      GO TO 460
C
N 0111      470 IF(KTP.LT.0) KTP=-KTP
N 0113      YJK=YJK/TAP(KTP)
C
N 0114      460 AMP=VCLT(NDE)*(CMPLX(.0,B2S(KW))+YJJ)+VOLT(NPARA)*YJK
N 0115      AMP=VCLT(NDE)*CONJG(AMP)
N 0116      IF(ICCDE.EC.5) GO TO 480
N 0118      ZT(I)=AIMAG(AMP)
N 0119      GO TO 500
N 0120      480 ZT(I)=REAL(AMP)
C
N 0121      500 CONTINUE
C
C
N 0122      IF (ISSN(5).EQ.0) GO TO 520
C
C   Z INICIAL = Z CALCULADO
C
N 0124      IR=10000
N 0125      DO 790 I=1,NMED
N 0126      Z(I)=ZT(I)
N 0127      IF (JCC(1,1).LT.0) GO TO 790
N 0129      IF (Z(I).EQ..0) GO TO 790
C
C   SIMULAR C ERRC CG MEDIDCR
C
N 0131      SIGMA=SQRRT(VAR(I))
N 0132      TRSIG=3.*SIGMA
N 0133      792 XG=GAUSS(IR,SIGMA,.0)
N 0134      IF (ABS(XG).GT.TRSIG) GO TO 792
N 0136      Z(I)=Z(I)+XG
N 0137      790 CONTINUE
C
N 0138      IF (ISSN(2).EQ.0) GO TO 791
N 0140      WRITE(IP,807)
N 0141      807 FORMAT(5X,'CCDIGO',5X,'Z(I)')
N 0142      DO 800 I=1,NMED
N 0143      800 WRITE(IP,817)I,JCD(I,1),Z(I)
N 0144      817 FORMAT(1X,I3,17,F10.4)
N 0145      791 CONTINUE
N 0146      520 IF (ISSN(8).EQ.0) RETURN
N 0148      CALL CLOCK(IT2,'CPU')
N 0149      TM=(IT2-IT1)*.01
N 0150      WRITE(IP,827)TM

```

L 2.3.0 (JUNE 78)

CALZ

OS/360 FORTRAN H EXTENDED

DAT

```
N 0151      827 FORMAT(10X,'TEMPO CPU CALZ =',F6.2)
N 0152      RETURN
N 0153      END
```

L 2.5.0 (JUNE 78)

OS/360 FORTRAN H EXTENDED

DAT

STD OPTIONS: NODECK,NOLIST,CPT=0

NS IN EFFECT: NAME(MAIN) NOOPTIMIZE LINECOUNT(60) SIZE(MAX) AUTODBL(NONE)
SOURCE EBCDIC NOLIST NODECK OBJECT MAP NOFORMAT GOSTMT XREF NOALC NO

N 0002 SUERCUTINE WLS

```

CCC                CCC
C SUBRUTINA PARA ESTIMAR O ESTADO C
C USANDO O METODO CLASSICO - MQP C
CCC                CCC
CCC                AREA DE COMMON
C
N 0003            COMMON    NECFLG,            REDFLG,            NBUS,            NMED,
G                NUMBUS(123),    NBCM1(750,2),    Z(750),            VAR(750),
P                JCC(750,3),     BIAS(750),          REATER(64),        IFIRST(123),
I                ITC(192,2),     INEXT(192),        ICO1(192),        TAPNO(192),
C                GB(192),        B2S(192),          TAP(123),        SHUNT(123)
N 0004            COMMON    JAC2(2500),        LOC2(2500),        LOC1(2500),        X(256),
G                NMCA,            IX,                NSW,                JST,
P                JEN,            INJFLG,        CELZ(750),        JCBFLG,
I                FUT(10),        IFUT(10),        VARON(750),        ISSW(10)
C
N 0005            INTEGER    TAPNC
N 0006            LOGICAL    MEDFLG,REDFLG,JCBFLG,INJFLG
N 0007            COMPLEX    GE,TAP,SHUNT
N 0008            REAL      JACB
C
N 0009            COMMON    AA(2500),        LCCA2(2500),        LOCA3(256),        LOCA4(256),
G                BB(256),        LOC3(256),        LOC3(256),        ICAB(33),
P                GENBLS(123),    VCLT(123),        PLOAD(123),        QLOAD(123),
I                PGEN(64),      QGEN(64),        ZT(750),        LUC5(2500),
C                BLSNAM(3,128), REMNAM(3,90),    IPREF(100),        NTENS(123)
C
N 0010            COMPLEX    VCLT
N 0011            INTEGER    GENBLS,BUSNAM,REMNAME
C
CCCC              FIM DA AREA DE COMMON
N 0012            DIMENSION XA(256),EBB(256),IK(256),AA1(2500),LOC4(2500)
N 0013            EQUIVALENCE (IFUT(1),ITER),(IFUT(10),REPET),(IFUT(9),CONV)
N 0014            LOGICAL REPET,CONV
N 0015            INTEGER CO
N 0016            DATA EPS/.001/
N 0017            DATA IP/6/
C
N 0018            N=2*NELS-1
N 0019            CALL CJAC1
N 0020            800 IF (ISSW(8).EQ.1) CALL CLOCK(IT1,'CPU')
N 0022            IF(.NCT.JCBFLG) GO TO 540
C
C                ORDENACAO POR COLUNA
C
N 0024            DO 791 I=1,N
N 0025            LOC3(I)=0
N 0026            791 CONTINUE
N 0027            DO 790 I=1,IX
N 0028            IC=LCC2(I)
N 0029            LCC3(IC)=LCC3(IC)+1
N 0030            790 CONTINUE

```

L 2.3.0 (JUNE 76)

WLS

US/360 FORTRAN H EXTENDED

DAT

```

N 0031      IK(1)=1
N 0032      DO 792 I=2,N
N 0033      IF(LCC3(I-1).NE.0) GO TO 793
N 0034      WRITE(IP,707) I
N 0035      707 FORMAT(10X,'NAO OBSERVAVEL  I=',I2)
N 0036      STOP 125
N 0037      793 IK(1)=IK(I-1)+LOC3(I-1)
N 0038      LOC3(I-1)=IK(I-1)
N 0039      792 CONTINUE
N 0040      LOC3(N)=IK(N)
N 0041      LOC3(N+1)=IX+1
N 0042      DO 440 I=1,IX
N 0043          IC=LOC2(I)
N 0044          IE=IK(IC)
N 0045          AA(IE)=JACB(I)
N 0046          LUCA2(IE)=LCC1(I)
N 0047          IK(IC)=IK(IC)+1
N 0048      440 CONTINUE
N 0049

C
N 0050      DO 290 I=1,IX
N 0051          AA1(I)=AA(I)
N 0052          LOC4(I)=LCCA2(I)
N 0053      290 CONTINUE
C
C CALCULC DE B
C
N 0054      540 BC=.0
N 0055      DO 20 I=1,N
N 0056          LI=LOC2(I)
N 0057          LS=LCC3(I+1)-1
N 0058          DO 30 J=LI,LS
N 0059              BC=BC+AA1(J)*DELZ(LCC4(J))/VARGN(LCC4(J))
N 0060      30 CONTINUE
N 0061          BB(I)=BC
N 0062          BC=.0
N 0063          IF(.NET.JCBFLG1 GO TO 20
N 0064          LOC8(I)=I
N 0065      20 CONTINUE
N 0066          IF(.NET.JCBFLG1 GO TO 100
N 0067

C
C ORDENACAC
C
N 0069      DO 300 I=1,N
N 0070          LOCA4(I)=C
N 0071      300 CONTINUE
N 0072      DO 301 I=1,IX
N 0073          IC=LOC2(I)
N 0074          LOCA4(IC)=LCCA4(IC)+1
N 0075      301 CONTINUE
N 0076      303 ITRC=C
N 0077          LS=N-1
N 0078          DO 302 I=1,LS
N 0079              IF(LOCA4(I).LE.LOCA4(I+1)) GO TO 302
N 0080              IT=LOCA4(I)
N 0081              LOCA4(I)=LCCA4(I+1)
N 0082              LOCA4(I+1)=IT
N 0083              IT=LOC8(I)
N 0084              LOCB(I)=LOCB(I+1)
N 0085

```

L 2.3.0 (JUNE 78)

WLS

OS/360 FORTRAN H EXTENDED

DAT

```

N 0086      LOC(I+1)=IT
N 0087      ITRC=1
N 0088      302 CONTINUE
N 0089      IF(ITRC.NE.0) GO TO 503
C
C   CALCUL DE A
C
N 0091      IJ=0
N 0092      BC=.0
N 0093      DO 40 I=1,N
N 0094      II=LCCB(I)
N 0095      LOCA3(I)=IJ+1
N 0096      DU 50 J=1,N
N 0097      JJ=LCCB(J)
N 0098      IF(I.GT.J) GO TO 50
N 0100      IF(I.EQ.J) GO TO 660
N 0102      IKJ=0
N 0103      LIN=LCC3(JJ)
N 0104      LI=LCC3(II)
N 0105      LS=LCC3(II+1)-1
N 0106      DO 70 K=LI,LS
N 0107      K1=LCC4(K)
N 0108      LS1=LCC3(JJ+1)-1
N 0109      DO 80 L=LIN,LS1
N 0110      IF(LCC4(L).EQ.K1) GO TO 90
N 0112      IF(LCC4(L).GT.K1) GO TO 780
N 0114      80  CONTINUE
N 0115      GO TO 70
N 0116      90  BC=BC+AA1(K)*AA1(L)/VARN(K1)
N 0117      IKJ=1
N 0118      780 LIN=L
N 0119      70  CONTINUE
N 0120      IF(IKJ.EQ.0) GO TO 50
N 0122      690 IJ=IJ+1
N 0123      AA(IJ)=BC
N 0124      BC=.0
N 0125      LOCA2(IJ)=J
N 0126      LOCA5(IJ)=IJ+1
N 0127      GO TO 50
N 0128      660 BC=.0
N 0129      LI1=LCC3(JJ)
N 0130      LS1=LCC3(JJ+1)-1
N 0131      DO 670 M=LI1,LS1
N 0132      K1=LCC4(M)
N 0133      BC=BC+AA1(M)*AA1(M)/VARN(K1)
N 0134      670  CONTINUE
N 0135      GO TO 690
N 0136      50  CONTINUE
N 0137      LOCA5(IJ)=0
N 0138      40  CONTINUE
N 0139      IDISP=IJ+1
N 0140      IF (ISSH(2).EQ.0) GC TO 1001
N 0142      WRITE(IP,1007)
N 0143      1007 FORMAT(//5X,'I  LOCA3//')
N 0144      DO 1000 I=1,N
N 0145      1000 WRITE(IP,1017),LOCA3(I)
N 0146      1017 FORMAT(7X,13,4X,I4)
N 0147      WRITE(IP,1027)

```

E 2.3.0 (JUNE 78)

KLS

OS/360 FORTRAN H EXTENDED

DATE

```

N 0148      1027 FORMAT(//3X,'I',7X,'AA',5X,'LUCA2',LOC5'/)
N 0149      DO 1002 I=1,1DISP
N 0150      1002 WRITE(IP,1037)I,AA(I),LOCA2(I),LOC5(I)
N 0151      1037 FORMAT(1X,[4,1X,E10.4,2X,I4,3X,I4]
N 0152      1001 CONTINUE
C
C   TRIANGULACAO
C
N 0153      CALL TRIAN(LOCA3,LOC5,LOCA2,AA,1DISP,N)
C
C   CALCULC DE INV(A)*B
C
N 0154      100 DO 120 I=1,N
N 0155      BBB(I)=BB(I)
N 0156      120 CONTINUE
N 0157      DO 130 I=1,N
N 0158      BB(I)=BB(LCCB(I))
N 0159      130 CONTINUE
N 0160      CALL PRCD(LOCA3,LOC5,LOCA2,AA,N,BB)
C
N 0161      DO 480 I=1,N
N 0162      XA(I)=BB(I)
N 0163      480 CONTINUE
C
N 0164      AT1=.0
N 0165      AT2=.0
N 0166      AT3=.0
N 0167      IP1=0
N 0168      IP2=0
N 0169      IP3=0
N 0170      DO 240 I=1,N
N 0171      IF(ABS(XA(I)).LT.ABS(AT1)) GO TO 242
N 0173      AT3=AT2
N 0174      IP3=IP2
N 0175      AT2=AT1
N 0176      IP2=IP1
N 0177      AT1=XA(I)
N 0178      IP1=LCCB(I)
N 0179      GO TO 241
N 0180      242 IF (ABS(XA(I)).LT.ABS(AT2)) GO TO 243
N 0182      AT3=AT2
N 0183      IP3=IP2
N 0184      AT2=XA(I)
N 0185      IP2=LCCB(I)
N 0186      ~ GO TO 241
N 0187      243 IF (ABS(XA(I)).LT.ABS(AT3)) GO TO 241
N 0189      AT3=XA(I)
N 0190      IP3=LCCB(I)
N 0191      241 I1=LCCB(I)
N 0192      X(I1)=X(I1)+XA(I)
N 0193      240 CONTINUE
N 0194      IF(ISS<4).LT.0) JCBFLG=.FALSE.
N 0196      IF(ISS>4).GE.0) JCBFLG=.TRUE.
N 0195      IF(ISS<1).LT.0) WRITE(IP,7)ITER,AT1,IP1,AT2,IP2,AT3,IP3
N 0200      7 FORMAT(2X,I3,3(6X,F10.6,3X,I3))
N 0201      IF (ABS(AT1).GT.1.1) GO TO 250
N 0203      IF (ABS(AT1).LT.EPS) GO TO 230
N 0205      ITER=ITER+1

```

L 2.3.0 (JUNE, 78)

WLS

OS/360 FCRTRAN H EXTENDED

DAT

```

N 0206      IF (ITER.EQ.16) GO TO 250
C           IF(ITER.GE.101) STOP CC40
N 0208      CALL CJAC1
N 0209      IF (ISSKL8).EQ.0) GO TO 800
N 0211      CALL CLKOK(IT2,'CPU')
N 0212      TM=(IT2-IT1)*.01
N 0213      WRITE(IP,37)ITER,TM
N 0214      37 FORMAT(10X,'TEMPO CPU WLS ITER',13,' ',F6.2)
N 0215      GO TO 800
C
N 0216      230 WRITE(IP,17)ITER
N 0217      17 FORMAT(' CONVERGIU EM ',13,' ITERACCES')
N 0218      CONV=.TRUE.
N 0219      RETURN
N 0220      250 WRITE(IP,27)ITER
N 0221      27 FORMAT(' NAG CONVERGIU COM',13,' ITERACCES')
N 0222      CONV=.FALSE.
N 0223      RETURN
N 0224      END

```

L 2.5.0 (JUNE 78)

OS/360 FORTRAN H EXTENDED

DAT

STED OPTIONS: NODECK,NOLIST,CPT=0

NS IN EFFECT: NAME(MAIN) NCOPTIMIZE LINECOUNT(60) SIZE(MAX) AUTOUBL(NGNE)
SOURCE EBCDIC NOLIST NODECK OBJECT MAP NOFORMAT GOSTMI XREF NOALC NO

N 0002 SUBROUTINE CJAC1
 CCC CCC
 C SUBRUTINA PARA CALCULAR O VETOR {Z-H(X)} C
 C SE JCBFLG=.TRUE. CALCULA A MATRIZ JACOBIANA C
 CCC CCC
 CCC AREA DE COMMON
 C

N 0003 COMMON MECFLG, REDFLG, NBUS,
 G NUMBUS(128), NBOMT(750,2), Z(750), NMED,
 P JCC(750,3), BIAS(750), REATOR(64), VAR(750),
 I ITG(192,2), INEXT(192), ICCM(192), IFIRST(128),
 C GE(192), B2S(192), TAP(128), TAPNO(192),
 N 0004 COMMON JACE(2500), LCC(2500), LOC(2500), SHUNT(128)
 G NMCN, IX, NSW, X(256),
 P JEN, INJFLG, DELZ(750), JST,
 I FUT(10), IFUT(10), VARON(750), JCBFLG,
 C INTEGER TAPNO
 N 0006 LOGICAL MECFLG,REDFLG,JCBFLG,INJFLG
 N 0007 COMPLEX GE,TAP,SHUNT
 N 0008 REAL JACB
 C COMMON AA(2500), LOCA2(2500), LOCA3(256), LOCA4(256),
 G BB(256), LOCB(256), LOC3(256), ICAB(33),
 P GENBLS(128), VOLT(128), PLOAD(128), QLOAD(128),
 I PGEN(64), QGEN(64), ZT(750), LCC5(2500),
 C BLNAM(3,128), REMNAM(3,90), IPREF(100), NTENS(128)
 C COMPLEX VLCI
 N 0010 INTEGER GENBUS,BUSNAM,REMNAM
 C COMMON FIM DA AREA DE COMMON
 N 0012 DATA IP/6/
 N 0013 NELX=2500
 N 0014 NMCH=0
 N 0015 IF(.NCT.JCBFLG) GO TO 10
 N 0017 IX=0
 N 0018 10 DO 700 I=1,NMED
 N 0019 IF(JCC(I,1).LT.0) GO TO 700
 N 0021 IF(IX.GE.NELX) STOP 120
 N 0023 IF(.NCT.JCBFLG) GO TO 20
 N 0025 IX=IX+1
 N 0026 20 NMCN=NMCN+1
 N 0027 VARCN(NMON)=VAR(I)
 N 0028 ICODE=JCD(I,1)
 N 0029 GO TO (100,200,200,400,500,500),ICCDE
 C MEDICAC DE TENSAG
 C 100 K=NBT(I,1)
 N 0031 DELZ(NMCN)=Z(I)-X(K)
 N 0032 IF(.NCT.JCBFLG) GO TO 700
 N 0034 JACE(IX)=1.

L 2.3.0 (JUNE 78)

CJAC1

OS/360 FORTRAN H EXTENDED

DATE

N 0035 LOC1(IX)=NMCA
 N 0036 LOC2(IX)=K
 N 0037 GO TO 700

C
 C MEDICAC DE INJECAO
 C

N 0038 200 K=NECM1(I,1)
 N 0039 JST=IX
 N 0040 JEN=IX
 N 0041 INJFLG=.FALSE.
 N 0042 DELZ(NMCN)=Z(I)
 N 0043 IF(K.LT.2) GO TO 250
 N 0045 LS=K-1
 N 0046 DO 240 L=1,LS
 N 0047 IV=-1
 N 0048 Kw=IFIRST(L)
 N 0049 220 IF(KW.EQ.0) GO TO 240
 N 0051 KK=ITC(KW,1)
 N 0052 IF(KK.EQ.K) GO TO 230
 N 0054 225 Kw=INEXT(KW)
 N 0055 GO TO 220
 N 0056 230 IF(ICCM(KW).EQ.0) GO TO 225
 N 0058 IF(INJFLG.AND.JCBFLG) IX=IX+1
 N 0060 CALL JFLOK1(L,K,KW,IV,ICODE)
 N 0061 IF(IX.GT.NELX) STOP 121
 N 0063 IF(JCBFLG) CALL SCMAT
 N 0065 GO TO 225
 N 0066 240 CONTINUE
 N 0067 250 IV=1
 N 0068 Kw=IFIRST(K)
 N 0069 260 IF(KW.EQ.0) GO TO 270
 N 0071 IF(ICCM(KW).EQ.0) GO TO 265
 N 0073 KK=ITC(KW,1)
 N 0074 IF(INJFLG.AND.JCBFLG) IX=IX+1
 N 0076 CALL JFLOK1(K,KK,KW,IV,ICODE)
 N 0077 IF(IX.GT.NELX) STOP 122
 N 0079 IF(JCBFLG) CALL SCMAT
 N 0081 265 Kw=INEXT(KA)
 N 0082 GO TO 260
 N 0083 270 IF(ICCM.EQ.2) GO TO 700
 N 0085 XUN=CABS(SHUNT(K))
 N 0086 IF(XUN.EQ.0) GO TO 700
 N 0088 DELZ(NMCN)=DELZ(NMOM)+X(K)*X(K)*AIMAG(SHUNT(K))
 N 0089 IF(.NOT.JCBFLG) GO TO 700
 N 0091 IX=IX+1
 N 0092 IF(IX.GT.NELX) STOP 123
 N 0094 JACB(IX)=2.*X(K)*AIMAG(-SHUNT(K))
 N 0095 LOC1(IX)=NMCA
 N 0096 LOC2(IX)=K
 N 0097 CALL SCMAT
 N 0098 GO TO 700

C
 C MEDICAC NO REATOR OU CAPACITOR
 C

N 0099 400 K=JCD(I,2)
 N 0100 RX=-REATOR(K)
 N 0101 K=NECM1(I,1)
 N 0102 DELZ(NMCN)=Z(I)-X(K)*X(K)*RX

2.3.0 (JUNE 78) CJAC1 OS/360 FORTRAN H EXTENDED DATE

```

C 0103 IF(I,NCT,JCBFLG) GO TO 700
N 0105 JACE(IX)=2.*X(K)*RX
N 0106 LOC1(IX)=NMCN
N 0107 LOC2(IX)=K
N 0108 GO TO 700

C MECICAC DE FLUXO
C
N 0109 NDE=NBCMT(I,1)
N 0110 NPARA=JCD(I,2)
N 0111 NC=JCD(I,3)
N 0112 JST=IX
N 0113 J=NDE
N 0114 K=NPARA
N 0115 IV=1
N 0116 IF(J.LT.K) GO TO 510
N 0118 KTM=J
N 0119 J=K
N 0120 K=KTM
N 0121 IV=-1
N 0122 510 KW=IFIRST(J)
N 0123 IF(KW.EQ.0) STOP 002
N 0125 KK=ITC(KW,1)
N 0126 IF(KK.EQ.K) GO TO 540
N 0128 525 KW=INEXT(KW)
N 0129 GO TO 520
N 0130 540 NCX=ITC(KW,2)
N 0131 IF(NCX.NE.NC) GO TO 525
N 0133 DELZ(NMCN)=Z(I)
N 0134 CALL JFLOK1(J,K,KW,IV,ICODE)
N 0135 IF(IX.GT.NELX) STOP 124

C 700 CONTINUE
C
N 0138 IF (ISSK(2).EQ.0) RETURN
N 0140 WRITE(IP,827)
N 0141 827 FORMAT(3X,'I',10X,DELZ')
N 0142 DO 810 I=1,NMCN
N 0143 810 WRITE(IP,E37)I,DELZ(I)
N 0144 837 FORMAT(1X,I3,1X,F9.3)
N 0145 WRITE(IP,807)
N 0146 807 FORMAT(6X,'LOC1',6X,'LOC2',5X,'JACE')
N 0147 DU 800 I=1,IX
N 0148 800 WRITE(IP,E17)I,LOC1(I),LOC2(I),JACE(I)
N 0149 817 FORMAT(1X,I4,I5,I10,1X,E12.5)
N 0150 RETURN
N 0151 END

```

L 2.3.0 (JUNE 76)

OS/360 FORTRAN H EXTENDED

DAT

STDU OPTIONS: NODECK,NCLIST,CPT=0

NS IN EFFECT: NAME(MAIN) NOCPOTIMIZE LINECOUNT(60) SIZE(MAX) AUTODBL(NCNE):
SOURCE E2COIC NOLIST NODECK OBJECT MAP NUFORMAT GOSTMT XREF NOLALG NO

N 0002 SUBROUTINE JFLOW1(I,J,KW,IV,ICODE)

CCC

C SUBRÔTINA PARA CALCULAR O DELTA Z E A PARTE DO JACOBIANO C
C CORRESPONDENTE ACS MEDIDORES DE FLUXO C

CCC

CCC

AREA DE COMMON

CCC

C

CCC

N 0003

COMMON MECFLG, -REFLG, NBUS, NMED,

G NUMBUS(128), N8GMT(750,2), Z(750), VAR(750),

P JCC(750,3), BIAS(750), REATOR(64), IFIRST(128),

I IT0(192,2), INEXT(192), ICOM(192), TAPNO(192),

C GE(192), B2S(192), TAP(128), SHUNT(128)

N 0004

COMMON JACE(2500), LOC2(2500), LOC1(2500), X(256),

G NMCA, IX, NSW, JST,

P JEN, INJFLG, DELZ(750), JC8FLG,

I FUT(10), IFUT(10), VARON(750), ISSW(10)

C

N 0005

INTEGER TAPNC

N 0006

LOGICAL MECFLG,REFLG,JCBFLG,INJFLG

N 0007

COMPLEX GE,TAP,SHNT

N 0008

REAL JACB

N 0009

COMMON AA(2500), LOCA2(2500), LOCA3(256), LOCA4(256),

G BB(256), LOC3(256), ICAB(33),

P GENBLS(128), VOLT(128), PLOAD(128), QLOAD(128),

I PGEN(64), QGEN(64), ZT(750), LOC5(2500),

C BUSNAM(3,128), REMNAM(3,90), IPREF(100), NTENS(128)

C

N 0010

COMPLEX VCLT

N 0011

INTEGER GENBLS,BUSNAM,REMNAME

C

CCCC

FIM DA AREA DE COMMON

N 0012

COMPLEX YIJ,YII

N 0013

YIJ=-GE(KW)

N 0014

YII=-GE(KW)

N 0015

KTP=TAPNO(KW)

N 0016

IF(KTP.EQ.0) GO TO 20

N 0018

IF(IV.EC.-1) KTP=-KTP

N 0020

IF(KTP.LT.0) GO TO 10

N 0022

YII=YII/(TAP(KTP)*CONJG(TAP(KTP)))

N 0023

YIJ=YIJ/CONJG(TAP(KTP))

N 0024

GO TO 20

N 0025

10 KTP=-KTP

N 0026

YIJ=YIJ/TAP(KTP)

N 0027

20 IT=I

N 0028

IF(I.GT.NSW) IT=IT-1

N 0030

JT=J

N 0031

IF(J.GT.NSW) JT=JT-1

N 0033

IDX=NELS+IT

N 0034

JDX=NELS+JT

N 0035

ANGI=X(IDX)

N 0036

IF(I.EC.NSW) ANGI=.0

N 0038

ANGJ=X(JDX)

L 2.3.0 (JUNE 78)

JFL0K1

OS/360 FORTRAN H EXTENDED

DAT

```

N 0039      IF(J.EQ.NSW1 ANGJ=.0
N 0041      ANG=ANGI-ANGJ
N 0042      COSX=COS(ANG)
N 0043      SINX=SIN(ANG)
N 0044      IF(IV.EQ.-1) SINX=-SINX
N 0046      VI=X(I)
N 0047      VJ=X(J)
N 0048      IF(ICCDE.EQ.2 .OR. ICCDE.EQ.5) GO TO 90
N 0050      A=REAL(YIJ)
N 0051      B=-AIMAG(YIJ)
N 0052      E=-B2S(K)-AIMAG(YII)
N 0053      GO TO 100
N 0054      90 A=AIMAG(YIJ)
N 0055      B=REAL(YIJ)
N 0056      E=REAL(YII)
N 0057      100 V=VI
N 0058      IF(IV.EQ.-1)V=VJ
N 0060      DELZ(NMON)=DELZ(NMON)-V*V+E*VI*VJ*(A*SINX+B*COSX)
N 0061      IF(.NOT.JCBFLGI) GO TO 170
N 0063      DO 160 L=1,4
N 0064      LOC1(IX)=NMON
N 0065      GO TO (110,120,130,140),L
N 0066      110 JACB(IX)=-VJ*(A*SINX+B*COSX)
N 0067      IF(IV.EQ.1) JACB(IX)=JACB(IX)+2.*VI*E
N 0069      LOC2(IX)=I
N 0070      GO TO 150
N 0071      120 JACB(IX)=-VI*(A*SINX+B*COSX)
N 0072      IF(IV.EQ.-1) JACB(IX)=JACB(IX)+2.*VJ*E
N 0074      LOC2(IX)=J
N 0075      GO TO 150
N 0076      130 IF(I.EQ.NSR) GO TO 160
N 0078      JACB(IX)=-VI*VJ*(-B*SINX+A*COSX)
N 0079      IF(IV.LT.0) JACB(IX)=-JACB(IX)
N 0081      LOC2(IX)=IDX
N 0082      GO TO 150
N 0083      140 IF(J.EQ.NSR) GO TO 149
N 0085      JACB(IX)=VI*VJ*(-B*SINX+A*COSX)
N 0086      IF(IV.LT.0) JACB(IX)=-JACB(IX)
N 0088      LOC2(IX)=JDX
N 0089      GO TO 160
N 0090      149 IX=IX-1
N 0091      GO TO 160
N 0092      150 IX=IX+1
N 0093      160 CONTINUE
N 0094      170 RETURN
N 0095      END

```

L 2.3.0 (JUNE 78)

OS/360 FORTRAN H EXTENDED

DATE

STD OPTIONS: NODECK,NOLIST,CPT=0

NS IN EFFECT: NAME(MAIN) NCCFTIMIZE LINECOUNT(60) SIZE(MAX) AUTOBBL(NONE)
SOURCE EBCDIC NOLIST NODECK OBJECT MAP NUFORMAT GOSTMT XREF NOALG NO

N 0002 SUBROUTINE SCMAT

CCC
 C SUBRUTINA PARA CALCULAR A PARTE DA MATRIZ JACOBIANA C
 C CORRESPONDENTE AOS MEDIDORES DE INjecac C
 CCC
 CCC
 AREA DE COMMON

CCC
 C

N 0003 COMMON MECFLG, REDFLG, NBUS, NMED,
 G NUMBS(128), NBGMT(750,2), Z(750), VAR(750),
 P JCD(750,31), BIAS(750), REATOR(64), IFIRST(128),
 I IT0(192,2), INEXT(192), ICOM(192), TAPNO(192),
 C QB(192), B2S(192), TAP(128), SHUNT(128)
 N 0004 COMMON JACB(2500), LOC2(2500), LOC1(2500), X(256),
 G NMCR, IX, NSW, JST,
 P JEN, INJFLG, DELZ(750), JCBFLG,
 I FUT(10), IFUT(10), VARON(750), ISSW(10)

C
 C

N 0005 INTEGER TAPNC
 N 0006 LOGICAL MECFLG, REDFLG, JCBFLG, INJFLG
 N 0007 COMPLEX GE, TAP, SHUNT
 N 0008 REAL JACB

C
 C

N 0009 COMMON AA(2500), LOCA2(2500), LOCA3(256), LOCA4(256),
 G BB(256), LOCB(256), LOC3(256), ICAB(33),
 P GENBS(128), VOLT(128), PLOAD(128), QLOAD(128),
 I PGEN(64), QGEN(64), ZT(750), LOC5(2500),
 C BLSNAM(3,128), REMNAM(3,90), IPREF(100), NTENS(128)

C
 C

N 0010 COMPLEX VLCI
 N 0011 INTEGER GENBUS, BUSNAM, REMNAM

C
 CCCCC

FIM DA AREA DE COMMON

```

N 0012 IF(.NET.INJFLG) GO TO 100
N 0014 ISP=0
N 0015 LIM2=JST
N 0016 LIM1=JEN+1
N 0017 5 DO 40 J=LIM1,IX
N 0018   I=LOC2(J)
N 0019   IF(LIM2.GT.JEN) GO TO 70
N 0021   DO 10 K=LIM2,JEN
N 0022   IF(I.EQ.LOC2(K)) GO TO 15
N 0024   IF(I.LT.LOC2(K)) GO TO 20
N 0026   10 CONTINUE
N 0027   IF(ISP.EQ.0) GO TO 100
N 0029   GO TO 70
N 0030   15 JACB(K)=JACB(K)+JACB(J)
N 0031   ISP=ISP+1
N 0032   GO TO 39
N 0033   20 XTEMP=JACB(J)
N 0034   DO 30 KK=K,JEN
N 0035   KX=K+JEN-KK
N 0036   LOC2(KX+1)=LOC2(KX)
N 0037   30 JACB(KX+1)=JACB(KX)

```

L 2.3.0 (JUNE 78)

SCMAT

OS/360 FORTRAN H EXTENDED

DAT

```
N 0038      LOC2(K)=I
N 0039      JAC2(K)=X TEMP
N 0040      JEN=JEN+1
N 0041      39 LIM2=K+1
N 0042      40 CONTINUE .
N 0043      GO TO 60
N 0044      70 DO 75 I=J,IX
N 0045      LOC2(I-ISP)=LOC2(I)
N 0046      JACB(I-ISP)=JACB(I)
N 0047      75 CONTINUE
N 0048      60 IX=IX-ISP
N 0049      100 JEN=IX
N 0050      INJFLG=.TRUE.
N 0051      RETURN
N 0052      END
```

L 2.5.0 (JUNE 78)

DS/360 FCKTRAN H EXTENDED

DAT

STD OPTIONS: NODECK,NCLIST,CPT=0

NS IN EFFECT: NAME(MAIN) NCOPTIMIZE LINECOUNT(60) SIZE(MAX) AUTODBL(NONE)
SOURCE EBCCIC NOLIST NODECK OBJECT MAP NOFORMAT GOSTMT XREF NOALC NO:

```

N 0002      SUBROUTINE TRIAN(IFIE,NEXB,ICOB,B,ICISP,NC)
CCC          CCC
C   SUBRUTINA PARA TRIANGULARIZAR C
C   UMA MATRIZ SIMETRICA           C
CCC          CCC
N 0003      DIMENSION IFIB(1),NEXB(1),ICOB(1),B(1)
C
N 0004      IDISP1=IDISP
N 0005      LS=AD-1
N 0006      DO 10 I=1,LS
N 0007      J=IFIB(I)
N 0008      IF(NEXB(J).EQ.0) GO TO 10
N 0009      A1=B(J)
C
C   ZERAR OS ELEMENTOS DA COLUNA I
C
N 0011      30 J=NEXB(J)
N 0012      IF(J.EQ.0) GO TO 20
N 0014      IC=ICOB(J)
N 0015      B1=B(J)
N 0016      K=IFIB(IC)
N 0017      B(K)=B(K)-B1*B1/A1
N 0018      L=J
N 0019      80 L=NEXB(L)
N 0020      IF(L.EQ.0) GO TO 30
N 0022      IC1=ICOB(L)

C
C   VER SE JA EXISTE O ELEMENTO
C
N 0023      K1=K
N 0024      K=NEXB(K)
N 0025      70 IF(K.EQ.0) GO TO 50
N 0027      M=ICOB(K)
N 0028      IF(M.GT.IC1) GO TO 50
N 0030      IF(M.EQ.IC1) GO TO 60
N 0032      K1=K
N 0033      K=NEXB(K)
N 0034      GO TO 70

C
C   JA EXISTE
C
N 0035      60 B(K)=B(K)-B1*B(L)/A1
N 0036      GO TO 80

C
C   NAO EXISTE
C
N 0037      50 B(IDISP)=-B1*B(L)/A1
N 0038      ICOB(IDISP)=IC1
N 0039      NEXB(IDISP)=NEXB(K1)
N 0040      NEXB(K1)=IDISP
N 0041      K=IDISP
N 0042      IDISP=IDISP+1
N 0043      IF(IDISP.GT.2500) STOP 003

```

L 2.3.0 (JUNE 78) TRIAN OS/360 FORTRAN H EXTENDED DAT

N 0045 GO TO 80
C
C DIVIDIR OS ELEM. DA LINHA I PELO ELEM. DA DIAGONAL
C
N 0046 20 J=IFIB(I).
N 0047 90 J=NEXB(J).
N 0048 IF(J.EQ.0) GO TO 10.
N 0050 B(I)=B(I)/A(I).
N 0051 GO TO 90.
C
N 0052 10 CONTINUE
C
N 0053 RETURN
N 0054 END

L 2.5.0 (JUNE 73)

OS/360 FORTRAN H EXTENDED

DAT

STD OPTIONS: NODECK,NOLIST,CPT=0

NS IN EFFECT: NAME(MAIN) NCOPTIMIZE LINECOUNT(60) SIZE(MAX) AUTOUBL(NONE).
SOURCE EBCDIC NOLIST NODECK OBJECT MAP NOFORMAT GOSTMT XREF NOALC NO-

```

N 0002      SUBROUTINE PROD(IFIB,NEXB,ICOB,B,ND,V)
  CCC          CCC
  C  SUBRUTINA PARA EFETUAR O PRODUTO INV(A)*(B)  C
  C  A = MATRIZ TRIANGULARIZADA                  C
  C  B = TECMA INDEPENDENTE                      C
  C  C RESULTADO FICA EM B                      C
  CCC          CCC
N 0003      DIMENSION IFIB(1),NEXB(1),ICOB(1),B(1),V(1)
  C
N 0004      LS=NC-1
N 0005      DO 10 I=1,LS
N 0006      J=IFIB(I)
N 0007      20 J=NEXB(J)
N 0008      IF(J.EQ.0) GO TO 10
N 0009      IC=ICOB(J)
N 0010      V(IC)=V(IC)-B(J)*V(I)
N 0011
N 0012      GO TO 20
N 0013      10 CONTINUE
  C
N 0014      DO 30 I=1,ND
N 0015      J=IFIB(I)
N 0016      V(I)=V(I)/B(J)
N 0017      30 CONTINUE
  C
N 0018      LS=ND-1
N 0019      DO 40 K=1,LS
N 0020      I=LS+1-K
N 0021      J=IFIB(I)
N 0022      50 J=NEXB(J)
N 0023      IF(J.EC.0) GO TO 40
N 0024      IC=ICCB(J)
N 0025      V(I)=V(I)-B(J)*V(IC)
N 0026
N 0027      GO TO 50
N 0028      40 CONTINUE
  C
N 0029      RETURN
N 0030      END

```

L 2.3.0 (JUNE 78)

OS/360 FORTAN H EXTENDED

DATA

STD OPTIONS: NODECK,NCLIST,OPT=0

NS IN EFFECT: NAME(MAIN) NOCPIMIZE LINECOUNT(60) SIZE(MAX) AUTODBL(NONE)
SOURCE EBCDIC NOLIST NODECK OBJECT MAP NUFORMAT 30STM XREF NOALC NO

N 0002

SUBROUTINE RECDUN(XLI)

CCC

C SUBRUTINA PARA SELECCIONAR OS MEDIDORES DE MODA A C
C UNIFORMIZAR A REDUNDANCIA LOCAL DE CADA BARRA C
C TENDO COMO REFERENCIA O LIMITE INFERIOR XLI C

CCC

CCC AREA DE COMMON

C

N 0003

CUMPCN	MEDFLG,	REDFLG,	NBUS,	NMED,
G	NUMBUS(123),	N8DMT(750,2),	Z(750),	VAR(75),
P	JCD(750,3),	BIAS(750),	REATCR(64),	IFIRST(123),
I	ITD(192,2),	INEXT(192),	ICOM(192),	TAPNO(192),
C	GB(192),	B2S(192),	TAP(123),	SHUNT(128)
N 0004	COMMON JACB(2500),	LOC2(2500),	LOC1(2500),	X(256),
G	NMCN,	IX,	NSW,	JST,
P	JEN,	INJFLG,	DELZ(750),	JCBFLG,
I	FUT(10),	IFUT(10),	VARON(750),	ISSH(10)

C

N 0005

INTEGER TAPNC

N 0006

LOGICAL MEDFLG,REDFLG,JCBFLG,INJFLG

N 0007

COMPLEX GB,TAP,SHUNT

N 0008

REAL JACB

C

N 0009

COMMON	AA(2500),	LOCA2(2500),	LOCA3(256),	LOCA4(256),
G	BB(256),	LOC0(256),	LOC3(256),	ICAB(33),
P	GENBLS(123),	VCLT(128),	PLCAC(128),	QLOAD(128),
I	PGEN(64),	QGEN(64),	ZT(750),	LOC5(2500),
C	BLSNAM(3,123),	RENNAM(3,90),	IPREF(100),	NTENS(123)

C

N 0010

COMPLEX VCLT

N 0011

INTEGER GENBLS,BUSNAM,RENNAM

C

CCCC

FIM DA AREA DE COMMON

N 0012

DIMENSION MEDID(128),RLOC(128),IPUD(128),RLOC1(128),

* LISBL(20),MEDID1(123)

N 0013

EQUIVALENCE (IFUT(4),APREF)

N 0014

REAL NM,NVA

N 0015

DATA IP/6/

C

N 0016

IF (ISSH(8).EQ.1) CALL CLOCK(IT1,'CPU')

N 0018

WRITE(IP,17)XL1

N 0019

17 FORMAT('1',10X,'RELATORIO DO REDUN(',F3.1,')',//,37X,'ANTES',12X,
* 'APOS',//,11X,'I',3X,'BARRA',9X,'Q.MED R.LOC',3X,
* 'Q.MED R.LOC')/

N 0020

IPAGE=6

C

N 0021

IQM=0

N 0022

IF (NPREF.EQ.0) GO TO 10

C

C RETIRAR OS MEC. PREF. DO PROCESSO

C

N 0024

DO 12 I=1,NPREF

N 0025

J=IPREF(I)

L 2.3.0 (JUNE 78) RECON OS/360 FORTRAN H EXTENDED DAT.

```

N 0026      IF (JCD(J,1).GT.0) JCD(J,1)=JCD(J,1)+10
N 0028      12 CONTINUE
C
N 0029      10 DO 15 I=1,NELS
N 0030      15 MEDID(I)=0
C
C FORMAR MEDID (N. DE MEDIDORES NA BARRA)
C
N 0031      DO 20 I=1,NMED
N 0032      IF (JCD(I,1).LT.0) GO TO 20
N 0034      K=NBOUNT(I,1)
N 0035      MEDID(K)=MEDID(K)+1
N 0036      20 CONTINUE
C
C CALCULAR A REDUND. LOCAL (RLOC) DE CADA BARRA
C
N 0037      ITOT1=0
N 0038      DO 30 I=1,NBUS
N 0039      NVA=2.
N 0040      IF (I.EQ.NSH) NVA=1
N 0042      NM=MEDID(I)
N 0043      IF (I.EQ.1) GO TO 40
N 0045      L2=I-1
N 0046      DO 50 J=1,L2
N 0047      K=IFIRST(J)
N 0048      70 IF (K.EQ.0) GO TO 50
N 0050      L=ITC(K,1)
N 0051      IF (L.EQ.I) GO TO 60
N 0053      K=INEXT(K)
N 0054      GO TO 70
N 0055      60 NVA=NVA+2.
N 0056      IF (J.EQ.NSH) NVA=NVA-1.
N 0058      NM=NM+MEDID(J)
N 0059      50 CONTINUE
N 0060      40 J1=C
N 0061      K=IFIRST(I)
N 0062      100 IF (K.EQ.0) GO TO 80
N 0064      J=ITC(K,1)
N 0065      IF (J.EQ.J1) GO TO 90
N 0067      J1=J
N 0068      NVA=NVA+2.
N 0069      IF (J.EQ.NSH) NVA=NVA-1.
N 0071      NM=NM+MEDID(J)
N 0072      90 K=INEXT(K)
N 0073      GO TO 100
N 0074      80 RLOC(I)=NM/NVA
N 0075      ITOT1=ITOT1+MEDID(I)
N 0076      30 CONTINUE
C
N 0077      DO 31 I=1,NELS
N 0078      MEDID1(I)=MEDID(I)
N 0079      RLOC1(I)=RLOC(I)
N 0080      31 CONTINUE
C
N 0081      TOT=ITOT1
N 0082      XNV=2*NBUS-1
N 0083      RED1=TOT/XNV
C

```

L 2.3.0 (JUNE 78)

REDUN

OS/360 FORTRAN H EXTENDED

DAT

```

C PERCURRER A LISTA DOS MEDIDORES
C
N 0064      DO 120 IM1=1,NMED
N 0065      ICOD=JCD(IM1,1)
N 0066      IF (ICOD.NE.5 .AND. ICOD.NE.6) GO TO 120
C
C VER SE EXISTE MEDICAO NA OUTRA EXTREMIDADE
C
N 0068      IB1=NBCNT(IM1,1)
N 0069      IB2=JCD(IM1,2)
N 0070      DO 121 K=1,NMED
N 0071      IF (JCD(K,1).NE.ICOD) GO TO 121
N 0072      IF (JCD(K,2).NE.IB1) GO TO 121
N 0073      IF (NBCMT(K,1).NE.IB2) GO TO 121
N 0074      GO TO 122
N 0075      121 CONTINUE
N 0076      GO TO 120
C
C VERIFICAR SE AS BARRAS RELACIONADAS AO MEDIDOR IM1
C TEM RLCC MAIOR QUE XLI
C
N 0100      122 IF (RLCC(IB1).LE.XLI) GO TO 120
N 0101      NBARL=1
N 0102      LISBL(NBARL)=IB1
N 0103      IF (IB1.EQ.1) GO TO 130
N 0104      L2=IB1-1
N 0105      DO 140 I=1,L2
N 0106      K=IFIRST(I)
N 0107      160 IF (K.EQ.0) GO TO 140
N 0108      J=ITC(K+1)
N 0109      IF (J.EQ.IB1) GO TO 150
N 0110      K=INEXT(K)
N 0111      GO TO 160
N 0112      150 IF (RLCC(I).LE.XLI) GO TO 120
N 0113      NBARL=NEARL+1
N 0114      LISBL(NEARL)=I
N 0115      140 CONTINUE
C
N 0121      130 K=IFIRST(IB1)
N 0122      180 IF (K.EQ.0) GO TO 170
N 0123      J=ITC(K,1)
N 0124      IF (RLCC(J).LE.XLI) GO TO 120
N 0125      NBARL=NEARL+1
N 0126      LISBL(NBARL)=J
N 0127      K=INEXT(K)
N 0128      GO TO 180
C
C DESLIGAR O MEDIDOR
C
N 0131      170 JCD(IM1,1)=-JCD(IM1,1)
N 0132      TOT=TOT-1
N 0133      MEDID(IB1)=MEDID(IB1)-1
N 0134      NVA=2
N 0135      DO 200 I=1,NBARL
N 0136      NVA=NVA+2
N 0137      IF (LISBL(I).EQ.NSA) NVA=NVA-1
N 0138      200 CONTINUE
N 0139      DIF=1./NVA

```

L 2.3.0 (JUNE 78) REDUN OS/360 FORTRAN H EXTENDED DAT

```

N 0141      RLOC(I81)=RLOC(I81)-DIF
N 0142      DU 210 I=1,NEARL
N 0143      RLCC(LISBL(I))=RLOC(LISBL(I))-DIF
N 0144      210 CONTINUE
C
C
N 0145      120 CONTINUE
C
C      RELATORIC FINAL
C
N 0146      XMAI=.0
N 0147      XMEN=10.
N 0148      DO 510 I=1,NBUS
N 0149      WRITE(IP,27)I,NUMBUS(I),TBUSNAM(K,I),K=1,3,MEDIDL(I),RLOC(I),
*                  MEDIDL(I),RLCC(I)
N 0150      27 FORMAT(SX,I3,I6,1X,3A4,5X,I3,F8.2,5X,I3,F8.2)
N 0151      IF (RLCC(I).LT.XMEN) XMEN=RLOC(I)
N 0153      IF (RLOC(I).GT.XMAI) XMAI=RLOC(I)
N 0155      IPAG=IPAG+1
N 0156      IF (IPAG.LT.60) GO TC 510
N 0158      WRITE(IP,17)XL1
N 0159      IPAG=6
N 0160      510 CONTINUE
N 0161      ITOT=TCT
N 0162      RED=TCT/XNV
N 0163      WRITE(IP,67)ITOT1,REC1,ITOT,RED
N 0164      67 FORMAT(//10X,'ITOT.MED. E RED.GLOBAL',5X,I3,F8.2,5X,I3,F8.2)
C
N 0165      WRITE(IP,1C7) XL1,XMAI,XMEN
N 0166      107 FORMAT(//10X,'XL1=',F4.2,/8X,'MAIOR=',F4.2,/3X,'MENOR=',F4.2)
C
N 0167      IF (NPREF.EQ.0) GO TC 530
C
C      RECOLLCAR CS MED. PREF.
C
N 0169      DO 520 I=1,NPREF
N 0170      J=IPREF(I)
N 0171      JCD(J,1)=JCD(J,1)-10
N 0172      520 CONTINUE
N 0173      530 WRITE(IP,77)
N 0174      77 FORMAT(//10X,'MEDIDCRES PREFERENCIAIS'//)
N 0175      IF (NPREF.EQ.0) GO TC 550
N 0177      WRITE(IP,87) (IPREF(I),I=1,NPREF)
N 0178      87 FORMAT(26(2X,I3))
C
N 0179      550 IF (ISSH(8).EQ.0) GO TO 540
N 0181      CALL CLOCK(IT2,'CPU')
N 0182      TM=(IT2-IT1)*.01
N 0183      WRITE(IP,117)TM
N 0184      117 FORMAT(//10X,'TEMPO CPU REDUN =',F6.2)
N 0185      540 WRITE(IP,57)
N 0186      97 FORMAT('1')
N 0187      RETURN
N 0188      END

```

L 2.3.0 (JUNE 78)

OS/360 FORTRAN H EXTENDED

DAT

STD OPTS: NODECK,NOLIST,CPT=0

NS IN EFFECT: NAME(MAIN) NOOPTIMIZE LINECOUNT(60) SIZE(MAX) AUTODBL(NONE)
SOURCE EBCDIC NOLIST NODECK OBJECT MAP NUFORMAT GUSTMT XREF NDALC NO

N 0002 SUBROUTINE REDUNZ(LINF)

CCC CCC
 C SUBROUTINA PARA SELECCIONAR O CONJUNTO DE C
 C MEDIDAS USANDO O CRITERIO DE REDUNDANCIA C
 C LOCAL DE VARIAVEL DE ESTADO , TENDO COMO C
 C REFERENCIA O LIMITE INFERIOR LINF C

CCC CCC
 CCC AREA DE COMMON

N 0003

COMMON MECFLG, REDFLG, NBUS, NMED,
 G NUMBUS(128), NBONT(750,2), Z(750), VAR(750),
 P JCC(750,3), BIAS(750), REATOR(64), IFIRST(128),

I ITG(192,2), INEXT(192), ICOM(192), TAPNO(192), TAP(128), SHUNT(128)

N 0004

COMMON JACB(2500), LOC2(2500), LOC1(2500), X(256),
 G NMCN, IX, NSW, JST,
 P JEN, INJFLG, DELZ(750), JC6FLG,
 I FUT(10), IFUT(10), VARON(750), ISSH(10)

C

INTEGER TAPNC

N 0006

LOGICAL MEDFLG, REDFLG, JC6FLG, INJFLG

N 0007

COMPLEX GE, TAP, SHUNT

N 0008

REAL JACB

C

COMMON AA(2500), LCCA2(2500), LOCA3(256), LOCA4(256),
 G BB(256), LOC3(256), LOC3(256), ICA8(133),
 P GENBUS(128), VOLT(128), PLOAD(128), QLGAD(128),
 I PGEN(64), QGEN(64), ZT(750), LOC5(2500),
 C BLSNAM(3,128), REMNAM(3,90), IPREF(100), NTEAS(128)

C

COMPLEX VCLT

N 0011

INTEGER GENBUS, BUSNAM, REMNAM

C

FIM DA AREA DE COMMON

N 0012

DIMENSION RLCC(256), RLOC1(256)

N 0013

EQUIVALENCE (NPREF, IFUT(4))

N 0014

DATA IP/6/

N 0015

INTEGER RLOC, RLOC1

C

IF (ISSH(8).EQ.1) CALL CLOCK(IT1,'CPU')

WRITE(IF,17)LINF

N 0016

17 FORMAT('1',9X,'RELATERAO DO REDUNZ(''1,1,'')//,16X,'BAKRA',12X,
 * 'RED. LOCAL'//,33X,'ANTES APCS')

N 0018

IPAG=6

C

C RETIRAR OS MEDIDORES PREFERENCIAIS

C

DO 10 I=1,NPREF

J=IPREF(I)

N 0023

IF (JCD(J,1).GT.0) JCD(J,1)=JCD(J,1)+10

N 0025

10 CONTINUE

N 0026

NV=2*NBL

N 0027

DO 20 I=1,NV

L 2.5.0 (JUNE 78) REDUN2 OS/360 FORTRAN H EXTENDED DAT

```

N 0028      20 RLUC(I)=0
C
C   CALC. A RED. LOCAL DE CADA VARIABEL
C
N 0029      DO 30 I=1,NMED
N 0030      JCDII=JCD(I,1)
N 0031      IF (JCDII.EQ.5 .OR. JCDII.EQ.15) GO TO 35
N 0033      IF (JCDII.EQ.6 .OR. JCDII.EQ.16) GO TO 36
N 0035      IF (JCDII.EQ.2) GO TO 32
N 0037      IF (JCDII.EQ.3) GO TO 33
N 0039      IF (JCDII.EQ.11) GO TO 31
N 0041      IF (JCDII.EQ.4) GO TO 34
N 0043      GO TO 30
C
C   MED. DE TENSAO
C
N 0044      31 J=NBCMT(I,1)
N 0045      RLOC(J)=RLOC(J)+1
N 0046      GO TO 30
C
C   MED. INJ. ATIVA E REATIVA
C
N 0047      32 IDESL=NBUS
N 0048      GJ TO 90
N 0049      33 IDESL=0
N 0050      90 J=NBCMT(I,1)
N 0051      L=J+IDESL
N 0052      RLOC(L)=RLCC(L)+1
N 0053      IF (J.EQ.1) GO TO 40
N 0055      J2=J-1
N 0056      DO 50 J1=1,J2
N 0057      K=IFIRST(J1)
N 0058      70 IF (K.EQ.0) GO TO 50
N 0060      J3=ITC(K,1)
N 0061      IF (J3.EQ.J) GO TO 60
N 0063      K=INEXT(K)
N 0064      GO TO 70
N 0065      60 J3=J1+IDESL
N 0066      RLOC(J3)=RLCC(J3)+1
N 0067      50 CONTINUE
C
N 0068      40 K=IFIRST(J)
N 0069      80 IF (K.EQ.0) GO TO 30
N 0071      J3=ITC(K,1)+IDESL
N 0072      RLOC(J3)=RLOC(J3)+1
N 0073      K=INEXT(K)
N 0074      GO TO 80
C
C   MED. REATOR
C
N 0075      34 J=NBCMT(I,1)
N 0076      RLOC(J)=RLCC(J)+1
N 0077      GO TO 30
C
C   MED. DE FLUXO ATIVO E REATIVO
C
N 0078      35 IDESL=NBUS
N 0079      GO TO 100

```

L 2.3.0 (JUNE. 78) REDUN2 OS/360 FORTRAN H EXTENDED DAT

```

N 0080      36 IDESL=0
N 0081      100 J=NBCMT(I,1)+IDESL
N 0082      RLCC(J)=RLCC(J)+1
N 0083      J=JCD(I,2)+IDESL
N 0084      RLCC(J)=RLCC(J)+1
C
N 0085      30 CONTINUE
C
N 0086      DO 130 I=1,NV
N 0087      RLJC1(I)=RLCC(I)
N 0088      130 CONTINUE
C
C DESLIGAR CS MED. EXCEDENTES
C
N 0089      NMLIG=0
N 0090      NMDES=0
N 0091      DO 110 I=1,NMED
N 0092      J=JCD(I,1)
N 0093      IF (J.GT.0) NMLIG=NMLIG+1
N 0095      IF (J.NE.5 .AND. J.NE.6) GO TO 110
N 0097      IF (J.EQ.5) IDESL=NBUS
N 0099      IF (J.EQ.6) IDESL=0
N 0101      IDE=NBCMT(I,1)
N 0102      IPARA=JCD(I,2)
N 0103      ID=IDE+IDESL
N 0104      IPR=IPARA+IDESL
N 0105      LIM1=LINF
N 0106      LIM2=LINF
N 0107      IF (J.EQ.5 .AND. IDE.EQ.NSW) LIM1=0
N 0109      IF (J.EQ.5 .AND. IPARA.EQ.NSW) LIM2=0
N 0111      IF (RLCC(ID).LE.LIM1 .OR. RLCC(IPR).LE.LIM2) GO TO 110
C
C VER SE EXISTE MEDICAO NA OUTRA EXTREMICADE
C
N 0113      DO 190 K=1,NMED
N 0114      IF (JCD(K,2).NE.IDE) GO TO 190
N 0116      IF (NBCMT(K,1).NE.IPARA) GO TO 190
N 0118      IF (JCD(K,1).NE.J) GO TO 190
N 0120      GO TO 200
N 0121      190 CONTINUE
N 0122      GO TO 110
N 0123      200 JCD(I,1)=-JCD(I,1)
N 0124      NMDES=NMDES+1
C
C ATUALIZAR RLCC
C
N 0125      KLOC(ID)=RLCC(ID)-1
N 0126      RLOC(IPR)=RLCC(IPR)-1
C
N 0127      110 CONTINUE
C
C RECOLOCAR CS MED. PREF.
C
N 0128      DO 120 I=1,NPREF
N 0129      J=IPREF(I)
N 0130      JCD(J,1)=JCD(J,1)-10
N 0131      120 CONTINUE
C

```

L 2.3.0 (JUNE 78)

REDUN2

OS/360 FORTRAN H EXTENDED

DAT

C RELATORIC

C

```

N 0132      DO 140 I=1,NBUS
N 0133      J=I+NBUS
N 0134      IAN1=RLCC(J)
N 0135      IAN2=RLCC(J)
N 0136      IF (I.EQ.NSW) GO TO 150
N 0137      WRITE(IP,27)I,NUMBUS(I),(BUSNAM(K,I),K=1,3),RLOC1(I),
N 0138      *           RLOC(I),RLOC1(J),RLOC(J)
N 0139      27 FORMAT(7X,I3,I5,1X,3A4,' VM ',I3,4X,I3,/30X,'AN ',I3,
N 0140      *           4X,I3)
N 0140      GO TO 160
N 0141      150 WRITE(IP,37)I,NUMBUS(I),(BUSNAM(K,I),K=1,3),RLOC1(I),RLOC(I)
N 0142      37 FORMAT(7X,I3,I5,1X,3A4,' VM ',I3,4X,I3,/30X,'SWING')
N 0143      160 IPAG=IPAG+2
N 0144      IF (IPAG.LT.60) GO TO 140
N 0145      WRITE(IP,17)LINF
N 0146      IPAG=6
N 0147      140 CONTINUE
C
N 0149      NME=NMLIG-NMDES
N 0150      XNMLI=NMLIG
N 0151      XNV=NV-1
N 0152      RGLB1=XNMLI/XNV
N 0153      RGLB2=(XNMLI-NMDES)/XNV
N 0154      WRITE(IP,57)NMLIG,NME,RGLB1,RGLB2
N 0155      57 FORMAT(//13X,'QUANT. MEDIDORES',4X,I4,3X,I4//,13X,
N 0156      *           'REDUNDANCIA GLOBAL',F6.2,F7.2)
C
N 0156      WRITE(IP,67)
N 0157      67 FORMAT(//5X,'MEDIDORES PREFERENCIAIS')
N 0158      IF (NPREF.EQ.0) GO TO 170
N 0159      WRITE(IP,77)(IPREF(I),I=1,NPREF)
N 0160      77 FORMAT(26(2X,I3))
C
N 0162      170 IF(ISSW(8).EQ.0) GO TO 180
N 0163      CALL CLKCK(IT2,'CPU')
N 0164      TM=(IT2-IT1)*.01
N 0165      WRITE(IP,87)TM
N 0166      87 FORMAT(//5X,'TEMPO CPU REDUN2 =',F6.2)
C
N 0168      180 WRITE(IP,47)
N 0169      47 FORMAT('1')
N 0170      RETURN
N 0171      END

```

L 2.3.0 (JUNE 75)

OS/360 FORTRAN H EXTENDED

DAT

STD OPTIONS: NUDECK,NCLIST,CPT=0

NS IN EFFECT: NAME(MAIN) NOOPTIMIZE LINECOUNT(60) SIZE(MAX) AUTODBL(NONE)
SOURCE EBCCIC NCLIST NCDECK OBJECT MAP NUFORMAT GOSTMT XREF NUALC NO:

```

N 0002      SUBROUTINE CRAP
CCC
C  SUBRUTINA PARA ESTIMAR O ESTADO USANDO O METODO C
C  DESACOPLADO RAPIDO COM TRANSFORMACAO NAS MEDICAS C
C  DE POTENCIA C
CCC
CCC          AREA DE COMMON
C
N 0003      COMMON MEDFLG,           REDFLG,           NBUS,           NMED,
G           NUMBUS(128),       NBOMT(750,2),     Z(750),         VAR(750),
P           JCC(750,3),       BIAS(750),        REATOR(64),    IFIRST(128),
I           ITG(192,2),       INEXT(192),       ICCM(192),     TAPNO(192),
C           GB(192),          B2S(192),        TAP(123),      SHUNT(123)
N 0004      COMMON JACB(2500),     LOC2(2500),      LUC1(2500),    X(256),
G           NMCN,            IX,                NSW,           JST,
P           JEN,              INJFLG,          DELZ(750),    JCBFGLG,
I           FUT(10),         IFUT(10),        VARON(750),   ISSH(10)
C
N 0005      INTEGER TAPNO
N 0006      LOGICAL MEDFLG,REDFLG,JCBFLG,INJFLG
N 0007      COMPLEX GB,TAP,SHUNT
N 0008      REAL   JACB
C
N 0009      COMMON AA(2500),      LOCA2(2500),     LOCA3(256),    LOCA4(256),
G           BB(256),          LOC3(256),        LOC3(256),    ICAE(33),
P           GENBLS(128),      VOLT(128),        PLOAD(128),   QLOAD(128),
I           PGEN(64),         QGEN(64),        ZT(750),      LUC5(2500),
C           BLSNAM(3,128),     REMNAM(3,90),    IPREF(100),   NTENS(128)
C
N 0010      COMPLEX VOLT
N 0011      INTEGER GENBLS,BUSNAM,REMNAME
C
CCCC      FIM DA AREA DE COMMON
N 0012      DIMENSION XA(256),BBB(256),IK(256),AA1(2500),LUC4(2500)
N 0013      EQUIVALENCE (IFUT(1),ITER),(IFUT(10),REPET),(IFUT(9),CONV)
N 0014      LOGICAL REPET,CGNV
N 0015      INTEGER CO
N 0016      DATA EPS/.CC1/
N 0017      DATA IP/6/
C
N 0018      ~ N=2*NBLS-1
N 0019      CALL CJAC3
N 0020      800 IF (ISSH(8).EQ.1) CALL CLOCK(IT1,'CPU')
N 0021      IF (.NCT.JCBFLG) GJ TG 540
C
C  ORDENACAO POR COLUNA
C
N 0024      D0 791 I=1,N
N 0025      LUC3(I)=0
N 0026      791 CONTINUE
N 0027      D0 790 I=1,IX
N 0028      IC=LCC2(I)
N 0029      LUC3(IC)=LCC3(IC)+1

```

L 2.3.0 (JUNE 73) CRAP OS/360 FORTRAN H EXTENDED DATE

```

N 0030      790 CONTINUE
N 0031          IK(1)=1
N 0032          DO 792 I=2,N
N 0033          IF(LCC3(I-1).NE.0) GO TO 793
N 0035          WRITE(IP,707) I
N 0036          707 FORMAT(/1CX,'NAO OBSERVAVEL   I=1,I2/1)
N 0037          STOP 125
N 0038          793 IK(I)=IK(I-1)+LCC3(I-1)
N 0039          LCC3(I-1)=IK(I-1)
N 0040          792 CONTINUE
N 0041          LCC3(N)=IK(N)
N 0042          LCC3(N+1)=IX+1
N 0043          DO 440 I=1,IX
N 0044          IC=LCC2(I)
N 0045          IE=IK(IC)
N 0046          AA(IE)=JACB(I)
N 0047          LUCA2(IE)=LGC1(I)
N 0048          IK(IC)=IK(IC)+1
N 0049          440 CONTINUE
C
N 0050          DO 290 I=1,IX
N 0051          AA1(I)=AA(I)
N 0052          LCC4(I)=LCCA2(I)
N 0053          290 CONTINUE
C
C CALCULO DE B
C
N 0054          540 BC=.0
N 0055          DO 20 I=1,N
N 0056          LI=LCC3(I)
N 0057          LS=LCC3(I+1)-1
N 0058          DO 30 J=LI,LS
N 0059          BC=BC+AA1(J)*DELZ(LCC4(J))/VARN(LCC4(J))
N 0060          30 CONTINUE
N 0061          BB(I)=BC
N 0062          BC=.0
N 0063          IF(.NOT.JCBFLG) GO TO 20
N 0065          LCCB(I)=I
N 0066          20 CONTINUE
N 0067          IF(.NOT.JCBFLG) GO TO 100
C
C ORDENACAO
C
N 0069          DO 300 I=1,N
N 0070          LOCA4(I)=0
N 0071          300 CONTINUE
N 0072          DO 301 I=1,IX
N 0073          IC=LCC2(I)
N 0074          LOCA4(IC)=LOCA4(IC)+1
N 0075          301 CONTINUE
N 0076          303 ITRC=0
N 0077          LS=N-1
N 0078          DO 302 I=1,LS
N 0079          IF(LOCA4(I).LE.LOCA4(I+1)) GO TO 302
N 0081          IT=LOCA4(I)
N 0082          LUCA4(I)=LCCA4(I+1)
N 0083          LUCA4(I+1)=IT
N 0084          IT=LCCB(I)

```

2.3.0 (JUNE 73) CRAP OS/360 FORTRAN H EXTENDED DATE

```

N 0055      LOCB(I)=LOCB(I+1)
N 0086      LOCB(I+1)=IT
N 0087      ITRE=1
N 0088      302 CONTINUE
N 0089      IF(ITRC.NE.0) GO TO 303
C
C   CALCUL DE A
C
N 0091      IJ=0
N 0092      BC=.0
N 0093      DO 40 I=1,N
N 0094      II=LCC3(I)
N 0095      LOCA3(I)=IJ+1
N 0096      DJ 50 J=1,N
N 0097      JJ=LCC3(J)
N 0098      IF(I.GT.J) GO TO 50
N 0099      IF(I.EQ.J) GO TO 660
N 0100      IKJ=0
N 0101      LIN=LCC3(JJ)
N 0102      LI=LCC3(II)
N 0103      LS=LCC3(II+I)-1
N 0104      DO 70 K=LI,LS
N 0105      K1=LCC4(K)
N 0106      LS1=LCC3(JJ+1)-1
N 0107      DO 80 L=LIN,LS1
N 0108      IF(LCC4(L).EQ.K1) GO TO 90
N 0109      IF(LCC4(L).GT.K1) GO TO 780
N 0110      80  CONTINUE
N 0111      GO TO 70
N 0112      90  BC=BC+AA1(K)*AA1(L)/VARON(K1)
N 0113      IKJ=1
N 0114      760 LIN=L
N 0115      70  CONTINUE
N 0116      IF(IKJ.EQ.0) GO TO 50
N 0117      690 IJ=IJ+1
N 0118      AA(IJ)=BC
N 0119      BC=.0
N 0120      LOCA2(IJ)=J
N 0121      LOCA5(IJ)=IJ+1
N 0122      GO TO 50
N 0123      660 BC=.0
N 0124      LII=LCC3(JJ)
N 0125      LS1=LCC3(JJ+1)-1
N 0126      DO 670 M=LII,LS1
N 0127      K1=LOC4(M)
N 0128      BC=BC+AA1(M)*AA1(M)/VARON(K1)
N 0129      670 CONTINUE
N 0130      GO TO 690
N 0131      50 CONTINUE
N 0132      LOCA5(IJ)=0
N 0133      40 CONTINUE
N 0134      IDISP=IJ+1
N 0135      IF(ISSA(2).EQ.0) GO TO 1001
N 0136      WRITE(IP,1007)
N 0137      1007 FORMAT(//5X,'  LOCA3')/
N 0138      DO 1000 I=1,N
N 0139      1000 WRITE(IP,1017)I,LOCA3(I)
N 0140      1017 FORMAT(7X,I3,4X,I4)

```

L 2.3.0 (JUNE 78)

CRAP

OS/360 FORTRAN.H EXTENDED

DAT

```

N 0147      WRITE(IP,1C27)
N 0148      1027 FORMAT(//3X,'I',7X,'AA',5X,'LOCA2  LOC5')/
N 0149      DO 1002 I=1,1CISP
N 0150      1002 WRITE(IP,1C37)I,AA(I),LOCA2(I),LOC5(I)
N 0151      1037 FORMAT(2X,I4,1X,E10.4,2X,I4,3X,I4)
N 0152      1001 CONTINUE
C
C   TRIANGULACAO
C
N 0153      CALL TRIAN(LCCA3,LOC5,LOCA2,AA,DISP,N)
C
C   CALCULO DE INV(A)*B
C
N 0154      100 DO 120 I=1,N
N 0155      BB(I)=BB(I)
N 0156      120 CONTINUE
N 0157      DO 130 I=1,N
N 0158      BB(I)=BB(LCCB(I))
N 0159      130 CONTINUE
N 0160      CALL PRCD(LCCA3,LOC5,LOCA2,AA,N,BB)
C
N 0161      DO 480 I=1,N
N 0162      XA(I)=BB(I)
N 0163      480 CONTINUE
C
N 0164      AT1=.0
N 0165      AT2=.0
N 0166      AT3=.0
N 0167      IP1=0
N 0168      IP2=0
N 0169      IP3=0
N 0170      DO 240 I=1,N
N 0171      IF (ABS(XA(I)).LT.ABS(AT1)) GO TO 242
N 0173      AT3=AT2
N 0174      IP3=IP2
N 0175      AT2=AT1
N 0176      IP2=IP1
N 0177      AT1=XA(I)
N 0178      IP1=LCCB(I)
N 0179      GO TO 241
N 0180      242 IF (ABS(XA(I)).LT.ABS(AT2)) GO TO 243
N 0182      AT3=AT2
N 0183      IP3=IP2
N 0184      AT2=XA(I)
N 0185      IP2=LCCB(I)
N 0186      GO TO 241
N 0187      243 IF (ABS(XA(I)).LT.ABS(AT3)) GO TO 241
N 0189      AT3=XA(I)
N 0190      IP3=LCCB(I)
N 0191      241 II=LCCB(I)
N 0192      X(II)=X(II)+XA(I)
N 0193      240 CONTINUE
N 0194      JCBFLG=.FALSE.
N 0195      IF (ISSW(I).LT.0) WRITE(IP,7)ITER,AT1,IP1,AT2,IP2,AT3,IP3
N 0197      7 FORMAT(2X,I3,3(6X,F10.6,3X,I3))
N 0198      IF (ABS(AT1).GT.1.) GO TO 250
N 0200      IF (ABS(AT1).LT.EPS) GO TO 230
N 0202      ITER=ITER+1

```

L 2.3.0 (JUNE 78)

CRAP

OS/360 FORTRAN H EXTENDED

DAT

```
N 0203      IF (ITER.EQ.16) GO TO 250
C      IF(ITER.GE.101) STOP 0040
N 0205      CALL CJAC3
N 0206      IF (ISSW(8).EQ.0) GO TO 800
N 0208      CALL CLOCK(IT2,'CPU')
N 0209      TM=(IT2-IT1)*.01
N 0210      WRITE(IP,37)ITER,TM
N 0211      37 FORMAT(10X,'TEMPO CPU RESL ITER',I3,' ',F6.2)
N 0212      GO TO 800
C
N 0213      230 WRITE(IP,17)ITER
N 0214      17 FORMAT(' CONVERGIU EM ',I3,' ITERACCES')
N 0215      CONV=.TRUE.
N 0216      RETURN
N 0217      250 WRITE(IP,27)ITER
N 0218      27 FORMAT(' NAO CONVERGIU COM',I3,' ITERACOES')
N 0219      CONV=.FALSE.
N 0220      RETURN
N 0221      END
```

L 2.3.0 (JUNE 73)

OS/360 FORTRAN H EXTENDED

DAT:

STD OPTIONS: NODECK,NOLIST,CPT=0

NS IN EFFECT: NAME(MAIN) NCOPTIMIZE LINECOUNT(60) SIZE(MAX) AUTOOBJL(NONE)
SOURCE EBCDIC NOLIST NODECK OBJECT MAP NOFORMAT GOSTMT XREF NOALC NO

N 0002

SUBROUTINE CJAC3

CCC

CCC

C SUBRUTINA PARA CALCULAR O VETOR DELTA Z PARA A SUBROTINA CRAP C
C SE JCBFLG=.TRUE. CALCULA A MATRIZ JACOBIANA C

CCC

CCC

CCC

AREA DE COMMON

C

N 0003

COMMON MECFLG, REDFLG, NBUS, NMED,
G NUMCLS(123), N804T(750,2), Z(750), VAR(750),

P JCD(750,3), BIAS(750), REATER(64), IFIRST(123),

I ITC(192,2), INEXT(192), ICOM(192), TAPNO(192),

C GB(192), B2S(192), TAP(128), SHUNT(128)

N 0004

COMMON JACB(2500), LOC2(2500), LOC1(2500), X(256),

G NMCR, IX, NSW, JST,

P JEN, INJFLG, DELZ(750), JCBFLG,

I FUT(10), IFUT(10), VARON(750), ISSh(10)

C

N 0005

INTEGER TAPNO

N 0006

LOGICAL MECFLG, REDFLG, JCBFLG, INJFLG

N 0007

COMPLEX GB, TAP, SHUNT

N 0008

REAL JACB

C

N 0009

COMMON AA(2500), LOCA2(2500), LOCA3(256), LOCA4(256),

G BE(256), LOCB(256), LOC3(256), ICAE(33),

P GENCLS(128), VOLT(128), PLOAD(128), QLOAD(128),

I PGEN(64), QGEN(64), ZT(750), LOC5(2500),

C BUSNAM(3,123), REMNAM(3,90), IPREF(100), NTENS(123)

C

N 0010

COMPLEX VCLT

N 0011

INTEGER GENCLS, BUSNAM, REMNAM

C

CCCC

FIM DA AREA DE COMMON

N 0012

DATA IP/6/

N 0013

NELX=2500

N 0014

NMCR=0

N 0015

IF(.NCT.JCBFLG) GO TO 10

N 0017

IX=0

N 0018

10 DO 700 I=1,NMED

N 0019

IF(JCD(I,1).LT.0) GO TO 700

N 0021

IF(IX.GE.NELX) STOP 120

N 0023

IF(.NCT.JCBFLG) GO TO 20

N 0025

IX=IX+1

N 0026

20 NMCR=NMCR+1

N 0027

VARCN(NMCR)=VAR(I)

N 0028

ICODE=JCD(I,1)

N 0029

GO TO (100,200,200,400,500,500),ICODE

C

C

MEDICAC DE TENSAO

C

N 0030

100 K=N2CMT(I,1)

N 0031

DELZ(NMCR)=Z(I)-X(K)

N 0032

IF(.NCT.JCBFLG) GO TO 700

N 0034

JACB(IX)=1.

L 2.6.0 (JUNE 78)

CJAC3

OS/360 FORTRAN H EXTENDED

DAT

```

N 0035      LOC1(IX)=NMEN
N 0036      LOC2(IX)=K
N 0037      GO TO 700
C
C MEDICAO DE INJCAO
C
N 0038      200 K=NBOMT(I,1)
N 0039      JST=IX
N 0040      JEN=IX
N 0041      INJFLG=.FALSE.
N 0042      DELZ(NMCN)=Z(I)/X(K)
N 0043      IF(K.LT.2) GO TO 250
N 0045      LS=K-1
N 0046      DO 240 L=1,LS
N 0047      IV=-1
N 0048      KW=IFIRST(L)
N 0049      220 IF(KW.EQ.0) GO TO 240
N 0051      KK=ITE(KW,1)
N 0052      IF(KK.EC.K) GO TO 230
N 0054      225 KW=INEXT(KW)
N 0055      GO TO 220
N 0056      230 IF((CCM(KW)).EQ.0) GO TO 225
N 0058      IF(INJFLG.AND.JCBFLG) IX=IX+1
N 0060      CALL JFLOW3(L,K,KW,IV,ICODE)
N 0061      IF(IX.GT.NELX) STOP 121
N 0063      IF(JCBFLG) CALL SOMAT
N 0065      GO TO 225
N 0066      240 CONTINUE
N 0067      250 IV=1
N 0068      KW=IFIRST(K)
N 0069      260 IF(KW.EQ.0) GO TO 270
N 0071      IF((CCM(KW)).EQ.0) GO TO 265
N 0073      KK=ITE(KW,1)
N 0074      IF(INJFLG.AND.JCBFLG) IX=IX+1
N 0076      CALL JFLOW3(K,KK,KW,IV,ICODE)
N 0077      IF(IX.GT.NELX) STOP 122
N 0079      IF(JCBFLG) CALL SOMAT
N 0081      265 KW=INEXT(KW)
N 0082      GO TO 260
N 0083      270 IF((ICODE.EQ.2) GO TO 700
N 0084      XUN=CABS(SHUNT(K))
N 0085      IF(XUN.EQ..0) GO TO 700
N 0086      DELZ(NMCN)=DELZ(NMCN)+X(K)*AIMAG(SHUNT(K))
N 0088      IF(.NOT.JCBFLG) GO TO 700
N 0089      IX=IX+1
N 0091      IF(IX.GT.NELX) STOP 123
N 0092      JACB(IX)=AIMAG(-SHUNT(K))
N 0094      LOC1(IX)=NMEN
N 0095      LOC2(IX)=K
N 0096      CALL SCMAT
N 0097      GO TO 700
C
C MEDICAO NO REATOR OU CAPACITOR
C
N 0099      400 K=JCD(I,2)
N 0100      RX=-REATOR(K)
N 0101      K=NBOMT(I,1)
N 0102      DELZ(NMCN)=Z(I)/X(K)-X(K)*RX

```

L 2.3.0 (JUNE 78)

CJAC3

OS/360 FORTRAN H EXTENDED

DATE

```

N 0103      IF(.NOT.JCBFLG) GO TO 700
N 0105      JACE(1X)=RX
N 0106      LOC1(1X)=AMCN
N 0107      LOC2(1X)=K
N 0108      GO TO 700.

C
C   MECICAC DE FLUXO
C
N 0109      500 NDE=NBCMT(I,1)
N 0110      NPARA=JCD(I,2)
N 0111      NC=JCC(I,3)
N 0112      JST=IX
N 0113      J=NDE
N 0114      K=NPARA
N 0115      IV=1
N 0116      IF(J.LT.K) GO TO 510
N 0118      KTM=J
N 0119      J=K
N 0120      K=KTM
N 0121      IV=-1
N 0122      510 KW=IFIRST(J)
N 0123      520 IF(KW.EC.0) STOP 002
N 0125      KK=ITC(KW,1)
N 0126      IF(KK.EC.K) GO TO 540
N 0128      525 KW=INEXT(KW)
N 0129      GO TO 520
N 0130      540 NCX=ITC(KW,2)
N 0131      IF(NCX.NE.NC) GO TO 525
N 0133      DELZ(NMCN)=Z(I)/X(J)
N 0134      CALL JFLOW3(J,K,KW,IV,ICODE)
N 0135      IF(IX.GT.NELX) STOP 124

C
N 0137      700 CONTINUE
C
N 0138      IF (ISSW(2).EC.0) RETURN
N 0140      WRITE(IP,827)
N 0141      827 FORMAT(3X,'I    DELZ')
N 0142      DO 810 I=1,AMCN
N 0143      810 WRITE(IP,E37) I,DELZ(I)
N 0144      837 FORMAT(IX,I3,1X,F9.3)
N 0145      WRITE(IP,807)
N 0146      807 FORMAT(6X,'LOC1',6X,'LOC2',5X,'JACB')
N 0147      DO 800 I=1,IX
N 0148      800 WRITE(IP,E17) I,LOC1(I),LOC2(I),JACB(I)
N 0149      817 FORMAT(IX,I4,I5,I10,1X,E12.5)
N 0150      - RETURN
N 0151      END

```

L 2.5.0 (JUNE 78)

OS/360 FORTRAN H EXTENDED

DAT

STD OPTIONS: NODECK,NCLIST,OPT=0

NS IN EFFECT: NAME(MAIN) NLCOPTIMIZE LINECOUNT(60) SIZE(MAX) AUTODBL(NONE)
SOURCE EBCDIC NOLIST NODECK OBJECT MAP NUFORMAT GOSTMT XREF NOALC NO

N 0002 SUBROUTINE JFLOW3(I,J,Kw,IV,ICCDE)

CCC
 C SUBRUTINA PARA CALCULAR O VETOR (Z-H(X)) PARA A SUBROTINA CJAC3 C
 C SE JC3FLG=.TRUE., CALCULA A PARTE DA MATRIZ JACOBIANA C
 C CORRESPONDENTE AOS MEDIDORES DE FLUXO C
 CCC CCC

C AREA DE COMMON

N 0003 COMMON MEDFLG, REDFLG, NBUS, NMED,
 G NUMBUS(123), NBCMT(750,2), Z(750), VAR(750),
 P JCD(750,3), BIAS(750), REATOR(64), IFIRST(123),
 I ITG(192,2), INEXT(192), ICOM(192), TAPNO(192),
 C GE(192), B2S(192), TAP(123), SHUNT(128)
 N 0004 COMMON JACB(2500), LOC2(2500), LOC1(2500), X(256),
 G NMCM, IX, NSW, JST,
 P JEN, INJFLG, DELZ(750), JC3FLG,
 I FUT(10), IFUT(10), VARON(750), ISS(10)

C
 N 0005 INTEGER TAPNO
 N 0006 LOGICAL MEDFLG, REDFLG, JC3FLG, INJFLG
 N 0007 COMPLEX GE, TAP, SHUNT
 N 0008 REAL JACB

N 0009 COMMON AA(2500), LOCA2(2500), LOCA3(256), LOCA4(256),
 G BB(256), LOCB(256), LOC3(256), ICAB(33),
 P GENBLS(123), VLCI(128), PLOAD(123), QLOAD(128),
 I PGEM(64), QGEN(64), ZT(750), LOC5(2500),
 C BLSNAM(3,128), REMNAM(3,90), IPREF(100), NTENS(123)

N 0010 COMPLEX VLCI
 N 0011 INTEGER GENBUS, BUSNAM, REMNAM

C
 CCC FIM DA AREA DE COMMON

N 0012 COMPLEX YIJ,YII
 YIJ=-GE(Kw)
 YII=-GE(Kw)
 KTP=TAPNO(Kw)
 IF(KTP.EQ.0) GO TO 20
 IF(IV.EQ.-1) KTP=-KTP
 IF(KTP.LT.0) GO TO 10
 YII=YII/(TAP(KTP)*CONJG(TAP(KTP)))
 YIJ=YIJ/CONJG(TAP(KTP))
 GO TO 20
 10 KTP=-KTP
 YIJ=YIJ/TAP(KTP)
 20 IT=I
 IF(I.GT.NSW) IT=IT-1
 JT=J
 IF(J.GT.NSW) JT=JT-1
 IDX=NBLIS+IT
 JDIX=NBLIS+JT
 ANGI=X(IDX)
 IF(I.EQ.NSW) ANGI=.0

L 2.5.0 (JUNE. 78)

JFLCH3

OS/360 FORTRAN H EXTENDED

DATE

```

N 0038      ANGJ=X(JDX)
N 0039      IF(J.EQ.NSW) ANGJ=.0
N 0041      ANG=ANGI-ANGJ
N 0042      COSX=CCS(ANG)
N 0043      SINX=SIN(ANG)
N 0044      IF(IV.EQ.-1) SINX=-SINX
N 0046      VI=X(I)
N 0047      VJ=X(J)
N 0048      IF(ICCODE.EQ.2 .OR. ICODE.EQ.5) GO TO 90
N 0050      A=REAL(YIJ)
N 0051      B=-AIMAG(YIJ)
N 0052      E=-B2S(Kn)-AIMAG(YII)
N 0053      GO TO 100
N 0054      90 A=AIMAG(YIJ)
N 0055      B=REAL(YIJ)
N 0056      E=REAL(YII)
N 0057      100 V=VI
N 0058      IF(IV.EQ.-1)V=VJ
N 0060      IF(IV.EQ.-1)VJ=VI
N 0062      DELZ(NMCN)=DELZ(NMCN)-V*E+VJ*(A*SINX+B*COSX)
N 0063      IF(.NOT.JC8FLG) GO TO 170
N 0065      DJ 160 L=1,2
N 0066      LOC1(IX)=NMCN
N 0067      L1=L
N 0068      IF(ICCODE.EQ.2 .OR. ICODE.EQ.5) L1=L+2
N 0070      GO TO (110,120,130,140),L1
N 0071      110 JACB(IX)=-(A*SINX+B*COSX)
N 0072      IF(IV.EQ.1) JACB(IX)=E
N 0074      LOC2(IX)=I
N 0075      GO TO 150
N 0076      120 JACB(IX)=-(A*SINX+B*COSX)
N 0077      IF(IV.EQ.-1) JACB(IX)=E
N 0079      LOC2(IX)=J
N 0080      GO TO 160
N 0081      130 IF(I.EQ.NSW) GO TO 160
N 0083      JACB(IX)=-VJ*(-B*SINX+A*COSX)
N 0084      IF(IV.LT.0) JACB(IX)=-JACB(IX)
N 0086      LOC2(IX)=IDX
N 0087      GO TO 150
N 0088      140 IF(J.EQ.NSW) GO TO 149
N 0090      JACB(IX)=VJ*(-B*SINX+A*COSX)
N 0091      IF(IV.LT.0) JACB(IX)=-JACB(IX)
N 0093      LOC2(IX)=JDX
N 0094      GO TO 160
N 0095      149 IX=IX-1
N 0096      GO TO 160
N 0097      150 IX=IX+1
N 0098      160 CONTINUE
N 0099      170 RETURN
N 0100      END

```

L 2.3.0 (JUNE 78)

OS/360 FORTRAN H EXTENDED

DAT

STD OPTIONS: NODECK,NCLIST,LPT=0

NS IN EFFECT: NAME(MAIN) NCCPTIMIZE LINECOUNT(60) SIZE(MAX) AUTOBBL(NONE)
SOURCE ESDCIC NCLIST NODECK OBJECT MAP NUFORMAT GUSTM1 XREF NOALC NO-

```

N 0002      SUBROUTINE DIEG(GAMA,JMID)
CCC
C   SUBROTINA PARA DETECAO E IDENTIFICACAO DE ERRC GROSSEIRO
C   GAMA = CONSTANTE PARA O TESTE DE DETECAO
C   JMID = NUMERO DO MEDICOR IDENTIFICADO
C   SE JMID = 0, NAO FCI DETETADO ERRC GROSSEIRO
CCC
CCC          AREA DE COMMON
C
N 0003      COMMON  MECHLG,      REDFLG,      NBUS,
G           NUMBS(128),    NBOMT(750,2),  Z(750),
P           JCD(750,3),    BIAS(750),    REATOR(64),
I           ITO(192,2),    INEXT(192),   ICOM(192),
C           GB(192),       B2S(192),    TAP(128),
N 0004      COMMON  JACB(2500),   LOC2(2500),  LOC1(2500),
G           NMCA,        IX,          NSW,
P           JEN,         INJFLG,     DELZ(750),
I           ELT(10),     IFUT(10),    VARON(750),
C           ISSW(10)
C
N 0005      INTEGER TAPNO
N 0006      LOGICAL MECHLG,REDFLG,JCBFLG,INJFLG
N 0007      COMPLEX GB,TAP,SHUNT
N 0008      REAL   JACB
C
N 0009      COMMON  AA(2500),    LOCA2(2500),  LOCA3(256),
G           BB(256),      LOC8(256),    LOC3(256),
P           GENBS(128),   VOLT(128),   PLOAD(128),
I           PGEN(64),    QGEN(64),   ZT(750),
C           BLSNAM(3,128), REMNAM(3,90), IPREF(100),
C           NTENS(128)
C
N 0010      COMPLEX VCLT
N 0011      INTEGER GENBS,BUSNAM,REMNAME
C
CCCC          FIM DA AREA DE COMMON
C
N 0012      REAL KSI
N 0013      DIMENSION VII(750),BA(256)
N 0014      DATA IP/6/
C
N 0015      IF (ISSW(8).EQ.1) CALL CLOCK(IT1,'CPU')
N 0017      CALL CJAC1
N 0018      N=2*NBS-1
C
C   CALCULG DO KSI
C
N 0019      XJCTA=.0
N 0020      J=0
N 0021      DO 10 I=1,NMED
N 0022      IF (JCD(I,1).LT.0) GO TO 10
N 0024      J=J+1
N 0025      XJCTA=XJCTA+DELZ(J)*DELZ(J)/VAR(I)
N 0026      10 CONTINUE
C
N 0027      XNM=2.*(NMEN-N)

```

L 2.3.0 (JUNE 78)

DIEG

OS/360 FORTRAN H EXTENDED

DAT

```

C   KSI=SQRT(2.*XJCTA)-SQRT(XNM)
N 0028   KSI=(XJCTA-NMCN+N)/SQRT(XNM)
N 0029   IF (ISSL(6).EQ.0) GO TO 140
N 0031   WRITE(IP,17)KSI,GAMA
N 0032   17 FORMAT('1//,45X,'RELATORIO' DC DIEG',//,40X,'KSI=',E11.4,
      X     'GAMA=',E11.4//)
N 0033   GO TO 150
N 0034   140 WRITE(IP,57)KSI,GAMA
N 0035   57 FORMAT(12X,'KSI=',F6.2,14X,'GAMA=',F6.2)
N 0036   150 IF(KSI.GE.GAMA) GO TO 170
N 0038   J4ID=0
N 0039   GO TO 160

C   CALCULC DO RESIDUO NORMALIZADO
C
N 0040   170 IJ=2
N 0041   LJC1(I)=1
N 0042   DO 40 I=2,IX
N 0043   IF(LOC1(I).NE.IJ) GO TO 40
N 0045   LJC1(IJ)=I
N 0046   IJ=IJ+1
N 0047   40 CONTINUE
N 0048   LOC1(IJ)=IX+1
N 0049   DU 60 I=1,NMEC
N 0050   VII(I)=.0
N 0051   60 CONTINUE

C
N 0052   I=0
N 0053   DU 20 IJ=1,NMEO
N 0054   IF(JCC(IJ,1).LT.0) GO TO 20
N 0056   I=I+1
N 0057   DO 70 K=1,N
N 0058   BB(K)=.0
N 0059   BA(K)=.0
N 0060   70 CONTINUE
N 0061   LIMI=LCC1(I)
N 0062   LIMS=LOC1(I+1)-1
N 0063   DU 80 K=LIMI,LIMS
N 0064   DC 90 J=1,N
N 0065   IF(LOCB(J).EQ.LOC2(K)) GO TO 100
N 0067   90 CCNTINLE
N 0068   STCP 140
N 0069   100 BB(J)=JACB(K)
N 0070   BA(J)=JACE(K)
N 0071   80 CONTINUE

C
N 0072   CALL PRC0(LLCA3,LOC5,LOC2,AA,N,BB)
N 0073   DU 110 J=1,N
N 0074   VII(IJ)=VII(IJ)+BA(J)*BB(J)
N 0075   110 CONTINUE
N 0076   20 CONTINUE

C
N 0077   XMAX=.0
N 0078   IJ=C
N 0079   DU 30 I=1,NMEC
N 0080   IF(JCC(I,1).LT.0) GO TO 30
N 0082   IJ=IJ+1
N 0083   VII(I)=VAR(I)-VII(I)

```

L 2.5.0 (JUNE 78)

DIEG

OS/360 FORTRAN H EXTENDED

DAT

```

N 0054      IF(VII(I).LE.:0) GO TO 120
N 0056      VII=VII(I)
N 0057      VII(I)=SQRT(1./VPI(I))*ABS(DELZ(I,J))
N 0058      IF(ISSW(6).EQ.1) WRITE(IP,27)I,VIII,VAR(I),I,VII(I),IJ,DELZ(I,J)
N 0059      27 FORMAT(30X,'DII(',I3,',')='',E10.3,',   VAR='',E10.3,
#           'VII(',I3,',')='',E10.3,',   DELZ('I,I3,',')='',E10.3)
N 0060      GO TO 120
N 0062      120 CONTINUE
N 0063      IF (ISSW(6).EQ.0) GO TO 30
N 0064      WRITE(IP,27)I,VII(I),VAR(I)
N 0065      37 FORMAT(30X,'DII(',I3,',')='',E10.3,',   VAR='',E10.3)
N 0066      GO TO 30
N 0068      130 IF(VII(I).LT.XMAX) GO TO 30
N 0100      XMAX=VII(I)
N 0101      MAX=I
N 0102      30 CONTINUE
C
N 0103      JCCD=JCD(MAX,1)
N 0104      NINT=NBCMT(MAX,1)
N 0105      NBARR=NLMBUS(NINT)
N 0106      JM10=P4X
N 0107      WRITE(IP,47)MAX,XMAX,GAMA,JCCD,NBARR,(BUSNAME(K,NINT),K=1,3)
N 0108      47 FORMAT(6X,'MEDIDOR N.',I3,3X,'XMAX=',F6.2,4X,'GAMA=',F6.2,/11X,
*           'TIFC=',I2,/1CX,'BARRA=',I4,1X,3A4)
N 0109      IF (JCCD.NE.5 .AND. JCCD.NE.6) GO TO 160
N 0111      NINT=JCC(MAX,2)
N 0112      WRITE(IP,77)NUMBUS(NINT),(BUSNAME(K,NINT),K=1,3)
N 0113      77 FORMAT(11X,'PARA=',I4,1X,3A4)
N 0114      160 IF (ISSW(6).EQ.0) RETURN
N 0116      CALL CLOCK(IT2,'CPU')
N 0117      TM=(IT2-IT1)*.01
N 0118      WRITE(IP,67)TM
N 0119      67 FORMAT(10X,'TEMPO CPU DIEG =',F6.2)
N 0120      RETURN
N 0121      END

```

L 2.3.0 (JUNE 78)

OS/360 FORTRAN H EXTENDED

DAT

STD OPTIONS: NODECK,NOLIST,CPT=0

NS IN EFFECT: NAME(MAIN) NOCPIMIZE LINECOUNT(60) SIZE(MAX) AUTOUBL(NONE)
SOURCE EEECIC NOLIST NODECK OBJECT MAP NOFORMAT GOSTMT XREF NUALC NU

N 0002 SUBROUTINE CETET(ALSIG)

CCC
 C SUBROTINA PARA DETERMINACAO DA DETETABILIDADE DE ERRO GROS- C
 C SEIRO NOS MEDIDORES C
 CCC

CCC AREA DE COMMON CCC
 C

N 0003 COMMON MECFLG, REDFLG, NBUS, NMED,
 G NUMBUS(123), NBCMT(750,2), Z(750), VAR(750),
 P JCC(750,31), BIAS(750), REATOR(64), IFIRST(123),
 I ITC(192,21), INEXT(192), ICCM(192), TAPNO(192),
 C GB(192), B2S(192), TAP(123), SHUNT(123)

N 0004 COMMON JACE(2500), LOC2(2500), LOC4(2500), X(250),
 G NMCA, IX, NSW, JST,
 P JEN, INJFLG, DELZ(750), JCBFLG,
 I FUT(10), INFUT(10), VARN(750), ISSW(10)

C
 N 0005 INTEGER TAPNC
 N 0006 LOGICAL MECFLG, REDFLG, JCBFLG, INJFLG
 N 0007 COMPLEX GP, TAP, SHUNT
 N 0008 REAL JACB

N 0009 COMMON AA(2500), LOCA2(2500), LOCA3(256), LCGA4(256),
 G BB(256), LCG3(256), LOC3(256), ICAB(32),
 P GENBUS(123), VOLT(128), PLOAD(123), WLGA0(123),
 I PGEN(64), QGEN(64), ZT(750), LCG5(2500),
 C BUSNAM(3,128), REMNAM(3,90), IPREF(100), NTENS(123)

C
 N 0010 COMPLEX VCLT
 N 0011 INTEGER GENBLS, BUSNAM, REMNAM

C
 CCCCC FIM DA AREA DE COMMON

N 0012 REAL KSI
 N 0013 DIMENSION VII(750), BA(256), ALSIG(1)
 N 0014 DATA IP/6/

C
 N 0015 N=2*NBL5-1
 N 0016 DO 10 I=1,NBL5
 N 0017 X(I)=CABS(VCLT(I))
 N 0018 J=I+NBL5
 N 0019 IF (I.GT.NSK) J=J-1
 N 0020 A=AIMAG(VCLT(I))
 N 0021 B=REAL(VCLT(I))
 N 0022 X(J)=ATAN2(A,B)
 N 0023 10 CONTINUE
 N 0024 JCBFLG=.TRUE.
 N 0025 CALL CJAC1
 N 0026 CALL FCRMMA
 N 0027

C
 C CALCULC DO RESICUG NORMALIZADO

C
 N 0028 IJ=2
 N 0029 LUC1(1)=1

L 2.3.0 (JUNE 78)

CETET

OS/360 FORTRAN H EXTENDED

041

```

N 0030      DO 40 I=2,IX
N 0031      IF(LOC1(I).NE.IJ) GO TO 40
N 0033      LOC1(IJ)=I
N 0034      IJ=IJ+1
N 0035      40 CONTINUE
N 0036      LJC1(IJ)=IX+1
N 0037      DO 60 I=1,NMED
N 0038      VII(I)=.0
N 0039      60 CONTINUE
C
N 0040      I=0
N 0041      DO 20 IJ=1,NMED
N 0042      IF(JCC(IJ,1).LT.0) GO TO 20
N 0044      I=I+1
N 0045      DO 70 K=1,N
N 0046      BB(K)=.0
N 0047      BA(K)=.0
N 0048      70 CONTINUE
N 0049      LIMI=LOC1(I)
N 0050      LIMS=LCC1(I+1)-1
N 0051      DO 80 K=LIMI,LIMS
N 0052      DC 90 J=1,N
N 0053      IF(LGCC(J).EQ.LOC2(K)) GO TO 100
N 0055      90 CONTINUE
N 0056      STOP 140
N 0057      100 BB(J)=JACB(K)
N 0058      BA(J)=JACB(K)
N 0059      80 CONTINUE
C
N 0060      CALL PRCD(LCCAB,LOC5,LCCAB,AA,N,BB)
N 0061      DO 110 J=1,N
N 0062      VII(IJ)=VII(IJ)+BA(J)*BB(J)
N 0063      110 CONTINUE
N 0064      20 CONTINUE
C
N 0065      K=NMCN-N
N 0066      GAMMA=1.65
N 0067      XMAX=.0
N 0068      IJ=0
N 0069      DO 30 I=1,NMED
N 0070      IF(JCC(I,1).LT.0) GO TO 30
N 0072      IJ=IJ+1
N 0073      VII(I)=1.-VII(I)/VAR(I)
N 0074      ALFA=SQRT(2.*GAMMA*(SQRT(2.*K)/VII(I)+2.*GAMMA))
C      WRITE(IP,27)I,IJ,VAR(I),VII(I),ALFA
C      27 FORMAT(2X,'I=' ,I3,4X,'IJ=' ,I3,4X,'VAR(I)=' ,F8.5,4X,'VII(I)=' ,
C      *          F8.5,4X,'ALFA/SIGMA=' ,F10.4)
N 0075      ALSIG(I)=ALFA
N 0076      30 CONTINUE
N 0077      RETURN
N 0078      END

```

L 2.3.0 (JUNE 78)

OS/360 FORTRAN H EXTENDED

DAT.

STED OPTIONS: NODECK,NCLIST,CPT=0

NS IN EFFECT: NAME(MAIN) NOOPTIMIZE LINECOUNT(60) SIZE(MAX) AUTOUBL(NONE)
SOURCE EBCDIC NOLIST NODECK OBJECT MAP NOFORMAT GOSTMT XREF NOALC NO

IN 0002

SUBROUTINE FCRMAA

```

      CCC          CCC
      C SUBROTINA PARA FORMAR A MATRIZ A C
      C E TRIANGULA-LA          C
      CCC          CCC
      CCC          AREA DE COMMON
      C
      .N 0003      COMMON MECFLG,      REDFLG,      NBUS,      NMED,
      G   NUMBLS(123),    NBMT(750,2),  Z(750),    VAR(750),
      P   JCD(750,3),    BIAS(750),    REATOR(64),  IFIRST(123),
      I   ITO(192,2),    INEXT(192),   ICCM(192),  TAPAO(192),
      C   GB(192),       B2S(192),    TAP(123),   SHUNT(123)
      .N 0004      COMMON JACE(2500),  LOC2(2500),  LOC1(2500), X(256),
      G   NMEN,         IX,          NSW,        JST,
      P   JEN,          INJFLG,     CELZ(750),  JCBFLG,
      I   FUT(10),      IFUT(10),    VARON(750), ISSN(10)
      C
      N 0005      INTEGER TAPNC
      N 0006      LOGICAL MECFLG,REDFLG,JCBFLG,INJFLG
      N 0007      COMPLEX GB,TAP,SHJNT
      N 0008      REAL JACB
      C
      N 0009      COMMON AA(2500),    LOCA2(2500),  LOCA3(256),  LOCA4(256),
      G   BB(256),       LOC8(256),    LOC3(256),  ICAB(33),
      P   GENBL(123),   VOLT(123),   PLOAD(123), QLOAD(123),
      I   PGEN(64),     QGEN(64),    ZT(750),   LOC5(2500),
      C   BLSNAM(3,123), REMNAM(3,90), IPREF(100), NTENS(123)
      C
      N 0010     COMPLEX VCLT
      N 0011     INTEGER GENBUS,BUSHAM,REMNAME
      C
      CCCC     FIM DA AREA DE COMMON
      N 0012     DIMENSION XA(256),BB(256),IK(256),AA(2500),LOC4(2500)
      N 0013     EQUIVALENCE (IFUT(1),ITER),(IFUT(10),REPET),(IFUT(9),CONV)
      N 0014     LOGICAL REPET,CONV
      N 0015     INTEGER CC
      C     DATA EPS/.001/
      N 0016     DATA IP/6/
      C
      N 0017     N=2*NBL-1
      C
      C     ORDENACAC POR COLUNA
      C
      N 0018     DO 791 I=1,N
      N 0019     LOC3(I)=0
      N 0020     791 CONTINUE
      N 0021     DO 790 I=1,IX
      N 0022     IC=LOC2(I)
      N 0023     LOC3(IC)=LOC3(IC)+1
      N 0024     790 CONTINUE
      N 0025     IK(1)=1
      N 0026     DO 792 I=2,N
      N 0027     IF(LOC3(I-1).NE.0) GC TO 793

```

L 2.3.0 (JUNE 78)

FORMAA

OS/360 FORTRAN H EXTENDED

DAT

```

N 0029      WRITE(1P,707) I
N 0030      707 FORMAT(10X,'NAO OBSERVABEL  I=%,I2/)

C   STOP 125
N 0031      RETURN
N 0032      793 IK(I)=IK(I-1)+LOC3(I-1)
N 0033      LOC3(I-1)=IK(I-1)
N 0034      792 CONTINUE
N 0035      LOC3(N)=IK(N)
N 0036      LOC3(N+1)=IX+1
N 0037      DO 440 I=1,IX
N 0038      IC=LOC2(I)
N 0039      IE=IK(IC)
N 0040      AA1(IE)=JACE(I)
N 0041      LOC4(IE)=LCC1(I)
N 0042      IK(IC)=IK(IC)+1
N 0043      440 CONTINUE

C   ORDENACAO
C

N 0044      DO 300 I=1,N
N 0045      LOCA4(I)=0
N 0046      LOC8(I)=I
N 0047      300 CONTINUE
N 0048      DO 301 I=1,IX
N 0049      IC=LOC2(I)
N 0050      LOCA4(IC)=LCCA4(IC)+1
N 0051      301 CONTINUE
N 0052      303 ITRC=0
N 0053      LS=N-1
N 0054      DO 302 I=1,LS
N 0055      IF(LOCA4(I).LE.LOC4(I+1)) GO TO 302
N 0057      IT=LOCA4(I)
N 0058      LOCA4(I)=LCCA4(I+1)
N 0059      LOCA4(I+1)=IT
N 0060      IT=LOC8(I)
N 0061      LOC8(I)=LCC8(I+1)
N 0062      LOCE(I+1)=IT
N 0063      ITRC=1
N 0064      302 CONTINUE
N 0065      IF(ITRC.NE.0) GO TO 303

C   CALCULO DE A
C

N 0067      IJ=0
N 0068      BC=.0
N 0069      DO 40 I=1,N
N 0070      II=LOC2(I)
N 0071      LOCA3(II)=IJ+1
N 0072      DO 50 J=1,N
N 0073      JJ=LOCE(J)
N 0074      IF(I.GT.J) GO TO 50
N 0076      IF(I.EQ.J) GO TO 660
N 0078      IKJ=0
N 0079      LN=LCC3(JJ)
N 0080      LI=LCC2(II)
N 0081      LS=LCC3(II+1)-1
N 0082      DO 70 K=LI,LS
N 0083      K1=LCC4(K)

```

L 2.3.0 (JUNE 78) FORMAA OS/360 FORTRAN H EXTENDED DAT

```

N 0084      LS1=LCC3(JJ+1)-1
N 0085      BC=0 L=LIN,LS1
N 0086      IF(LCC4(L).EQ.K1) GO TO 90
N 0088      IF(LCC4(L).GT.K1) GO TO 730
N 0090      80 CONTINUE
N 0091      GO TO 70
N 0092      90 BC=BC+AA1(K)*AA1(L)/VARN(K1)
N 0093      KJ=1
N 0094      780 LIN=L
N 0095      70 CONTINUE
N 0096      IF(IKJ.EQ.0) GO TO 50
N 0098      690 IJ=IJ+1
N 0099      AA(IJ)=BC
N 0100      BC=.0
N 0101      LUCAZ(IJ)=J
N 0102      LOC5(IJ)=IJ+1
N 0103      GO TO 50
N 0104      660 BC=.0
N 0105      LI1=LCC3(JJ)
N 0106      LS1=LCC3(JJ+1)-1
N 0107      DO 670 M=LI1,LS1
N 0108      K1=LCC4(M)
N 0109      BC=BC+AA1(M)*AA1(M)/VARN(K1)
N 0110      670 CONTINUE
N 0111      GO TO 690
N 0112      50 CONTINUE
N 0113      LOC5(IJ)=0
N 0114      40 CONTINUE
N 0115      IDISP=IJ+1
N 0116      IF (ISSN(2).EQ.0) GO TO 1001
N 0118      WRITE(IP,1007)
N 0119      1007 FORMAT(//9X,'I',LUCA3*)
N 0120      DO 1000 I=1,N
N 0121      1000 WRITE(IP,1017)I,LOCA3(I)
N 0122      1017 FORMAT(7X,I3,4X,I4)
N 0123      WRITE(IP,1027)
N 0124      1027 FORMAT(//3X,'I',7X,'AA',5X,'LOC2  LOC5')
N 0125      DJ 1002 I=1,ICISP
N 0126      1002 WRITE(IP,1037)AA(I),LOC2(I),LOC5(I)
N 0127      1037 FORMAT(1X,I4,1X,E10.4,2X,I+,3X,I4)
N 0128      1001 CONTINUE
C
C     TRIANGULATION
C
N 0129      CALL TRIAN(LOCA3,LOC5,LOC2,AA,DISP,N)
C
N 0130      RETURN
N 0131      END

```

L 2.3.0 (JUNE 78)

OS/360 FORTRAN H EXTENDED

DAT

STD OPTIONS: NUDECK,NCLIST,CPT=0

NS IN EFFECT: NAME(MAIN) NCCPTIMIZE LINECOUNT(60) SIZE(MAX) AUTOUBL(NONE).
SOURCE EBCDIC NOLIST NUDECK OBJECT MAP NUFORMAT GOSTMT XREF NOALC NO

```

N 0002      SUBROUTINE RELT(IRE1,IRE2)
CCC          CCC
C   SUBRUTINA PARA IMPRIMIR O RELATORIO C
C   DAS REMOTAS IRE1 A IRE2           C
CCC          CCC
CCC          AREA DE COMMON           C
C
N 0003      COMMON  MEDFLG,        REDFLG,        NBUS,        NMED,
G           NUMBUS(128),    NBOUT(750,2),   Z17501,     VAR(750),
P           JCC(750,3),     BIAS(750),     REATOR(64),  IFIRST(128),
I           ITC(192,2),    INEXT(192),    ICCM(192),  TAPNO(192),
C           GB(192),       B2S(192),     TAP(128),   SHUNT(128)
N 0004      COMMON  JACB(2500),   LOC2(2500),   LOC1(2500), X(256),
G           NMCR,         IX,            NSW,         JST,
P           JER,          INJFLG,       DELZ(750),  JCBFLG,
I           FUT(10),      IFUT(10),     VARGN(750), ISSW(10)
C
N 0005      INTEGER TAPNO
N 0006      LOGICAL MEDFLG,REDFLG,JCBFLG,INJFLG
N 0007      COMPLEX GB,TAP,SHUNT
N 0008      REAL   JACB
C
N 0009      COMMON  AA(2500),    LOCA2(2500),   LOCA3(256),  LOCA4(256),
G           BB(256),      LOC3(256),     LOC3(256),  ICAU(53),
P           GENELS(128),  VOLT(128),    PLLOAD(128), WLOAD(128),
I           PGEM(64),     QGEN(64),     ZT(750),    LOC5(2500),
C           BLSNAM(3,128), REMNAM(3,90),  IPREF(100),  NTENS(128)
C
N 0010     COMPLEX VCLT
N 0011     INTEGER GENBUS,BUSNAM,REMNAME
C
CCCC     FIM DA AREA DE COMMON
N 0012     DIMENSION VEIA(10),VEIR(10),INJEC(10),XT(128)
N 0013     LOGICAL IMPR
N 0014     DATA 1F/6/,C1/57.2958/,C2/.000001/
C
N 0015     DO 9 I=1,NELS
N 0016     XT(I)=CABS(VCLT(I))
N 0017     A=AIMAG(VCLT(I))
N 0018     B=REAL(VCLT(I))
N 0019     II=NELS+I
N 0020     IF (II.GT.NSW) II=II-1
N 0022     XT(II)=ATAN2(A,B)
N 0023     9 CONTINUE
C
N 0024     DO 10 IREM=IRE1,IRE2
C
C   REMOTA
C
N 0025     DO 20 J=1,NMED
N 0026     IF(NSCMT(J,2).EQ.IREM) GO TO 30
N 0028     20 CONTINUE
N 0029     GO TO 10

```

L 2.3.0 (JUNE 78)

RELT

OS/360 FORTRAN H EXTENDED

DAT

```

C
C CABEÇALHO
C

N 0030      30 WRITE(IP,711)CA8
N 0031      7 FORMAT('1',10X,'ELETRESUL - DTL/GPIC ** ESTIMADOR DE ESTADO **'
*           ' //,33A4//')
N 0032      * IPAG=E
C
N 0033      WRIT(1P,27)IREM,(REMNA1(K,IREM),K=1,3)
N 0034      27 FORMAT(7X,'REMOTA N.',I2,2X,3A4)
N 0035      WRITE(1P,37)
N 0036      37 FORMAT(/3X,'TEORICO',3X,'ESTIM/',3X,'MEDICO',2X,'N.MED',3X,
*           '(T-E)',3X,'(T-M)',2X,'DESV.P.',2X,'ERR(DP)')
C
N 0037      DO 300 I=1,10
N 0038      INJEC(I)=0
N 0039      VEIA(I)=.0
N 0040      VEIR(I)=.0
N 0041      300 CONTINUE
N 0042      IINJ=1
C
C TENSÃO
C

N 0043      IMPR=.TRUE.
N 0044      DO 40 I=J,AMEC
N 0045      IF(NBCPT(I,2).NE.IREM) GO TO 40
N 0047      IF(IAES(JCC(I,1)).NE.1) GO TO 40
N 0049      IF(IMPR) WRITE(1P,47)
N 0051      47 FORMAT(/2X,'TENSAO')
N 0052      IF(IMPR) IPAG=IPAG+2
N 0054      IMPR=.FALSE.
N 0055      NINT=NBCMT(I,1)
N 0056      NBAR=NUMBLS(NINT)
N 0057      VT=XT(NINT)
N 0058      IF(VT.EQ..C) VT=C2
N 0060      VE=X(NINT)
N 0061      VM=Z(I)
N 0062      DE=(VE-VT)*100./VT
N 0063      DM=(VM-VT)*100./VT
N 0064      DP=SQRT(VAR(I))
N 0065      IF(JCC(I,1).LT.0) GO TO 560
N 0067      ER=(VM-VT)/DP
N 0068      WRITE(1P,871)NBAR,(BUSNAM(K,NINT),K=1,3),VT,VE,VM,I,DE,DM,DP,ER
N 0069      87 FORMAT(2X,'BARRA ',14,1X,3A4,4X,'VM',3(2X,F7.3),2X,'(',I3,')',
*           2(2X,F7.3),2(1X,F8.4))
*           - IPAG=IPAG+1
N 0070      GO TO 570
N 0071
N 0072      560 WRITE(1P,227)NBAR,(BLSNAM(K,NINT),K=1,3),VT,VE,I,DE,DP
N 0073      227 FORMAT(2X,'BARRA ',14,1X,3A4,4X,'VM',2(2X,F7.3),11X,'(',I3,')',
*           2X,F7.3,10X,F8.4)
*           IPAG=IPAG+1
N 0074      NBUNT=NBUS+NINT
N 0075      IF(NINT.GT.NSW) NBUNT=NBUNT-1
N 0076      VT=XT(NEUNT)*C1
N 0078      IF(VT.EQ..C) VT=C2
N 0079      VE=X(NBUNT)*C1
N 0081      IF(NINT.EQ.NSW) GO TO 470
N 0082      DE=(VE-VT)*100./VT

```

L 2.3.0 (JUNE 78)	RELT	OS/360 FORTRAN H EXTENDED	JAT
N 0085		WRITE(IP,57)VT,VE,DE	
N 0086	97	FORMAT(29X,'AN',2(2X,F7.31,18X,F7.3))	
N 0087		IPAG=IPAG+1	
N 0088		GO TO 480	
N 0089	470	WRITE(IP,167)	
N 0090	167	FORMAT(29X,'AN',4X,'SWING')	
N 0091		IPAG=IPAG+1	
N 0092	480	J1=I	
N 0093	40	CONTINUE	
N 0094		J=J1	
C			
C		FLUXO POTENCIA ATIVA	
C			
N 0095		IMPR=.TRUE.	
N 0096		J=1	
N 0097	DO 80	I=J,NMED	
N 0098		IF(NBCMT(I,2).NE.IREM) GO TO 80	
N 0100		IF(IAES(JCD(I,1)).NE.5) GO TO 80	
N 0102		IF(IMPRI) WRITE(IP,67)	
N 0104	67	FORMAT(/2X,'FLUXO')	
N 0105		IF (IMPRI) IPAG=IPAG+2	
N 0107		IMPR=.FALSE.	
N 0108		NDE=NBCMT(I,1)	
N 0109		NPARA=JCD(1,2)	
N 0110		ND=NUMBLS(NDE)	
N 0111		NP=NUMBLS(NPARA)	
N 0112		VT=ZT(I)	
N 0113		IF (VT.EQ..0) VT=C2	
N 0115		NC=JCD(I,3)	
N 0116		K=NDE	
N 0117		L=NPARA	
N 0118		IV=1	
N 0119		IF(K.LT.L) GO TO 90	
N 0121		KTM=K	
N 0122		K=L	
N 0123		L=KTM	
N 0124		IV=-1	
N 0125	90	Kw=IFIRST(K)	
N 0126	450	IF(Kw.EC.0) STOP 134	
N 0128		KK=ITC(Kw,1)	
N 0129		IF(KK.EC.L) GO TO 100	
N 0131	110	Kw=INEXT(Kw)	
N 0132		GO TO 450	
N 0133	100	NCX=ITO(Kw,2)	
N 0134		IF(NCX.NE.NC) GO TO 110	
N 0136		ICCD=5	
N 0137		CALL FLLXC(K,L,Kw,IV,ICCD,VE)	
N 0138		IINJ=1	
N 0139	330	IF(IINJ.GT.10) STOP 135	
N 0141		IF(INJEC(IINJ).EQ.0) INJEC(IINJ)=NDE	
N 0143		IF(INJEC(IINJ).NE.NDE) GO TO 310	
N 0145		VEIA(IINJ)=VEIA(IINJ)*VE	
N 0146		GO TO 320	
N 0147	310	IINJ=IINJ+1	
N 0148		GO TO 330	
N 0149	320	VM=Z(I)	
N 0150		DE=(VE-VT)*100./VT	
N 0151		DM=(VM-VT)*100./VT	

L 2.3.0 (JUNE 78)

RELT

OS/360 FORTRAN H EXTENDED

DATE

```

N 0152      DP=SQRT(VAR(1))
N 0153      IF(JCC(1,1).LT.0) GO TO 500
N 0155      ER=(VM-VT)/DP
N 0156      WRITE(IP,127)ND,(BUSNAM(K,NDE),K=1,3),VT,VE,VM,I,DE,DM,DP,ER
N 0157      127 FORMAT(1X,'DE ',I4,1X,3A4,' CIRC. PA',3(2X,F7.2),2X,'(',I3,',',
*                  2(2X,F7.2),2(2X,F7.3))
N 0158      * IPAG=IPAG+1
N 0159      GO TO 510
N 0160      500 WRITE(IP,177)ND,(BUSNAM(K,NDE),K=1,3),VT,VE,I,DE,DP
N 0161      177 FORMAT(1X,'DE ',I4,1X,3A4,' CIRC. PA',2(2X,F7.2),11X,'(',I3,',',
*                  2X,F7.2,11X,F7.3)
N 0162      * IPAG=IPAG+1
C
C   FLUXO PCTENCIA REATIVA
C
N 0163      510 DO 120 M=1,NMED
N 0164      IF(N3CMT(M,2).NE.IREM) GO TO 120
N 0166      IF(IABS(JCD(M,1)).NE.6) GO TO 120
N 0168      IF(NDE.NE.N3OMT(M,1)) GO TO 120
N 0170      IF(NPARA.NE.JCD(M,2)) GO TO 120
N 0172      IF(NC.NE.JCD(M,3)) GO TO 120
N 0174      K=NDE
N 0175      L=NPARA
N 0176      IV=1
N 0177      IF(K.LT.L) GO TO 460
N 0179      KTM=K
N 0180      K=L
N 0181      L=KTM
N 0182      IV=-1
N 0183      400 KW=IFIRST(K)
N 0184      130 IF(KW.EQ.0) STOP 136
N 0186      KK=ITC(KW,1)
N 0187      IF(KK.EQ.L) GO TO 140
N 0189      150 KW=INEXT(KW)
N 0190      GO TO 130
N 0191      140 NCX=ITC(KW,2)
N 0192      IF(NCX.NE.NC) GO TO 150
N 0194      ICOD=6
N 0195      CALL FLUXG(K,L,KW,IV,ICOD,VE)
N 0196      VT=ZT(M)
N 0197      IF(VT.EQ..0) VT=C2
N 0199      VE=IR(IINJ)=VEIR(IINJ)+VE
N 0200      VM=Z(M)
N 0201      DE=(VE-VT)*100./VT
N 0202      DM=(VM-VT)*100./VT
N 0203      DP=SQRT(VAR(M))
N 0204      IF(JCC(M,1).LT.0) GO TO 200
N 0206      ER=(VM-VT)/DP
N 0207      WRITE(IP,117)NP,(BUSNAM(K,NPARA),K=1,3),NC,VT,VE,VM,M,DE,DM,DP,ER
N 0208      117 FORMAT(1X,'P/ ',I4,1X,3A4,' N.',I1,' PR',3(2X,F7.2),2X,'(',I3,
*                  ')',2(2X,F7.2),2(2X,F7.3))
N 0209      * IPAG=IPAG+2
N 0210      IF(IPAG.LT.60) GO TO 160
N 0212      WRITE(IP,17)
N 0213      17 FORMAT('1')
N 0214      * IPAG=0
N 0215      GO TO 160
N 0216      200 WRITE(IP,217)NP,(BUSNAM(K,NPARA),K=1,3),NC,VT,VE,M,DE,DP

```

L 2.3.0 (JUNE 78)

RELT

OS/360 FORTRAN H EXTENDED

DATE

```

N 0217    217 FORMAT(1X,'P',14,1X,3A4,' N.',1I1' PR',2(2X,F7.2),1IX,('I',13,
*      'I',2X,F7.2,11X,F7.3/1
N 0218      IPAG=IPAG+2
N 0219      IF (IPAG.LT.60) GO TO 160
N 0221      WRITE(IP,17)
N 0222      IPAG=0
N 0223      GO TO 160
N 0224      120 CONTINUE
N 0225      160 J1=1
N 0226      80 CONTINUE
N 0227      J=J1

C
C SHUNT
C

N 0228      VTT=.0
N 0229      VET=.0
N 0230      VMT=.0
N 0231      NBARC=0
N 0232      IMPR=.TRUE.
N 0233      J=1
N 0234      DO 170 I=J,NMED
N 0235      IF (NBGMT(I,2).NE.IREM) GO TO 170
N 0237      IF (IABS(JCD(I,1)).NE.4) GO TO 170
N 0239      IF (.NCT. IMPR) GO TO 220
N 0241      IF (IPAG.LT.61) GO TO 230
N 0243      WRITE(IP,17)
N 0244      IPAG=0
N 0245      230 WRITE(IP,77)
N 0246      77 FORMAT(/2X,'SHUNT')
N 0247      IPAG=IPAG+2
N 0248      IMPR=.FALSE.
N 0249      220 NINT=NBLMT(I,1)
N 0250      NSAR=NUMBLS(NINT)
N 0251      NREAT=JCD(I,2)
N 0252      VT=ZT(I)
N 0253      IF (VT.EQ..0) VT=C2
N 0255      RX=-REATCR(NREAT)
N 0256      VE=X(NINT)*X(NINT)*RX
N 0257      IINJ=1
N 0258      340 IF (IINJ.GT.1C1) STOP 137
N 0260      IF (INJECT(IINJ).EQ.0) INJECT(IINJ)=NINT
N 0262      IF (INJECT(IINJ).NE.NINT) GO TO 350
N 0264      VEIR(IINJ)=VEIR(IINJ)+VE
N 0265      GO TO 360
N 0266      350 IIKJ=IINJ+1
N 0267      GO TO 340
N 0268      360 VM=Z(I)
N 0269      IF (JCC(I,1).LT.0) VM=.0
N 0271      DE=(VE-VM)*100./VT
N 0272      DM=(VM-VT)*100./VT
N 0273      IF (NBARC.EQ.0) NBARC=NBAR
N 0275      IF (NBARC.NE.NEAR) GO TO 130
N 0277      DP=SQRT(VAR(I))
N 0278      IF (JCC(I,1).LT.0) GO TO 520
N 0280      ER=(VM-VT)/DP
N 0281      190 WRITE(IP,137) NREAT, VT, VE, VM, I, DE, DM, DP, ER
N 0282      137 FORMAT(23X,'N.',12,' PR',3(1X,F8.2),2X,('I',13,''),2(1X,F8.2),
*      . 2(1X,F8.3))

```

L 2.5.0 (JUNE 78) RELT OS/360 FORTRAN H EXTENDED. DATE

```

N 0253            IPAG=IPAG+1
N 0254            IF (IPAG.LT.62) GO TO 530
N 0256            WRITE(IP,17)
N 0257            IPAG=C
N 0258            GO TO 530
N 0259            520 WRITE(IP,187)NREAT,VT,VE,I,DE,DP
N 0260            187 FORMAT(23X,'N.',I2,' PR',2I1X,F8.2),11X,'(',I3,')',1X,F8.2,
*                10X,F8.3)
N 0261            IPAG=IPAG+1
N 0262            IF (IPAG.LT.62) GO TO 530
N 0264            WRITE(IP,17)
N 0265            IPAG=C
N 0266            530 VTT=VTT+VT
N 0267            VET=VET+VE
N 0268            GO TO 170
N 0269            180 DET=(VET-VTT)*100./VTT
N 0270            WRITE(IP,147)NBARC,(BLSNAM(K,NINT),K=1,31),VTT,VET,DET
N 0271            147 FORMAT(1X,'TGT.BARRA ',I4,1X,3A4,3X,2(I1X,F8.2),17X,F3.2)
N 0272            IPAG=IPAG+1
N 0273            IF (IPAG.LT.62) GO TO 210
N 0274            WRITE(IP,17)
N 0275            IPAG=0
N 0276            210 VTT=.C
N 0277            VET=.C
N 0278            VMT=.D
N 0279            NBARC=NBAR
N 0280            GO TO 190
N 0281            170 CONTINUE
N 0282            IF(VTT+VET+VMT.EQ..0) GO TO 440
N 0283            DET=(VET-VTT)*100./VTT
N 0284            WRITE(IP,147)NBARC,(BLSNAM(K,NINT),K=1,31),VTT,VET,DET
C
C INJECAO POTENCIA ATIVA
C
N 0285            440 IMPR=.TRUE.
N 0286            J=1
N 0287            DO 50 I=J,NMED
N 0288            IF(N8CMT(I,2).NE.IREM) GO TO 50
N 0289            IF(IAES(JCC(I,1)).NE.2) GO TO 50
N 0290            IF (.NOT. IMPR) GO TO 240
N 0291            IF (IPAG.LT.61) GO TO 250
N 0292            WRITE(IP,17)
N 0293            IPAG=0
N 0294            250 WRITE(IP,57)
N 0295            57 FORMAT(/2X,'INJECAO')
N 0296            IPAG=IPAG+2
N 0297            IMPR=.FALSE.
N 0298            240 NINT=N8CMT(I,1)
N 0299            NBAR=NUMBLS(NINT)
N 0300            VT=ZT(I)
N 0301            IF (VT.EQ..0) VT=C2
N 0302            DO 400 N=1,10
N 0303            IF(INJEC(N).EQ.NINT) GO TO 410
N 0304            400 CONTINUE
N 0305            STOP 138
N 0306            410 VE=VEIA(N)
N 0307            VM=Z(I)
N 0308            DE=(VE-VT)*100./VT

```

L 2.3.0 (JUNE 78)

RELT

US/360 FORTRAN H EXTENDED

DATE

```

N 0347      DM=(VM-VT)*100./VT
N 0348      DP=SQRT(VAR(1))
N 0349      IF(IJCC(1,1).LT.0) GO TO 540
N 0351      ER=(VM-VT)/DP
N 0352      IF (VT.EQ.C2) GO TO 530
N 0354      WRITE(IP,107)NBAR,(BLSNAM(K,NINT),K=1,3),VT,VE,VM,I,DE,DM,DP,ER
N 0355      107 FORMAT(4X,'BARA ',I4,1X,3A4,' PA',3(1X,F8.2),2X,'(',I3,')',
*           2(1X,FE.2),2(1X,F8.3))
N 0356      620 IPAG=IPAG+1
N 0357      IF (IPAG.LT.61) GO TO 550
N 0359      WRITE(IP,17)
N 0360      IPAG=0
N 0361      GO TO 550
N 0362      580 WRITE(IP,507)NBAR,(BUSNAM(K,NINT),K=1,3),VT,VE,VM,I,DP,ER
N 0363      507 FORMAT(4X,'EAKRA ',I4,1X,3A4,' PA',3(1X,F8.2),2X,'(',I3,')',
*           18X,2(1X,F8.3))
N 0364      GO TO 620
N 0365      540 IF (VT.EQ.C2) GO TO 610
N 0367      WRITE(IP,197)NBAR,(BLSNAM(K,NINT),K=1,3),VT,VE,VM,I,DE,DP
N 0368      197 FORMAT(4X,'BARA ',I4,1X,3A4,' PA',2(1X,FE.2),11X,'(',I3,')',
*           1X,F8.2,10X,F8.3)
N 0369      GO TO 620
N 0370      610 WRITE(IP,237)NBAR,(BLSNAM(K,NINT),K=1,3),VT,VE,VM,I,DP
N 0371      237 FORMAT(4X,'BARA ',I4,1X,3A4,' PA',2(1X,F8.2),11X,'(',I3,
*           ')',19X,F8.3)
N 0372      GO TO 620
C
C   INJECAC PCTENCIA REATIVA
C
N 0373      550 DO 60 K=1,NMED
N 0374      IF(N3CMT(K,2).NE.IREM) GO TO 60
N 0375      IF(IABS(JCD(K,1)).NE.3) GO TO 60
N 0376      IF(N3CMT(K,1).NE.NINT) GO TO 60
N 0377      VT=ZT(K)
N 0378      IF (VT.EQ..0) VT=C2
N 0379      DO 420 N=1,10
N 0380      IF(INJEC(N).EQ.NINT) GO TO 430
N 0381      420 CONTINUE
N 0382      STOP 139
N 0383      430 VE=VEIP(N)
N 0384      VM=Z(K)
N 0385      DE=(VE-VT)*100./VT
N 0386      DM=(VM-VT)*100./VT
N 0387      DP=SQRT(VAR(K))
N 0388      IF (JCC(K,1).LT.0) GO TO 600
N 0389      ER=(VM-VT)/DP
N 0390      IF (VT.EQ.C2) GO TO 550
N 0391      WRITE(IP,157)VT,VE,VM,K,DE,DM,DP,ER
N 0392      157 FORMAT(29X,'PR',3(1X,F8.2),2X,'(',I3,')',2(1X,F8.2),2(1X,F8.3)/)
N 0393      630 IPAG=IPAG+2
N 0394      IF (IPAG.LT.62) GO TO 70
N 0395      WRITE(IP,17)
N 0396      IPAG=0
N 0397      GO TO 70
N 0398      590 WRITE(IP,517)VT,VE,VM,K,DP,ER
N 0399      517 FORMAT(29X,'PR',3(1X,F8.2),2X,'(',I3,')',18X,2(1X,F8.3)/)
N 0400      GO TO 630
N 0401      600 WRITE(IP,207)VT,VE,K,DE,DP

```

L 2.5.0 (JUNE, 75)	RELT	OS/360 FORTRAN H EXTENDED	DAT
N 0410	207 FORMAT(29X,'PR',2(1X,F8.2),11X,'((,13,'1',1X,F8.2,10X,F8.3/1		
N 0411	GO TO 630		
N 0412	60 CONTINUE		
N 0413	70 J1=I		
N 0414	50 CONTINUE		
N 0415	J=J1		
C			
N 0416	10 CONTINUE		
C			
C			
N 0417	RETURN		
N 0418	END		

L 2.3.0 (JUNE 75)

OS/360 FORTRAN H EXTENDED

DAT

STD OPTIONS: NODECK,NCLIST,OPT=0

NS IN EFFECT: NAME(MAIN) NOOPTIMIZE LINECOUNT(60) SIZE(MAX) AUTODBL(NONE)
SOURCE EBCDIC NCLIST NODECK OBJECT MAP NOFORMAT GUSTMT XREF NOALC NO

```

N 0002      SUBROUTINE FLUXO(I,J,K,IV,ICODE,RESP)
  CCC          CCC
  C  SUBROUTINA PARA CALCULAR O FLUXO           C
  C  . KW = NUMERO DO LACO                      C
  C  SE IV=1, CALCULA O FLUXO DE I PARA J       C
  C  SE IV=-1, CALCULA O FLUXO DE J PARA I       C
  C  ICODE=5 PARA FLUXO ATIVO                   C
  C  ICODE=6 PARA FLUXO REATIVO                 C
  C  RESP = FLUXO CALCULADO                     C
  CCC          CCC
  CCC          AREA DE COMMON
  C

N 0003      COMMON MECFLG,      REDFLG,      NBUS,      NMED,
  G  NUMBLS(123),    NBUMT(750,2),  Z(750),   VAR(750),
  P  JCC(750,3),    BIAS(750),    REATOR(64),  IFIRST(123),
  I  ITC(192,2),    INEXT(192),   ICOM(192),  TAPNJ(192),
  C  GE(192),        B2S(192),    TAP(123),   SHUNT(123)
N 0004      COMMON JACB(2500),  LOC2(2500),  LOC1(2500),
  G  NMCR,          IX,          NSW,         X(256),
  P  JEN,          INJFLG,     DELZ(750),   JST,
  I  FUT(10),       IFUT(10),    VARON(750),  JCBFLG,
  C
  C
N 0005      INTEGER TAPNC
N 0006      LOGICAL MECFLG,REDFLG,JCBFLG,INJFLG
N 0007      COMPLEX GE,TAP,SHUNT
N 0008      REAL JACB
  C
N 0009      COMMON AA(2500),    LOCA2(2500),  LOCA3(2500),  LOCA4(256),
  G  BB(256),        LOCB(256),    LOC3(256),   ICAB(33),
  P  GENBLS(123),   VOLT(123),    PLOAD(123),  QLOAD(123),
  I  PGEN(64),       QGEN(64),    ZT(750),    LOC5(2500),
  C  BLSNAM(3,123), REMNAM(3,90), IPREF(100), NTENS(123)
  C
N 0010      COMPLEX VOLT
N 0011      INTEGER GENBLS,BUSNAM,REMNAM
  C
  CCCC      FIM DA AREA DE COMMON
N 0012      COMPLEX YIJ,YII
N 0013      YIJ=-GE(KW)
N 0014      YII=-GE(KW)
N 0015      KTP=TAPNO(KW)
N 0016      IF(KTP.EQ.0) GO TO 20
N 0018      IF(IV.EQ.-1) KTP=-KTP
N 0020      IF(KTP.LT.0) GO TO 10
N 0022      YII=YII/(TAP(KTP)*CONJG(TAP(KTP)))
N 0023      YIJ=YIJ/CONJG(TAP(KTP))
N 0024      GO TO 20
N 0025      10 KTP=-KTP
N 0026      YIJ=YIJ/TAP(KTP)
N 0027      20 IT=1
N 0028      IF(I.GT.NSW) IT=IT-1
N 0029      JT=J
N 0031      IF(J.GT.NSW) JT=JT-1

```

L 2.3.0 (JUNE 76) FLUXC OS/360 FORTRAN H EXTENDED DAT

```

N 0033      IDX=NBL$+IT
N 0034      JDX=NBL$+JT
N 0035      ANG1=X(IDX)
N 0036      IF(1.EC.NS) ANG1=.0
N 0038      ANGJ=X(JDX)
N 0039      IF(J.EC.NS) ANGJ=.0
N 0041      COSX=COS(ANG1-ANGJ)
N 0042      SINX=SIN(ANG1-ANGJ)
N 0043      IF(IV.EC.-1) SINX=-SINX
N 0045      VI=X(I)
N 0046      VJ=X(J)
N 0047      IF(ICODE.EC.2.OR.ICODE.EQ.5) GO TO 50
N 0049      A=REAL(YIJ)
N 0050      B=-AIMAG(YIJ)
N 0051      E=-E2S(KW)-AIMAG(YII)
N 0052      GO TO 100
N 0053      90 A=AIMAG(YIJ)
N 0054      B=REAL(YIJ)
N 0055      E=REAL(YII)
N 0056      100 V=VI
N 0057      IF(IV.EC.-1)V=VJ
N 0059      RESP=V*V*E-VI*VJ*(A*SINX+B*COSX)
N 0060      RETURN
N 0061      END

```

MANUAL DE UTILIZAÇÃO DO PROGRAMA PRINCIPAL E DAS SUBROTINAS

Como já foi visto, praticamente todo o processamento é controlado através do programa principal. Uma seqüência normal de chamada de subrotinas seria a seguinte:

1. CALL CRED
2. CALL CMED
3. CALL CALZ
4. CALL REDUND(A) ou REDUN2(I); A(Real) e I(Integer)
são os limites inferiores desejados, ver as figuras
2.3-1 e 2.4-1.
5. CALL WLS ou DRAP
6. CALL DETET(A), A(REAL) é o endereço onde serão colocados os resultados A deve ter dimensão igual ou superior ao número de medidores.
7. CALL DIEG (A, J), A(REAL) é a constante para o teste da deteção, deve ser igual a 1.65 para $P_e = 5\%$; I(INTEGER) significa o número do medidor identificado, caso seja igual a zero, não houve deteção de erro grossoiro.
8. CALL RELT(IL, I2), IL e I2(INTEGER) indicam os números da primeira e da última remota que devem aparecer no relatório.

As duas primeiras chamadas são obrigatórias, sendo as demais opcionais, dependendo obviamente do objetivo que se tem em vista.

Leitura de Dados pela Subrotina CRED

Vamos ver agora qual o formato dos dados necessários. Para a subrotina que lê a configuração da rede(CRED) os dados devem ser como se segue:

As duas primeiras linhas correspondem ao cabeçalho que aparece no relatório, na primeira linha são lidos os caracteres das colunas 1 a 72 e na segunda linha os caracteres 1 a 60. Cabe lembrar que no relatório o cabeçalho corresponde a uma única linha com 132 caracteres.

1º FORMAT (18A4)

2º FORMAT (15A4)

Em seguida são lidos os dados de barra, a cada barra corresponde uma linha de dados com o seguinte formato:

K	VM	AN	GL	BL	PL	QL	PG	QG	NOME	NTEM
I5	F10.8	F10.6	F5.1	F5.1	F5.1	F5.1	F5.1	F5.1	3A4	I2

Onde K = número da barra

VM = módulo da tensão, em p.u

AN = ângulo da tensão, em graus

GL = "shunt", em MW

BL = "shunt", em MVAR. Se indutivo, o sinal deve ser negativo

PL = carga, em MW

QL = carga, em MVAR

PG = geração, em MW

QG = geração, em MVAR

NOME = nome da barra, até 12 caracteres

NTEM = nível da tensão deve ser fornecido conforme

a seguinte tabela:

KV	NTEM
<138	1
138	2
230	3
440	4
500	5
765	6

Após a última linha contendo dados de barra deve aparecer uma linha contendo zero na posição correspondente ao número da barra, para indicar o término dos dados de barra. São permitidas 128 barras.

Em seguida deve aparecer o número da barra "SWING" com o formato **I5.**

Em seguida são lidos os valores iniciais do vetor de estado (X_0). Cada linha de dados corresponde a dois estados, ou seja, ao módulo e ao ângulo de uma determinada barra. Estas informações devem ter o seguinte formato:

K	VM	VA
I5	F5.3	F5.1

onde K = número de barra

VM = módulo da tensão, em p.u.

VA = ângulo da tensão, em graus

Para indicar o término do vetor de estado inicial, deve ser fornecido um zero na posição do número da barra. Cabe lembrar que existe a opção "Flat Start".

Em seguida são lidos os dados de laços(linhas ou transformadores) cada laço corresponde a uma linha de dados que tem o seguinte formato:

I		J		NCIR		R	X	B	TP		AN
I4	4X	I4	IX	I1	3X	F6.2	F6.2	F6.3	F5.3	10x	F5.2

onde I = número da barra "de"

J = número da barra "para"

NCIR = número de circuitos

R = resistência, em %

X = reatância, em %

B = susceptância, em MVAR

TP = valor do tap do transformador

AN = ângulo de defasamento , em graus.

Para finalizar os dados de laço, deve-se colocar um zero na posição I. Isto encerra os dados lidos pela subrotina CRED. São permitidas 192 linhas e 128 transformadores.

Leitura de Dados pela Subrotina CMED

Após a leitura da configuração da rede, a subrotina CMED efetua a leitura da configuração do sistema de medição.

Inicialmente são lidos os nomes das estações remotas. A cada remota corresponde uma linha com o formato:

NUM	NOM
I5	3A4

onde NUM = número da remota

NOM = nome da remota, até 12 caracteres

Para encerramento dos nomes das remotas, deve-se fornecer um zero na posição NUM.

Em seguida, são lidos os dados das medidores, a cada medidor corresponde uma linha com o formato:

NB	JC	IST	NEST	DP	XBIAS	V1	V2	V3
I5	I5	I5	I5	F5.3	F5.3	F5.0	F5.0	F5.0

onde NB = número da barra onde se localiza o medidor

JC = código do medidor

1 - Tensão

2 - Injeção ativa

3 - Injeção reativa

4 - Potência de reator

5 - Fluxo ativo

6 - Fluxo reativo

IST = "status" do medidor

0 - desligado

1 - ligado

NEST = número da estação remota

DP = desvio padrão do medidor; no presente trabalho, este valor foi calculado no programa principal, de acordo com a seção 1.6

XBIAS = "BIAS" do medidor

V1 = barra destino, se a medição é de fluxo;

valor do reator, em MVAR, se a medição é de potência de reator

V2 = número do circuito, se a medição é de fluxo;

número do reator, se a medição é de reator

V3 = valor da medida, cabe salientar que esta informação é opcional porque o valor da medida pode ser calculado através da subrotina CALZ.

Para encerrar os dados dos medidores, deve ser fornecido um zero na posição NB. São permitidos 750 medidores.

Em seguida são lidos os números dos medidores preferenciais, estes medidores são aqueles que por qualquer razão não podem ser desativados durante o processo de seleção de medidores, seja pela subrotina REDUN ou pela REDUND2. A cada medidor preferencial corresponde uma linha com o formato:

I
I5

onde I = número do medidor preferencial, o número do medidor corresponde a sua ordem durante a leitura dos dados dos medidores.

Para encerrar estes dados, fornecer o valor zero para I. Isto encerra os dados lidos pela subrotina CMED.

Após a leitura da configuração da rede e da configuração do sistema de Medição, a alteração de algum dado lido e a seqüência da chamada das demais subrotinas é função do que se pretende fazer.

Na seqüência da chamada das subrotinas, é claro que não faz sentido por exemplo, pedir um relatório ou detetar erro grosseiro antes de se chamar a subrotina que faz a estimação. Desde que seja obedecida uma certa lógica, tem-se liberdade para a chamada de quaisquer subrotinas.

DICIONÁRIO DE VARIÁVEIS

Praticamente todas as informações são passadas de uma subrotina para outra através da área de COMMON. Para a melhor compreensão e utilização das subrotinas, vamos portanto descrever as variáveis que aparecem nesta área:

MEDFLG = variável lógica que indica se a leitura da configuração dos medidores já foi executada ou não:

- TRUE.= já foi executada
- FALSE.= ainda não foi executada

REDFLG = variável lógica que indica se leitura da configuração da rede já foi executada ou não.

- TRUE. = já foi executada
- FALSE.= ainda não foi executada

NBUS = número de barras da rede elétrica

NMED = número de medidores lidos através da CMED

NUMBUS = número da barra

As variáveis NBOMT, Z, VAR, JCD e BIAS são relativas aos medidores e tem o seguinte significado:

NBOMT(I, 1) = número(interno) da barra, o número interno corresponde à seqüência de leitura.

NBOMT(I, 2) = número da estação remota

Z = valor da medida

VAR = variância do medidor

JCD(I, 1) = código do medidor:

- 1 - Tensão
- 2 - Injeção ativa
- 3 - Injeção reativa
- 4 - Reator
- 5 - Fluxo ativo
- 6 - Fluxo reativo

se o medidor está desativado, ou não existe, o valor do código será negativo.

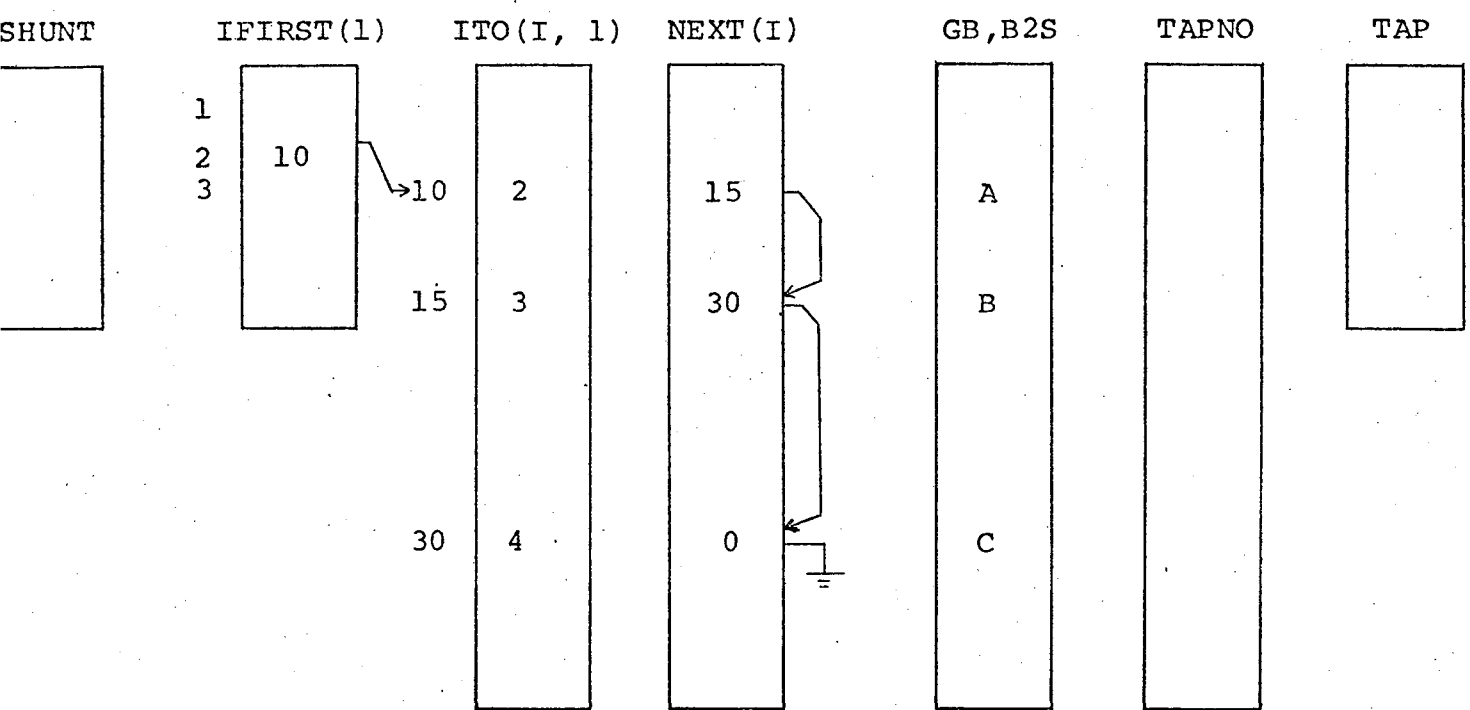
JCD(I, 2) = se o medidor é de fluxo, indica a barra destino; se é de reator, indica o número do reator.

JCD(I, 3) = número do circuito, no caso de haver circuitos paralelos.

BIAS = Bias do medidor

REATOR = valor do Reator em MVAR

A rede elétrica é armazenada em forma de fila, através das variáveis IFIRST, ITO, INEXT, GB, B2S e SHUNT. Apenas a sub-matriz triangular superior é armazenada, com o seguinte formato:



Armazenamento da 2^a linha da matriz M

	A	B	C

Matriz M

Para ilustrar, podemos ver como ficaria armazenada a 2^a linha da matriz M.

IFIRST = aponta para o primeiro elemento(diagonal) da linha da matriz

ITO(I, 1) = barra destino(coluna da matriz)

ITO(I, 2) = número do circuito, caso haja circuitos paralelos; são numerados por 1, 2, pela ordem de leitura.

INEXT = aponta para o próximo elemento da linha da matriz, se não existe o próximo elemento, INEXT = 0

ICOM = indicação do "status" do circuito:
1 = ligado
0 = desligado

TAPNO = indica se o laço é transformador ou não.
0 - não é transformador
\$0 - aponta para o valor do tap, ver a variável TAP

GB = variável complexa, contém o valor da admitância série dos laços

B2S = valor da susceptância em uma das extremidades das linhas de transmissão.

TAP = variável complexa, contém o valor do tap dos transformadores. O acesso a esta variável se dá através a variável TAPNO.

SHUNT = valor do "shunt" de cada barra

A matriz jacobiana H fica armazenada através das variáveis JACB, LOC1 e LOC2

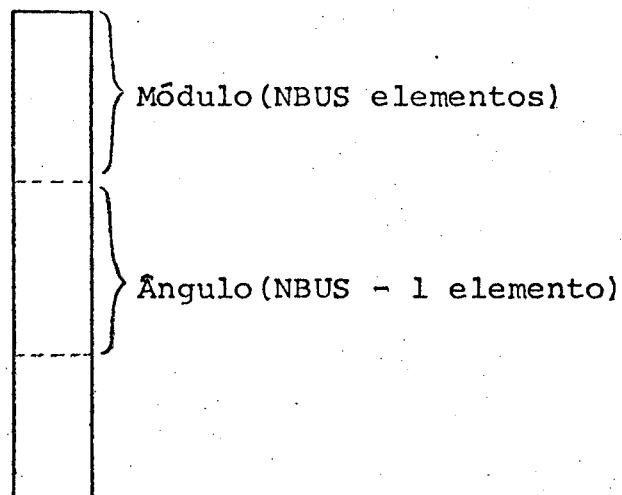
JACB = elemento da matriz

LOC1 = linha da matriz

LOC2 = coluna da matriz

Esta é a forma calculada pela subrotina CJAC1 ou pela CJAC3. Durante o processamento da subrotina WLS ou da DRAP, a forma de armazenamento é alterada.

X = vetor de estado



NMON = número de medidores ativos

IX = número de elementos da matriz jacobiana H

NSW = número da barra "swing"

As variáveis JST, JEN e INJFLG são variáveis auxiliares, usadas durante o cálculo de H.

DELZ = valor do vetor ΔZ

JCBFLG = variável lógica que indica se H deve ser recalculada

. TRUE . = deve ser recalculada

. FALSE . = não deve ser recalculada

FUT = variável de uso geral, não é usada neste trabalho

IFUT = variável de uso geral, no caso, das 10 posições disponíveis foram usadas 6 através do comando EQUIVALENTE, conforme a tabela seguinte

IFUT	EQUIV.
1	ITER
2	NLIN
3	NTRAN
4	NPREF
5	-
6	-
7	-
8	-
9	CONV
10	REPET

ITER = número de iterações

NLIN = número de linhas da rede elétrica

NTRAN = número de transformadores

NPREF = número de medidores preferenciais, ver as seções

2.3 e 2.4

CONV = variável lógica que indica se o estimador convergiu ou não

. TRUE. = convergiu

. FALSE.= não convergiu

REPET = variável lógica, não é usada neste trabalho

VARON = variância dos medidores ativos

ISSW = "chaves" para seleção de algumas opções para o processamento, especialmente do programa principal.

Em seguida temos o significado de cada uma:

ISSW(1)= para selecionar a opção de imprimir ou não o número da iteração e os três maiores elementos de ΔX a cada iteração:

- 1: imprime

1: não imprime

ISSW(2) = para selecionar a opção de imprimir as matrizes

G, H e o vetor AZ:

0: não imprime

1: imprime

ISSW(3) = para selecionar o ponto de partida X_0 para o estimador:

0: X_0 = valor lido pela CRED

1: X_0 = "Flat Start"

ISSW(4) = para definir a variável JCBFLG:

-1: FALSE .

1: TRUE .

ISSW(5) = para definir a origem do vetor de medidas Z:

0: lido pela CMED

1: calculado pela CALZ

ISSW(6) = para selecionar a opção da subrotina DIEG imprimir ou não o resíduo normalizado:

0: não imprime

1: imprime

ISSW(7) = para selecionar a opção das subrotinas CRED e CMED imprimirem ou não os dados durante a leitura dos mesmos:

0: não imprime

1: imprime

ISSL(8) = para selecionar a opção das subrotinas imprimem ou
não seus tempos de CPU:

0: não imprimem

1: imprimem

A matriz de ganho G fica armazenada de forma idêntica
à matriz da rede elétrica, ver IFRST, ITO e INEXT. No caso da
matriz G as variáveis usadas são LOCA3, LOC5, LOCA2 e AA

LOCA3 = aponta para o primeiro elemento(diagonal) da linha
da matriz

LOCA2 = coluna da matriz

LOC5 = aponta para o próximo elemento da linha da matriz, caso
não exista, LOC5 = 0

AA = elemento da matriz G

LOCA4 , LOC3 = vetores auxiliares

BB = termo independente ($\underline{H}^T \underline{R}^{-1} [\underline{z} - \underline{h}(\underline{x})]$)

LOCB = seqüência das linhas da matriz após a ordenação da
matriz G, para minimizar a criação de novos elementos
durante a triangularização.

- ICAB = cabeçalho, contém 132 caracteres que são impressos no inicio de cada folha do relatório.
- GENBUS = se igual a zero, indica que não existe geração na barra.
se positivo, aponta para os geradores (PGEN e QGEN)
- VOLT = variável complexa que contém a tensão verdadeira das barras.
- PLOAD = carga ativa das barras
- QLOAD = carga reativa das barras
- PGEN = geração ativa das barras (apontada por GENBUS)
- QGEN = geração reativa das barras (apontada por GENBUS)
- ZT = valor teórico, ou verdadeiro das medidas.
- BUSNAM = nome das barras (12 caracteres)
- REMNAM = nome das estações remotas (12 caracteres)
- IPREF = número dos medidores preferenciais, ver as secções 2.3 e 2.4.
- NTENS = nível da tensão das barras, ver no manual de utilização, a descrição dos dados de entrada para a subrotina CRED.

"LISTA DE STOPS"

Durante o processamento, podem ocorrer alguns "STOPS" cuja descrição damos em seguida:

STOP Nº	SUBROTINA	DESCRIÇÃO
002	CJAC1 CJAC3	não identificado medidor de fluxo
003	TRIAN	ultrapassou limite máximo de elementos durante a fatorização
040	WLS DRAP	ultrapassou 100 iterações
118	CRED	barra SWING não identificada
119	CRED	barra não identificada durante a leitura de X_0
120 121 122 123 124	CJAC1 CJAC3	ultrapassou limite máximo de elementos da matriz jacobiana <u>H</u> (JACB)
125	WLS DRAP	detetada coluna da matriz jacobiana <u>H</u> (JACB) sem nenhum elemento
126	CRED	ultrapassou limite de barras(128)
127	CRED	ligação não aceita durante a leitura de dados de laços
128	CMED	barra não definida

STOP Nº	SUBROTINA	DESCRIÇÃO
129	CMED	número do reator negativo
130	CMED	ultrapassou número máximo de reatores (64)
131	CMED	número de circuito negativo
132	CALZ	falta a configuração da rede
133	CALZ	falta a configuração dos medidores
134	RELT	não existe o laço correspondente à medição de fluxo ativo
136	RELT	não existe o laço correspondente à medição de fluxo reativo
138	RELT	não identificada a barra da medição de injeção ativa
139	RELT	não identificada a barra da medição de injeção reativa
140	DIEG	a subrotina não conseguiu calcular o resíduo normalizado

APÊNDICE D

Resultado de uma Estimativa

Aqui estão as listagens que correspondem ao resultado de uma estimativa efetuada pelo método desacoplado rápido (DRAP). Antes da estimativa os medidores foram selecionados pela subrotina REDUN2(2) que no caso escolhe 290 medidores do total de 455 disponíveis, o que resulta na redundância global 2.40.

O formato e o conteúdo destas listagens é semelhante aos "displays" apresentados ao despachante num Centro de Operação de Sistema.

ELETROSUL - DTL/GPIC ** ESTIMADOR DE ESTADO **

SISTEMA SUL-BRASILEIRO PLANEJADO PARA 1986 -*** TESE DE MESTRADO-UFSC DEZ/81 R.NARIMATSU

REMOVEDA N. 1 ROCADO

				TEORICO	ESTIM/	MEDIDO	N.MED	(T-E)%	(T-M)%	DESV.P.	ERR(DP)
TENSAO											
BARRA	589 ROCADO	138	VM	1.016	1.016	1.018	(11)	-0.032	0.234	0.0030	0.7922
			AN	-20.112	-20.043			-0.343			
FLUXO											
DE	589 ROCADO	138	CIRC. PA	-1.63	-1.33		(11)	-18.24		0.0	
P/	629 TIJUCAS	138	N.1 PR	7.74	7.90		(2)	2.05		0.0	
DE	589 ROCADO	138	CIRC. PA	-19.96	-20.18		(3)	1.11		0.0	
P/	1260 PALHOCA	138	N.1 PR	-16.49	-16.47		(4)	-0.14		0.0	
DE	589 ROCADO	138	CIRC. PA	-1.63	-1.33		(5)	-18.24		0.0	
P/	629 TIJUCAS	138	N.2 PR	7.74	7.90		(6)	2.05		0.0	
DE	589 ROCADO	138	CIRC. PA	-19.96	-20.18		(7)	1.11		0.0	
P/	1260 PALHOCA	138	N.2 PR	-16.49	-16.47		(8)	-0.14		0.0	
INJECAO											
BA. RA.	589 ROCADO	138	PA	-43.17	-43.02	-42.62	(9)	-0.35	-1.26	0.390	1.437
			PR	-17.51	-17.14	-16.97	(10)	-2.10	-3.08	0.303	1.782

ELETROSUL - DTL/GPIC ** ESTIMADOR DE ESTADO **

SISTEMA SUL-BRASILEIRO PLANEJADO PARA 1986 -**- TESE DE MESTRADO-UFSC DEZ/81 R.NARIMATSU

RENDIMENTO N. 2 ILHOTA.

			TEORICO	ESTIM/	MEDIDO	N.MED	(T-E)%	(T-M)%	DESV.P.	ERR(DP)
TENSAO										
BARRA 1248 ILHOTA	138	VM	1.003	1.003		(20)	-0.004		0.0	
		AN	-18.673	-18.603			-0.348			
FLUXO										
DE 1248 ILHOTA	138	CIRC. PA	-60.75	-61.33		(12)	0.95		0.0	
P/ 1247 BLUMENAU	138	N.1 PR	22.12	22.26		(13)	0.61		0.0	
DE 1248 ILHOTA	138	CIRC. PA	-60.75	-61.33		(14)	0.95		0.0	
P/ 1247 BLUMENAU	138	N.2 PR	22.12	22.26		(15)	0.61		0.0	
DE 1248 ILHOTA	138	CIRC. PA	-3.09	-3.43		(16)	-10.91		0.0	
P/ 1243 JOINVILLE	138	N.1 PR	-10.61	-10.52		(17)	-0.86		0.0	
DE 1248 ILHOTA	138	CIRC. PA	3.09	3.43		(18)	10.91		0.0	
P/ 1243 JOINVILLE	138	N.2 PR	-10.61	-10.52		(19)	-0.86		0.0	
DE 1248 ILHOTA	138	CIRC. PA	-16.40	-16.55		(21)	0.39		0.0	
P/ 629 TIJUCAS	138	N.1 PR	-8.33	-8.46		(22)	1.51		0.0	
DE 1248 ILHOTA	138	CIRC. PA	28.22	27.93		(23)	-0.83		0.0	
P/ 530 LITORAL	138	N.1 PR	-3.98	-3.96		(24)	-0.31		0.0	
INJECAO										
BARRA 1248 ILHOTA	138	PA	-70.70	-71.27		(25)	0.81		0.0	
		PR	10.70	11.05		(26)	3.30		0.0	

ELETROSUL - DTL/GPIC ** ESTIMADOR DE ESTADO **

SISTEMA SUL-BRASILEIRO PLANEJADO PARA 1986 -**- TESE DE MESTRADO-UFSC DEZ/81 R.NARIMATSU

REPUTA N. 3 JOINVILLE

		TEORICO	ESTIM/	MEDIDO	N.MED	(T-E)%	(T-M)%	DESV.P.	ERR(DP)
TENSÃO									
BARKA 1240 JOINVILLE230	VM	1.008	1.008		{ 351	-0.005		0.0	
	AN	-15.313	-15.299			-0.093			
BARKA 1243 JOINVILLE138	VM	1.017	1.016		{ 441	-0.037		0.0	
	AN	-19.233	-19.201			-0.166			
FLUXO									
DE 1240 JOINVILLE230	CIRC. PA	-54.44	-54.91		{ 271	0.87		0.0	
P/ 1244 BLUMENAU 230	N.1 PR	-22.14	-22.28		{ 281	0.63		0.0	
DE 1240 JOINVILLE230	CIRC. PA	-54.44	-54.91		{ 291	0.87		0.0	
P/ 1244 BLUMENAU 230	N.2 PR	-22.14	-22.28		{ 301	0.63		0.0	
DE 1240 JOINVILLE230	CIRC. PA	-54.51	-53.39		{ 311	-2.05		0.0	
P/ 1230 CURITIBA 230	N.1 PR	-22.84	-22.89		{ 321	0.21		0.0	
DE 1240 JOINVILLE230	CIRC. PA	-54.51	-53.39		{ 331	-2.05		0.0	
P/ 1230 CURITIBA 230	N.2 PR	-22.84	-22.89		{ 341	0.21		0.0	
DE 1243 JOINVILLE138	CIRC. PA	-54.47	-54.21	-54.35	{ 361	-0.49	-0.23	0.413	0.309
P/ 1240 JOINVILLE230	N.1 PR	-23.04	-23.30	-22.57	{ 371	1.09	-2.05	0.319	1.480
DE 1243 JOINVILLE138	CIRC. PA	-54.47	-54.21	-54.60	{ 381	-0.49	0.23	0.413	-0.301
P/ 1240 JOINVILLE230	N.2 PR	-23.04	-23.30	-23.51	{ 391	1.09	2.02	0.319	-1.456
DE 1243 JOINVILLE138	CIRC. PA	-54.47	-54.21	-53.77	{ 401	-0.49	-1.30	0.413	1.715
P/ 1240 JOINVILLE230	N.3 PR	-23.04	-23.30	-23.37	{ 411	1.09	1.43	0.319	-1.032
DE 1243 JOINVILLE138	CIRC. PA	-54.47	-54.21	-54.45	{ 421	-0.49	-0.04	0.413	0.059
P/ 1240 JOINVILLE230	N.4 PR	-23.04	-23.30	-23.47	{ 431	1.09	1.84	0.319	-1.329
DE 1243 JOINVILLE138	CIRC. PA	-3.05	-3.39	-2.96	{ 451	11.04	-3.11	0.259	0.360
P/ 1248 ILHOTA 138	N.1 PR	5.61	5.53	5.22	{ 461	-1.50	-7.03	0.267	-1.439
DE 1243 JOINVILLE138	CIRC. PA	-3.05	-3.39	-2.74	{ 471	11.04	-10.33	0.259	1.217
P/ 1248 ILHOTA 138	N.2 PR	5.61	5.53	5.69	{ 481	-1.56	1.34	0.267	0.232
DE 1240 JOINVILLE230	CIRC. PA	54.47	54.21		{ 5681	-0.49		0.0	
P/ 1243 JOINVILLE138	N.1 PR	27.58	27.81		{ 5691	0.84		0.0	
DE 1240 JOINVILLE230	CIRC. PA	54.47	54.21		{ 5701	-0.49		0.0	
P/ 1243 JOINVILLE138	N.2 PR	27.58	27.81		{ 5711	0.84		0.0	
DE 1240 JOINVILLE230	CIRC. PA	54.47	54.21		{ 5721	-0.49		0.0	
P/ 1243 JOINVILLE138	N.3 PR	27.58	27.81		{ 5731	0.84		0.0	
DE 1240 JOINVILLE230	CIRC. PA	54.47	54.21		{ 5741	-0.49		0.0	
P/ 1243 JOINVILLE138	N.4 PR	27.58	27.81		{ 5751	0.84		0.0	
SHUNT									
	N. 3 PR	-20.33	-20.33		{ 5671	-0.01		0.0	
TOT.BARKA 1240 JOINVILLE230		-20.33	-20.33			-0.01			

INJECAO

BARRA	1243	JOINVILLE	138	PA	-224.00	-223.60	(49)	-0.18	0.0
				PR	-80.95	-82.14	(50)	1.46	0.0
BARRA	1240	JOINVILLE	230	PA	0.00	0.21	0.0	(620)	0.560 -0.000
				PR	0.00	0.56	0.0	(621)	0.560 -0.000

ELETROSUL - DTL/GPIC ** ESTIMADOR DE ESTADO **

SISTEMA SUL-BRASILEIRO PLANEJADO PARA 1986 -**- TESE DE MESTRADO-UFSC DEZ/81 R.NARIMATSU

REMOTA N. 4 SIDEROPOLIS

		TEORICO	ESTIM/	MEDIDO	N.MED	(T-E)%	(T-M)%	DESV.P.	ERR(DP)
TENSAO									
BAKKA 1277 SIDEROPD 230	VM	0.992	0.993	0.995	(55)	0.099	0.340	0.0030	1.1231
	AN	-17.649	-17.541			-0.614			
FLUXO									
DE 1277 SIDEROPD 230	CIRC. PA	-81.91	-81.78		(51)	-0.15		0.0	
PA 1265 JLACERDA230B	N.1 PR	-15.75	-15.42		(52)	-2.14		0.0	
DE 1277 SIDEROPD 230	CIRC. PA	-81.91	-81.78		(53)	-0.15		0.0	
PA 1265 JLACERDA230B	N.2 PR	-15.75	-15.42		(54)	-2.14		0.0	
DE 1277 SIDEROPD 230	CIRC. PA	21.31	21.89		(56)	2.71		0.0	
PA 1202 FAROUUP 230	N.1 PR	-23.99	-23.87		(57)	-0.51		0.0	
INjecAO									
BAKKA 1277 SIDEROPD 230	PA	-142.50	-141.67		(58)	-0.58		0.0	
	PR	-55.50	-54.70		(59)	-1.43		0.0	

ELETROSUL - DTL/GPIC ** ESTIMADOR DE ESTADO **

SISTEMA SUL-BRASILEIRO PLANEJADO PARA 1986 -***- TESE DE MESTRADO-UFSC DEZ/81 R.NARIMATSU

REMUTA N. 5 XANXERE

			TEORICO	ESTIMA	MEDIDO	N.MED	(T-E)%	(T-M)%	DESV.P.	ERR(UP)
TENSAO										
BARRA 1187 XANXERE	230	VM	1.012	1.013		(68)	0.041		0.0	
		AN	-11.262	-11.233			-0.256			
BARRA 1189 XANXERE	138	VM	1.003	1.004		(77)	0.060		0.0	
		AN	-15.841	-15.766			-0.473			
FLUXO										
DE 1187 XANXERE	230	CIRC. PA	28.97	29.12		(60)	-0.52		0.0	
P/ 1194 P.FUNDO	230	N.1 PR	-26.64	-25.70		(61)	-3.56		0.0	
DE 1187 XANXERE	230	CIRC. PA	28.97	29.12		(62)	-0.52		0.0	
P/ 1194 P.FUNDO	230	N.2 PR	-26.64	-25.70		(63)	-3.56		0.0	
DE 1187 XANXERE	230	CIRC. PA	-112.49	-111.30		(64)	-1.06		0.0	
P/ 281 PATOBKAN	230	N.1 PR	14.95	13.65		(65)	-8.65		0.0	
DE 1187 XANXERE	230	CIRC. PA	-129.44	-129.26		(66)	-0.13		0.0	
P/ 1182 S.OSORIO	230	N.1 PR	9.63	9.67		(67)	0.35		0.0	
DE 1189 XANXERE	138	CIRC. PA	-61.33	-60.78	-61.89	(71)	-0.90	0.91	0.434	-1.283
P/ 1187 XANXERE	230	N.1 PR	-4.60	-4.50	-4.19	(72)	-2.10	-8.81	0.264	1.536
DE 1189 XANXERE	138	CIRC. PA	-61.33	-60.78	-61.12	(73)	-0.90	-0.34	0.434	0.486
P/ 1187 XANXERE	230	N.2 PR	-4.60	-4.50	-4.38	(74)	-2.10	-4.84	0.264	0.344
DE 1189 XANXERE	138	CIRC. PA	-61.33	-60.78	-60.81	(75)	-0.90	-0.85	0.434	1.197
P/ 1187 XANXERE	230	N.3 PR	-4.60	-4.50	-5.03	(76)	-2.10	9.32	0.264	1.626
DE 1187 XANXERE	230	CIRC. PA	61.33	60.78		(576)	-0.90		0.0	
P/ 1189 XANXERE	138	N.1 PR	9.57	9.38		(577)	-2.01		0.0	
DE 1187 XANXERE	230	CIRC. PA	61.33	60.78		(578)	-0.90		0.0	
P/ 1189 XANXERE	138	N.2 PR	9.57	9.38		(579)	-2.01		0.0	
DE 1187 XANXERE	230	CIRC. PA	61.33	60.78		(580)	-0.90		0.0	
P/ 1189 XANXERE	138	N.3 PR	9.57	9.38		(581)	-2.01		0.0	
INJECAO										
BARRA 1187 XANXERE	230	PA	0.00	0.01	0.0	(69)			0.560	-0.000
		PR	0.00	0.06	0.0	(70)			0.560	-0.000
BARRA 1189 XANXERE	138	PA	-184.00	-182.34		(78)	-0.90		0.0	
		PR	-13.80	-13.51		(79)	-2.10		0.0	

ELETROSUL - DTL/GPIC ** ESTIMADOR DE ESTADO **

SISTEMA SUL-BRASILEIRO PLANEJADO PARA 1500 -*** TESE DE MESTRADO-UFSC DEZ/81 R. NARIYATSU

REDE N. 6 FARROUPILHA

			TEORICO	ESTIM/	MEDIDO	N.MED	(T-E)z	(T-M)z	DESV.P.	ERR.DPz
TENSÃO										
BARRA 1202 FARROUP	230	VH	0.999	0.999		(88)	0.048		0.0	
		AN	-20.260	-20.211			-0.245			
FLUXO										
DE 1202 FARROUP	230	CIRC. PA	-55.30	-55.10		(80)	-0.36		0.0	
P/ 1194 P.FUNDO	230	N.1 PR	-16.50	-16.21		(81)	-1.77		0.0	
DE 1202 FARROUP	230	CIRC. PA	-55.30	-55.10		(82)	-0.36		0.0	
P/ 1194 P.FUNDO	230	N.2 PR	-16.50	-16.21		(83)	-1.77		0.0	
DE 1202 FARROUP	230	CIRC. PA	-21.11	-21.69	-21.49	(84)	2.69	1.79	0.623	-0.637
P/ 1277 SIDEROPOLIS	230	N.1 PR	-8.66	-8.79	-8.43	(85)	1.49	-2.64	0.536	0.390
DE 1202 FARROUP	230	CIRC. PA	-17.07	-17.73		(89)	3.86		0.0	
P/ 1216 CHAKQUEA	230	N.1 PR	-8.30	-8.07		(90)	-2.76		0.0	
DE 1202 FARROUP	230	CIRC. PA	1.31	0.72		(91)	-44.94		0.0	
P/ 1231 CAMPOBOM	230	N.1 PR	-6.46	-6.46		(92)	-0.01		0.0	
DE 1202 FARROUP	230	CIRC. PA	-18.53	-19.06		(93)	2.84		0.0	
P/ 1008 GRAVATAZ	230	N.1 PR	-6.64	-6.47		(94)	-2.60		0.0	
INJECAO										
BARRA 1202 FARROUP	230	PA	-166.00	-167.95		(86)	1.17		0.0	
		PR	-63.06	-62.20		(87)	-1.37		0.0	

ELETROSUL - DTL/GPIC ** ESTIMADOR DE ESTADO **

SISTEMA SUL-BRASILEIRO PLANEJADO PARA 1986 -***- TESE DE MESTRAOO-UFSC DEZ/81 R.NARIMATSU

REMOTA N. 7 SEPA 6

	TEORICO	ESTIM/	MEDIDO	N.MED	(T-E)%	(T-M)%	DESV.P.	ERR(DP)
TENSÃO								
BARFA 1209 SEPA 6 230 VM	0.989	0.990		(101)	0.065		0.0	
FLUXO								
DE 1209 SEPA 6 230 CIRC. PA	-91.46	-91.77		(95)	0.34		0.0	
P/ 1088 GRAVATAZ 230 N.1 PR	-30.85	-30.00		(96)	-2.74		0.0	
DE 1209 SEPA 6 230 CIRC. PA	-85.92	-86.21		(97)	0.34		0.0	
P/ 1088 GRAVATAZ 230 N.2 PR	-28.97	-28.17		(98)	-2.75		0.0	
DE 1209 SEPA 6 230 CIRC. PA	-85.92	-86.21		(99)	0.34		0.0	
P/ 1088 GRAVATAZ 230 N.3 PR	-28.97	-28.17		(100)	-2.75		0.0	
INJEÇÃO								
BARFA 1209 SEPA 6 230 PA	-263.30	-264.19		(102)	0.34		0.0	
PR	-88.79	-86.34		(103)	-2.76		0.0	

ELETROSUL - DTL/GPIC ** ESTIMADOR DE ESTADO **

SISTEMA SUL-BRASILEIRO PLANEJADO PARA 1986 -**- TESE DE MESTRADO-UFSC DEZ/81 R.NARIMATSU

REMOTA N. 8 CAMPO MOURAO

		TEORICO	ESTIM/	MEDIDO	N.MED	(T-E)4	(T-M)6	DESV.P.	ERR(DP)
TENSÃO									
BARRA 1178 C.MOURAO 230	VM	1.007	1.003		(110)	0.070		0.0	
	AN	-12.064	-12.234				1.410		
FLUXO									
DE 1178 C.MOURAO 230	CIRC. PA	108.56	107.40		(104)	-1.07		0.0	
P/ 248 MARINGA 230	N.1 PR	-6.46	-6.71		(105)	3.87		0.0	
DE 1178 C.MOURAO 230	CIRC. PA	92.70	91.60		(106)	-1.19		0.0	
P/ 18 APUCARANA 230	N.1 PR	0.29	0.35		(107)	20.43		0.0	
DE 1178 C.MOURAO 230	CIRC. PA	-126.63	-128.33		(111)	1.35		0.0	
P/ 1182 S.OSORIO 230	N.1 PR	6.97	7.98		(112)	14.45		0.0	
DE 1178 C.MOURAO 230	CIRC. PA	-126.63	-128.33		(113)	1.35		0.0	
P/ 1182 S.OSORIO 230	N.2 PR	6.97	7.98		(114)	14.45		0.0	
INJEÇÃO									
BARRA 1178 C.MOURAO 230	PA	-52.00	-57.67		(109)	10.91		0.0	
	PR	7.78	9.60		(109)	23.39		0.0	

ELETROSUL - DTL/GPIC ** ESTIMADOR DE ESTADO **

SISTEMA SUL-BRASILEIRO PLANEJADO PARA 1986 -**- TESE DE MESTRADO-UFSC DEZ/81 R.NARIHATSU

REMOTA N. 9 BLUMENAU

			TEORICO	ESTIM/	MEDIDO	N.MED	(T-E)%	(T-H)%	DESV.P.	ERR(DP)
TENSÃO										
BARRA 1142	BLUMENAU 500	VM	1.017	1.018		(119)	0.012		0.0	
		AN	-11.320	-11.307			-0.116			
BARRA 1244	BLUMENAU 230	VM	1.029	1.029		(130)	0.014		0.0	
		AN	-13.110	-13.077			-0.254			
BARRA 1247	BLUMENAU 138	VM	1.003	1.003		(145)	0.002		0.0	
		AN	-16.406	-16.320			-0.522			
FLUXO										
DE 1142	BLUMENAU 500	CIRC. PA	-464.05	-463.23		(115)	-0.18		0.0	
P/ 1136	F.AREIA 500	N.1 PR	-163.41	-165.09		(116)	1.03		0.0	
DE 1142	BLUMENAU 500	CIRC. PA	-51.64	-48.31		(117)	-6.44		0.0	
P/ 1137	CURITIBA 500	N.1 PR	-56.88	-56.29		(118)	-1.04		0.0	
DE 1142	BLUMENAU 500	CIRC. PA	257.84	255.01	256.62	(122)	-1.10	-0.47	2.774	-0.441
P/ 1244	BLUMENAU 230	N.1 PR	32.52	32.25	30.62	(123)	-0.85	-5.86	2.098	-0.908
DE 1142	BLUMENAU 500	CIRC. PA	257.84	255.01	258.16	(124)	-1.10	0.12	2.774	0.113
P/ 1244	BLUMENAU 230	N.2 PR	32.52	32.25	33.82	(125)	-0.35	3.99	2.098	0.518
DE 1244	BLUMENAU 230	CIRC. PA	54.81	53.66		(126)	-2.10		0.0	
P/ 1253	RQUEIMAD0230	N.1 PR	6.80	6.27		(127)	-7.77		0.0	
DE 1244	BLUMENAU 230	CIRC. PA	54.92	55.40	54.49	(128)	0.83	-0.77	0.725	-0.537
P/ 1240	JOINVILLE230	N.1 PR	10.57	10.75	9.42	(129)	1.72	-10.93	0.592	-1.953
DE 1244	BLUMENAU 230	CIRC. PA	54.81	53.66		(133)	-2.10		0.0	
P/ 1253	RQUEIMAD0230	N.2 PR	6.80	6.27		(134)	-7.77		0.0	
DE 1244	BLUMENAU 230	CIRC. PA	54.92	55.40	54.74	(135)	0.83	-0.32	0.725	-0.246
P/ 1240	JOINVILLE230	N.2 PR	10.57	10.75	9.62	(136)	1.72	-9.01	0.592	-1.610
DE 1247	BLUMENAU 138	CIRC. PA	-49.37	-48.60	-49.22	(137)	-1.57	-0.30	0.393	0.368
P/ 1244	BLUMENAU 230	N.1 PR	0.52	0.37	0.42	(138)	-28.92	-19.47	0.252	-0.401
DE 1247	BLUMENAU 138	CIRC. PA	-49.37	-48.60	-50.00	(139)	-1.57	1.27	0.393	-1.574
P/ 1244	BLUMENAU 230	N.2 PR	0.52	0.37	0.41	(140)	-28.92	-21.21	0.252	-0.437
DE 1247	BLUMENAU 138	CIRC. PA	-98.74	-97.19	-98.18	(141)	-1.57	-0.57	0.546	1.034
P/ 1244	BLUMENAU 230	N.3 PR	1.04	0.74	0.81	(142)	-29.95	-21.73	0.253	-0.392
DE 1247	BLUMENAU 138	CIRC. PA	-98.74	-97.19	-99.16	(143)	-1.57	0.42	0.546	-0.762
P/ 1244	BLUMENAU 230	N.4 PR	1.04	0.74	0.78	(144)	-29.95	-24.47	0.253	-1.002
DE 1247	BLUMENAU 138	CIRC. PA	61.61	62.21	61.62	(146)	0.96	0.01	0.435	0.021
P/ 1248	ILHOTA 138	N.1 PR	-21.27	-21.36	-21.29	(147)	0.42	0.10	0.314	-0.066
DE 1247	BLUMENAU 138	CIRC. PA	61.61	62.21	61.74	(148)	0.96	0.21	0.435	0.301
P/ 1248	ILHOTA 138	N.2 PR	-21.27	-21.36	-21.41	(149)	0.42	0.65	0.314	-0.446

DE 1244 BLUMENAU 230	CIRC.	PA	-257.84	-255.01	(582)	-1.10	0.0
P/ 1142 BLUMENAU 500	N.I	PR	-24.36	-24.25	(583)	-0.43	0.0
DE 1244 BLUMENAU 230	CIRC.	PA	-257.84	-255.01	(584)	-1.10	0.0
P/ 1142 BLUMENAU 500	N.2	PR	-24.36	-24.25	(585)	-0.43	0.0
DE 1244 BLUMENAU 230	CIRC.	PA	49.37	48.60	(586)	-1.57	0.0
P/ 1247 BLUMENAU 136	N.1	PR	2.32	2.38	(587)	2.63	0.0
DE 1244 BLUMENAU 230	CIRC.	PA	49.37	48.60	(588)	-1.57	0.0
P/ 1247 BLUMENAU 138	N.2	PR	2.32	2.33	(589)	2.63	0.0
DE 1244 BLUMENAU 230	CIRC.	PA	98.74	97.19	(590)	-1.57	0.3
P/ 1247 BLUMENAU 138	N.3	PR	4.65	4.77	(591)	2.62	0.0
DE 1244 BLUMENAU 230	CIRC.	PA	98.74	97.19	(592)	-1.57	0.3
P/ 1247 BLUMENAU 138	N.4	PR	4.65	4.77	(593)	2.62	0.0
SHUNT							
	N.15	PR	155.28	155.32	(668)	0.02	0.0
TOT.BARRA 1142	BLUMENAU 500		155.28	155.32		0.02	
INJECAO							
BARRA 1142	BLUMENAU 500	PA	0.00	-1.52	0.0	(120)	2.000
		PR	0.00	-1.57	0.0	(121)	-0.000
BARRA 1244	BLUMENAU 230	PA	0.00	-0.32	0.0	(131)	0.560
		PR	0.00	-0.15	0.0	(132)	-0.000
BARRA 1247	BLUMENAU 138	PA	-173.00	-167.16	(150)	-3.33	0.3
		PR	-39.45	-40.52	(151)	2.70	0.0

ELETROSUL - DTL/GPIC ** ESTIMADOR DE ESTADO **

SISTEMA SUL-BRASILEIRO PLANEJADO PARA 1986 -**- TESE DE MESTRADO-UFSC DEZ/81 R.NARIHATSU

REMOTA N.10 CURITIBA

	TECRICO	ESTIM/	MEDIDO	N.MED	(T-E)%	(T-M)%	DESV.P.	ERR(DP)
TENSÃO								
BARRA 1137 CURITIBA 500	VM	1.009	1.009	(158)	-0.003	0.0		
	AN	-10.781	-10.800		0.176			
FLUXO								
DE 1137 CURITIBA 500	CIRC. PA	-464.79	-465.88	(152)	0.23	0.0		
P/ 1136 F.AREIA 500	N.1 PR	-172.30	-174.16	(153)	1.08	0.0		
DE 1137 CURITIBA 500	CIRC. PA	51.70	48.37	53.72	(154)	-6.44	3.90	2.155 0.936
P/ 1142 BLUMENAU 500	N.1 PR	-157.55	-153.20	-154.00	(155)	0.41	-2.25	2.473 1.435
DE 1137 CURITIBA 500	CIRC. PA	-115.58	-113.68		(156)	-1.64	0.0	
P/ 1138 CURINORTE 500	N.1 PR	34.18	33.73		(157)	-1.31	0.0	
DE 1137 CURITIBA 500	CIRC. PA	264.37	267.68		(161)	1.25	0.0	
P/ 1230 CURITIBA 230	N.1 PR	71.43	73.23		(162)	2.58	0.0	
DE 1137 CURITIBA 500	CIRC. PA	264.37	267.68		(163)	1.25	0.0	
P/ 1230 CURITIBA 230	N.2 PR	71.43	73.28		(164)	2.53	0.0	
DE 1230 CURITIBA 230	CIRC. PA	65.04	65.12		(168)	0.11	0.0	
P/ 341 S.MATEUS 230	N.1 PR	9.60	8.40		(169)	-12.41	0.0	
DE 1230 CURITIBA 230	CIRC. PA	55.08	53.94	54.16	(170)	-2.07	-1.63	0.725 -1.278
P/ 1240 JOINVILLE230	N.1 PR	9.16	9.10	8.03	(171)	-0.61	-12.26	0.537 -1.910
DE 1230 CURITIBA 230	CIRC. PA	55.08	53.94	54.64	(172)	-2.07	-0.93	0.725 -0.609
P/ 1240 JOINVILLE230	N.2 PR	9.16	9.10	9.73	(173)	-0.61	6.23	0.537 0.971
DE 1230 CURITIBA 230	CIRC. PA	-264.37	-267.68	-264.91	(594)	1.25	0.20	1.353 -0.396
P/ 1137 CURITIBA 500	N.1 PR	-62.22	-63.81	-62.59	(595)	2.56	0.60	0.747 -0.499
DE 1230 CURITIBA 230	CIRC. PA	-264.37	-267.68	-262.97	(596)	1.25	-0.53	1.353 1.038
P/ 1137 CURITIBA 500	N.2 PR	-62.22	-63.81	-62.50	(597)	2.56	0.45	0.747 -0.385
SHUNT								
	N. 2 PR	152.78	152.77		(622)	-0.01	0.0	
TOT.BARRA 1137 CURITIBA 500		152.78	152.77			-0.01		
INJECAO								
BARRA 1137 CURITIBA 500	PA	0.00	4.17	0.0	(159)		2.000	-0.000
	PR	0.00	0.69	0.0	(160)		2.000	-0.000
BARRA 1230 CURITIBA 230	PA	-353.50	-362.35		(165)	2.50	0.0	
	PR	-96.51	-101.01		(166)	4.67	0.0	

ELETROSUL - DTL/GPIC ** ESTIMADOR DE ESTADO **

SISTEMA SUL-BRASILEIRO PLANEJADO PARA 1986 -**- TESE DE MESTRADO-UFSC DEZ/81 R.NARIMATSU

REMOTA N.11 AREIA

	TECRICO	ESTIM/	MEDIDO	N.MED	(T-E)%	(T-M)%	DESV.P.	ERR(DP)
TENSÃO								
BARKA 1136 F.AREIA 500	VM	1.026	1.027	(190)	0.053		0.0	
	AN	-3.565	-3.573		0.212			
FLUXO								
DE 1136 F.AREIA 500	CIRC. PA	-770.58	-771.84	(174)	0.16		0.0	
P/ 1166 SEGREDO 500	N.1 PR	126.01	125.79	(175)	-0.18		0.0	
DE 1136 F.AREIA 500	CIRC. PA	245.67	247.64	(176)	0.80		0.0	
P/ 1131 IVAIPORA 500	N.1 PR	-8.96	-10.45	(177)	-16.72	8.73	2.027	-0.383
DE 1136 F.AREIA 500	CIRC. PA	-752.94	-754.11	(178)	0.16		0.0	
P/ 158 FUZAREIA 500	N.1 PR	133.62	132.50	(179)	-0.84		0.0	
DE 1136 F.AREIA 500	CIRC. PA	-752.94	-754.11	(180)	0.16		0.0	
P/ 158 FUZAREIA 500	N.2 PR	133.62	132.50	(181)	-0.84		0.0	
DE 1136 F.AREIA 500	CIRC. PA	448.07	449.49	(182)	0.32		0.0	
P/ 1138 CURINÔRT 500	N.1 PR	-108.13	-106.19	(183)	-1.80	-1.00	2.324	0.466
DE 1136 F.AREIA 500	CIRC. PA	468.82	469.93	(184)	0.24	-0.00	3.406	-0.007
P/ 1137 CURITIBA 500	N.1 PR	-116.18	-114.20	(185)	-1.70	-3.84	2.349	1.931
DE 1136 F.AREIA 500	CIRC. PA	468.65	467.81	(186)	-0.18	0.05	3.406	0.080
P/ 1142 BLUMENAU 500	N.1 PR	-173.90	-172.75	(187)	-0.66	0.67	2.522	-0.450
DE 1136 F.AREIA 500	CIRC. PA	470.09	468.60	(188)	-0.32		0.0	
P/ 1146 C.NOVOS 500	N.1 PR	-135.66	-136.29	(189)	0.47	1.15	2.407	-0.647
DE 1136 F.AREIA 500	CIRC. PA	175.14	177.22	(192)	1.19		0.0	
P/ 1224 F.AREIA 230	N.1 PR	-8.79	-8.46	(193)	-3.73		0.0	
DE 1224 F.AREIA 230	CIRC. PA	-83.19	-83.73	(197)	0.64		0.0	
P/ 1182 S.USORIO 230	N.1 PR	3.22	3.57	(198)	10.73		0.0	
DE 1224 F.AREIA 230	CIRC. PA	-83.19	-83.73	(199)	0.64		0.0	
P/ 1182 S.USORIO 230	N.2 PR	3.22	3.57	(200)	10.73		0.0	
DE 1224 F.AREIA 230	CIRC. PA	151.60	152.04	(201)	0.29		0.0	
P/ 341 S.MATEUS 230	N.1 PR	2.63	2.03	(202)	-22.99		0.0	
DE 1224 F.AREIA 230	CIRC. PA	109.79	110.65	(203)	0.78		0.0	
P/ 300 P.GROSSA 230	N.1 PR	-10.31	-10.42	(204)	1.03		0.0	
DE 1224 F.AREIA 230	CIRC. PA	-175.14	-177.22	(598)	1.19	1.27	1.035	-2.055
P/ 1136 F.AREIA 500	N.1 PR	17.54	17.41	(599)	-0.76	-0.05	0.613	-0.013
SHUNT								
	N. 1 PR	158.04	158.21	(191)	0.11		0.0	
TCT.BARRA 1136 F.AREIA 500		158.04	158.21		0.11			

INJECAO									
BARRA	1224	F.AREIA	230	PA	-80.12	-91.97	(194)	2.31	0.0
				PR	16.30	16.15	(195)	-0.90	0.0
BARRA	1136	F.AREIA	500	PA	0.00	0.64	0.0	(623)	2.000 -0.000
				PR	0.00	0.66	0.0	(624)	2.000 -0.000

ELETROSUL - DTL/GPIC ** ESTIMADOR DE ESTADO **

SISTEMA SUL-BRASILEIRO PLANEJADO PARA 1986 -***- TESE DE MESTRADO-UFSC DEZ/81 R.NARIHATSU

REUNTA N.12 IVAIPORA

		TEORICO	ESTIM/	MEDIDO	N.MED	(T-E)%	(T-M)%	DESV.P.	ERR(DP)
TENSÃO									
BARRA 1131 IVAIPORA 500	VM	1.000	1.001		(207)	0.082		0.0	
	AN	-6.269	-6.296			0.437			
BARRA 1307 IVAIPORA 765	VM	0.975	0.976		(625)	0.097		0.0	
	AN	-6.908	-6.935			0.400			
FLUXO									
DE 1131 IVAIPORA 500	CIRC. PA	180.20	180.58	179.15	(205)	0.21	-0.59	2.541	-0.415
P/ 1307 IVAIPORA 765	N.1 PR	292.89	290.83	290.68	(206)	-0.70	-0.75	2.379	-0.765
DE 1131 IVAIPORA 500	CIRC. PA	-562.94	-565.98		(210)	0.54		0.0	
P/ 1165 SSANTIAGO 500	N.1 PR	-137.54	-135.70		(211)	-1.34		0.0	
DE 1131 IVAIPORA 500	CIRC. PA	-244.67	-246.64	-246.93	(212)	0.80	0.92	2.734	-0.327
P/ 1136 F.AREIA 500	N.1 PR	-228.06	-226.78		(213)	-0.50		0.0	
DE 1131 IVAIPORA 500	CIRC. PA	627.42	631.10		(214)	0.59		0.0	
P/ 1132 LONDRINA 500	N.1 PR	-127.46	-123.71		(215)	0.98		0.0	
DE 1307 IVAIPORA 765	CIRC. PA	-180.20	-180.58		(600)	0.21		0.0	
P/ 1131 IVAIPORA 500	N.1 PR	-285.70	-283.72		(601)	-0.69		0.0	
SHUNT									
N. 6 PR		100.07	100.24		(626)	0.16		0.0	
N. 7 PR		100.07	100.24		(627)	0.16		0.0	
TUT.BARRA 1131 IVAIPORA 500		200.15	200.47			0.16			
INJECAO									
BARRA 1131 IVAIPORA 500	PA	0.00	-0.94	0.0	(208)			2.000	-0.000
	PR	0.00	0.11	0.0	(209)			2.000	-0.000
BARRA 1307 IVAIPORA 765	PA	-180.20	-180.58		(669)	0.21		0.0	
	PR	-285.70	-283.72		(670)	-0.69		0.0	

ELETROSUL - DTL/GPIC ** ESTIMADOR DE ESTADO **

SISTEMA SUL-BRASILEIRO PLANEJADO PARA 1986 -**- TESE DE MESTRADO-UFSC DEZ/81 R.NARIMATSU

REMOTA N.13 CAMPOS NOVOS

			TEORICO	ESTIM/	MEDIDO	N.MED	(T-E)%	(T-M)%	DESV.P.	ERR(DP)
TENSÃO										
BARRA 1146 C.NOVOS	500	VM	1.026	1.026	-	(218)	0.061		0.0	
		AN	-8.559	-8.546			-0.153			
FLUXO										
DE 1146 C.NOVOS	500	CIRC. PA	-467.20	-465.73	-470.32	(216)	-0.31	0.67	3.402	-0.919
P/ 1136 F.AREIA	500	N.1 PR	-75.86	-75.80		(217)	-0.07		0.0	
DE 1146 C.NOVOS	500	CIRC. PA	467.20	464.75		(219)	-0.52		0.0	
P/ 1150 GRAVATAÍ	500	N.1 PR	-134.61	-134.15	-131.29	(220)	-0.34	-2.47	2.404	1.382
SHUNT										
		N. 5 PR	105.23	105.36		(221)	0.12		0.0	
		N. 8 PR	105.23	105.36		(628)	0.12		0.0	
TOT.BARRA 1146 C.NOVOS	500		210.46	210.72			0.12			
INJEÇÃO										
BARRA 1146 C.NOVOS	500	PA	0.00	-0.98	0.0	(629)			2.000	-0.000
		PR	0.00	0.76	0.0	(630)			2.000	-0.000

ELETROSUL - DTL/GPIC ** ESTIMADOR DE ESTADO **

SISTEMA SUL-BRASILEIRO PLANEJADO PARA 1986 -**- TESE DE MESTRADO-UFSC DEZ/81 R.NARIYATSU

REMOTA N.14 GRAVATAI

		TEORICO	ESTIM/	MEDIDO	N.MED	(T-E)%	(T-M)%	DESV.P.	ERR(%)
TENSÃO									
BARRA 1150 GRAVATAI 500	VM	1.008	1.008		(226)	0.036		0.0	
	AN	-16.516	-16.452			-0.390			
BARRA 1152 GRAVATAI	TA	0.978	0.978	0.979	(233)	0.044	0.069	0.0030	0.2240
	AN	-20.187	-20.103			-0.393			
FLUXO									
DE 1150 GRAVATAI 500	CIRC. PA	-334.89	-334.49		(222)	-0.12		0.0	
P/ 1156 V.AIRE 500	N.1 PR	-160.04	-158.52		(223)	-0.94		0.0	
DE 1150 GRAVATAI 500	CIRC. PA	-462.77	-460.37	-465.52	(224)	-0.52	0.60	3.338	-0.314
P/ 1146 C.NUVOS 500	N.1 PR	-184.58	-186.13		(225)	0.94		0.0	
DE 1150 GRAVATAI 500	CIRC. PA	394.29	393.00		(229)	-0.33		0.0	
P/ 1152 GRAVATAI	TA	198.83	193.39		(230)	-0.23		0.0	
DE 1150 GRAVATAI 500	CIRC. PA	403.37	402.05		(231)	-0.33		0.0	
P/ 1088 GRAVATAZ 230	N.1 PR	-6.50	-7.08		(232)	8.91		0.0	
DE 1152 GRAVATAI	TA	CIRC. PA	-394.29	-393.00	(541)	-0.33		0.0	
P/ 1150 GRAVATAI 500	N.1 PR	-168.10	-167.86		(542)	-0.14		0.0	
DE 1152 GRAVATAI	TA	CIRC. PA	394.28	392.99	(543)	-0.33		0.0	
P/ 1088 GRAVATAZ 230	N.1 PR	211.71	211.39		(544)	-0.15		0.0	
SHUNT									
	N. 9 PR	152.28	152.39		(631)	0.07		0.0	
TOT.BARRA 1150 GRAVATAI 500		152.28	152.39			0.07			
INJECAO									
BARRA 1150 GRAVATAI 500	PA	0.00	0.19	0.0	(227)			2.000	-0.000
	PR	0.00	-0.97	0.0	(228)			2.000	-0.000
BARRA 1152 GRAVATAI	TA PA	0.00	-0.01	0.0	(632)			0.250	-0.000
	PR	43.64	43.54	43.52	(533)	-0.24	-0.28	0.331	-0.315

ELETROSUL - DTL/GPIC ** ESTIMADOR DE ESTADO **

SISTEMA SUL-BRASILEIRO PLANEJADO PARA 1986 --- TESE DE MESTRADO-UFSC DEZ/81 R.NARIMATSU

REMOTA N.15 V.AIRES 500

	TEORICO	ESTIM/	MEDIDO	N.MED	(T-E)%	(T-M)%	DESV.P.	ERR(DP)
TENSÃO								
BARRA 1156 V.AIRES 500	VM	1.022	1.022	(238)	0.015		0.0	
AN	-14.133	-14.072			-0.432			
FLUXO								
DE 1156 V.AIRES 500	CIRC. PA	-505.93	-504.17	(234)	-0.35		0.0	
P/ 1158 ITA 500	N.1 PR	-96.31	-97.35	(235)	1.09		0.0	
DE 1156 V.AIRES 500	CIRC. PA	335.93	335.52	329.26	(236)	-0.12	-1.93	3.008 -2.216
P/ 1150 GRAVATAÍ 500	N.1 PR	14.11	12.45	13.40	(237)	-11.77	-5.05	2.042 -0.349
DE 1156 V.AIRES 500	CIRC. PA	170.00	168.65	(241)	-0.79		0.0	
P/ 1076 V.AIRES 230	N.1 PR	-74.42	-74.32	(242)	-0.14		0.0	
SHUNT								
	N.10 PR	156.61	156.66	(633)	0.03		0.0	
TOT. BARRA 1156 V.AIRES 500								
		156.61	156.66		0.03			
INJEÇÃO								
BARRA 1156 V.AIRES 500	PA	0.00	0.01	0.0	(239)		2.000 -0.000	
	PR	0.00	-2.56	0.0	(240)		2.000 -0.000	

ELETROSUL - DTL/GPIC ** ESTIMADOR DE ESTADO **

SISTEMA SUL-BRASILEIRO PLANEJADO PARA 1986 *** TESE DE MESTRADO-UFSC DEZ/81 R.NARIMATSU

REMOTA N.16 CURIT. NORTE

		TEORICO	ESTIM/	MEDIDO	N.MED	(T-E)%	(T-M)%	DESV.P.	ERR(DP)
TENSAO									
BARRA 1138 CURINORT 500	VM	1.007	1.007		(247)	-0.002		0.0	
	AN	-10.466	-10.490			0.230			
BARRA 1233 CURINORT 230	VM	1.033	1.033		(252)	-0.042		0.0	
	AN	-12.323	-12.894			0.551			
FLUXO									
DE 1138 CURINORT 500	CIRC. PA	-444.36	-445.76	-444.22	(243)	0.31	-0.03	3.333	0.044
P/ 1136 F. AREIA 500	N.1 PR	-184.29	-186.04		(244)	0.96		0.0	
DE 1138 CURINORT 500	CIRC. PA	115.63	113.73	112.23	(245)	-1.64	-2.94	2.347	-1.448
P/ 1137 CURITIBA 500	N.1 PR	-90.23	-89.80	-87.79	(246)	-0.47	-2.70	2.271	1.073
DE 1138 CURINORT 500	CIRC. PA	328.70	335.05		(250)	1.93		0.0	
P/ 1233 CURINORT 230	N.1 PR	122.49	125.95		(251)	2.82		0.0	
DE 1233 CURINORT 230	CIRC. PA	-328.70	-335.05	-328.50	(539)	1.93	-0.06	1.546	0.128
P/ 1138 CURINORT 500	N.1 PR	-107.31	-110.14	-107.82	(540)	2.64	0.47	0.892	-0.573
SHUNT									
TUT.BARRA 1138 CURINORT 500	N.11 PR	152.02	152.01		(634)	-0.00		0.0	
		152.02	152.01			-0.00			
INJECAO									
BARRA 1138 CURINORT 500	PA	0.00	3.03	0.0	(248)			2.000	-0.000
	PR	0.00	2.12	0.0	(249)			2.000	-0.000
BARRA 1233 CURINORT 230	PA	-328.70	-335.05		(253)	1.93		0.0	
	PR	-107.30	-110.14		(254)	2.65		0.0	

ELETROSUL - DTL/GPIC ** ESTIMADOR DE ESTADO **

SISTEMA SUL-BRASILEIRO PLANEJADO PARA 1986 -**- TESE DE MESTRADO-UFSC DEZ/81 R.NARIWATSU

REMOTA N.17 LONDRINA

		TEORICO	ESTIM/	MEDIDO	N.MED	(T-E)%	(T-4)%	DESV.P.	ERR(DP)
TENSÃO									
BARRA 1132 LONDRINA 500	VM	1.004	1.005		(257)	0.092		0.0	
	AN	-9.769	-9.811			0.432			
BARRA 1174 LONDRINA 230	VM	1.003	1.004		(262)	0.096		0.0	
	AN	-14.257	-14.307			0.351			
FLUXO									
DE 1132 LONDRINA 500	CIRC. PA	-624.63	-623.29	-625.59	(255)	0.59	0.15	3.374	-0.243
P/ 1131 IVAIPORA 500	N.I PR	45.49	46.94	47.44	(256)	3.20	4.31	2.135	0.917
DE 1174 LONDRINA 230	CIRC. PA	624.63	626.90		(260)	0.36		0.0	
P/ 1174 LONDRINA 230	N.I PR	-45.50	-45.84		(261)	0.76		0.0	
DE 1174 LONDRINA 230	CIRC. PA	52.43	53.23		(265)	1.53		0.0	
P/ 248 MARINGA 230	N.I PR	-9.83	-10.01		(266)	1.83		0.0	
DE 1174 LONDRINA 230	CIRC. PA	124.99	126.34		(267)	1.07		0.0	
P/ 18 APUCARANA 230	N.I PR	0.97	1.26		(268)	29.79		0.0	
DE 1174 LONDRINA 230	CIRC. PA	259.64	259.68		(269)	0.02		0.0	
P/ 223 LONDR-COP230	N.I PR	-48.31	-43.77		(270)	0.95		0.0	
DE 1174 LONDRINA 230	CIRC. PA	187.57	187.59		(271)	0.01		0.0	
P/ 223 LONDR-COP230	N.2 PR	-37.91	-33.24		(272)	0.88		0.0	
DE 1174 LONDRINA 230	CIRC. PA	-624.63	-626.90	-624.88	(545)	0.36	0.04	2.434	-0.101
P/ 1132 LONDRINA 500	N.I PR	55.09	55.71	55.52	(546)	0.65	0.45	0.845	0.510
INJECAO									
BARRA 1132 LONDRINA 500	PA	0.00	-1.39	0.0	(258)			2.000	-0.000
	PR	0.00	1.10	0.0	(259)			2.000	-0.000
BARRA 1174 LONDRINA 230	PA	0.00	-0.05	0.0	(263)			0.560	-0.000
	PR	0.00	-0.05	0.0	(264)			0.560	-0.000

ELETROSUL - DTL/GPIC ** ESTIMADOR DE ESTADO **

SISTEMA SUL-BRASILEIRO PLANEJADO PARA 1986 -**- TESE DE MESTRADO-UFSC DEZ/81 R.NARIYATSU

REMOTA N.18 ITA

			TEORICO	ESTIM/	MEDIDO	N.MED	(T-E)%	(T-M)%	DESV.P.	ERR(DP)
TENSAG										
BARRA 1158 ITA	500	VM	1.014	1.014		(275)	0.032		0.0	
	AN		-5.578	-5.552			-0.472			
FLUXO										
DE 1158 ITA	500	CIRC. PA	-511.54	-509.64		(273)	-0.37		0.0	
P/ 1165 SSANTIAGO 500	N.1	PR	-84.46	-85.67		(274)	1.66		0.0	
DE 1158 ITA	500	CIRC. PA	511.54	509.74	511.60	(276)	-0.35	0.01	3.535	0.016
P/ 1156 V.AIRES	500	N.1 PR	-223.73	-223.46	-222.24	(277)	-0.12	-0.67	2.671	0.557
SHUNT										
	N. 4	PR	154.09	154.19		(278)	0.06		0.0	
	N.12	PR	154.09	154.19		(635)	0.06		0.0	
TOT.BARRA 1158 ITA	500		308.19	308.38			0.06			
INjecAO										
BARRA 1158 ITA	500	PA	0.00	0.11	0.0	(636)			2.000	-0.000
		PR	0.00	-0.95	0.0	(637)			2.000	-0.000

ELETROSUL - DTL/GPIC ** ESTIMADOR DE ESTADO **

SISTEMA SUL-BRASILEIRO PLANEJADO PARA 1986 -**- TESE DE MESTRADO-UFSC DEZ/81 R.NARIMATSU

REMQTA N.19 CANOINHAS

		TEORICO	ESTIM/	MEDIDO	N.MED	(T-E)%	(T-M)%	DESV.P.	ERR(DP)
TENSAO									
BAKRA 1228 CANOINHAS230	VH	0.991	0.992		(291)	0.110		0.0	
	AN	-17.773	-17.842			0.390			
FLUXO									
DE 1228 CANUINHAS230	CIRC.	-37.02	-37.53		(279)	1.38		0.0	
P/ 341 S.MATEUS 230	PA	-5.39	-5.58		(280)	3.57		0.0	
INjecAO									
BARKA 1228 CANOINHAS230	PA	-37.02	-37.53	-37.66	(282)	1.38	1.73	0.671	-0.956
	PR	-5.39	-5.58	-6.02	(283)	3.57	11.60	0.576	-1.095

ELETROSUL - DTL/GPIC ** ESTIMADOR DE ESTADO **

SISTEMA SUL-BRASILEIRO PLANEJADO PARA 1986 -*** TESE DE MESTRADO-UFSC DEZ/81 R.NARIMATSU

REUNTA N.20 SAO MATEUS

		TEORICO	ESTIM/	MEDIDO	N.MED	(T-E)%	(T-M)%	DESV.P.	ERR(%)
TENSAO									
BARRA 341 S.MATEUS 230	VM	0.995	0.996		(288)	0.121		0.0	
	AN	-16.935	-16.995			0.357			
FLUXO									
DE 341 S.MATEUS 230 P/ 1224 F.AKEIA 230	CIRC. PA	-146.26	-146.63	-145.78	(284)	0.29	-0.33	0.999	0.470
	N.1 PR	3.85	4.53	4.91	(285)	17.72	27.40	0.572	1.046
DE 341 S.MATEUS 230 P/ 1230 CURITIBA 230	CIRC. PA	-63.97	-64.05	-64.61	(286)	0.13	1.00	0.752	-0.853
	N.1 PR	-26.29	-25.16	-25.78	(287)	-4.29	-1.92	0.639	0.792
DE 341 S.MATEUS 230 P/ 1228 CANUINHAS 230	CIRC. PA	37.13	37.64	37.50	(289)	1.38	0.99	0.671	0.549
	N.1 PR	-1.45	-1.26	-1.65	(290)	-13.03	14.00	0.564	-0.360
SHUNT									
TOT.BARRA 341 S.MATEUS 230	N.13 PR	-44.51	-44.62		(638)	0.24		0.0	
		-44.51	-44.62			0.24			
INjecAO									
BARRA 341 S.MATEUS 230	PA	-173.10	-173.09		(639)	-0.01		0.0	
	PR	-68.40	-66.51		(640)	-2.77		0.0	

ELETROSUL - DTL/GPIC ** ESTIMADOR DE ESTADO **

SISTEMA SUL-BRASILEIRO PLANEJADO PARA 1986 -**- TESE DE MESTRADO-UFSC DEZ/81 R.NARIMATSU

REMOTA N.21 PALHOCA

			TEORICO	ESTIM/	MEDIDO	N.MED	(T-E)%	(T-M)%	DESV.P.	ERR(DP)
TENSÃO										
BARRA 1260 PALHOCA	138	VM	1.023	1.024		(301)	0.033		0.0	
		AN	-19.311	-19.738			-0.369			
BARRA 1257 PALHOCA	230	VM	0.989	0.990		(534)	0.095		0.0	
		AN	-17.031	-16.927			-0.609			
FLUXO										
DE 1257 PALHOCA	230	CIRC. PA	-42.40	-42.31		(291)	-0.21		0.0	
P/ 1253 AQUEIMADOD230	N.1 PR		-28.75	-28.67		(292)	-0.29		0.0	
DE 1257 PALHOCA	230	CIRC. PA	-42.40	-42.31		(293)	-0.21		0.0	
P/ 1253 AQUEIMADOD230	N.2 PR		-28.75	-28.67		(294)	-0.29		0.0	
DE 1260 PALHOCA	138	CIRC. PA	-42.40	-42.92	-42.12	(297)	1.23	-0.64	0.377	0.722
P/ 1257 PALHOCA	230	N.1 PR	-25.84	-26.38	-25.90	(298)	2.09	0.23	0.328	-0.179
DE 1260 PALHOCA	138	CIRC. PA	-42.40	-42.92	-43.05	(299)	1.23	1.54	0.377	-1.726
P/ 1257 PALHOCA	230	N.2 PR	-25.84	-26.38	-26.61	(300)	2.09	2.95	0.329	-2.338
DE 1260 PALHOCA	138	CIRC. PA	-15.22	-15.31		(302)	0.58		0.0	
P/ 1268 JLACERDA	138	N.1 PR	1.03	0.93		(303)	-9.31		0.0	
DE 1260 PALHOCA	138	CIRC. PA	-0.26	-0.24		(304)	-6.98		0.0	
P/ 498 IMBITUBA	138	N.1 PR	4.62	4.38		(305)	-5.37		0.0	
DE 1260 PALHOCA	138	CIRC. PA	20.02	20.24	20.56	(306)	1.11	2.71	0.310	1.750
P/ 589 RUCADO	138	N.1 PR	15.76	15.74	15.59	(307)	-0.12	-1.08	0.297	-0.575
DE 1260 PALHOCA	138	CIRC. PA	20.02	20.24	20.21	(308)	1.11	0.98	0.310	0.632
P/ 589 RUCADO	138	N.2 PR	15.76	15.74	16.15	(309)	-0.12	2.43	0.297	1.313
DE 1257 PALHOCA	230	CIRC. PA	42.40	42.92		(547)	1.23		0.0	
P/ 1260 PALHOCA	138	N.1 PR	28.75	29.38		(548)	2.17		0.0	
DE 1257 PALHOCA	230	CIRC. PA	42.40	42.92		(549)	1.23		0.0	
P/ 1260 PALHOCA	138	N.2 PR	28.75	29.38		(550)	2.17		0.0	
INJEÇÃO										
BARRA 1257 PALHOCA	230	PA	0.00	1.22	0.0	(295)			0.560	-0.000
		PR	0.00	1.42	0.0	(296)			0.560	-0.000
BARRA 1260 PALHOCA	138	PA	-60.23	-60.90		(641)	1.11		0.0	
		PR	-14.51	-15.93		(642)	10.10		0.0	

ELETROSUL - DTL/GPTC ** ESTIMADOR DE ESTADO **

SISTEMA SUL-BRASILEIRO PLANEJADO PARA 1986 -**- TESE DE MESTRADO-UFSC DEZ/81 R.NARIHATSU

REMOTA N.22 R. QUEIMADO

		TECRICO	ESTIM/	MEDIDO	N.MED	(T-E)%	(T-M)%	DESV.P.	ERR(DP)
TENSAC									
BARRA 1253 RQUEIMADO230	VM	1.001	1.002		(318)	0.089		0.0	
	AN	-16.279	-16.178			-0.620			
FLUXO									
DE 1253 RQUEIMADO230	CIRC. PA	-54.14	-53.02	-53.17	(310)	-2.07	-1.79	0.722	1.341
P/ 1244 BLUMENAU 230	N.1 PR	-22.58	-22.22	-22.92	(311)	-1.59	1.49	0.623	-0.537
DE 1253 RQUEIMADO230	CIRC. PA	-54.14	-53.02	-53.97	(312)	-2.07	-0.31	0.722	0.233
P/ 1244 BLUMENAU 230	N.2 PR	-22.58	-22.22	-21.36	(313)	-1.59	-5.42	0.623	1.951
DE 1253 RQUEIMADO230	CIRC. PA	42.57	42.48	42.30	(314)	-0.21	-0.64	0.633	-0.397
P/ 1257 PALHOCA 230	N.1 PR	23.82	23.72	23.69	(315)	-0.42	-0.55	0.631	-0.207
DE 1253 RQUEIMADO230	CIRC. PA	42.57	42.48	41.66	(316)	-0.21	-2.13	0.633	-1.316
P/ 1257 PALHOCA 230	N.2 PR	23.82	23.72	22.52	(317)	-0.42	-5.47	0.631	-2.063
DE 1253 RQUEIMADO230	CIRC. PA	-16.96	-17.00		(321)	0.23		0.0	
P/ 1265 JLACERDA230B	N.1 PR	-9.48	-9.36		(322)	-1.19		0.0	
DE 1253 RQUEIMADO230	CIRC. PA	40.10	38.59		(323)	-3.76		0.0	
P/ 1273 IMBITUBA 230	N.1 PR	7.01	7.05		(324)	0.57		0.0	
INJECAO									
BARRA 1253 RQUEIMADO230	PA	0.00	0.52	0.0	(319)			0.560	-0.000
	PR	0.00	0.69	0.0	(320)			0.560	-0.000

ELETROSUL - DTL/GPIC ** ESTIMADOR DE ESTADO **

SISTEMA SUL-BRASILEIRO PLANEJADO PARA 1986 -***- TESE DE MESTRADO-UFSC DEZ/81 R.NARIWATSU

REDETA N.23 IMBITUBA 230

	TEORICO	ESTIM/	MEDIDO	N.MED	(T-E)%	(T-M)%	DESV.P.	ERR(OF)
TENSAO								
BARRA 1273 IMBITUBA 230	VM	0.987	0.983	(329)	0.106		0.0	
	AN	-17.765	-17.601			-0.922		
FLUXO								
DE 1273 IMBITUBA 230	CIRC. PA	-39.86	-39.37	-38.74	(325)	-3.74	-2.81	0.630 1.646
P/ 1253 KQUEIMADO230	N.1 PR	-17.55	-17.70	-18.61	(326)	0.83	6.02	0.613 -1.725
DE 1273 IMBITUBA 230	CIRC. PA	-76.34	-74.59		(330)	-2.31		0.0
P/ 1264 JLALERDA230A	N.1 PR	-21.15	-21.14		(331)	-0.05		0.0
INjecAO								
BARRA 1273 IMBITUBA 230	PA	-116.20	-112.95		(327)	-2.80		0.0
	PR	-38.70	-38.84		(328)	0.35		0.0

ELETROSUL - DTL/GPIC ** ESTIMADOR DE ESTADO **

SISTEMA SUL-BRASILEIRO PLANEJADO PARA 1986 -**- TESE DE MESTRADO-UFSC DEZ/81 R.NARIMATSU

RENDIDA N.24 PUNTA GROSSA

	TEORICO	ESTIM/	MEDIDO	N.MED	(T-E)%	(T-M)%	DESV.P.	ERR(%)
TENSAO								
BARRA 300 P.GROSSA 230	VM	1.000	1.001	(334)	0.063		0.0	
	AN.	-17.402	-17.519		0.668			
FLUXO								
DE 300 P.GROSSA 230	CIRC. PA	94.63	94.77	93.45	(332)	0.15	-1.25	0.844
P/ 164 FIGUEIRA 230	N.I PR	-15.27	-15.56	-15.49	(333)	1.89	1.47	0.606
DE 300 P.GROSSA 230	CIRC. PA	-105.77	-106.57	-106.14	(335)	0.76	0.35	0.377
P/ 1224 F.AREIA 230	N.I PR	-1.29	-0.92	-0.86	(336)	-28.95	-33.58	0.564
INjecAO								
BARRA 300 P.GROSSA 230 PA		-11.14	-11.80	(645)	5.94		0.0	
	PR	-16.56	-16.48	(646)	-0.51		0.0	

ELETROSUL - DTL/GPIC ** ESTIMADOR DE ESTADO **

SISTEMA SUL-BRASILEIRO PLANEJADO PARA 1986 -**- TESE DE MESTRADO-UFSC DEZ/81 R.NARIMATSU

REUNTA N.25 PATO BRANCO

		TEORICO	ESTIM/	MEDIDO	N.4ED	(T-E)%	(T-M)%	DESV.P.	ERR(DP)
TENSÃO									
BARRA 281 PATOBRAN 230	VM	1.017	1.018		(535)	0.111		0.0	
	AN	-6.092	-6.135			0.710			
FLUXO									
DE 281 PATOBRAN 230	CIRC. PA	-145.02	-146.02		(337)	0.69		0.0	
P/ 1152 S.OSORIO 230	N.1 PR	4.87	6.28		(338)	28.90		0.0	
DE 281 PATOBRAN 230	CIRC. PA	114.48	113.23	114.10	(341)	-1.09	-0.33	0.903	-0.421
P/ 1187 XAXERE 230	N.1 PR	-13.89	-17.87	-17.42	(342)	-5.39	-7.80	0.617	2.389
INJECAO									
BARRA 281 PATOBRAN 230 PA		-30.54	-32.73		(339)	7.35		0.0	
	PR	-14.02	-11.60		(340)	-17.28		0.0	

ELETROSUL - DTL/GPIC ** ESTIMADOR DE ESTADO **

SISTEMA SUL-BRASILEIRO PLANEJADO PARA 1986 -**- TESE DE MESTRAO-UFSC DEZ/81 R.NARIMATSU

REMOTA N.26 LONDRINA COP

		TEORICO	ESTIM/	MEDIDO	N.MED	(T-E)*	(T-M)%	DESV.P.	ERR(D%)
TENSAO									
BARRA 223 LONDR-COP230	VM	1.005	1.006		(349)	0.106		0.0	
	AN	-17.729	-17.773			0.252			
FLUXO									
DE 223 LONDR-COP230	CIRC.	PA 110.76	112.61		(343)	1.67		0.0	
P/ 1370 ASSIS 230	N.1 PR	-56.97	-57.97		(344)	1.76		0.0	
DE 223 LONDR-COP230	CIRC.	PA 81.91	83.27		(345)	1.66		0.0	
P/ 1370 ASSIS 230	N.2 PR	-45.24	-46.03		(346)	1.75		0.0	
DE 223 LONDR-COP230	CIRC.	PA -256.81	-256.86	-257.46	(350)	0.02	0.25	1.330	-0.487
P/ 1174 LONDRINA 230	N.1 PR	56.57	57.00	56.66	(351)	0.77	0.17	0.730	0.133
DE 223 LONDR-COP230	CIRC.	PA -185.36	-185.39	-185.09	(352)	0.01	-0.14	1.115	0.240
P/ 1174 LONDRINA 230	N.2 PR	43.25	43.57	43.65	(353)	0.72	0.92	0.690	0.574
INJECAO									
BARRA 223 LONDR-COP230	PA	-249.50	-246.37		(347)	-1.25		0.0	
	PR	-2.38	-3.44		(348)	44.42		0.0	

ELETROSUL - DTL/GPIC ** ESTIMADOR DE ESTADO **

SISTEMA SUL-BRASILEIRO PLANEJADO PARA 1986 -**- TESE DE MESTRADO-UFSC DEZ/81 R.NARIMATSU

REMOTA N.27 APUCARANA

			TEORICO	ESTIM/	MEDIDO	N.MED	(T-E)%	(T-M)%	DESV.P.	ERR(%)
TENSAO										
BARRA	18	APUCARANA230	VH	0.991	0.992	(360)	0.075		0.0	
			AN	-18.306	-18.392		0.468			
FLUXO										
DE	18	APUCARANA230	CIRC.	PA	-123.73	-125.05	-124.14	(354)	1.07	0.33
P/	1174	LONDRINA 230	N.1	PR	-6.62	-6.76	-7.07	(355)	2.09	6.77
DE	18	APUCARANA230	CIRC.	PA	-13.63	-13.33		(356)	-2.22	0.0
P/	248	MARINGA 230	N.1	PR	-2.68	-3.27		(357)	21.70	0.0
DE	18	APUCARANA230	CIRC.	PA	-90.79	-89.74	-90.63	(361)	-1.16	-0.17
P/	1178	C.MOURAD 230	N.1	PR	7.63	7.31	7.36	(362)	-4.08	-3.49
DE	18	APUCARANA230	CIRC.	PA	96.55	97.17	96.40	(363)	0.64	-0.16
P/	164	FIGUEIRA 230	N.1	PR	-20.75	-21.03	-21.43	(364)	1.36	3.26
INjecAO										
BARRA	18	APUCARANA230	PA	-131.60	-130.94	(358)	-0.50		0.0	
			PR	-22.43	-23.74	(359)	5.55		0.0	

ELETROSUL - DTL/GPIC ** ESTIMADOR DE ESTADO **

SISTEMA SUL-BRASILEIRO PLANEJADO PARA 1986. --- TESE DE MESTRADO-UFSC DEZ/81 R.NARIHATSU

REMOTA N.28 MARINGA

	TEORICO	ESTIM/	MEDIDO	N.MED.	(T-E)%	(T-M)%	DESV.P.	ERR(DP)
TENSÃO								
BAKRA 248 MARINGA 230	VM 0.991	0.992		(369)	0.104		0.0	
	AN -17.844	-17.944			0.561			
FLUXO								
DE 248 MARINGA 230 CIRC. PA	-51.79	-52.58	-51.77	(365)	1.51	-0.05	0.715	0.340
P/ 1174 LONDRINA 230 N.1 PR	-9.21	-8.98	-8.23	(366)	-2.48	-10.59	0.539	1.657
DE 248 MARINGA 230 CIRC. PA	-106.46	-105.34	-106.10	(370)	-1.05	-0.33	0.879	0.405
P/ 1178 C.MOURAO 230 N.1 PR	1.22	1.20	1.25	(371)	-1.92	2.05	0.554	0.045
DE 248 MARINGA 230 CIRC. PA	13.65	13.35	13.29	(372)	-2.22	-2.66	0.601	-0.604
P/ 18 APUCARANA 230 N.1 PR	-6.77	-6.21	-6.61	(373)	-8.26	-2.35	0.530	0.275
INJEÇÃO								
BAKRA 246 MARINGA 230 PA	-144.60	-144.57		(367)	-0.02		0.0	
	PR -14.76	-13.99		(368)	-5.19		0.0	

ELETROSUL - DTL/GPIC ** ESTIMADOR DE ESTADO **

SISTEMA SUL-BRASILEIRO PLANEJADO PARA 1986 --**-- TESE DE MESTRADO-UFSC DEZ/81 R.NARIATSU

REMOTA N.29 FOZ DE AREIA

		TECRICO	ESTIM/	MEDIDO	N.MED	(T-E)%	(T-M)%	DESV.P.	ERR(DP)
TENSAO									
BARRA 158 FOZAREIA 500	VM	1.026	1.027	-	(378)	0.054		0.0	
	AN	-3.189	-3.197			0.234			
FLUXO									
DE 158 FOZAREIA 500	CIRC. PA	753.50	754.68	751.08	(374)	0.16	-0.32	4.260	-0.369
P/ 1136 F.AREIA 500	N.1 PR	-138.19	-136.94	-137.02	(375)	-0.91	-0.85	2.415	0.436
DE 158 FUZAREIA 500	CIRC. PA	753.50	754.68	757.20	(376)	0.16	0.49	4.260	0.869
P/ 1136 F.AREIA 500	N.2 PR	-138.19	-136.94	-141.20	(377)	-0.91	2.17	2.415	-1.245
INjecAO									
BARRA 158 FOZAREIA 500	PA	1507.00	1509.36	1507.03	(379)	0.16	0.00	6.521	0.004
	PR	-276.50	-273.87	-270.57	(380)	-0.95	-2.14	2.829	2.096

ELETROSUL - DTL/GPIC ** ESTIMADOR DE ESTADO **

SISTEMA SUL-BRASILEIRO PLANEJADO PARA 1986 -**- TESE DE MESTRADO-UFSC DEZ/81 R.NARIHATSU

REDETA N.30 SEGREDO

		TECRICO	ESTIM/	MEDIDO	N.MED	(T-E)%	(T-M)%	DESV.P.	ERR(DP)
TENSAO									
BARFA 1166 SEGREDO	500	VM	1.020	1.021	(385)	0.056		0.0	
		AN	-0.566	-0.572		1.066			
FLUXO									
DE 1166 SEGREDO	500	CIRC. PA	-143.54	-145.18	(381)	1.15		0.0	
P/ 1165 SSANTIAGU	500	N.I PR	-3.54	-2.57	(382)	-27.50		0.0	
DE 1166 SEGREDO	500	CIRC. PA	773.54	774.81	782.48	(383)	0.16	1.15	4.321
P/ 1136 F.AREIA	500	N.I PR	-172.50	-172.30	-171.35	(384)	-0.12	-0.67	2.069
								2.518	0.458
INJECAO									
BARFA 1166 SEGREDO	500	PA	630.00	629.62	627.02	(386)	-0.06	-0.47	3.890
		PR	-176.10	-174.86	-176.78	(387)	-0.70	0.38	2.528
									-0.253

ELETROSUL - DTL/GPIC ** ESTIMADOR DE ESTADO **

SISTEMA SUL-BRASILEIRO PLANEJADO PARA 1986 -**- TESE DE MESTRADO-UFSC DEZ/81 R.NARIMATSU

REMUTA N.31 L. N. GARCES

		TEORICO	ESTIM/	MEDIDO	N.MED	(T-E)%	(T-M)%	DESV.P.	ERR(DP)
TENSÃO									
BARRA 1306 LNGARCES 230	VM	1.019	1.020		(392)	0.173		0.0	
	AN	-25.460	-25.599			0.543			
FLUXO									
DE 1306 LNGARCES 230	CIRC. PA	-133.02	-134.43		(398)	1.06		0.0	
P/ 1370 ASSIS 230	N.1 PR	-12.80	-12.37		(389)	-3.38		0.0	
DE 1306 LNGARCES 230	CIRC. PA	111.64	113.12		(390)	1.32		0.0	
P/ 1368 XAVANTES 230	N.1 PR	-6.08	-5.91		(391)	-2.88		0.0	
DE 1306 LNGARCES 230	CIRC. PA	21.38	20.91		(395)	-2.22		0.0	
P/ 1452 LNGARCES 138	N.1 PR	18.88	18.47		(396)	-2.18		0.0	
DE 1452 LNGARCES 138	CIRC. PA	-21.39	-20.91	-21.18	(607)	-2.22	-0.94	0.314	0.637
P/ 1306 LNGARCES 230	N.1 PR	-16.13	-15.85	-16.16	(608)	-1.75	0.14	0.293	-0.075
INJEÇÃO									
BARRA 1306 LNGARCES 230	PA	0.00	-0.41	0.0	(393)			0.550	-0.000
	PR	0.00	0.20	0.0	(394)			0.550	-0.000
BARRA 1452 LNGARCES 138	PA	-21.38	-20.91		(647)	-2.22		0.0	
	PR	-16.13	-15.95		(648)	-1.72		0.0	

ELETROSUL - DTL/GPIC ** ESTIMADOR DE ESTADO **

SISTEMA SUL-BRASILEIRO PLANEJADO PARA 1986 -**- TESE DE MESTRADO-UFSC DEZ/81 R.NARIWATSJ

REDETA N.32 XAVANTES

		TEORICO	ESTIM/	MEDIDO	N.MED	(T-E)%	(T-M)%	DESV.P.	ERR(DP)
TENSÃO									
BARRA 1368 XAVANTES 230	VM	1.014	1.016		(402)	0.164		0.0	
	AN	-27.014	-27.168			0.567			
FLUXO									
DE 1368 XAVANTES 230	CIRC. PA	-111.11	-112.58	-112.23	(398)	1.32	1.01	0.893	-1.257
P/ 1306 LINGARCES 230	N.1 PR	0.75	0.61	0.31	(399)	-18.05	-58.16	0.562	-0.773
DE 1368 XAVANTES 230	CIRC. PA	-30.39	-30.91	-29.58	(400)	1.70	-2.69	0.651	1.255
P/ 164 FIGUEIRA 230	N.1 PR	21.87	22.67	22.55	(401)	3.66	3.10	0.626	1.034
INJEÇÃO									
BARRA 1368 XAVANTES 230	PA	-141.50	-143.48		(649)	1.40		0.0	
	PR	22.60	23.29		(650)	3.01		0.0	

ELETROSUL - DTL/GPIC ** ESTIMADOR DE ESTADO **

SISTEMA SUL-BRASILEIRO PLANEJADO PARA 1986 -**- TESE DE MESTRADO-UFSC DEZ/81 R.NARIHATSU

REDETA N.34 ASSIS

			TEORICO	ESTIM.	MEDIDO	N.MED	(T-E)%	(T-M)%	DESV.P.	ERR(DP)
TENSAO										
BAKRA 1371 ASSIS	440	VM	1.003	1.005		(403)	0.243		0.0	
		AN	-25.269	-25.436			0.662			
BAKRA 1370 ASSIS	230	VM	1.030	1.032		(406)	0.164		0.0	
		AN	-22.844	-22.962			0.515			
FLUXO										
DE 1370 ASSIS	230	CIRC. PA	55.17	56.53	55.87	(404)	2.45	1.27	0.726	0.959
P/ 1371 ASSIS	440	N.1 PR	-85.48	-86.73	-85.40	(405)	1.47	-0.09	0.916	0.096
DE 1370 ASSIS	230	CIRC. PA	-108.97	-110.76	-109.40	(409)	1.64	0.39	0.897	-0.477
P/ 223 LUNDR-COP230		N.1 PR	43.55	44.84	45.01	(410)	2.98	3.36	0.691	2.119
DE 1370 ASSIS	230	CIRC. PA	-80.31	-81.62	-80.72	(411)	1.63	0.50	0.801	-0.505
P/ 223 LUNDR-COP230		N.2 PR	35.22	36.24	35.19	(412)	2.88	-0.13	0.656	-0.351
DE 1370 ASSIS,	230	CIRC. PA	134.12	135.54	134.50	(413)	1.06	0.29	0.962	0.397
P/ 1306 LNGARCES	230	N.1 PR	6.70	6.34	6.89	(414)	-5.50	2.75	0.580	0.317
DE 1371 ASSIS	440	CIRC. PA	-55.17	-56.53		(609)	2.45		0.0	
P/ 1370 ASSIS	230	N.1 PR	93.98	95.51		(610)	1.63		0.0	
SHUNT										
TOT.BARRA 1371 ASSIS	440	N.14 PR	181.02	181.90		(651)	0.49		0.0	
			181.02	181.90			0.49			
INJECAO										
BAKRA 1370 ASSIS	230	PA	0.00	-0.31	0.0	(407)			0.560	-0.000
		PR	0.00	0.63	0.0	(408)			0.550	-0.000
BAKRA 1371 ASSIS	440	PA	-55.17	-56.53		(652)	2.46		0.0	
		PR	275.00	277.41		(653)	0.83		0.0	

ELETROSUL - DTL/GPIC ** ESTIMADOR DE ESTADO **

SISTEMA SUL-BRASILEIRO PLANEJADO PARA 1986 -**- TESE DE MESTRADO-UFSC DEZ/81 R.YAMAMATSU

REDETA N.35 SEC1

			TEORICO	ESTIM/	MEDIDO	N.MED	(T-E)%	(T-M)%	DESV.P.	ERR(DP)
TENSÃO										
BARRA 970 SEC1	230	VM	1.000	1.000		(423)	0.042		0.0	
		AN	-19.573	-19.497			-0.390			
FLUXO										
DE 970 SEC1	230	CIRC. PA	-38.07	-38.03		(415)	-0.10		0.0	
P/ 1088 GRAVATAZ	230	N.1 PR	-8.86	-8.88		(416)	0.13		0.0	
DE 970 SEC1	230	CIRC. PA	-38.07	-38.03		(417)	-0.10		0.0	
P/ 1088 GRAVATAZ	230	N.2 PR	-8.86	-8.88		(418)	0.13		0.0	
DE 970 SEC1	230	CIRC. PA	-35.33	-35.30		(419)	-0.10		0.0	
P/ 1088 GRAVATAZ	230	N.3 PR	-7.96	-7.96		(420)	0.02		0.0	
DE 970 SEC1	230	CIRC. PA	-35.33	-35.30		(421)	-0.10		0.0	
P/ 1088 GRAVATAZ	230	N.4 PR	-7.96	-7.96		(422)	0.02		0.0	
DE 970 SEC1	230	CIRC. PA	-78.95	-78.83		(424)	-0.15		0.0	
P/ 1076 V.ARIES	230	N.1 PR	-2.28	-2.01		(425)	-11.73		0.0	
DE 970 SEC1	230	CIRC. PA	-25.34	-26.36		(426)	4.03		0.0	
P/ 1216 CHARQUEA	230	N.1 PR	-0.90	-0.70		(427)	-22.61		0.0	
INJEÇÃO										
BARRA 970 SEC1	230	PA	-251.10	-251.85		(654)	0.30		0.0	
		PR	-36.83	-36.37		(655)	-1.25		0.0	

ELETROSUL - DTL/GPIC ** ESTIMADOR DE ESTADO **

SISTEMA SUL-BRASILEIRO PLANEJADO PARA 1986 -**- TESE DE MESTRADO-UFSC DEZ/81 R.NARIMATSU

REMOTA N.36 GRAVATAI 2

		TEORICO	ESTIM/	MEDIDO	N.MED	(T-E)%	(T-M)%	DESV.P.	ERR(DP)
TENSAO									
BARRA 1088 GRAVATAZ 230	VM AN	1.002 -19.357	1.002 -19.282		(436)	0.042 -0.392		0.0	
FLUXO									
DE 1088 GRAVATAZ 230	CIRC. PA	71.57	71.93		(428)	0.51		0.0	
P/ 731 CAMPOBOM 230	N.1 PR	-6.22	-6.82		(429)	9.56		0.0	
DE 1088 GRAVATAZ 230	CIRC. PA	18.59	19.12	19.01	(430)	2.85	2.26	0.615 0.583	0.631 -0.105
P/ 1202 FARROUP 230	N.1 PR	-7.58	-7.75	-7.65	(431)	2.21	0.81		
DE 1088 GRAVATAZ 230	CIRC. PA	-403.37	-402.05		(432)	-0.33		0.0	
P/ 1150 GRAVATAI 500	N.1 PR	26.54	26.98		(433)	1.64		0.0	
JE 1088 GRAVATAZ 230	CIRC. PA	-394.28	-392.99		(434)	-0.33		0.0	
P/ 1152 GRAVATAI TA	N.1 PR	-219.13	-218.77		(435)	-0.16		0.0	
DE 1088 GRAVATAZ 230	CIRC. PA	38.10	38.06	38.60	(437)	-0.09	1.30	0.674 0.581	0.736 0.239
P/ 970 SECI 230	N.1 PR	6.97	7.00	7.14	(438)	0.36	2.41		
DE 1088 GRAVATAZ 230	CIRC. PA	38.10	38.06	37.35	(439)	-0.09	-1.97	0.674 0.581	-1.113 0.045
P/ 970 SECI 230	N.2 PR	6.97	7.00	7.00	(440)	0.36	0.37		
DE 1088 GRAVATAZ 230	CIRC. PA	35.36	35.33	35.62	(441)	-0.09	0.75	0.666 0.577	0.393 -1.356
P/ 970 SECI 230	N.3 PR	5.77	5.79	4.99	(442)	0.34	-13.56		
DE 1088 GRAVATAZ 230	CIRC. PA	35.36	35.33	35.01	(443)	-0.09	-1.03	0.665 0.577	-0.529 1.506
P/ 970 SECI 230	N.4 PR	5.77	5.79	6.64	(444)	0.34	15.05		
DE 1088 GRAVATAZ 230	CIRC. PA	91.94	92.25	92.14	(445)	0.34	0.22	0.836	0.244
P/ 1209 SEPA 6 230	N.1 PR	27.85	27.00	27.20	(446)	-3.06	-2.33	0.644	-1.010
DE 1088 GRAVATAZ 230	CIRC. PA	86.37	86.66	86.20	(447)	0.34	-0.20	0.819	-0.206
P/ 1209 SEPA 6 230	N.2 PR	26.36	25.56	25.33	(448)	-3.04	-3.91	0.639	-1.611
DE 1088 GRAVATAZ 230	CIRC. PA	86.37	86.66	87.29	(449)	0.34	1.07	0.819	1.133
P/ 1209 SEPA 6 230	N.3 PR	26.36	25.56	25.68	(450)	-3.04	-2.58	0.639	-1.063
INjecAO									
BARRA 1088 GRAVATAZ 230	PA	-255.90	-291.65		(656)	-1.44		0.0	
	PR	-100.30	-1C2.68		(657)	2.37		0.0	

ELETROSUL - DFL/GPIC ** ESTIMADOR DE ESTADO **

SISTEMA SUL-BRASILEIRO PLANEJADO PARA 1986 *** TESE DE MESTRADO-UFSC DEZ/81 R.NARIMATSU

REDETA N.37 V.AIRES 230

	TECRICO	ESTIM/	MEDIDO	N.MED	(T-E)%	(T-M)%	DESV.P.	ERR(DP)
--	---------	--------	--------	-------	--------	--------	---------	---------

TENSÃO
BARRA 1076 V.AIRES 230 VH 1.013 1.013 (453) 0.013 0.0
AN -15.330 -15.259 -0.462

FLUXO
DE 1076 V.AIRES 230 CIRC. PA -170.00 -168.65 -168.70 (451) -0.79 -0.76 1.070 1.213
P/ 1156 V.AIRES 500 N.1 PR 78.70 78.55 79.34 (452) -0.19 0.81 0.795 0.304
DE 1076 V.AIRES 230 CIRC. PA 77.86 77.23 (454) -0.81 0.0
P/ 1216 CHARQUEA 230 N.1 PR -4.74 -5.01 (455) 5.87 0.0
DE 1076 V.AIRES 230 CIRC. PA 80.25 80.13 80.19 (456) -0.15 -0.08 0.891 -0.076
P/ 570 SECI 230 N.1 PR -9.28 -9.57 -10.40 (457) 3.17 12.07 0.599 -1.934

INJEÇÃO
BARRA 1076 V.AIRES 230 PA -11.39 -11.29 (658) -5.04 0.0
PR 64.70 63.96 (659) -1.14 0.0

ELETROSUL - DIL/GPIC ** ESTIMADOR DE ESTADO **

SISTEMA SUL-BRASILEIRO PLANEJADO PARA 1986 -**- TESE DE MESTRADO-UFSC DEZ/81 R.NARIMATSU

REMOTA N.38 CAMPO BCM

	TEORICO	ESTIM/	MEDIDO	N.MED	(T-E)%	(T-M)%	DESV.P.	ERR(DP)
--	---------	--------	--------	-------	--------	--------	---------	---------

TENSAO

BARRA 731 CAMPOBOM 230	VM	0.999	1.000	(460)	0.055		0.0
	AN	-20.315	-20.244		-0.347		

FLUXO

DE 731 CAMPOBOM 230	CIRC.	PA	-1.31	-0.72	-0.70	(458)	-45.00	-46.92	0.564	1.090
P/ 1202 FARROUP 230	N.1	PR	-4.06	-4.03	-4.15	(459)	0.30	1.99	0.572	-0.142

DE 731 CAMPOBOM 230	CIRC.	PA	-71.34	-71.70	-71.74	(461)	0.51	0.57	0.774	-0.524
P/ 1088 GRAVATAZ 230	N.1	PR	3.43	4.04	4.04	(462)	18.04	17.88	0.570	1.074

INjecAO

BARRA 731 CAMPOBOM 230	PA	-72.65	-72.42	(463)	-0.32		0.0
	PR	-0.64	-0.03	(464)	-94.74		0.0

ELETROSUL - DTL/GPIC ** ESTIMADOR DE ESTADO **

SISTEMA SUL-BRASILEIRO PLANEJADO PARA 1986 -**- TESE DE MESTRADO-UFSC DEZ/81 R.NARIMATSU

REMOTA N.39 J.LACERDA A

		TEORICO	ESTIM/	MEDIDO	N.MED	(T-E)%	(T-M)%	DESV.P.	ERR(DP)
TENSAG									
BARRA 1264	JLACERDA230A	Vv	1.006	1.007	(469)	0.077		0.0	
		AN	-15.411	-15.308		-0.669			
BARRA 1268	JLACERDA 138	VM	1.023	1.024	(480)	0.063		0.0	
		AN	-17.488	-17.408		-0.454			
FLUXO									
DE 1264	JLACERDA230A	CIRC. PA	-28.84	-28.33	(465)	-1.77		0.0	
P/ 1265	JLACERDA230B	N.1 PR	5.67	5.25	(466)	-7.36		0.0	
DE 1264	JLACERDA230A	CIRC. PA	77.03	75.24	76.07	(467)	-2.33	-1.25	0.791
P/ 1273	IMBITUBA 230	N.1 PR	14.99	14.81	14.79	(468)	-1.25	-1.36	0.605
DE 1264	JLACERDA230A	CIRC. PA	30.90	31.30	(472)	1.28		0.0	
P/ 1266	JLACERDA 138	N.1 PR	3.16	3.30	(473)	4.30		0.0	
DE 1264	JLACERDA230A	CIRC. PA	30.90	31.30	(474)	1.28		0.0	
P/ 1268	JLACERDA 138	N.2 PR	3.16	3.30	(475)	4.30		0.0	
DE 1263	JLACERDA 138	CIRC. PA	-30.90	-31.30	-30.68	(476)	1.28	-0.72	0.343
P/ 1264	JLACERDA230A	N.1 PR	-2.03	-2.14	-1.44	(477)	5.31	-29.30	0.255
DE 1268	JLACERDA 138	CIRC. PA	-30.90	-31.30	-30.11	(478)	1.28	-2.55	0.343
P/ 1264	JLACERDA230A	N.2 PR	-2.03	-2.14	-2.56	(479)	5.31	26.09	0.255
DE 1268	JLACERDA 138	CIRC. PA	15.39	15.48	14.81	(483)	0.58	-3.75	0.296
P/ 1260	PALHUCAS 138	N.1 PR	-7.42	-7.32	-7.71	(484)	-1.33	3.32	0.272
DE 1268	JLACERDA 138	CIRC. PA	33.71	33.95	(485)	0.71		0.0	
P/ 498	IMÓITUBA 138	N.1 PR	-0.01	-0.15	(486)	971.71		0.0	
INJECAO									
BARRA 1264	JLACERDA230A	PA	110.00	109.50	109.69	(470)	-0.45	-0.23	0.890
		PR	27.10	26.65	26.77	(471)	-1.66	-1.23	0.641
BARRA 1268	JLACERDA 138	PA	-12.70	-13.16	(481)	3.64		0.0	
		PR	-11.49	-11.75	(482)	2.30		0.0	

ELETROSUL - DTL/GPIC ** ESTIMADOR DE ESTADO **

SISTEMA SUL-BRASILEIRO PLANEJADO PARA 1986 -***- TESE DE MESTRADO-UFSC DEZ/81 R.NARIMATSU

REMOTA N.40 J.LACERDA 2

			TEORICO	ESTIM/	MEDIDO	N.MED	(T-E)%	(T-M)%	DESV.P.	ERR(DP)
TENSAC										
BARRA 1265 JLACERDA230B	VH		1.006	1.037		(491)	0.077		0.0	
	AN		-15.403	-15.300			-0.668			
FLUXO										
DE 1265 JLACERDA230B	CIRC. PA		17.01	17.05	17.19	(437)	0.23	1.06	0.611	0.295
P/ 1253 RQULIMAD0230	N.1 PR		-5.98	-6.12	-6.54	(438)	2.30	9.44	0.578	-0.977
DE 1265 JLACERDA230B	CIRC. PA		28.84	28.33	28.42	(489)	-1.75	-1.45	0.647	-0.649
P/ 1264 JLACERDA230A	N.1 PR		-5.79	-5.31	-5.41	(490)	-8.28	-6.66	0.577	0.658
DE 1265 JLACERDA230B	CIRC. PA		82.57	82.45	82.16	(492)	-0.16	-0.50	0.308	-0.513
P/ 1277 SIDERGPO 230	N.1 PR		10.77	10.40	10.40	(493)	-3.46	-3.43	0.592	-0.624
DE 1265 JLACERDA230B	CIRC. PA		82.57	82.45	82.50	(494)	-0.16	-0.10	0.308	-0.093
P/ 1277 SIDERGPO 230	N.2 PR		10.77	10.40	9.93	(536)	-3.46	-7.85	0.592	-1.427
INjecAO										
BARRA 1265 JLACERDA230B	PA		211.00	210.27	210.43	(495)	-0.35	-0.25	1.193	-0.434
	PR		9.81	9.37	9.65	(496)	-4.50	-1.53	0.539	-0.263

ELETROSUL - DTL/GPIC ** ESTIMADCR DE ESTADO **

SISTEMA SUL-BRASILEIRO PLANEJADO PARA 1986 - *** TESE DE MESTRADO-UFSC DEZ/81 R.NARIATU

REMOTA N.41 CHARQUEADA

		TECRICO	ESTIM/	MEDIDO	N.MED	(T-E)%	(T-M)%	DESV.P.	ERR(DP)
TENSAG									
BARKA 1216 CHARQUEA 230	VM	1.001	1.001		(503)	0.043		0.0	
AN	-18.977	-18.877				-0.528			
FLUXO									
DE 1216 CHARQUEA 230	CIRC. PA	-76.96	-76.35	-76.49	(497)	-0.80	-0.61	0.791	0.595
P/ 1076 V.AIREs 230	N.1 PR	-6.05	-5.86	-5.44	(498)	-3.13	-10.18	0.573	1.056
DE 1216 CHARQUEA 230	CIRC. PA	17.17	17.84	17.64	(499)	3.89	2.70	0.612	0.759
P/ 1202 FAKKUP 230	N.1 PR	-14.16	-14.38	-14.21	(500)	1.54	0.41	0.602	-0.395
DE 1216 CHARQUEA 230	CIRC. PA	25.39	26.41	26.21	(501)	4.04	3.23	0.636	1.291
P/ 970 SEC1 230	N.1 PR	-5.76	-5.94	-6.22	(502)	3.22	7.99	0.577	-0.797
INJECAO									
BARKA 1216,CHARQUEA 230	PA	-34.40	-32.09		(660)	-6.71		0.0	
PR	-25.98	-26.18			(661)	0.78		0.0	

ELETROSUL - DTL/GPIC ** ESTIMADOR DE ESTADO **

SISTEMA SUL-BRASILEIRO PLANEJADO PARA 1986 -**- TESE DE MESTRADO-UFSC DEZ/81 R.NARIMATSU

REMOTA N.42 PASSO FUNDO

	TEORICO	ESTIM/	MEDIDO	N.MED	(T-E)%	(T-M)%	DESV.P.	ERR(DP)
TENSÃO								
BAKKA 1194 P.FUNDO 230 VM	1.024	1.024		(512)	-0.039		0.0	
AN -12.772	-12.742				-0.238			
FLUXO								
DE 1194 P.FUNDO 230 CIRC. PA	-28.77	-28.93	-27.89	(504)	0.54	-3.05	0.646	1.359
P/ 1157 XANXERE 230 N.1 PR	12.76	11.79	11.48	(505)	-7.60	-10.09	0.598	-2.150
DE 1194 P.FUNDO 230 CIRC. PA	-28.77	-28.93	-29.37	(506)	0.54	2.08	0.646	-0.928
P/ 1157 XANXERE 230 N.2 PR	12.76	11.79	11.97	(507)	-7.60	-6.23	0.598	-1.329
DE 1194 P.FUNDO 230 CIRC. PA	56.72	56.51	56.34	(508)	-0.37	-0.63	0.730	-0.526
P/ 1202 FARROUP 230 N.1 PR	-17.96	-18.31	-18.31	(509)	1.93	1.94	0.614	-3.559
DE 1194 P.FUNDO 230 CIRC. PA	56.72	56.51	57.85	(510)	-0.37	1.99	0.730	1.548
P/ 1202 FARROUP 230 N.2 PR	-17.96	-18.31	-18.07	(511)	1.93	0.53	0.614	-0.169
INJEÇÃO								
BAKKA 1194 P.FUNDO 230 PA	55.90	55.17		(662)	-1.31		0.0	
PR	-10.40	-13.03		(663)	25.33		0.0	

ELETROSUL - DTL/GPIC ** ESTIMADOR DE ESTADO **

SISTEMA SUL-BRASILEIRO PLANEJADO PARA 1986 -**- TESE DE MESTRADO-UFSC DEZ/81 R.MARIMATSU

REMOTA N.44 SALTO OSORIO

			TEORICO	ESTIM/	MEDIDO	N.MED	(T-E)%	(T-M)%	DESV.P.	ERR(UP)
TENSÃO										
BARRA 1182 S.OSORIO 230	VM	AN	1.037	1.037		(521)	0.020		0.0	
			0.688	0.694			0.976			
FLUXO										
DE 1182 S.OSORIO 230	CIRC.	PA	132.24	134.09	132.44	(513)	1.41	0.16	0.957	0.214
P/ 1178 L.MOURAO 230	N.1	PR	-10.05	-10.29	-10.34	(514)	2.39	2.39	0.590	-0.492
DE 1182 S.OSORIO 230	CIRC.	PA	132.24	134.09	131.59	(515)	1.41	-0.49	0.957	-0.671
P/ 1178 L.MOURAO 230	N.2	PR	-10.05	-10.29	-10.03	(516)	2.39	-0.24	0.590	0.340
DE 1182 S.OSORIO 230	CIRC.	PA	85.27	85.84	85.02	(517)	0.66	-0.30	0.816	-0.312
P/ 1224 F.AREIA 230	N.1	PR	-21.72	-21.95	-21.13	(518)	1.05	-2.71	0.625	0.941
DE 1182 S.OSORIO 230	CIRC.	PA	85.27	85.84	83.66	(519)	0.66	-1.89	0.816	-1.976
P/ 1224 F.AREIA 230	N.2	PR	-21.72	-21.95	-22.56	(520)	1.05	3.63	0.625	-1.340
DE 1182 S.OSORIO 230	CIRC.	PA	148.40	149.44	147.40	(522)	0.70	-0.67	1.005	-0.994
P/ 281 PATUBRAN 230	N.1	PR	-2.95	-4.15	-3.75	(523)	40.67	27.23	0.569	-1.412
DE 1182 S.OSORIO 230	CIRC.	PA	134.78	134.59	135.01	(524)	-0.14	0.17	0.964	0.242
P/ 1187 XANXERE 230	N.1	PR	-11.47	-11.61	-12.03	(525)	1.23	4.93	0.594	-0.950
INJECAO										
BARRA 1182 S.OSORIO 230	PA		718.20	723.89		(664)	0.79		0.0	
	PR		-78.00	-80.24		(665)	2.87		0.0	

ELETROSUL - DTL/GPIC ** ESTIMADOR DE ESTADO **

SISTEMA SUL-BRASILEIRO PLANEJADO PARA 1986 -*** TESE DE MESTRADO-UFSC DEZ/81 R.NARIHATSU

REMOTA N.46 S. SANTIAGO

			TEORICO	ESTIM/	MEDIDO	N.MED	(T-E)%	(T-M)%	DESV.P.	ERR(DP)
TENSAO										
BARRA 1165 SSANTIAGO500	VH AN	1.018 SWING		1.019		(532)	0.050		0.0	
FLUXO										
DE 1165 SSANTIAGO500	CIRC. PA P/ 1131 IVAIPURA 500	N.1 PR	567.38 -41.94	570.46 -43.52	564.70 -41.28	(526) (527)	0.54 3.76	-0.47 -1.57	3.702 2.125	-0.724 -0.309
DE 1165 SSANTIAGO500	CIRC. PA P/ 1166 SEGredo 500	N.1 PR	143.65 -82.11	145.29 -83.14	145.09 -83.09	(528) (529)	1.15 1.26	1.00 1.18	2.431 2.245	0.592 -0.433
DE 1165 SSANTIAGO500	CIRC. PA P/ 1158 ITA 500	N.1 PR	515.13 -112.91	513.19 -112.12	510.20 -108.32	(530) (531)	-0.38 -0.70	-0.95 -4.07	3.545 2.339	-1.391 1.953
INJECAO										
BARRA 1165 SSANTIAGO500	PA PR	1226.10 -236.90	1228.94 -238.77	1226.74 -241.21	(537) (538)	0.23 0.79	0.05 1.82	5.673 2.711	0.114 -1.589	

ELETROSUL - DTL/GPIC ** ESTIMADOR DE ESTADO **

SISTEMA SUL-BRASILEIRO PLANEJADO PARA 1986 *** TESE DE MESTRADO-UFSC DEZ/81 R.NARIWATSU

REMOTA N.48 LITORAL

			TEORICO	ESTIMA	MEDIDO	N.MED	(T-E)%	(T-M)%	DESV.P.	ERR(DP)
TENSAO										
BARRA 530 LITORAL	138	VM	1.002	1.002	1.000	(555)	-0.002	-0.149	0.0030	-0.4930
		AN	-19.249	-19.179			-0.362			
FLUXO										
DE 530 LITORAL	138	CIRC. PA	-28.14	-27.91	-27.96	(551)	-0.83	-0.63	0.334	0.533
P/ 1248 ILHOTA	138	N.I PR	3.39	3.37	3.52	(552)	-0.49	3.74	0.260	0.487
DE 530 LITORAL	138	CIRC. PA	10.34	10.63		(556)	2.75		0.0	
P/ 629 TIJUCAS	138	N.I PR	-9.29	-9.47		(557)	1.94		0.0	
INjecAO										
BARRA 530 LITORAL	138	PA	-17.80	-17.28	-17.17	(553)	-2.90	-3.54	0.303	2.075
		PR	-5.90	-6.10	-6.14	(554)	3.36	3.99	0.268	-0.379

ELETROSUL - DTL/GPIC ** ESTIMADOR DE ESTADO **

SISTEMA SUL-BRASILEIRO PLANEJADO PARA 1986 -**- TESE DE MESTRADO-UFSC DEZ/81 R.NARIMATSU

RENDITA N.49 TIJUCAS

				TECRICO	ESTIM/	MEDIDO	N.MED	(T-E)%	(T-M)%	DESV.P.	ERR(DP)	
TENSAC												
BARRA	629	TIJUCAS	138	VH	1.007	1.007	1.004	(562)	0.007	-0.268	0.0030	-0.8980
				AN	-19.865	-19.812			-0.268			
LUXO												
E	629	TIJUCAS	138	CIRC. PA	-10.30	-10.58	-10.27	(560)	2.74	-0.31	0.231	0.113
E	530	LITORAL	138	N.1 PR	7.18	7.37	7.66	(561)	2.61	6.62	0.272	1.750
E	629	TIJUCAS	138	CIRC. PA	1.65	1.35	1.56	(563)	-17.94	-5.23	0.255	-0.339
E	589	ROCAO	138	N.1 PR	-10.41	-10.57	-10.79	(564)	1.51	3.61	0.231	-1.335
E	629	TIJUCAS	138	CIRC. PA	1.65	1.35	1.41	(565)	-17.94	-14.90	0.255	-0.965
E	589	ROCAO	138	N.2 PR	-10.41	-10.57	-10.32	(566)	1.51	-0.85	0.231	0.314
E	629	TIJUCAS	138	CIRC. PA	-16.30	-16.45	-16.53	(618)	0.88	1.36	0.299	-0.741
E	1248	ILHOTA	138	N.1 PR.	5.84	5.97	5.65	(619)	2.31	-3.14	0.268	-0.685
INJECAO												
BARRA	629	TIJUCAS	138	PA	-23.30	-24.32		(558)	4.37		0.0	
				PR	-7.80	-7.79		(559)	-0.07		0.0	

ELETROSUL - DTL/GPIC ** ESTIMADOR DE ESTADO **

SISTEMA SUL-BRASILEIRO PLANEJADO PARA 1986 --- TESE DE MESTRADO-UFSC DEZ/81 R.NARIMATSU

REMOTA N.50 IMBITUBA

		TEORICO	ESTIM/	MEDIDO	N.MED	(T-E)%	(T-M)%	DESV.P.	ERR(DP)
TENSAG									
BARKA	498 IMBITUBA 138	VM 1.012	1.012		(604)	0.073		0.0	
		AN -19.610	-19.545			-0.331			
FLUXO									
E 498	IMBITUBA 138 CIRC. PA	0.28	0.26	-0.01	(602)	-6.91	-102.35	0.251	-1.131
1260	PALHOCA 138 N.1 PR	-9.14	-9.90	-8.90	(603)	-2.61	-2.63	0.277	0.866
E 498	IMBITUBA 138 CIRC. PA	-33.38	-33.61	-33.27	(605)	0.70	-0.31	0.350	0.293
1268	JLACERDA 138 N.1 PR	-1.79	-1.64	-1.67	(606)	-8.14	-6.67	0.255	0.467
INJECAO									
BARKA	498 IMBITUBA 138 PA	-33.10	-33.35		(643)	0.76		0.0	
		PR -10.93	-10.55		(644)	-3.51		0.0	

ELETROSUL - DTL/GPIC ** ESTIMADOR DE ESTADO **

SISTEMA SUL-BRASILEIRO PLANEJADO PARA 1986 -**- TESE DE MESTRADO-UFSC DEZ/81 R.NARIMATS

REMOTA N.60 [FIGUEIRAI]

		TEORICO	ESTIM/	MEDIDO	N.MED	(T-E)%	(T-M)%	DESV.P.	ERR%
TISSAG									
BARRA 164 FIGUEIRA 230	VM	0.989	0.990		(615)	0.100			0.0
	AN	-24.871	-24.990			0.478			
FLUXO									
DE 164 FIGUEIRA 230 P/ 18 APUCARANA230	CIRC. PA N.I PR	-94.45 13.00	-95.05 13.38		(611) (612)	0.63 2.93			0.0 0.0
DE 164 FIGUEIRA 230 P/ 1368 XAVANTES 230	CIRC. PA N.I PR	30.76 -37.86	31.29 -38.63		(613) (614)	1.73 2.03			0.0 0.0
DE 164 FIGUEIRA 230 P/ 300 P.GROSSA 230	CIRC. PA N.I PR	-92.31 4.99	-92.44 5.27		(616) (617)	0.15 5.51			0.0 0.0
INjecAO									
BARRA 164 FIGUEIRA 230	PA PR.	-156.00 -19.86	-156.20 -19.98		(666) (667)	0.13 0.58			0.0 0.0

REFERENCIAS BIBLIOGRÁFICAS

- [1] HANDSCHIN, E. & BONGERS, C. "Theoretical and Practical Considerations in the Design of State Estimators for Electric Power Systems", COPOS-75.
- [2] DY LIACCO, T.E. "An Overview of Power Control Centers", Energy Control Center Design IEEE Tutorial Course - 1977.
- [3] HANDSCHIN, E. & SCHWEPPPE, F.C. & KOHLAS, I. & FIECHTER, A. "Bad Data Analysis for Power System State Estimation". IEEE-PAS, vol. 94 nº 2, 1975.
- [4] MONTICELLI, A. & S. DECKMANN & GARCIA, A. "Sistema de Análise de Redes", ELETROBRAS-CEPEL, 1981.
- [5] SCHWEPPPE, F.C. & HANDSCHIN, E. "Static Estimation in Electric Power Systems". Proc. of IEEE, vol. 62 nº 7, 1974.
- [6] HANDSCHIN, E. editor "Real-Time Control of Electric Power Systems" Elsevier Publishing Company - 1972.
- [7] PETTERSON, L.O. "Power System State Estimation"- The Royal Institute of Technology - Stockholm - 1974.
- [8] LE ROY, A.B. VILLARD, P. "Application of State Estimation Methods to the Evaluation of a Telemeasurment Configuration for Energy Power System". COPOS-75

- [9] DOPAZO, J.F. & KLITIN, O.A. & STAGG, G.W. & VAN SLYCK, L.S. "State Calculation of Power Systems from Line Flow Measurements", IEEE-PAS Vol. 89 nº 7, 1970.
- [10] REICHERT, K. & SULLIVAN, A.C. "A Systematic Study of State Estimation in Electric Power Systems", IFAC Symposium, Melbourne, 1977.
- [11] HORISBERGER, H.P. & RICHARD, J.C. "A Fast Decoupled Static State Estimator for Electric Power Systems", IEEE-PAS Vol. 95 Nº 1, 1976.
- [12] MEYER, P.L. "Aplicações à Estatística" Livros Técnicos e Científicos Editora S.A., 1977.
- [13] NETO, P.L.O "Estatística" Editora Edgard Blücher Ltda, 1977
- [14] GARCIA, A.V. & MONTICELLI, A.J. "Identificação de Medidas com Erros Grosseiros utilizando Método Desacoplado em Sistemas Elétricos de Potência". Encontro Pan-American em engenharia eletrotécnica e eletrônica - Salvador BA - 1978.
- [15] DY LIACCO, T.E. "Security Functions in Power System Control Centers" 2 nd International Symposium on Control Centers for Electric Power Systems - Caracas, Venezuela - 1979.
- [16] COSTA, A.S. & QUINTANA, V.H. "A Robust Numerical Technique for Power System State Estimation", IEEE-PAS Vol. 100 nº 2 - 1981.

- [17] COSTA, A.S. & QUINTANA, V.H. "An Orthogonal Row Processing for Power System Sequential State Estimation", IEEE-PAS Vol. 100 nº 8 - 1981.
- [18] MERRILL, H.M. & SCHWEPPPE, F.C. "Bad Data Supression in Power System Static State Estimation", IEEE-PAS Vol. 90 - 1971.
- [19] LUENBERGER, D.G. "Introduction to Linear and Nonlinear Programming" Addison-Wesley Publishing Company - 1973
- [20] STOTT, B. "Decoupled Newton Load Flows", IEEE-PAS Vol. 91 1972.
- [21] STOTT, B. & ALSAC, "Fast Decoupled Load Flow", IEEE-PAS Vol. 93 - 1974.
- [22] LEITÃO DE ALMEIDA, P.A. "Processamento de Erros Grosseiros em estimação de Estado de Sistemas de Energia Elétrica" Tese de Mestrado - COPPE/UFRJ - 1979
- [23] SCHWEPPPE, F.C. et allii "Power System Static-State Estimation: Part I, II, III" IEEE-PAS Vol. 89 nº 1 - 1970.